

3.5 GHz ฟรอนท์เอนด์สำหรับสถานีฐาน WIMAX

3.5 GHz WIMAX BASE STATION RF FRONT END



วิทยานิพนธ์นี้เป็นส่วนหนึ่งของการศึกษาตามหลักสูตรปริญญาวิศวกรรมศาสตรมหาบัณฑิต

สาขาวิชาวิศวกรรมโทรคมนาคม

บัณฑิตวิทยาลัย

สถาบันเทคโนโลยีพระจอมเกล้าเจ้าคุณทหารลาดกระบัง

พ.ศ. 2551

KMITL-2009-EN-M-010-255

**สำนักหอสมุดกลาง พระจอมเกล้าลาดกระบัง**

**3.5 GHz ฟรอนท์เอนด์สำหรับสถานีฐาน WiMAX**

**3.5 GHz WiMAX BASE STATION RF FRONT END**



**คณียภาพย์ พูลทรัพย์  
DANAIPAB PULLSAB**

เลขหมู่.....  
เลขทะเบียน.....  
วัน,เดือน,ปี.....

**82850**

**25 ก.ค. 2551**

b.....
i.....

**วิทยานิพนธ์นี้เป็นส่วนหนึ่งของการศึกษาตามหลักสูตรปริญญาวิศวกรรมศาสตรมหาบัณฑิต**

**สาขาวิชาวิศวกรรมโทรคมนาคม**

**บัณฑิตวิทยาลัย**

**สถาบันเทคโนโลยีพระจอมเกล้าเจ้าคุณทหารลาดกระบัง**

เอกสารนี้เป็นเอกสารที่สงวนไว้สำหรับการศึกษาและการวิจัยเท่านั้น ไม่ใช่ว่าจะนำไปใช้ประโยชน์ด้านการค้า  
ไม่ว่ากรณีใดๆทั้งสิ้น อีกทั้งห้ามมิให้ตัดแปลงเนื้อหา และเผยแพร่หรือเข้าถึงเจ้าของเอกสารทุกครั้งที่มีการนำไปใช้  
พ.ศ. 2551

**KMITL-2008-EN-M-010-255**

# 3.5 GHz WiMAX BASE STATION RF FRONT END



A THESIS SUBMITTED IN PARTIAL FULFILLMENT  
OF THE REQUIREMENT FOR THE DEGREE OF  
MASTER OF ENGINEERING IN TELECOMMUNICATION ENGINEERING  
SCHOOL OF GRADUATE STUDIES

KING MONGKUT'S INSTITUTE OF TECHNOLOGY LADKRABANG

เอกสารนี้เป็นเอกสารที่...  
ไม่ว่ากรณีใดๆทั้งสิ้น อีกทั้งห้ามมิให้คัดแปลงเนื้อหาและ...  
2008

KMITL-2008-EN-M-010-255



เอกสารนี้เป็นทรัพย์สินที่สงวนไว้สำหรับการใช้งานเพื่อการศึกษาเท่านั้น ไม่อนุญาตให้นำไปใช้ประโยชน์ด้านการค้า  
ไม่ว่าการตีพิมพ์ซ้ำหรือการนำออกเผยแพร่ซ้ำ และต้องอ้างอิงถึงเจ้าของเอกสารทุกครั้งที่มีการนำไปใช้

**COPYRIGHT 2008**

**SCHOOL OF GRADUATE STUDIES**

**KING MONGKUT'S INSTITUTE OF TECHNOLOGY LADKRABANG**

**บัณฑิตวิทยาลัย**  
**สถาบันเทคโนโลยีพระจอมเกล้าเจ้าคุณทหารลาดกระบัง**  
**ใบรับรองวิทยานิพนธ์**

---

หัวข้อวิทยานิพนธ์ 3.5 GHz ฟรอนต์เอนด์สำหรับสถานีฐาน WiMAX  
3.5 GHz WiMAX Base Station RF Front End

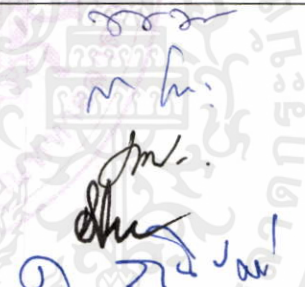
นักศึกษา นายคณัฎภพย์ พูลทรัพย์

รหัสประจำตัว 47061013

ปริญญา วิศวกรรมศาสตรมหาบัณฑิต

สาขาวิชา วิศวกรรมโทรคมนาคม

อาจารย์ที่ปรึกษาวิทยานิพนธ์ ผศ.ดร.ทองทอด วานิชศรี

คณะกรรมการสอบวิทยานิพนธ์		ลายมือชื่อ
ผศ.ดร.พิเชฐ	ม่วงนวล	
รศ.สมยศ	จุนณะปิยะ	
รศ.ดร.ประยุทธ์	อัครเอกพลานิน	
ศ.ดร.โมไนย	ไกรฤกษ์	
ผศ.ดร.ทองทอด	วานิชศรี	

วัน / เดือน / ปี ที่สอบ 13 พฤษภาคม 2551 เวลา 09.00-11.00 น.

สถานที่สอบ ณ ห้องประชุม 4 ชั้น 5 อาคาร A

**บัณฑิตวิทยาลัยรับรองแล้ว**  
  
(รศ.ดร.รวีวรรณ ชินะตระกูล)  
คณบดีบัณฑิตวิทยาลัย

เอกสารนี้เป็นเอกสารที่สงวนไว้สำหรับการใช้งานวันที่.....๒6.....เดือน.....พฤษภาคม.....พ.ศ.....๒๕๕๑.....การค้ำ  
ไม่ว่ากรณีใดๆทั้งสิ้น อีกทั้งห้ามมิให้คัดแปลงเนื้อหา และต้องอ้างอิงถึงเจ้าของเอกสารทุกครั้งที่มีการนำไปใช้

หัวข้อวิทยานิพนธ์	3.5 GHz ฟรอนท์เอ็นด์สำหรับสถานีฐาน WiMAX
นักศึกษา	นาย คณัยภพ พูลทรัพย์
รหัสประจำตัว	47061013
ปริญญา	วิศวกรรมศาสตรมหาบัณฑิต
สาขาวิชา	วิศวกรรมโทรคมนาคม
พ.ศ.	2551
อาจารย์ที่ปรึกษาวิทยานิพนธ์	ผศ.ดร. ทองทศ วานิชศรี

### บทคัดย่อ

วิทยานิพนธ์ฉบับนี้นำเสนอถึงวิธีการออกแบบและสร้างวงจรส่วนหน้าสำหรับเครื่องรับระบบ WiMAX (Worldwide Interoperability for Microwave Access) สำหรับสถานีฐานในย่านความถี่ 3.4 ถึง 3.6 กิกะเฮิรตซ์ ใช้เทคนิคการมอดูเลชันแบบ OFDM 256 คลื่นพาห์ (Orthogonal Frequency Division Multiplexing) วงจรส่วนหน้าของภาครับประกอบด้วยวงจรขยายสัญญาณรบกวนต่ำแบบบาลานซ์ วงจรสังเคราะห์ความถี่ วงจรมิกเซอร์ วงจรกรองผ่านแถบความถี่ และวงจรกรองความถี่ต่ำผ่าน ระบบของภาครับเป็นแบบซูเปอร์เฮเทอโรไดน์

จากผลการทดลองสามารถคำนวณค่านอยส์ฟลิกเกอร์ของระบบเครื่องรับน้อยกว่า 3.71 dB อัตราขยายมากกว่า 58 dB ไดนามิกเรนจ์มากกว่า 46 dB ความไวของสัญญาณน้อยกว่า -118 dBm แรงดันไฟฟ้า 12 โวลต์ กระแส 1.3 แอมป์ ที่อุณหภูมิ 45 องศาเซลเซียส

เอกสารนี้เป็นเอกสารที่สงวนไว้สำหรับการใช้งานเพื่อการศึกษาเท่านั้น ไม่อนุญาตให้นำไปใช้ประโยชน์ด้านการค้า ไม่ว่ากรณีใดๆทั้งสิ้น อีกทั้งห้ามมิให้ตัดแปลงเนื้อหา และต้องอ้างอิงถึงเจ้าของเอกสารทุกครั้งที่มีการนำไปใช้

<b>Thesis Title</b>	3.5 GHz WiMAX BASE STATION RF FRONT END
<b>Student</b>	Mr. Danaipab Pullsab
<b>Student ID.</b>	47061013
<b>Degree</b>	Master of Engineering
<b>Program</b>	Telecommunication Engineering
<b>Year</b>	2008
<b>Thesis Advisor</b>	Assistant Prof.Dr. Tongtod Vanisri

### ABSTRACT

This thesis proposes a design and implementation of an RF front-end for the receiver of WiMAX base station which operated in 3.4 to 3.6 GHz frequency range. The WiMAX receiver uses OFDM technique which is based on 256 carriers and modulated from BPSK to 64 QAM (Quadrature Amplitude Modulation). The proposed receiver part will compose of the RF front-end incorporated with a balanced low noise amplifier, frequency synthesizer, mixer, bandpass filter and lowpass filter. The receiver part employs superheterodyne architecture.

From the measured results, the noise figure of the RF front-end can be calculated. The results show that Noise Figure less than 3.71 dB, Gain more than 58 dB, Dynamic Range more than 46 dB and Sensitivity less than -118 dBm have been achieved using 12 V Supply Voltage, 1.3 A Supply Current and at the temperature stability of 45 Degree Celsius.

เอกสารนี้เป็นเอกสารที่สงวนไว้สำหรับการใช้งานเพื่อการศึกษาเท่านั้น ไม่อนุญาตให้นำไปใช้ประโยชน์ด้านการค้า  
ไม่ว่ากรณีใดๆทั้งสิ้น อีกทั้งห้ามมิให้ดัดแปลงเนื้อหา และต้องอ้างอิงถึงเจ้าของเอกสารทุกครั้งที่มีการนำไปใช้

## กิตติกรรมประกาศ

วิทยานิพนธ์ฉบับนี้สำเร็จลุล่วงได้ด้วยดี ด้วยคำแนะนำและการช่วยเหลือทางด้านการออกแบบและการสร้างวงจร 3.5 GHz ฟรอนท์เอนด์สำหรับสถานีฐาน WiMAX จากท่าน ผศ.ดร.ทองทศ วานิชศรี ซึ่งเป็นอาจารย์ผู้ควบคุมวิทยานิพนธ์ของวิทยานิพนธ์ ผู้วิจัยรู้สึกทราบบซึ่งในความอนุเคราะห์จากท่านและขอกราบขอบพระคุณไว้ ณ ที่นี้เป็นอย่างสูง

ขอขอบคุณ พี่ชาย น้องชายของข้าพเจ้า และท่านเหล่านี้คือ พี่แจ๊จ พี่นะ พี่ก เก๋ และ อาจารย์ หนัซชนก วานิชศรี สำหรับการดูแล สนับสนุน ให้ความช่วยเหลือในด้านต่างๆต่อการจัดทำวิทยานิพนธ์ และสิ่งที่สำคัญที่สุดคือขอขอบพระคุณ คุณพ่อ คุณแม่ ที่เลี้ยงดูข้าพเจ้ามาจนถึงบัดนี้ บุญคุณนี้ข้าพเจ้าจะไม่มีวันลืมตลอดชีวิต

दनัยภพย์ พูลทรัพย์



เอกสารนี้เป็นเอกสารที่สงวนไว้สำหรับการใช้งานเพื่อการศึกษาเท่านั้น ไม่อนุญาตให้นำไปใช้ประโยชน์ด้านการค้า ไม่ว่ากรณีใดๆทั้งสิ้น อีกทั้งห้ามมิให้คัดแปลงเนื้อหา และต้องอ้างอิงถึงเจ้าของเอกสารทุกครั้งที่มีการนำไปใช้

# สารบัญ

	หน้า
บทคัดย่อภาษาไทย.....	I
บทคัดย่อภาษาอังกฤษ.....	II
กิตติกรรมประกาศ.....	III
สารบัญ.....	V
สารบัญตาราง.....	VIII
สารบัญรูป.....	IX
เอกสารอ้างอิง.....	101
ภาคผนวก.....	106
ประวัติผู้เขียน.....	119
บทที่ 1 บทนำ.....	1
1.1 กล่าวนำ.....	1
1.2 วัตถุประสงค์ในการทำวิทยานิพนธ์.....	3
1.3 รายละเอียดของวิทยานิพนธ์.....	3
บทที่ 2 เครื่องรับระบบ WiMAX.....	5
2.1 กล่าวนำ.....	5
2.2 บล็อกไดอะแกรมของเครื่องรับ WiMAX.....	5
2.2.1 วงจรขยายสัญญาณรบกวนต่ำแบบบาลานซ์.....	6
2.2.2 วงจรสังเคราะห์ความถี่ด้วยเฟสล็อกกลูป.....	6
2.2.2.1 วงจรคริสตอลออสซิลเลเตอร์.....	6
2.2.2.2 วงจรกำเนิดสัญญาณแบบปรับค่าความถี่ได้ตามแรงดันไฟฟ้า.....	7
2.2.2.3 วงจรพรีสเกลเลอร์.....	7
2.2.2.4 วงจรเปรียบเทียบเฟสและความถี่.....	7
2.2.2.5 วงจรลูปฟิลเตอร์.....	7
2.2.3 วงจรมิกเซอร์.....	7
2.2.4 วงจรกรองผ่านแถบความถี่.....	8
2.2.5 วงจรแปลงสัญญาณ.....	10
2.3 ระบบเครื่องรับ.....	10
2.4 ความถี่เงา.....	11

## สารบัญ (ต่อ)

	หน้า
2.5 ระบบไดเร็กคอนเวอร์ชัน .....	12
2.6 ฟลิคเกอร์นอยส์ .....	13
2.7 นอยส์ฟลิคเกอร์ .....	14
2.8 จุด 1 dB เกนคอมเพรสชัน .....	14
2.9 จุดอินเตอร์มอดูเลชันลำดับที่ 3 (IP3: third-order intercept point).....	15
2.10 ความไวของเครื่องรับ .....	16
2.11 ไดนามิกเรนจ์ .....	17
บทที่ 3 วงจรขยายสัญญาณรบกวนต่ำแบบบาลานซ์ .....	18
3.1 บทนำ .....	18
3.2 นอยส์ฟลิคเกอร์ (Noise Figure) .....	18
3.3 วงจรขยายสัญญาณรบกวนต่ำแบบบาลานซ์ .....	19
3.4 การออกแบบวงจร .....	20
3.4.1 วงกลมเสถียรภาพ (Stability Circles) .....	21
3.5 การทดลองและผลการทดลอง .....	30
3.6 สรุป .....	33
บทที่ 4 วงจรสังเคราะห์ความถี่ย่าน 393.5 เมกกะเฮิร์ตซ์ และ 3.83 กิกะเฮิร์ตซ์ .....	34
4.1 กล่าวนำ .....	34
4.2 เงื่อนไขของการออสซิลเลต .....	34
4.2.1 ความต้านทานลบจากทรานซิสเตอร์ .....	35
4.2.2 ออกแบบโดยใช้ S พารามิเตอร์ .....	37
4.3 วงจรเรโซเนเตอร์ .....	38
4.4 วาเรกเตอร์ไดโอด .....	39
4.5 สัญญาณรบกวนทางเฟส .....	40
4.6 เทคนิคการป้อนกลับสัญญาณรบกวน .....	45
4.7 การออกแบบวงจรออสซิลเลเตอร์ .....	48
4.7.1 วงจรออสซิลเลเตอร์ปรับค่าความถี่ได้ .....	48

เอกสารนี้เป็นเอกสารสงวนลิขสิทธิ์ของภาควิชาวิศวกรรมไฟฟ้า คณะวิศวกรรมศาสตร์ มหาวิทยาลัยเทคโนโลยีพระจอมเกล้าเจ้าคุณทหารลาดกระบัง  
 ไม่ว่ากรณีใดๆทั้งสิ้น

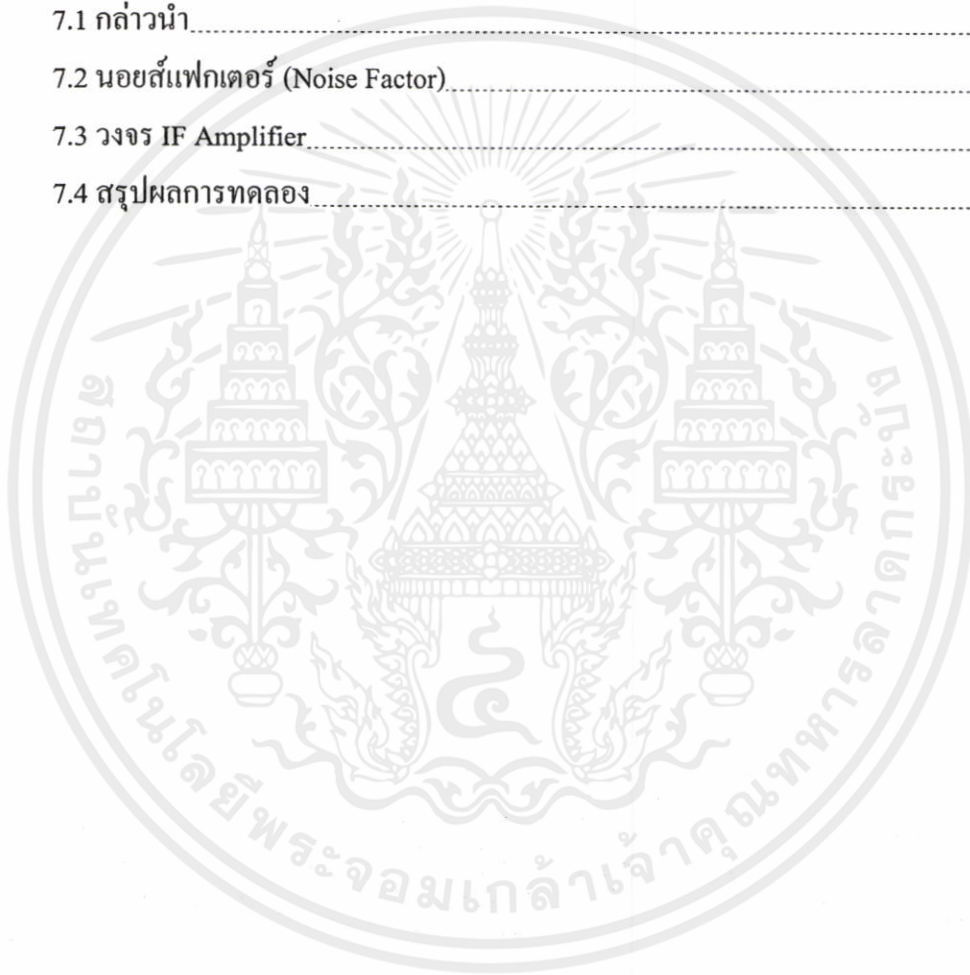
## สารบัญ (ต่อ)

	หน้า
4.8 ผลจำลองการทำงาน.....	51
4.9 ผลการทดลอง.....	57
4.9.1 วงจรออสซิลเลเตอร์ย่านความถี่ 393.5 เมกกะเฮิร์ตซ์.....	57
4.9.2 วงจรออสซิลเลเตอร์ย่านความถี่ 3.83 กิกะเฮิร์ตซ์.....	59
4.9.3 วงจรสังเคราะห์ความถี่ย่าน 393.5 เมกกะเฮิร์ตซ์.....	60
4.9.4 วงจรสังเคราะห์ความถี่ย่าน 3.83 กิกะเฮิร์ตซ์.....	63
4.10 สรุป.....	66
บทที่ 5 วงจรมิกเซอร์.....	67
5.1 บทนำ.....	67
5.2 ทฤษฎีไดโอดมิกเซอร์.....	67
5.3 ค่าการสูญเสียแปลงผัน.....	68
5.4 นอยส์ฟลิทเทอร์.....	69
5.5 ค่าไอโซเลชันระหว่างพอร์ต.....	69
5.6 วงจรซิงเกิลบาลานซ์มิกเซอร์โดยใช้วงจรควอแดรเจอร์ไฮบริดคัปเปิลเลอร์.....	70
5.7 การออกแบบและสร้างวงจรมิกเซอร์.....	71
5.8 ผลการทดลองวงจรมิกเซอร์.....	73
5.9 สรุป.....	77
บทที่ 6 วงจรกรองผ่านแถบความถี่.....	78
6.1 กล่าวนำ.....	78
6.2 วงจรกรองผ่านแถบความถี่แบบคอมบ์ไลน์.....	78
6.2.1 ทฤษฎีวงจรกรองผ่านแถบความถี่แบบคอมบ์ไลน์.....	80
6.2.2 วงจรกรองความถี่ต่ำผ่านดับแบบ.....	83
6.2.3 วงจรผกผันแอดมิตแตนซ์.....	84
6.2.4 การจำลองการทำงานและผลการทดลอง.....	88
6.3 วงจรกรองความถี่ต่ำผ่าน.....	90
6.3.1 การออกแบบวงจร.....	90

เอกสารนี้เป็นเอกสารที่สงวนลิขสิทธิ์ไว้เพื่อให้นักศึกษาได้ใช้ประโยชน์ได้  
ไม่ว่ากรณีใดๆทั้งสิ้น

## สารบัญ (ต่อ)

	หน้า
6.3.2 การจำลองการทำงานและผลการทดลอง.....	93
6.4 สรุป.....	95
บทที่ 7 คุณสมบัติของวงจรส่วนหน้าและสรุปผลการทดลอง.....	96
7.1 กล่าวนำ.....	96
7.2 นอยส์แฟกเตอร์ (Noise Factor).....	97
7.3 วงจร IF Amplifier.....	98
7.4 สรุปผลการทดลอง.....	100



เอกสารนี้เป็นเอกสารที่สงวนไว้สำหรับการใช้งานเพื่อการศึกษาเท่านั้น ไม่อนุญาตให้นำไปใช้ประโยชน์ด้านการค้า  
ไม่ว่ากรณีใดๆทั้งสิ้น อีกทั้งห้ามมิให้ตัดแปลงเนื้อหา และต้องอ้างอิงถึงเจ้าของเอกสารทุกครั้งที่มีการนำไปใช้

## สารบัญตาราง (ต่อ)

ตารางที่	หน้า
2.1 พารามิเตอร์โครงข่ายไร้สายแบบต่างๆ.....	8
2.2 มาตรฐาน IEEE 802.16.....	8
2.3 Sample link budgets for a WiMAX system.....	9
2.4 ข้อมูลเครื่องรับระบบ WiMAX.....	10
4.1 ผลจำลองการทำงานวงจรออสซิลเลเตอร์ที่ความถี่ 393.5 เมกกะเฮิร์ตซ์.....	54
4.2 ผลจำลองการทำงานวงจรออสซิลเลเตอร์ที่ความถี่ 3.83 กิกะเฮิร์ตซ์.....	56
4.3 ผลการวัดวงจรสังเคราะห์ความถี่ย่าน 393.5 เมกกะเฮิร์ตซ์ และ 3.83 กิกะเฮิร์ตซ์.....	66
5.1 ผลการเปรียบเทียบคุณสมบัติของวงจรมิกเซอร์ประเภทต่างๆ.....	69
5.2 อิมพีแดนซ์ของสายส่งของวงจรไฮบริดคัปเปิลอร์แบบกรอบบรานซ์ไลน์ 1 ชุด.....	72
6.1 ค่าวงจรกรองความถี่ต่ำผ่านคั่นแบบ แบบเซฟปีเซฟ สำหรับคลื่นกระเพื่อม 0.01 dB.....	91
6.2 ผลการวัดวงจรกรองผ่านแถบความถี่แบบคอมไลน์และวงจรกรองความถี่ต่ำผ่าน.....	95
7.1 คุณสมบัติของวงจรทั้งหมดที่สร้างขึ้นจริงในวิทยานิพนธ์นี้.....	98
7.2 คุณสมบัติของวงจรรวม.....	99

เอกสารนี้เป็นเอกสารที่สงวนไว้สำหรับการใช้งานเพื่อการศึกษาเท่านั้น ไม่อนุญาตให้นำไปใช้ประโยชน์ด้านการค้า  
ไม่ว่ากรณีใดๆทั้งสิ้น อีกทั้งห้ามมิให้ดัดแปลงเนื้อหา และต้องอ้างอิงถึงเจ้าของเอกสารทุกครั้งที่มีการนำไปใช้

# สารบัญรูป

รูปที่	หน้า
2.1 บล็อกไดอะแกรมแสดงการทำงานของเครื่องรับระบบ WiMAX.....	6
2.2 วงจรส่วนหน้าของเครื่องรับสำหรับสัญญาณอินพุตทางอุดมคติ.....	10
2.3 สัญญาณอินพุตที่มีกำลังอ่อนและสัญญาณรบกวนข้างเคียงกำลังสูง.....	11
2.4 ปัญหาความถี่เงา.....	11
2.5 ผลของความถี่เงาสำหรับความถี่กลางค่าสูงและต่ำ.....	12
2.6 บล็อกไดอะแกรมของเครื่องรับระบบไคเร็กคอนเวอร์ชัน.....	13
2.7 ความหนาแน่นของกำลังงานสัญญาณรบกวนที่เป็นฟังก์ชันของความถี่.....	14
2.8 การหาค่าจุด 1 dB compression.....	15
2.9 การหาค่า IIP3 จากการทดสอบ two-tone.....	16
2.10 นิยามค่าไดนามิกเรนจ์พารามิเตอร์.....	17
3.1 โครงสร้างของวงจรขยายแบบบาลานซ์.....	19
3.2 ไบอัสทรานซิสเตอร์ระหว่าง $I_C$ กับ $V_{BE}$ .....	23
3.3 ผลการป้อนกลับต่อ $S_{11}$ และ $\Gamma_{OPT}$ .....	24
3.4 ผลจำลองการทำงาน S-Parameters ของวงจรชุดเดียว.....	24
3.5 วงจรขยายสัญญาณรบกวนต่ำ.....	25
3.6 ผลจำลองการทำงาน S Parameters ของวงจรขยายสองชุด.....	26
3.7 ผลจำลองการทำงานนอยส์ฟลิคเกอร์ของวงจรขยายสองชุด.....	26
3.8 วงจรขยายสัญญาณรบกวนต่ำแบบบาลานซ์.....	27
3.9 ผลจำลองการทำงาน S Parameters ของวงจรขยายสัญญาณรบกวนต่ำแบบบาลานซ์.....	28
3.10 ผลจำลองการทำงานนอยส์ฟลิคเกอร์ของวงจรขยายสัญญาณรบกวนต่ำแบบบาลานซ์.....	28
3.11 ผลการวัดวงจรคัปเปิลเลอร์ทางขนาด.....	29
3.12 ผลการวัดวงจรคัปเปิลเลอร์ทางเฟส.....	29
3.13 ลายวงจรขยายสัญญาณรบกวนต่ำแบบบาลานซ์.....	30
3.14 วงจรขยายสัญญาณรบกวนต่ำแบบบาลานซ์.....	30
3.15 ผลการวัด S Parameters ของวงจรขยายสัญญาณรบกวนต่ำแบบบาลานซ์.....	31
3.16 ผลการวัด two-tone IMD ที่กำลังเอาต์พุตเป็น 0 dBm.....	31
3.17 ผลการวัด two-tone IMD ที่กำลังเอาต์พุตเป็น +3 dBm.....	32

เอกสารนี้เป็นเอกสารที่จัดทำขึ้นโดยไม่เอาใจใส่ในการนำเอกสารนี้ไปใช้ประโยชน์ใด ๆ ในทางที่ไม่ถูกต้อง  
 ไม่ว่ากรณี 3.17 ผลการวัด two-tone IMD ที่กำลังเอาต์พุตเป็น +3 dBm.....

## สารบัญ (ต่อ)

รูปที่	หน้า
3.18 ผลการวัด two-tone IMD ของวงจรรขยายสัญญาณรบกวนต่ำแบบบาลานซ์.....	33
4.1 โครงสร้างพื้นฐานของวงจรรออสซิลเลเตอร์.....	34
4.2 อินพุตอิมพีแดนซ์ลบจากตัวเก็บประจุป้อนกลับ.....	35
4.3 วงจรรออสซิลเลเตอร์แบบ 2 พอร์ต.....	37
4.4 วงจรรออสซิลเลเตอร์ (ก) วงจรคอมมอนเบส (ข) วงจรคอมมอนซอร์ส.....	38
4.5 วงจรสมมูลของวาเรกเตอร์ไดโอด.....	40
4.6 ผลของสัญญาณรบกวนทางเฟสแสดงได้ด้วยสเปกตรัมอานาไลเซอร์.....	43
4.7 โมเดลสัญญาณรบกวนของไบโพลาร์ทรานซิสเตอร์.....	45
4.8 วงจรป้อนกลับแบบลดผลของสัญญาณรบกวนทางเฟสที่เกิดจากสัญญาณรบกวน.....	46
4.9 บล็อกไดอะแกรมของวงจรสังเคราะห์ความถี่ระบบเฟสล็อกคูล.....	47
4.10 วงจรรออสซิลเลเตอร์ปรับค่าความถี่ได้.....	49
4.11 การเปรียบเทียบสเปกตรัมของสัญญาณรบกวน $1/f$ ของซิลิกอนไบโพลาร์ทรานซิสเตอร์ และ แกลเลียมอาร์เซไนด์เมสเฟต.....	50
4.12 อินพุตอิมพีแดนซ์ของวงจรรออสซิลเลเตอร์ที่ความถี่ 393.5 เมกกะเฮิร์ตซ์.....	51
4.13 วงจรรออสซิลเลเตอร์ความถี่ 393.5 เมกกะเฮิร์ตซ์.....	52
4.14 จำลองการทำงานของวงจรรออสซิลเลเตอร์ในโดเมนเวลาที่ความถี่ 393.5 MHz.....	53
4.15 จำลองการทำงานของวงจรรออสซิลเลเตอร์ในโดเมนความถี่ที่ความถี่ 393.5 MHz.....	53
4.16 ผลจำลองการทำงานเฟสออยส์ของวงจรรออสซิลเลเตอร์ที่ความถี่ 393.5 MHz.....	54
4.17 วงจรรออสซิลเลเตอร์ความถี่ 3.83 กิกะเฮิร์ตซ์.....	55
4.18 จำลองการทำงานของวงจรรออสซิลเลเตอร์ในโดเมนเวลาที่ความถี่ 3.83 GHz.....	55
4.19 จำลองการทำงานของวงจรรออสซิลเลเตอร์ในโดเมนความถี่ที่ความถี่ 3.83 GHz.....	56
4.20 ผลจำลองการทำงานเฟสออยส์ของวงจรรออสซิลเลเตอร์ที่ความถี่ 3.83 GHz.....	57
4.21 วงจรรออสซิลเลเตอร์ย่านความถี่ 393.5 เมกกะเฮิร์ตซ์.....	57
4.22 ผลการวัดระหว่างแรงดันควบคุมกับความถี่ของวงจรรออสซิลเลเตอร์ย่านความถี่ 393.5 เมกกะเฮิร์ตซ์.....	58
4.23 ผลการวัดระหว่างกำลังงานกับความถี่ของวงจรรออสซิลเลเตอร์ย่านความถี่ 393.5 เมกกะ เฮิร์ตซ์.....	58
4.24 วงจรรออสซิลเลเตอร์ย่านความถี่ 3.83 กิกะเฮิร์ตซ์.....	57

## สารบัญรูป (ต่อ)

รูปที่	หน้า
4.25 ผลการวัดระหว่างแรงดันควบคุมกับความถี่ของวงจรถอดสวิตช์เตอร์ย่านความถี่ 3.83 กิกะเฮิรตซ์.....	58
4.26 ผลการวัดระหว่างกำลังงานกับความถี่ของวงจรถอดสวิตช์เตอร์ย่านความถี่ 3.83 กิกะเฮิรตซ์.....	60
4.27 ลายทองแดงวงจรถึงเคราะห์ความถี่ย่าน 393.5 เมกกะเฮิรตซ์.....	60
4.28 วงจรถึงเคราะห์ความถี่ย่าน 393.5 เมกกะเฮิรตซ์.....	61
4.29 ผลการวัดวงจรถึงเคราะห์ความถี่ย่าน 393.5 เมกกะเฮิรตซ์ มี Phase Noise = -130 dBc/Hz @ 100 kHz.....	61
4.31 ผลการวัดวงจรถึงเคราะห์ความถี่ย่าน 393.5 เมกกะเฮิรตซ์.....	62
4.32 ผลการวัดเฟสออยส์วงจรถึงเคราะห์ความถี่ย่าน 393.5 เมกกะเฮิรตซ์.....	63
4.33 ลายวงจรถึงพิมพ์สั้งเคราะห์ความถี่ย่าน 3.83 กิกะเฮิรตซ์.....	63
4.34 วงจรถึงเคราะห์ความถี่ย่าน 3.83 กิกะเฮิรตซ์.....	64
4.35 ผลการวัดวงจรถึงเคราะห์ความถี่ย่าน 3.83 กิกะเฮิรตซ์ มี Phase Noise = -108 dBc/Hz @ 100 kHz.....	64
4.36 ผลการวัดวงจรถึงเคราะห์ความถี่ย่าน 3.83 กิกะเฮิรตซ์ มี Phase Noise = -128 dBc/Hz @ 1 MHz.....	65
4.37 ผลการวัดเฟสออยส์วงจรถึงเคราะห์ความถี่ย่าน 3.83 กิกะเฮิรตซ์.....	65
5.1 วงจรซิงเกิลบาลานซ์มิกเซอร์โดยใช้วงจรถึงเชื่อมต่อไฮบริคชนิดควอเดรเจอร์.....	70
5.2 วงจรถึงเชื่อมต่อไฮบริค.....	70
5.3 วงจรถึงเชื่อมต่อไฮบริค โครงสร้างแบบกรอบบรานซ์ไลน์.....	71
5.4 ผลจำลองการทำงานวงจรถึงเชื่อมต่อไฮบริคจ้คป์เพลอร์แบบ 90 องศา.....	72
5.5 ลายทองแดงของวงจรถึงเชื่อมต่อไฮบริค.....	73
5.6 วงจรถึงเชื่อมต่อไฮบริค.....	73
5.7 ผลการวัด S-Parameters วงจรถึงเชื่อมต่อไฮบริค.....	74
5.8 ผลการวัดค่าความสูญเสียแปลงผันกับสัญญาณความถี่วิทยุที่ความถี่กลาง 380 เมกกะเฮิรตซ์.....	74
5.9 ผลการวัดไอโซเลชันระหว่างพอร์ต LO กับ IF และ RF กับ IF ความถี่ 3.5 กิกะเฮิรตซ์.....	75

## สารบัญรูป (ต่อ)

รูปที่	หน้า
5.10 ผลการวัดค่าไอโซเลชันระหว่างพอร์ต LO กับ RF ของวงจรมิกเซอร์ความถี่ 3.5 กิกะเฮิร์ตซ์.....	75
5.11 ผลการวัดค่าความสูญเสียแปลงผันกับสัญญาณความถี่วิทยุที่ความถี่กลาง 13.5 เมกกะเฮิร์ตซ์.....	76
5.12 ผลการวัดค่าไอโซเลชันระหว่างพอร์ต LO กับ RF ที่ความถี่กลาง 13.5 เมกกะเฮิร์ตซ์.....	76
5.13 ผลการวัดค่าไอโซเลชันระหว่างพอร์ต LO กับ IF ที่ความถี่กลาง 13.5 เมกกะเฮิร์ตซ์.....	77
6.1 วงจรส่วนหน้าของเครื่องรับสำหรับสถานีฐานกับวงจรกรองผ่านแถบความถี่ที่มีค่าความ คมต่ำ.....	79
6.2 วงจรส่วนหน้าของเครื่องรับสำหรับสถานีฐานกับวงจรกรองผ่านแถบความถี่ที่มีค่าความ คมสูงมาก.....	79
6.3 วงจรกรองผ่านแถบความถี่แบบคอมป์ไลน์.....	80
6.4 คอมป์ไลน์เรโซเนเตอร์แบบช่องเปิด.....	82
6.5 โครงข่าย S เมตริกซ์ของคอมป์ไลน์เรโซเนเตอร์แบบช่องเปิด.....	82
6.6 ส่วนของช่องเปิดในท่อนำคลื่น.....	82
6.7 (ก) วงจรกรองผ่านความถี่ต่ำ (ข) วงจรกรองผ่านแถบความถี่ (ค) วงจรผกผันแอดมิตแตนซ์.....	83
6.8 วงจรสมมูลระหว่างวงจรผกผันแอดมิตแตนซ์และสายส่งซึ่งเป็นจำนวนคี่เท่าของหนึ่งใน สี่ความยาวคลื่น.....	85
6.9 วงจรสมมูลระหว่าง (ก) สายส่งแบบขนาน (ข) วงจรผกผันแอดมิตแตนซ์.....	85
6.10 วงจรกรองผ่านแถบความถี่แบบสองส่วนที่แสดงวงจรสมมูล.....	86
6.11 ผลจำลองการทำงานวงจรกรองผ่านแถบความถี่แบบคอมป์ไลน์.....	88
6.12 ขนาดของวงจรกรองผ่านแถบความถี่แบบคอมป์ไลน์.....	88
6.13 วงจรกรองผ่านแถบความถี่แบบคอมป์ไลน์.....	89
6.14 วงจรกรองผ่านแถบความถี่แบบคอมป์ไลน์ที่สร้างขึ้นจริง.....	89
6.15 ผลการวัดวงจรกรองความถี่ผ่านแถบความถี่แบบคอมป์ไลน์.....	90
6.16 วงจรกรองความถี่ต่ำผ่านที่ความถี่ 14 เมกกะเฮิร์ตซ์.....	93
6.18 ผลการจำลองการทำงานวงจรกรองความถี่ต่ำผ่านที่ความถี่ 14 เมกกะเฮิร์ตซ์.....	93
6.19 ผลการวัด S Parameters วงจรกรองความถี่ต่ำผ่านที่ความถี่ 14 เมกกะเฮิร์ตซ์ มีค่า Insertion Loss < 1.1 dB ค่า Return Loss > 15 dB.....	94

เอกสารนี้เป็นเอกสารลิขสิทธิ์ของมหาวิทยาลัยเทคโนโลยีพระจอมเกล้าธนบุรี  
 ไม่สามารถนำเอกสารนี้ไปใช้

## สารบัญรูป (ต่อ)

รูปที่	หน้า
6.19 ผลการวัด S Parameters วงจรกรองความถี่ต่ำผ่านที่ความถี่ 14 เมกกะเฮิร์ตซ์ มีค่า Insertion Loss < 1.1 dB ค่า Return Loss > 15 dB.....	94
6.20 วงจร SAW Filter ความถี่ 380 เมกกะเฮิร์ตซ์.....	94
6.21 ผลการวัดวงจร SAW Filter ความถี่ 380 เมกกะเฮิร์ตซ์.....	95
7.1 วงจรเครื่องรับทั้งหมดที่ประกอบเข้าด้วยกัน.....	97
7.2 วงจร IF Amplifier.....	99
7.3 การคำนวณนอยส์ฟลิกเกอร์และอัตราขยายของเครื่องรับ.....	99



เอกสารนี้เป็นเอกสารที่สงวนไว้สำหรับการใช้งานเพื่อการศึกษาเท่านั้น ไม่อนุญาตให้นำไปใช้ประโยชน์ด้านการค้า  
ไม่ว่ากรณีใดๆทั้งสิ้น อีกทั้งห้ามมิให้ดัดแปลงเนื้อหา และต้องอ้างอิงถึงเจ้าของเอกสารทุกครั้งที่มีการนำไปใช้

# บทที่ 1

## บทนำ

### 1.1 กล่าวนำ

WiMAX (Worldwide Interoperability for Microwave Access) หรือมาตรฐาน IEEE 802.16 คือเทคโนโลยีไร้สายความเร็วสูงล่าสุด ที่คาดว่าจะถูกนำมาใช้งานอย่างแพร่หลายในอนาคตอันใกล้ ต่อมา มีการออกมาตรฐานเป็น IEEE 802.16a ซึ่งได้รับอนุมัติออกมาเมื่อเดือนมกราคม 2004 โดยสถาบันวิศวกรรรมไฟฟ้าและอิเล็กทรอนิกส์ หรือ IEEE (Institute of Electrical and Electronics Engineers) มีรัศมีทำการ 30 ไมล์ (ประมาณ 48 กิโลเมตร) และมีความเร็วในการส่งผ่านข้อมูลสูงสุด 75 เมกะบิตต่อวินาที (Mbps) กว้างกว่า 10 เท่าและเร็วกว่า 30 เท่าเทียบกับ 3G

คุณสมบัติเด่นของ IEEE 802.16a คือความสามารถในการส่งสัญญาณจากจุดเดียวไปยังหลายจุด (Point-to-Multipoint) ได้พร้อมกัน, รองรับการทำงานแบบ Non-Line-of-Sight คือทำงานได้แม้มีสิ่งกีดขวาง เช่น ต้นไม้หรืออาคาร และเป็นประโยชน์อย่างยิ่งต่อผู้ให้บริการบรอดแบนด์ในการขยายพื้นที่ให้บริการ มาตรฐาน IEEE 802.16a จะทำงานบนความถี่ย่าน 2-11 กิกะเฮิรตซ์ (GHz) และสามารถใช้งานร่วมกับอุปกรณ์มาตรฐานชนิดอื่นๆ ที่ออกมาก่อนหน้านี้ได้

WiMAX คือการนำมาตรฐานใหม่ที่เป็น IEEE 802.16 มาใช้มาตรฐานดังกล่าวนี้ใช้ Orthogonal Frequency Division Multiplexing (OFDM) ในการทำให้การบริการข้อมูลไร้สายให้มีความสามารถสูงสุด หลักการของเทคโนโลยี OFDM นี้ก็คือการนำคลื่นความถี่วิทยุเล็กๆ (sub-carrier) มาใช้ให้เกิดประโยชน์สูงสุด โดยการนำคลื่นความถี่วิทยุต่ำๆ (ระดับ kHz) มาจัดสรรให้แก่ผู้ใช้ตามข้อกำหนดคลื่นความถี่วิทยุ การที่เราสามารถนำคลื่นความถี่วิทยุที่มีอยู่ทั้งหมดมาใช้ประโยชน์ได้อย่างมีประสิทธิภาพมากยิ่งขึ้นเช่นนี้ทำให้เครือข่าย OFDM มีประโยชน์มหาศาล และมีความเหมาะสมเป็นอย่างยิ่งสำหรับการเชื่อมต่อข้อมูลความเร็วสูงสำหรับผู้ใช้ทั้งที่อยู่ภายในสถานที่และนอกสถานที่ ปัจจุบันเครือข่ายไร้สาย Wireless Wide Area Network หรือ WWAN ที่อิงเทคโนโลยี OFDM ล้วนแต่เป็นมาตรฐานชนิด IEEE 802.16 ทั้งสิ้น

IEEE 802.16 เป็นมาตรฐานสำหรับการใช้งานแบบโครงข่ายไร้สายในเมืองหรือ Wireless Metropolitan Area Network (Wireless MAN) ซึ่งได้รับการปรับปรุงจากมาตรฐาน IEEE 802.11 ทั้งในรายละเอียดของชั้นกายภาพ (Physical Layer: PHY-Layer) และชั้นควบคุมการเข้าใช้ตัวกลาง (Medium Access Control Layer: MAC-Layer) โดยมาตรฐานนี้จะสามารถทำการเชื่อมต่อกับโครงข่ายเดิม เช่น Ethernet หรือ WLAN และยังสามารถส่งถ่ายข้อมูลแบบอินเทอร์เน็ตไร้สายความเร็วสูงจากสถานีฐานไปยังย่านธุรกิจ ที่พักอาศัย หรือจุดชุมชนได้

IEEE 802.16 นั้น ได้เริ่มมีการพัฒนามาตั้งแต่ปี 2001 ซึ่งมีการใช้งานในช่วงความถี่ที่สูงมากคือ 10-66 กิกะเฮิรตซ์ ต่อมา IEEE 802.16a ก็ได้รับการรับรองมาตรฐานในเดือนมกราคม 2003 สำหรับการใช้งานที่ความถี่ 2-11 กิกะเฮิรตซ์ โดยมีคุณสมบัติเด่นที่ได้รับการแก้ไขจากมาตรฐาน 802.16 เดิม คือคุณสมบัติการรองรับการทำงานแบบที่ไม่อยู่ในระดับสายตา (Non-Line-of-Sight: NLOS) รวมทั้งคุณสมบัติการทำงานเมื่อมีสิ่งกีดขวาง อาทิเช่น ต้นไม้ อาคาร ฯลฯ นอกจากนี้ IEEE 802.16a ยังช่วยให้เราสามารถขยายเครือข่ายเชื่อมต่ออินเทอร์เน็ตไร้สายความเร็วสูงได้อย่างกว้างขวางด้วยรัศมีทำการที่ไกลถึง 31 ไมล์ (ประมาณ 49.6 กิโลเมตร) และอัตราการความเร็วในการรับส่งข้อมูลสูงสุดถึง 75 Mbps ซึ่งคุณสมบัติดังกล่าวทำให้ 802.16a สามารถรองรับการเชื่อมต่อของบริษัทที่ใช้สายประเภท ที1 (T1-type) กว่า 60 ราย และการเชื่อมต่อแบบ DSL ตามบ้านอีกหลายร้อยครัวเรือนได้พร้อมกัน โดยไม่เกิดปัญหาในการใช้งานทั้งนี้ประโยชน์ที่เด่นชัดที่สุดอย่างหนึ่งของ WiMAX ก็เห็นจะเป็นความสามารถในการเข้าถึงพื้นที่ที่เข้าถึงได้ยาก นอกจากนั้นแล้วสถานีฐาน (Base Station) ยังสามารถพิจารณาความเหมาะสมในระหว่าง ความเร็ว และระยะทางได้อีก การใช้เทคนิคในแบบ 64 QAM (Quadarature Amplitude Modulation) ไม่สามารถรองรับการสื่อสารที่มีประสิทธิภาพได้ การเปลี่ยนไปใช้ 16 QAM หรือ QPSK (Quadarature Phase Shift Keying) ซึ่งจะช่วยเพิ่มระยะทางการในการสื่อสาร ให้มากขึ้นได้โดย WiMAX จะเป็นหนึ่งในเทคโนโลยีที่เข้ามาช่วยขยายเครือข่ายอินเทอร์เน็ตสู่พื้นที่ห่างไกลที่บริการดีเอสแอล (DSL) และบริการเชื่อมต่อผ่านสายเคเบิลที่ไม่สามารถเข้าถึงได้ อีกทั้งยังใช้งบประมาณในการลงทุนที่ต่ำกว่าเมื่อเทียบกับการติดตั้งระบบบรอดแบนด์แบบใช้สายอย่างโครงข่ายใยแก้วนำแสงที่ต้องมีการลากสาย และติดตั้งท่อร้อยสายได้คิดด้วยเหตุนี้ WiMAX จึงถือเป็นทางเลือกใหม่ในการใช้แถบความถี่กว้างความเร็วสูงในราคาประหยัดขึ้น

ในส่วนของประเทศไทยนั้น การนำเทคโนโลยี WiMAX มาใช้งานอาจจะต้องประสบกับปัญหาเรื่องของข้อกฎหมายที่เกี่ยวกับคลื่นความถี่ที่ต้องมีการขออนุญาตใช้งานจากคณะกรรมการกิจการโทรคมนาคมแห่งชาติ (กทช) ในขณะที่ปัจจุบันกระบวนการคัดสรร กทช. ยังไม่สามารถหาข้อสรุปได้ อย่างไรก็ตาม การที่เทคโนโลยี WiMAX สามารถใช้งานได้หลายคลื่นความถี่ ก็อาจช่วยให้เราสามารถนำเทคโนโลยีนี้มาให้บริการบนคลื่นความถี่ที่ได้รับอนุญาตแล้ว ได้แก่ ความถี่ 2.4 กิกะเฮิรตซ์ ซึ่งเป็นคลื่นความถี่สาธารณะ แต่การใช้งานดังกล่าวจะต้องไม่ไปรบกวนอุปกรณ์อื่นที่ใช้คลื่นความถี่เดียวกันหรือใกล้เคียงกันจนก่อให้เกิดปัญหาได้

แม้ในวันนี้ WiMAX จะเป็นเทคโนโลยีใหม่ที่คนทั่วไปยังไม่รู้จักอย่างแพร่หลาย แต่คงไม่เสียหายอะไรหากผู้ที่เกี่ยวข้องจะเริ่มหันมาศึกษารายละเอียดของเทคโนโลยีนี้อย่างจริงจัง ทั้งนี้ WiMAX ถือว่าเป็นทางเลือกหนึ่งที่จะเข้ามาช่วยตอบสนองความต้องการใช้งานอินเทอร์เน็ตความเร็วสูงซึ่งมีแนวโน้มเติบโตอย่างรวดเร็วได้เป็นอย่างดี และหากเรามองถึงประโยชน์ของการขยายเครือข่ายแถบความถี่กว้างให้เข้าถึงพื้นที่ที่ห่างไกลแล้ว ผลประโยชน์ก็จะเกิดขึ้นกับผู้ใช้ทุกคน

ที่จะมีโอกาสได้ใช้เครือข่ายสื่อสารความเร็วสูงอย่างเท่าเทียมกัน และเชื่อได้ว่าในอนาคตอันใกล้นี้ เราจะได้สัมผัสกับเทคโนโลยี WiMAX อย่างแพร่หลายเช่นเดียวกับที่ Wi-Fi ประสบความสำเร็จอยู่ในปัจจุบัน [1]

## 1.2 วัตถุประสงค์ในการทำวิทยานิพนธ์

วิทยานิพนธ์ฉบับนี้จัดทำขึ้น โดยมีจุดประสงค์ เพื่อนำเสนอขั้นตอนการออกแบบและการสร้างวงจรส่วนหน้าของเครื่องรับสำหรับสถานีฐานในระบบ WiMAX ช่วงความถี่ 3.4 ถึง 3.6 กิกะเฮิรตซ์ ซึ่งระบบของเครื่องรับที่นำเสนอในวิทยานิพนธ์นี้ คือ ระบบซูเปอร์เฮเทอร์โรไดนัม วงจรเครื่องรับสำหรับสถานีฐานระบบ WiMAX ที่นำเสนอในวิทยานิพนธ์ฉบับนี้ประกอบด้วยวงจรหลักทั้งสิ้น 4 วงจร ได้แก่ ก) วงจรขยายสัญญาณรบกวนต่ำแบบบาลานซ์ ข) วงจรสังเคราะห์ความถี่ ค) วงจรมิกเซอร์ ง) วงจรกรองผ่านแถบความถี่ วงจรเครื่องรับสำหรับสถานีฐานที่สร้างขึ้นแม้มีขนาดใหญ่ แต่มีความสามารถในการทำงานที่ดี และยังสามารถผลิตขึ้น โดยใช้เทคโนโลยีภายในประเทศทั้งสิ้น ผู้จัดทำวิทยานิพนธ์หวังเป็นอย่างยิ่งว่าผลงานอันเกิดจากการค้นคว้าวิจัย และพัฒนานี้จะเป็นจุดเริ่มต้นสำหรับนักวิจัยท่านอื่นต่อการค้นคว้าและพัฒนาเครื่องรับสำหรับสถานีฐานให้มีคุณภาพที่ดียิ่งขึ้นไปในอนาคต

## 1.3 รายละเอียดของวิทยานิพนธ์

เพื่อความเข้าใจที่ดีและเป็นระบบวิทยานิพนธ์ฉบับนี้จึงได้แบ่งเนื้อหาออกเป็นบทรวมทั้งสิ้นจำนวน 8 บท โดยแต่ละบทมีรายละเอียดดังนี้

บทที่ 1 กล่าวถึง ความสำคัญ ประวัติความเป็นมาของระบบไร้สาย WiMAX วัตถุประสงค์ในการทำวิทยานิพนธ์และรายละเอียดภายในวิทยานิพนธ์ ทั้งนี้เพื่อให้ง่ายต่อการเข้าใจและแสดงให้เห็นถึงภาพรวมของวงจรเครื่องรับที่ต้องการนำเสนอในวิทยานิพนธ์

บทที่ 2 กล่าวถึง โครงสร้าง มาตรฐาน ข้อกำหนดต่างๆ และบล็อกไดอะแกรมของเครื่องรับสำหรับสถานีฐานในระบบ WiMAX วงจรเครื่องรับสำหรับสถานีฐาน นี้ถูกออกแบบขึ้นโดยใช้โครงสร้างของเครื่องรับ ในระบบระบบซูเปอร์เฮเทอร์โรไดนัม

บทที่ 3 กล่าวถึง ทฤษฎี หลักการทำงาน การออกแบบ การสร้าง และผลการทดลองของวงจรขยายสัญญาณรบกวนต่ำแบบบาลานซ์ ซึ่งสามารถให้อัตราขยายสูง การสูญเสียย้อนกลับทางอินพุตสูง และสัญญาณรบกวนต่ำ เพื่อให้สัญญาณรบกวนทั้งระบบต่ำ

บทที่ 4 กล่าวถึง ทฤษฎี หลักการทำงาน การออกแบบ การสร้าง และผลการทดลองของวงจรสังเคราะห์ความถี่ระบบเฟสล็อกคัลซึ่งสามารถตั้งค่าความถี่ด้วยวิธีการทางดิจิทัล นอกจากนี้วงจรสังเคราะห์ความถี่ที่สร้างขึ้นยังให้สัญญาณเอาต์พุตที่มีคุณสมบัติของสัญญาณ

รบกวนทางเฟสต่ำเพื่อการประยุกต์ใช้เป็นเครื่องกำเนิดความถี่หรือใช้เป็นวงจรรอสซิลเลเตอร์ประจำเครื่องได้

บทที่ 5 กล่าวถึง วงจรมิกเซอร์ โดยมีรายละเอียดเกี่ยวกับวงจรเชิงกลบาแลนซ์มิกเซอร์ การออกแบบและสร้างวงจรมิกเซอร์ และผลการทดลองของวงจรมิกเซอร์

บทที่ 6 กล่าวถึง ทฤษฎี การออกแบบ การสร้าง และผลการทดลองของวงจรกรองผ่านแถบความถี่ ซึ่งสามารถเกิดการสูญเสียต่ำกว่า 0.7 dB การสูญเสียย้อนกลับทางอินพุตคือกว่า 24 dB ทำให้วงจรทนกำลังงานได้สูง และได้ผลตอบสนองทางความถี่ที่ดี

บทที่ 7 กล่าวถึง คุณสมบัติรวมของวงจรส่วนหน้าของเครื่องรับสำหรับสถานีฐานระบบ WiMAX ความถี่ 3.4-3.6 กิกะเฮิรตซ์ ที่ออกแบบและสร้างขึ้นได้ในวิทยานิพนธ์ฉบับนี้

บทที่ 8 กล่าวถึง การสรุปผลการดำเนินงานต่างๆที่ผ่านมา รวมทั้งปัญหาที่พบของวงจรต่างๆที่ถูกออกแบบและสร้างขึ้น นอกจากนั้นยังให้ข้อเสนอแนะในการพัฒนาวงจรเครื่องรับสำหรับสถานีฐานในลำดับต่อไป



เอกสารนี้เป็นเอกสารที่สงวนไว้สำหรับการใช้งานเพื่อการศึกษาเท่านั้น ไม่อนุญาตให้นำไปใช้ประโยชน์ด้านการค้า ไม่ว่าจะกรณีใดๆทั้งสิ้น อีกทั้งห้ามมิให้คัดแปลงเนื้อหา และต้องอ้างอิงถึงเจ้าของเอกสารทุกครั้งที่มีการนำไปใช้

## บทที่ 2

# เครื่องรับระบบ WiMAX

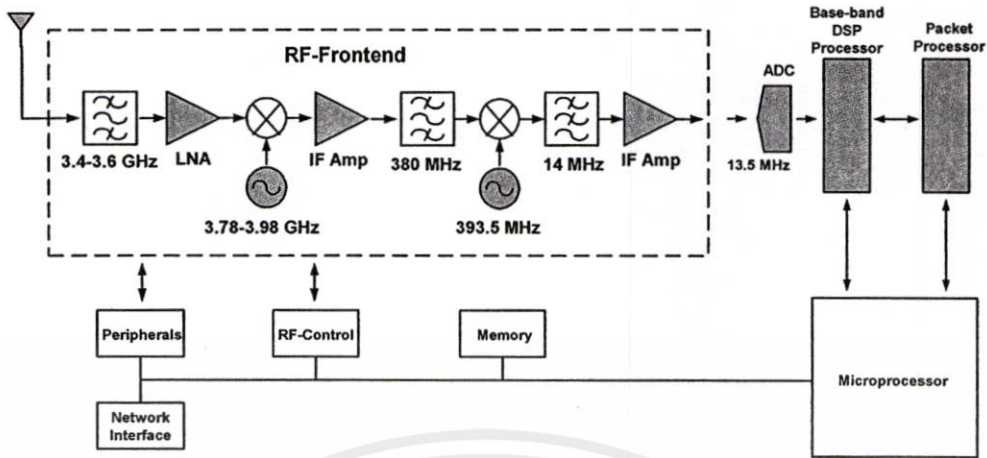
### 2.1 กล่าวนำ

ปัจจุบันเทคโนโลยีการสื่อสารแบบไร้สายเข้ามามีบทบาทต่อการดำเนินชีวิตของผู้บริโภคเป็นอย่างมาก ซึ่งส่งผลให้การสื่อสารในรูปแบบเดิมๆ ที่ใช้สายสัญญาณเริ่มถูกแทนที่ด้วยเทคโนโลยีไร้สายรูปแบบใหม่ๆ ไม่ว่าจะเป็นโทรศัพท์เคลื่อนที่ซึ่งเข้ามาแทนที่โทรศัพท์พื้นฐานด้วยอัตราการเติบโตอย่างรวดเร็วตลอด 2-3 ปี ที่ผ่านมา ขณะเดียวกันเทคโนโลยีการเชื่อมต่อคอมพิวเตอร์ในระบบเครือข่ายท้องถิ่น (Local Area Network: LAN) ซึ่งใช้กันอยู่ทั่วไปในองค์กรหรือสถาบันต่างๆ ก็ถูกท้าทายด้วยเทคโนโลยีการสื่อสารแบบไร้สายที่กำลังได้รับความนิยมในปัจจุบันอย่าง Wireless LAN ไม่ว่าจะเป็นในมาตรฐาน IEEE 802.11a 802.11b หรือ 802.11g อย่างไรก็ตามหากเราได้ทำการศึกษารายละเอียดของเทคโนโลยี Wireless LAN อย่างจริงจังแล้วก็จะพบว่า Wireless LAN นั้นยังมีข้อจำกัดในการใช้งานอยู่หลายประการ ทั้งในแง่ของประสิทธิภาพการใช้งานในที่โล่งจำนวนผู้ใช้งาน แบนด์วิดท์ รวมถึงข้อจำกัดในเรื่องของระยะทาง ด้วยเหตุนี้บริษัทเทคโนโลยีชั้นนำอย่าง Nokia, Intel, Proxim, Airspan Networks, Agilent, Intracom, Huges Network, Fujitsu Microelectronics และ Alvairon ฯลฯ จึงได้ทำการจัดตั้งกลุ่ม WiMAX (Worldwide Interoperability for Microwave Access) ขึ้น เพื่อร่วมกันพัฒนาและกำหนดมาตรฐานกลางของเทคโนโลยีไร้สายความเร็วสูงหรือไวร์เลสบรอดแบนด์ใหม่ "IEEE 802.16" รวมถึงการทำหน้าที่ทดสอบและออกใบรับรองให้แก่อุปกรณ์ที่ใช้มาตรฐานไร้สายระบบใหม่ ทั้งนี้มาตรฐาน IEEE 802.16 จะถูกเรียกกันโดยทั่วไปว่า WiMAX เช่นเดียวกับที่ IEEE 802.11 เคยได้รับการรู้จักในชื่อ Wi-Fi มาแล้ว พารามิเตอร์เปรียบเทียบโครงข่ายไร้สายแบบต่างๆดังตารางที่ 2.1

### 2.2 บล็อกไดอะแกรมของเครื่องรับ WiMAX

ในระบบเครื่องรับ WiMAX ประกอบไปด้วการทำงานในส่วนของเบสแบนด์และการทำงานในภาคความถี่วิทยุ โดยในวิทยานิพนธ์นี้จะกล่าวถึงการออกแบบและสร้างวงจรเฉพาะในส่วนของภาคความถี่วิทยุเท่านั้น โดยแสดงบล็อกไดอะแกรมแสดงได้ดังรูปที่ 2.1 ส่วนประกอบต่างๆตามบล็อกไดอะแกรมสามารถอธิบายหน้าที่การทำงานแบบพอสังเขปได้ดังนี้คือ

เอกสารนี้เป็นเอกสารที่สงวนไว้สำหรับการใช้งานเพื่อการศึกษาเท่านั้น ไม่อนุญาตให้นำไปใช้ประโยชน์ด้านการค้า  
ไม่ว่ากรณีใดๆทั้งสิ้น อีกทั้งห้ามมิให้ดัดแปลงเนื้อหา และต้องอ้างอิงถึงเจ้าของเอกสารทุกครั้งที่มีการนำไปใช้



รูปที่ 2.1 บล็อกโคโระแกรมแสดงการทำงานของเครื่องรับระบบ WiMAX

2.2.1 วงจรขยายสัญญาณรบกวนต่ำแบบบาลานซ์ ปกติแล้วสัญญาณที่รับเข้ามาจากสายอากาศมีขนาดของสัญญาณต่ำมาก จึงต้องใช้วงจรขยายสัญญาณรบกวนต่ำซึ่งทำหน้าที่ขยายสัญญาณความถี่วิทยุที่เข้ามาจากสายอากาศและผ่านวงจรกรองผ่านแถบความถี่ให้มีขนาดสัญญาณแรงขึ้น โดยไม่ทำให้อัตราส่วนของสัญญาณต่อสัญญาณรบกวนแย่ลง ใช้โครงสร้างวงจรเป็นแบบบาลานซ์ร่วมกับการใช้เทคนิคการป้อนกลับแบบที่ใช้ตัวเหนี่ยวนำอนุกรม ซึ่งวงจรที่ออกแบบใช้อุปกรณ์แอกทิฟเป็น Silicon Germanium (SiGe) วงจรมีอัตราขยาย  $21 \pm 1$  dB ค่านอยส์ฟลิกเกอร์ 1.5 dB ค่าการสูญเสียย้อนกลับทางอินพุตและเอาต์พุตคือ 25 dB และ 15 dB ตามลำดับ, ค่า  $P_{1dB}$  มีค่าประมาณ 3 dBm และค่าเอาต์พุต IP3 มีค่า 8 dBm ที่ช่วงความถี่ 3.4 ถึง 3.6 กิกะเฮิร์ตซ์

2.2.2 วงจรสังเคราะห์ความถี่ด้วยเฟสล็อกคูลู ทำหน้าที่กำเนิดสัญญาณความถี่โลคอลโดยผลิตความถี่ช่วง 393.5 เมกะเฮิร์ตซ์ และ 3.83 กิกะเฮิร์ตซ์ เพื่อเข้าไปผสมความถี่กับวงจรมิกเซอร์ พบว่าที่ความถี่เอาต์พุต 393.6 เมกะเฮิร์ตซ์ วงจรมีระดับสัญญาณรบกวนทางเฟสเท่ากับ -93 dBc/Hz -116 dBc/Hz และ -130dBc/Hz ที่ความถี่ออฟเซตจากสัญญาณเอาต์พุตเท่ากับ 10 kHz 100 kHz และ 1 MHz ตามลำดับ และที่ความถี่เอาต์พุต 3.83 กิกะเฮิร์ตซ์ วงจรมีระดับสัญญาณรบกวนทางเฟสเท่ากับ -85 dBc/Hz -108 dBc/Hz และ -128 dBc/Hz ที่ความถี่ออฟเซตจากสัญญาณเอาต์พุตเท่ากับ 10 kHz 100 kHz และ 1 MHz ตามลำดับ ซึ่งวงจรสังเคราะห์ความถี่มีองค์ประกอบภายในดังนี้

2.2.2.1 วงจรคริสตอลออสซิลเลเตอร์ ที่ความถี่ 12.8 เมกะเฮิร์ตซ์ ทำหน้าที่สร้างสัญญาณอ้างอิงเพื่อใช้ในการเปรียบเทียบเฟสกับสัญญาณที่ได้จากวงจรรออสซิลเลเตอร์แบบปรับค่าความถี่ได้ตามแรงดันควบคุมโดยใช้คริสตอลเป็นตัวเรโซแนนซ์ความถี่เนื่องจากมีเสถียรภาพสูง

และมีการเปลี่ยนแปลงความถี่ที่ต่ำวงจรออสซิลเลเตอร์จะอยู่ภายในไอซีเบอร์ PE3336 ทำงานได้ โดยต่อ คริสตอลจากภายนอก

2.2.2.2 วงจรกำเนิดสัญญาณแบบปรับค่าความถี่ได้ตามแรงดันไฟฟ้า ทำหน้าที่กำเนิดสัญญาณความถี่วิทยุที่มีการปรับค่าความถี่ได้ตามแรงดันไฟฟ้าควบคุมเพื่อใช้ในการสังเคราะห์ความถี่ด้วยเฟสล็อกคูป โดยต้องการล็อกความถี่ช่วง 393.5 เมกะเฮิร์ตซ์ และ 3.83 กิกะเฮิร์ตซ์ วงจรที่ออกแบบใช้ทรานซิสเตอร์ชนิดซิลิกอนไบโพลาร์เบอร์ BFP-420

2.2.2.3 วงจรพรีสเกลเลอร์ ทำหน้าที่หารความถี่ลงมาเพื่อไม่ให้เกินช่วงความถี่ที่ไอซีเบอร์ PE3336 สามารถทำงานได้ (ความถี่อินพุตน้อยกว่า 3 กิกะเฮิร์ตซ์) พรีสเกลเลอร์ใช้แบบหาร 4 ได้ โดยใช้พรีสเกลเลอร์ใช้เบอร์ HMC-433

2.2.2.4 วงจรเปรียบเทียบเฟสและความถี่ ทำหน้าที่เปรียบเทียบเฟสและความถี่ของสัญญาณสองสัญญาณโดยสัญญาณหนึ่งคือสัญญาณอ้างอิงที่ได้จากการหารความถี่จากคริสตอลออสซิลเลเตอร์และอีกสัญญาณจากการหารความถี่จากวงจรออสซิลเลเตอร์ปรับค่าความถี่ได้ตามแรงดันควบคุมไฟฟ้า

2.2.2.5 วงจรลูปฟิลเตอร์ เป็นวงจรกรองความถี่ต่ำผ่านแบบแอกทีฟสามารถกำหนดค่า  $\zeta$  (damping factor) และ  $\omega_n$  (natural frequency) ได้จากค่าองค์ประกอบของวงจรกรองความถี่สัญญาณที่ได้จากวงจรเปรียบเทียบเฟสจะประกอบด้วยองค์ประกอบทางคิซีและเอซี โดยสิ่งที่ต้องการคือองค์ประกอบทางคิซี เพื่อนำไปใช้ควบคุมความถี่ของวงจรออสซิลเลเตอร์ปรับค่าความถี่ได้ตามแรงดัน ควบคุมไฟฟ้าควบคุม

2.2.3 วงจรมิกเซอร์ กำหนดให้ความถี่ของสัญญาณวิทยุที่รับเข้ามาเป็น  $f_{RF}$  ซึ่งสัญญาณความถี่วิทยุนี้จะถูกแปลงไปที่สัญญาณเบสแบนด์ซึ่งปกติการแปลงความถี่นี้มีมากกว่า 1 ภาค เนื่องจากถ้าสัญญาณวิทยุที่รับเข้ามาซึ่งมีความถี่ประมาณ 3.5 กิกะเฮิร์ตซ์ ซึ่งถ้าแปลงความถี่โดยตรงไปที่สัญญาณเบสแบนด์เลย เครื่องรับจะมีราคาสูงมากเนื่องจากต้องใช้อุปกรณ์ที่มีคุณสมบัติสูง สัญญาณวิทยุที่ถูกคูณเข้ากับสัญญาณ โดคอสความถี่  $f_{LO}$  จะได้ผลคูณเป็นสัญญาณความถี่กลาง  $f_{IF}$  เมื่อ  $f_{IF} = |f_{RF} - f_{LO}|$  ซึ่งที่ความถี่นี้สามารถใช้วงจรกรองเลือกช่องสัญญาณที่มีค่า Q สูงมากได้ และส่วนของวงจรควบคุมอัตราขยายอัตโนมัติก็จะมีราคาถูกลง วงจรมิกเซอร์ทำหน้าที่แปลงความถี่สัญญาณวิทยุมาที่สัญญาณความถี่กลาง โดยทำการผสมกับความถี่ที่ได้จากวงจรสังเคราะห์

เอกสารนี้ ความถี่ช่วง 3.4 ถึง 3.6 กิกะเฮิร์ตซ์ เป็นสัญญาณความถี่กลาง 13.5 เมกะเฮิร์ตซ์ ใช้โครงสร้างวงจรไม่ว่ากรณี มิกเซอร์แบบแบบบรานซ์ไลน์ชอตคิกโค โอคเบอร์ HSMS-282C ผลการวัดค่าการสูญเสียแปลงผันของวงจรมิกเซอร์ โดยป้อนค่าความถี่ RF อินพุต ตั้งแต่ 3.4 ถึง 3.6 กิกะเฮิร์ตซ์ ด้วยขนาดสัญญาณ -

10 dBm และทำการปรับค่าความถี่โลคอลล ขนาดสัญญาณ +10 dBm โดยความถี่โลคอลลเท่ากับ 3.83 กิกะเฮิร์ตซ์ เพื่อให้ได้ค่าความถี่ IF ที่ 380 เมกกะเฮิร์ตซ์ พบว่ามีค่าความสูญเสียแปลงผันประมาณ 9 dB ในย่านความถี่ที่ใช้งาน ค่าไอโซเลชันระหว่างพอร์ต LO กับ IF และ RF กับ IF -19 dB และพอร์ต RF กับ IF -28 dB และค่าไอโซเลชันระหว่างพอร์ต LO กับ RF เท่ากับ -12 dB ที่ความถี่ 3.5 กิกะเฮิร์ตซ์

**2.2.4 วงจรกรองผ่านแถบความถี่** ใช้กรองความถี่สัญญาณวิทยุที่รับมาจากสายอากาศ เพื่อป้องกันสัญญาณรบกวนนอกแบนด์ไม่ให้เข้ามาในระบบเครื่องรับ ใช้โครงสร้างวงจรเป็นแบบคอมบ์ไลน์ มีจำนวนเรโซเนเตอร์ทั้งหมด 7 ตัว การใส่แทรก (Insertion Loss) ต่ำกว่า 0.7 dB ตลอดช่วงความถี่ และค่าการสูญเสียย้อนกลับทางอินพุต (Input Return Loss) มีค่าต่ำกว่า 24 dB ตลอดช่วงความถี่ ผลการวัดวงจรกรองความถี่ต่ำผ่านความถี่ตัดผ่าน 14 เมกกะเฮิร์ตซ์ พบว่าการสูญเสียเนื่องจากการใส่แทรกต่ำกว่า 1.1 dB ตลอดช่วงความถี่ และค่าการสูญเสียย้อนกลับทางอินพุต (Input Return Loss) มีค่าต่ำกว่า 15 dB ตลอดช่วงความถี่

ตารางที่ 2.1 พารามิเตอร์โครงข่ายไร้สายแบบต่างๆ [2]

ชื่อ	มาตรฐาน	อัตราการรับ-ส่งข้อมูล	ระยะทางสูงสุด	ความถี่ (กิกะเฮิร์ตซ์)
RFID	EPC 1.0-ISO 10536 และ ISO 14443	106 Kbps	3 m	-
Bluetooth	IEEE 802.15.1	2 Mbps	100 m	2.4
UWB	IEEE 802.15.3	Up to 50 Mbps	10 m	-
Zigbee	IEEE 802.15.4	250 kbps	10 m	2.4
Zigbee	IEEE 802.15.4a	20 kbps	75 m	0.9
Wi-Fi	IEEE 802.11b	11 Mbps	100 m	2.4
Wi-Fi	IEEE 802.11a	54 Mbps	30 m	5.5
Wi-Fi	IEEE 802.11g	54 Mbps	100 m	2.4
Wi-Fi	IEEE 802.11n	320 Mbps	30 m	2.4, 5.5
WiMAX	IEEE 802.16d	70 Mbps	50 km	2.5, 3.5, 5.8
MBWA	IEEE 802.20	1 Mbps	100 m	น้อยกว่า 3.5

เอกสารนี้เป็นเอกสารที่สงวนไว้สำหรับการใช้งานเพื่อการศึกษาเท่านั้น ไม่อนุญาตให้นำไปใช้ประโยชน์ด้านการค้า ไม่ว่าจะกรณีใดๆทั้งสิ้น อีกทั้งห้ามมิให้ตัดแปลงเนื้อหา และต้องอ้างอิงถึงเจ้าของเอกสารทุกครั้งที่มีการนำไปใช้

ตารางที่ 2.2 มาตรฐาน IEEE 802.16 [1]

	802.16	802.16a/HiperMAN	802.16e
แถบความถี่	10-66 GHz	< 11 GHz	< 6 GHz
เงื่อนไขช่องสัญญาณ	Line of Sight only	Non line of Sight	Non line of Sight
อัตราเร็ว	32-134 Mbps เมื่อแบน วิคซ์เท่ากับ 28 MHz	75 Mbps เมื่อแบน วิคซ์เท่ากับ 20 MHz	15 Mbps เมื่อแบนวิคซ์ เท่ากับ 5 MHz
มอดูเลชัน	QPSK, 16QAM, 64QAM	OFDM 256 carriers, QPSK, 16QAM,64QAM	OFDM 256 carriers, QPSK, 16QAM,64QAM
ช่องสัญญาณแบนวิคซ์	20, 25, 28 MHz	1.25, 1.75, 3.5, 5, 7, 10, 14, 20 MHz	1.25, 1.75, 3.5, 5, 7, 10, 14, 20 MHz
ระยะทาง	2-5 km.	7-10 km. สูงสุด 50 km.	2-5 km.

ตารางที่ 2.3 Sample link budgets for a WiMAX system [1]

Parameter	Mobile Handheld in Outdoor Scenario		Fix Destop in Indoor Scenario	
	Downlink	Uplink	Downlink	Uplink
Power amplifier output power	43 dB <sub>m</sub>	27 dB <sub>m</sub>	43 dB <sub>m</sub>	27 dB <sub>m</sub>
Number of tx antennas	2	1	2	1
Power amplifier backoff	0 dB <sub>m</sub>	0 dB <sub>m</sub>	0 dB <sub>m</sub>	0 dB <sub>m</sub>
Tx antenna gain	18 dB <sub>i</sub>	0 dB <sub>i</sub>	18 dB <sub>i</sub>	0 dB <sub>i</sub>
Transmitter losses	3 dB	0 dB	3 dB	0 dB
Effective isotropic radiated power	61 dB <sub>m</sub>	27 dB <sub>m</sub>	61 dB <sub>m</sub>	33 dB <sub>m</sub>
Channel bandwidth	10 MHz	10 MHz	10 MHz	10 MHz
Number of subchannels	16	16	16	16
Receiver noise level	-104 dB <sub>m</sub>	-104 dB <sub>m</sub>	-104 dB <sub>m</sub>	-104 dB <sub>m</sub>
Receiver noise figure	8 dB	4 dB	8 dB	4 dB
Required SNR	0.8 dB	1.8 dB	0.8 dB	1.8 dB
Macro diversity gain	0 dB	0 dB	0 dB	0 dB

ตารางที่ 2.3 Sample link budgets for a WiMAX system (ต่อ)

Subchannelization gain	0 dB	12 dB	0 dB	12 dB
Data rate per subchannel (kbps)	151.2	34.6	151.2	34.6
Receiver sensitivity ( $\text{dB}_m$ )	-95.2	-110.2	-95.2	-110.2
Receiver antenna gain	0 $\text{dB}_i$	18 $\text{dB}_i$	6 $\text{dB}_i$	18 $\text{dB}_i$
System gain	156.2 dB	155.2 dB	162.2 dB	161.2 dB
Shadow-fade margin	10 dB	10 dB	10 dB	10 dB
Link margin	146.2 dB	145.2 dB	142.2 dB	141.2 dB
Coverage range	1.06 km	1.06 km	0.81 km	0.81 km

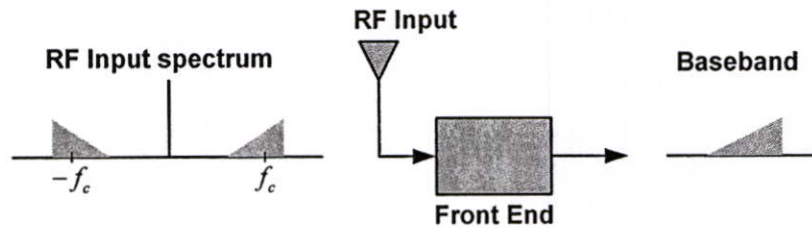
ตารางที่ 2.4 ข้อมูลเครื่องรับระบบ WiMAX [3-5]

RX Frequency band	3399-3431 MHz
TX Frequency band	3499-3531 MHz
RX Noise Figure	< 5 dB
Frequency Synthesizer	
Phase Noise @ 10 kHz	< -95 dBc/Hz
Phase Noise @ 100 kHz	< -115 dBc/Hz
Frequency Stability	<1 ppm
Low Noise Amplifier	
$S_{21}$	> 17 dB
$S_{11}$	< -14 dB
$S_{22}$	< -14 dB
NF	< 1.5 dB
RF Filter	
Insertion Loss	<1.5 dB

## 2.3 ระบบเครื่องรับ

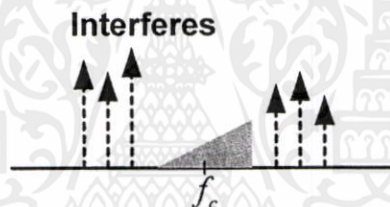
เอกสารนี้เป็นเอกสารอุปกรณ์ที่สำคัญอย่างหนึ่งของระบบการสื่อสารไร้สายคือเครื่องรับ ซึ่งใช้รับสัญญาณขาเข้า และส่งข้อมูลที่ต้องการออกมา เนื่องจาก FCC (Federal Communication Commission) กำหนดให้ สัญญาณข้อมูลที่ต้องการส่งใช้แถบความถี่ที่กำหนดซึ่งมีค่ามากกว่าแบนด์วิดท์ของสัญญาณที่

ต้องการ ดังที่แสดงในรูปที่ 2.2 ซึ่งเป็นรูปแบบการรับสัญญาณทางอุดมคติ วงจรส่วนหน้าของเครื่องรับจะแปลงสัญญาณขาเข้าจากความถี่คลื่นพาห์ ( $f_c$ ) ไปเป็นสัญญาณเบสแบนด์



รูปที่ 2.2 วงจรส่วนหน้าของเครื่องรับสำหรับสัญญาณอินพุตทางอุดมคติ

ในสภาพแวดล้อมจริงของระบบการสื่อสารไร้สาย สัญญาณที่รับมาได้จะแตกต่างจากสัญญาณในอุดมคติ สัญญาณที่มาถึงเครื่องรับจะมีกำลังอ่อนมากเนื่องจากถูกลดทอนโดยสิ่งกีดขวางระหว่างเส้นทางของการส่งสัญญาณระหว่างเครื่องส่งและเครื่องรับ นอกจากนี้สัญญาณที่รับเข้ามายังรวมไปถึงสัญญาณที่ไม่ต้องการหรือสัญญาณรบกวนซึ่งมักจะมีระดับกำลังงานมากกว่าสัญญาณที่ต้องการดังแสดงในรูปที่ 2.3

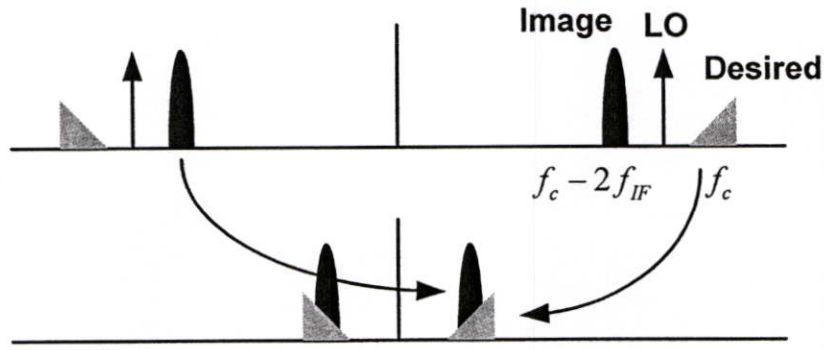


รูปที่ 2.3 สัญญาณอินพุตที่มีกำลังอ่อนและสัญญาณรบกวนข้างเคียงกำลังสูง

#### 2.4 ความถี่เงา

การเลือกค่าความถี่กลางของระบบซูเปอร์เฮเทอร์โรไดน์จะส่งผลโดยตรงต่อปัญหาความถี่เงา ในรูปที่ 2.4 สัญญาณข่าวสารที่ต้องการอยู่กึ่งกลางของความถี่คลื่นพาห์  $f_c$  ซึ่งจะถูกแปลงไปที่ความถี่กลาง  $f_{IF}$  โดยสัญญาณโลคอลที่อยู่ความถี่  $f_c - f_{IF}$  แต่สัญญาณที่อยู่กึ่งกลางของความถี่เงา  $f_c - 2f_{IF}$  ก็เป็นความถี่ที่จะถูกแปลงไปที่  $f_{IF}$  ด้วยเหมือนกัน และสัญญาณความถี่เงามักจะมีกำลังงานแรงกว่าสัญญาณที่ต้องการ ดังนั้นสัญญาณความถี่เงาจะต้องถูกลดทอนก่อนที่จะผ่านกระบวนการแปลงความถี่

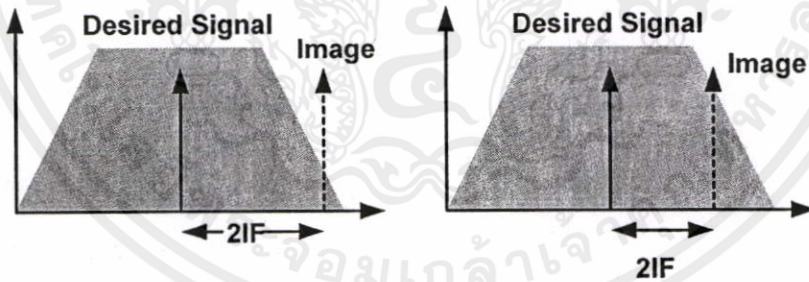
เอกสารนี้เป็นเอกสารที่สงวนไว้สำหรับการใช้งานเพื่อการศึกษาเท่านั้น ไม่อนุญาตให้นำไปใช้ประโยชน์ด้านการค้า ไม่ว่าจะกรณีใดๆทั้งสิ้น อีกทั้งห้ามมิให้ตัดแปลงเนื้อหา และต้องอ้างอิงถึงเจ้าของเอกสารทุกครั้งที่มีการนำไปใช้



รูปที่ 2.4 ปัญหาความถี่เงา

การเลือก  $f_{IF}$  ขึ้นอยู่กับคุณสมบัติของวงจรกรองผ่านแถบความถี่ โดยวงจรกรองผ่านแถบความถี่แบบเซรามิกโดยทั่วไป ค่าการลดทอนของมันจะเพิ่มขึ้นเมื่อความถี่อยู่ห่างจากความถี่กึ่งกลาง  $f_0$  มากขึ้น ดังนั้นในการที่จะให้สัญญาณความถี่เงามีค่าลดลงก็ควรที่จะเลือกค่าความถี่กลางที่มีค่าสูงซึ่งจะทำให้สัญญาณความถี่เงาอยู่ห่างจากความถี่กึ่งกลางของวงจรกรองผ่านแถบความถี่มากขึ้น แต่ความถี่กลางที่มีค่าสูงก็จะทำให้การออกแบบวงจรกรองผ่านแถบความถี่กลางและวงจรขยายที่ความถี่กลางมีความยุ่งยากมากขึ้นดังที่แสดงในรูปที่ 2.5 ดังนั้นในการที่จะเลือกความถี่กลางจึงควรพิจารณาจาก

1. ความถี่กลางที่มีค่าสูง จะได้การลดทอนของความถี่เงาจาก IR ฟิเตอร์สูงสุด
2. ความถี่กลางที่มีค่าต่ำ ความต้องการคุณสมบัติของวงจรกรองผ่านแถบความถี่และวงจรขยายที่ความถี่กลางลดลง

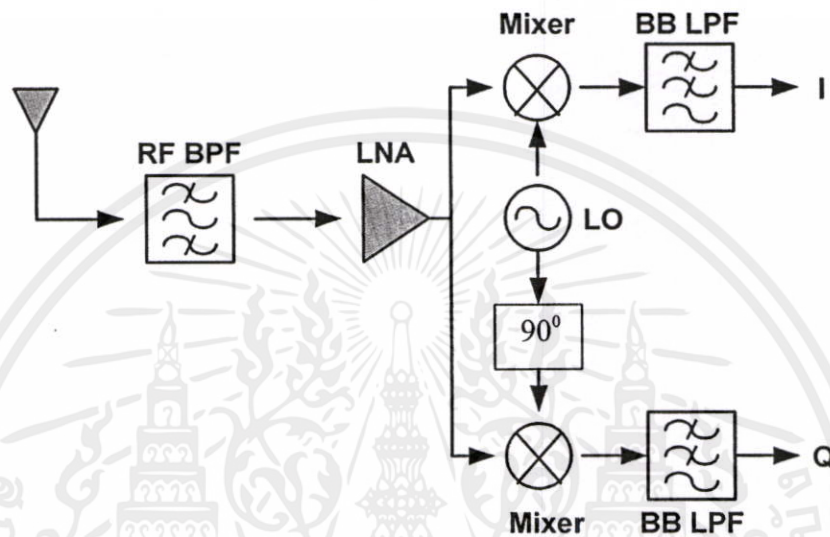


รูปที่ 2.5 ผลของความถี่เงาสำหรับความถี่กลางค่าสูงและต่ำ

### 2.5 ระบบไดเร็กคอนเวอร์ชัน

ระบบไดเร็กคอนเวอร์ชันจะแปลงสัญญาณที่รับเข้ามาไปที่สัญญาณเบสแบนด์โดยตรง (ความถี่กลางเท่ากับศูนย์) ดังนั้นไม่จำเป็นต้องใช้วงจร IR ฟิเตอร์ บล็อกไดอะแกรมของระบบไดเร็กคอนเวอร์ชันแสดงดังรูปที่ 2.6 สัญญาณความถี่วิทยุที่ปรากฏอยู่ที่สายอากาศจะถูกกรองและถูกขยายก่อนที่จะถูกแปลงความถี่ไปที่สัญญาณเบสแบนด์ การแปลงความถี่ทำได้โดยใช้วงจรมิกเซอร์ 2 วงจรและ โลคอลลอสซซิลเลเตอร์ที่ความถี่คลื่นพาห้ สัญญาณเบสแบนด์ I และ Q จะถูก

ขยายและถูกรองด้วยวงจรกรองผ่านความถี่ต่ำก่อนที่จะถูกแปลงเป็นสัญญาณดิจิทัล เนื่องจากสัญญาณความถี่วิทยุถูกแปลงไปที่สัญญาณเบสแบนด์โดยตรงดังนั้น โครงสร้างระบบแบบนี้จึงไม่ต้องมีวงจรที่ความถี่กลางและไม่เกิดปัญหาความถี่เงาขึ้น นอกจากนี้วงจรทั้งหมดยกเว้นสายอากาศและวงจรกรองผ่านแถบความถี่วิทยุสามารถทำเป็นวงจรรวมได้ [7-8] แต่โครงสร้างระบบไครเรกคอนเวอร์ชันจะมีปัญหาที่ซีออฟเซตและฟลิคเกอร์นอยส์เกิดขึ้น



รูปที่ 2.6 บล็อกไดอะแกรมของเครื่องรับระบบไครเรกคอนเวอร์ชัน

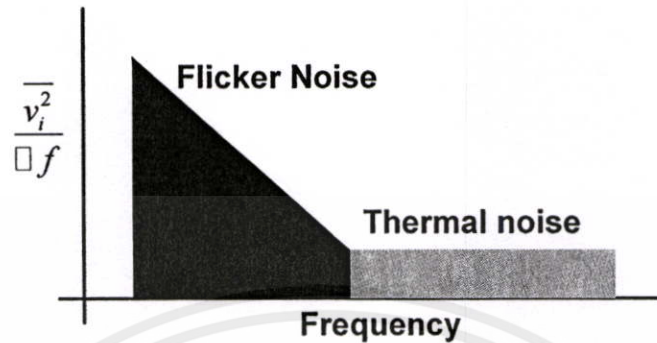
## 2.6 ฟลิคเกอร์นอยส์

ฟลิคเกอร์นอยส์หรือ  $1/f$  นอยส์จะทำให้คุณสมบัติของเครื่องรับระบบไครเรกคอนเวอร์ชันมีคุณสมบัติแย่ง ความหนาแน่นกำลังงานของโวลต์เตจนอยส์ทางอินพุตของทรานซิสเตอร์แบบ MOS ประกอบด้วยส่วนของฟลิคเกอร์นอยส์ซึ่งเป็นสัดส่วนผกผันกับความถี่และสัญญาณรบกวนเชิงความร้อน [10]

$$\frac{v_i^2}{\Delta f} = \frac{K_f}{WLC_{ox}f} + 4kT \frac{2}{3g_m} \quad (2.5)$$

ความหนาแน่นของกำลังงานสัญญาณรบกวนที่เป็นฟังก์ชันของความถี่แสดงดังรูปที่ 2.8 สำหรับความถี่สูง องค์ประกอบสัญญาณรบกวนเชิงความร้อนจะมีค่ามาก แต่ที่ความถี่ต่ำ องค์ประกอบฟลิคเกอร์นอยส์จะมีค่ามากกว่า ในความเป็นจริงแล้วเนื่องจากความหนาแน่นกำลังงานของฟลิคเกอร์นอยส์เป็นสัดส่วนผกผันกับความถี่ ฟลิคเกอร์นอยส์จะมีค่ามากเมื่อความถี่ใกล้ซีซี

เนื่องจากสัญญาณที่ต้องการคือสัญญาณที่ถูกแปลงไปที่สัญญาณเบสแบนด์โดยตรงดังนั้น ฟลิคเกอร์นอยส์จึงเป็นปัญหาเฉพาะระบบแบบโคเร็กคอนเวอร์ชัน



รูปที่ 2.7 ความหนาแน่นของกำลังงานสัญญาณรบกวนที่เป็นฟังก์ชันของความถี่

## 2.7 นอยส์ฟลิคเกอร์

ตามนิยามของ IEEE นอยส์แฟกเตอร์ (F) เป็นค่าอัตราส่วนของกำลังงานสัญญาณรบกวนที่เอาต์พุตทั้งหมดต่อกำลังงานสัญญาณรบกวนที่อินพุต เมื่อกำนอยส์แฟกเตอร์อยู่ในหน่วย dB จะเรียกเป็นกำนอยส์ฟลิคเกอร์ กำนอยส์ฟลิคเกอร์สามารถเขียนให้อยู่ในรูปอัตราส่วนสัญญาณต่อสัญญาณรบกวนที่ลดลงเมื่อผ่านวงจรต่างๆ เนื่องจากได้รวมค่าสัญญาณรบกวนของวงจรต่างๆเข้าไปด้วยดังสมการที่ (2.6)

$$NF = \frac{S_i / N_i}{S_o / N_o} \quad (2.6)$$

เมื่อ S และ N แทนกำลังงานของสัญญาณและสัญญาณรบกวน ส่วน i และ o แทนอินพุตและเอาต์พุตของวงจร

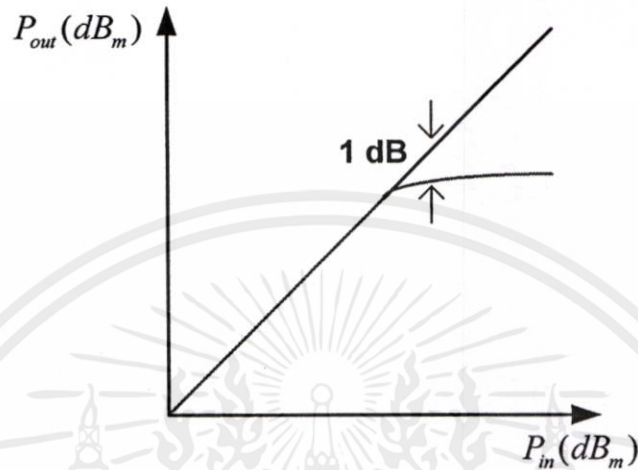
## 2.8 จุด 1 dB เกนคอมเพรสชัน

จุด 1 dB เกนคอมเพรสชัน เป็นจุดที่ระดับสัญญาณอินพุตมีค่าอัตราขยายลดลงเท่ากับ 1 dB ดังแสดงในรูปที่ 2.9 ให้ค่า  $A_2 = 0$  ในสมการที่ (2.8) และคำนวณค่าสัมประสิทธิ์ของสมการที่ (2.8) ที่มีค่าลดลง 1 dB เมื่อเทียบกับอัตราขยาย  $a_1$

$$20 \log a_1 - 1 \text{ dB} = 20 \log \left( a_1 + \frac{3}{4} a_3 A_{1 \text{ dB}}^2 \right) \quad (2.17)$$

เอกสารนี้เป็นเอกสารที่สงวนไว้สำหรับการใช้งานเพื่อการศึกษาเท่านั้น ไม่อนุญาตให้เผยแพร่ไปใช้ประโยชน์ด้านการค้า  
ไม่ว่ากรณีใดๆทั้งสิ้น อีกทั้งห้ามมิให้ดัดแปลงเนื้อหา และต้องอ้างอิงถึงเจ้าของเอกสารทุกครั้งที่มีการนำไปใช้

$$A_{-1dB}^2 = \sqrt{0.145 \frac{|a_1|}{|a_3|}} \quad (2.18)$$



รูปที่ 2.8 การหาค่าจุด 1 dB compression

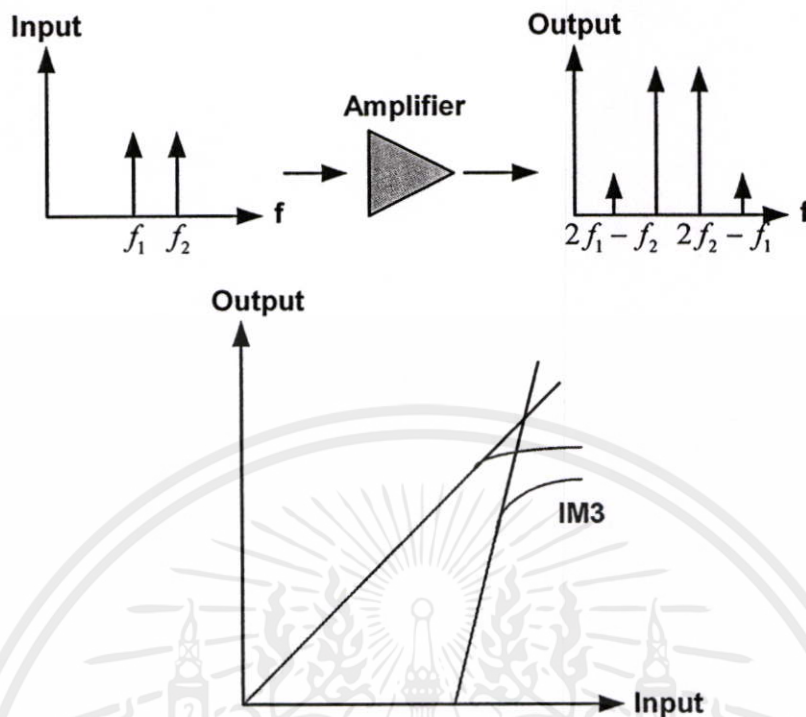
### 2.9 จุดอินเตอร์มอดูเลชันลำดับที่ 3 (IP3: third-order intercept point)

จุด IP3 สามารถหาได้โดยการทดสอบแบบ two-tone โดยที่ใช้สัญญาณทดสอบแบบคลื่นไซน์ 2 สัญญาณที่มีค่าแอมพลิจูดเท่ากันที่ความถี่  $f_1$  และ  $f_2$  ในกรณีที่เกิดความผิดเพี้ยนแบบอินเตอร์มอดูเลชันลำดับที่สามขึ้น สัญญาณเอาต์พุตจะประกอบด้วยองค์ประกอบทางความถี่ที่  $2f_1 - f_2$  และ  $2f_2 - f_1$  ผลความผิดเพี้ยนแบบอินเตอร์มอดูเลชันลำดับที่สามมีค่าเพิ่มขึ้นที่อัตรา  $A^3$  ดังที่แสดงในสมการที่ (2.15) และ (2.16) จุด IP3 เป็นจุดที่แอมพลิจูดของผลความผิดเพี้ยนแบบอินเตอร์มอดูเลชันลำดับที่สามมีค่าเท่ากับสัญญาณหลักมูล ดังแสดงในรูปที่ 2.10 ให้ค่าสัมประสิทธิ์ของสมการที่ (2.15) เท่ากับค่าอัตราขยาย  $a_1 A$

$$a_1 A_{IP3} = \frac{3}{4} a_3 A_{IP3}^3 \quad (2.19)$$

$$A_{IP3} = \sqrt{\frac{4|a_1|}{3|a_3|}} \quad (2.20)$$

เอกสารนี้เป็นเอกสารที่สงวนไว้สำหรับการใช้งานเพื่อการศึกษาเท่านั้น ไม่อนุญาตให้นำไปใช้ประโยชน์ด้านการค้า ไม่ว่ากรณีใดๆทั้งสิ้น อีกทั้งห้ามมิให้ดัดแปลงเนื้อหา และต้องอ้างอิงถึงเจ้าของเอกสารทุกครั้งที่มีการนำไปใช้



รูปที่ 2.9 การหาค่า IIP3 จากการทดสอบ two-tone

## 2.10 ความไวของเครื่องรับ

ความไวของเครื่องรับเป็นระดับกำลังงานอินพุตต่ำสุด โดยที่ยังมีค่าอัตราส่วนของสัญญาณต่อสัญญาณรบกวนและค่าอัตราความผิดพลาดบิตตามที่กำหนด

ค่าพารามิเตอร์อย่างหนึ่งที่ใช้อธิบายค่าความไวของเครื่องรับคือ ค่าเอ็มดีเอส (Minimum Detectable Signal) หรือ ค่าสัญญาณต่ำสุดที่ตรวจจับได้ที่สายอากาศ ซึ่งมีความสัมพันธ์กับสัญญาณรบกวนของเครื่องรับและค่าแบนด์วิธของระบบ [12]

$$\text{MDS(dBm)} = -174 \text{ dBm/Hz} + 10 \log \text{ BW} + \text{NF} + \text{SNR} \quad (2.21)$$

เมื่อค่า BW เป็นแบนด์วิธของระบบทั้งหมด, ค่า NF เป็นค่านอยส์ฟลิกเกอร์ของระบบก่อนการมอดูเลต และค่า SNR เป็นค่าอัตราส่วนสัญญาณต่อสัญญาณรบกวนที่ต้องการที่ตัวคีมอดูเลเตอร์ โดยที่ยังมีค่าอัตราความผิดพลาดบิตที่ยอมรับได้ โดยทั่วไปอัตราความผิดพลาดบิตที่ยอมรับได้มีค่าเท่ากับ  $10^{-3}$  [13]

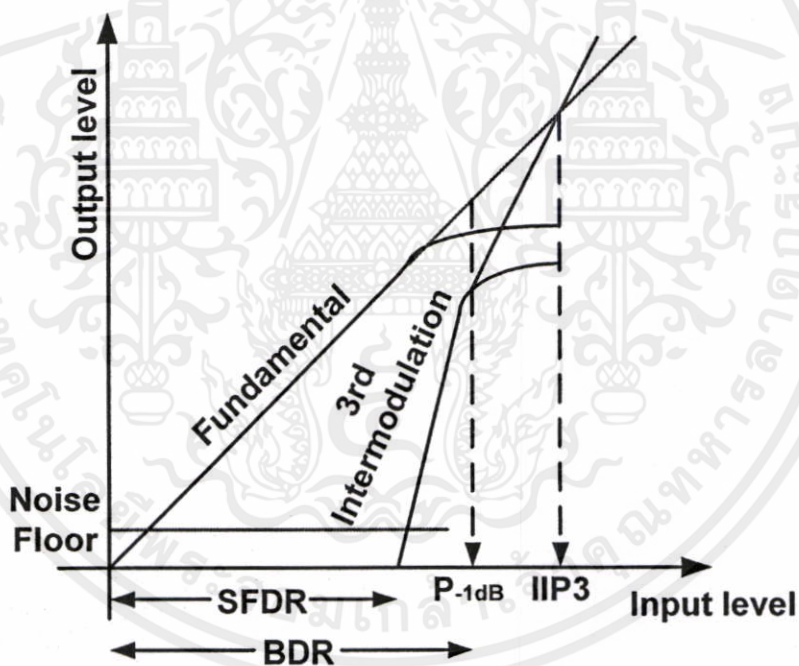
เอกสารนี้เป็นเอกสารที่สงวนไว้สำหรับการใช้งานเพื่อการศึกษาเท่านั้น ไม่อนุญาตให้นำไปใช้ประโยชน์ด้านการค้า ไม่ว่าจะกรณีใดๆทั้งสิ้น อีกทั้งห้ามมิให้ดัดแปลงเนื้อหา และต้องอ้างอิงถึงเจ้าของเอกสารทุกครั้งที่มีการนำไปใช้

## 2.11 ไคนามิกเรนจ์

ค่าไคนามิกเรนจ์เป็นช่วงกำลังงานอินพุตที่เครื่องรับยังคงทำงานได้สมรรถนะคืออยู่ สามารถวัดได้จากคุณภาพของสัญญาณเบสแบนด์ (สัญญาณเสียง, สัญญาณภาพ หรือสัญญาณอื่นๆ) หรือได้จากการวิเคราะห์ระบบผ่านค่าอัตราความผิดพลาดบิตหรือค่าสัญญาณต่อสัญญาณรบกวน

ค่าไคนามิกเรนจ์พิจารณาได้จากระดับของสัญญาณต่ำที่สุดที่เครื่องรับยังรับสัญญาณได้อยู่หรือเรียกว่าค่าความไวของเครื่องรับซึ่งเป็นขีดจำกัดล่างของค่าไคนามิกเรนจ์ ส่วนสัญญาณที่มีกำลังงานมากที่สุดที่เครื่องรับยังทำงานได้อยู่เป็นขีดจำกัดบนของค่าไคนามิกเรนจ์

SFDR (Spurious-free Dynamic Range) เป็นช่วงสัญญาณอินพุตจากระดับสัญญาณรบกวนถึงระดับกำลังงานอินพุตที่ทำให้เกิดผลของอินเทอร์มอดูเลชันเท่ากับระดับกำลังงานของสัญญาณรบกวน และค่า BDR (Blocking Dynamic Range) เป็นช่วงสัญญาณอินพุตจากระดับสัญญาณรบกวนถึงจุด 1 dB เคนคอมเพรสชัน ผลของการเกิดอินเทอร์มอดูเลชันเป็นฮาร์โมนิกที่ไม่ต้องการซึ่งเกิดจากความไม่เป็นเชิงเส้นของอุปกรณ์ในเครื่องรับ [20]



รูปที่ 2.10 นิยามค่าไคนามิกเรนจ์พารามิเตอร์

เอกสารนี้เป็นเอกสารที่สงวนไว้สำหรับการใช้งานเพื่อการศึกษาเท่านั้น ไม่อนุญาตให้นำไปใช้ประโยชน์ด้านการค้า ไม่ว่าจะกรณีใดๆทั้งสิ้น อีกทั้งห้ามมิให้ดัดแปลงเนื้อหา และต้องอ้างอิงถึงเจ้าของเอกสารทุกครั้งที่มีการนำไปใช้

## บทที่ 3

# วงจรมายสัญญาณรบกวนต่ำแบบบาลานซ์

### 3.1 บทนำ

วงจรมายสัญญาณรบกวนต่ำเป็นอุปกรณ์ที่สำคัญมากวงจรมายสัญญาณรบกวนต่ำของวงจรมายสัญญาณรบกวนต่ำของระบบเครื่องรับวิทยุ วงจรมายสัญญาณรบกวนต่ำใช้ขยายสัญญาณโดยไม่ทำให้อัตราส่วนของสัญญาณต่อสัญญาณรบกวนเปลี่ยนแปลง ในการใช้งานส่วนใหญ่วงจรมายสัญญาณรบกวนต่ำเป็นภาคอุปกรณ์แอกทีฟภาคแรกในระบบเครื่องรับ ดังนั้นมันจะมีผลกระทบต่อค่านอยส์ฟีกเกอร์รวมของระบบอย่างมาก วงจรมายสัญญาณรบกวนต่ำจึงต้องการค่านอยส์ฟีกเกอร์ต่ำและมีค่าอัตราขยายสูง นอกจากนี้วงจรมายสัญญาณรบกวนต่ำยังต้องการค่าการสูญเสียย้อนกลับ (return loss) ทางอินพุตและเอาต์พุตที่ดีเพื่อลดผลของการสะท้อนกลับของสัญญาณทางด้านอินพุตและเอาต์พุต รวมทั้งวงจรมายสัญญาณรบกวนต่ำควรมีค่าไอโซเลชันย้อนกลับสูงเพื่อป้องกันสัญญาณที่ไม่ต้องการไหลย้อนกลับผ่านวงจรมายสัญญาณรบกวนต่ำเข้าไปที่สายอากาศหรือส่วนของระบบภาคส่ง เนื่องจากวงจรมายสัญญาณรบกวนต่ำแบบบาลานซ์มีข้อดีคือ มีค่านอยส์ฟีกเกอร์และเสถียรภาพที่ดีมีความสามารถในการต่อเข้ากับวงจรมายสัญญาณรบกวนต่ำอื่นได้ดี และมีค่าการสูญเสียย้อนกลับทางอินพุตและเอาต์พุตต่ำ [14] รูปแบบของวงจรมายสัญญาณรบกวนต่ำเป็นแบบวงจรมายสัญญาณรบกวนต่ำแบบบาลานซ์ซึ่งประกอบด้วยวงจรมายสัญญาณรบกวนต่ำ 2 วงจรมายสัญญาณรบกวนต่ำที่เหมือนกันวางอยู่ระหว่างคัปเปอริบาย 90 องศา ในการออกแบบวงจรมายสัญญาณรบกวนต่ำใช้วงจรมายสัญญาณรบกวนต่ำ 2 ภาค โดยเลือกอุปกรณ์แอกทีฟเป็น BJT (Bipolar junction Transistor) ซึ่งเป็นแบบ Silicon Germanium (SiGe) โดยใช้เทคนิคการป้อนกลับแบบที่ใช้ตัวเหนี่ยวนำอนุกรม (inductive series feedback) ข้อดีของเทคนิคนี้คือเนื่องจากโดยทั่วไปการออกแบบวงจรมายสัญญาณรบกวนต่ำเพื่อให้ได้ค่านอยส์ฟีกเกอร์น้อยที่สุดและเพื่อให้ได้ค่าอัตราขยายมากที่สุดจะเกิดขึ้นที่อินพุตอิมพีแดนซ์มีค่าต่างกัน ดังนั้นด้วยเทคนิคการป้อนกลับนี้จะทำให้ได้ค่าอิมพีแดนซ์ของจุดที่นอยส์ฟีกเกอร์น้อยที่สุดและค่าอัตราขยายมากที่สุดมีค่าใกล้เคียงกันมากขึ้น [15] ด้วยเหตุนี้จึงทำให้สามารถออกแบบวงจรมายสัญญาณรบกวนต่ำให้มีค่านอยส์ฟีกเกอร์และอัตราขยายที่ดีพร้อมกันได้

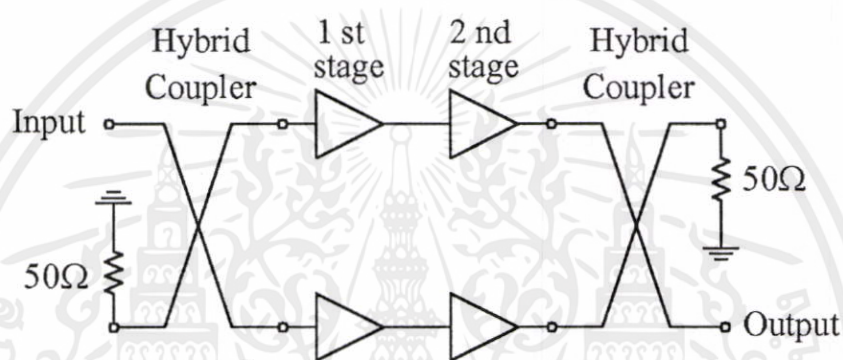
### 3.2 นอยส์ฟีกเกอร์ (Noise Figure)

นอยส์ฟีกเกอร์เป็นค่าที่สำคัญที่สุดสำหรับวงจรมายสัญญาณรบกวนต่ำ ค่านอยส์ฟีกเกอร์ต่ำหมายความว่าสัญญาณรบกวนที่เพิ่มเข้ามาในสัญญาณที่ส่งผ่านวงจรน้อยลง นอยส์ฟีกเกอร์นี้เป็นตัวบอกถึงอัตราส่วนสัญญาณต่อสัญญาณรบกวน (SNR: Signal to Noise Ratio) จากอินพุตไปสู่เอาต์พุตของวงจร นอยส์ฟีกเกอร์รวมสามารถคำนวณได้โดยที่ระบบมาต่อแบบคาสเคด

กันดังสมการที่ (3.1) โดย  $NF_n$  เป็นค่านอยส์ฟลิกเกอร์ของวงจรลำดับที่  $n$  และ  $G_n$  เป็นอัตราขยายของวงจรลำดับที่  $n$

$$NF_n = NF_1 + \frac{NF_2 - 1}{G_1} + \frac{NF_3 - 1}{G_1 G_2} \dots \quad (3.1)$$

จากสมการ (3.1) จะเห็นว่าวงจรขยายสัญญาณรบกวนต่ำซึ่งเป็นวงจรภาคแรกของระบบมีผลกระทบอย่างมากต่อค่านอยส์ฟลิกเกอร์ของระบบทั้งหมด ดังนั้นในการออกแบบวงจรขยายสัญญาณรบกวนต่ำจึงควรออกแบบให้นอยส์ฟลิกเกอร์ต่ำที่สุด



รูปที่ 3.1 โครงสร้างของวงจรขยายแบบบาลานซ์

### 3.3 วงจรขยายสัญญาณรบกวนต่ำแบบบาลานซ์

รูปแบบของวงจรขยายแบบบาลานซ์แสดงดังรูปที่ 3.1 ซึ่งประกอบด้วยวงจรขยาย 2 วงจรที่เหมือนกันวางอยู่ระหว่างวงจร 3 dB คัปเปิลอร์แบบ 90 องศา ในการทำงานกำลังงานทางอินพุตถูกแบ่งออกโดยคัปเปิลอร์ทางอินพุตแล้วเข้าสู่วงจรขยายสัญญาณรบกวนต่ำที่เหมือนกัน 2 วงจร ส่วนกำลังงานทางเอาต์พุต ในทางทฤษฎีวงจรถ่ายขยายสัญญาณรบกวนต่ำแบบบาลานซ์มีค่าอัตราขยายและค่านอยส์ฟลิกเกอร์เหมือนกับวงจรถ่ายขยายสัญญาณรบกวนต่ำชุดเดียว แต่เนื่องจากมีวงจรถ่ายขยายสัญญาณรบกวนต่ำ 2 ชุด ซึ่งเพิ่มกำลังงานเอาต์พุต 2 เท่า และมีค่าการสูญเสียย้อนกลับของวงจรถ่ายขยายให้ดีขึ้นได้ ดังนั้นสามารถออกแบบวงจรถ่ายขยายสัญญาณรบกวนต่ำให้มีค่าการสูญเสียย้อนกลับทางอินพุตและเอาต์พุตต่ำเพื่อให้ได้ค่าอัตราขยาย ค่านอยส์ฟลิกเกอร์ ดีขึ้น แต่วงจรถ่ายขยายสัญญาณรบกวนต่ำแบบบาลานซ์ก็มีข้อด้อยคือต้องอุปกรณ์เหมือนกันมาต่อ 2 ชุด โดยคุณสมบัติส่วนใหญ่ของวงจรจะใช้อุปกรณ์ชุดเดียว [16] แต่เนื่องจากมีวงจรถ่ายขยาย 2 ชุด ซึ่งเพิ่มกำลังงานเอาต์พุตเป็น 2 เท่า และมีค่าการสูญเสียย้อนกลับทางอินพุตและเอาต์พุตต่ำ ทำให้การออกแบบนี้สามารถนำไปใช้ปรับปรุงค่าการสูญเสียย้อนกลับของวงจรถ่ายขยายให้ดีขึ้นได้ ดังนั้นจึงสามารถออกแบบวงจรถ่ายขยายสัญญาณรบกวนต่ำให้มีค่าการสูญเสียย้อนกลับทางอินพุตและเอาต์พุตต่ำเพื่อให้

ได้ค่าอัตราขยาย, ค่านอยส์ฟลิคเกอร์และความมีเสถียรภาพดีขึ้น แต่วงจรถยายแบบบาลานซ์มีข้อเสียคือต้องใช้อุปกรณ์รวม 2 ชุด

การออกแบบใช้ค่า S พารามิเตอร์ในการคำนวณในการออกแบบวงจรต้องการทำให้วงจรมีเสถียรภาพแบบไม่มีเงื่อนไข (unconditional stable) ซึ่งหมายความว่าเมื่อมีโหลดค่าใดต่ออยู่ที่ด้านอินพุตหรือเอาต์พุตของวงจร วงจรยังคงความมีเสถียรภาพได้ ซึ่งสามารถคำนวณได้จากการวิเคราะห์เชิงตัวเลขที่เรียกว่า Rollett stability factor (K) เมื่อ  $K > 1$  วงจรจะเสถียรแบบไม่มีเงื่อนไข และเมื่อ  $K < 1$  วงจรจะมีโอกาสที่จะไม่มีเสถียรภาพ (potentially unstable) ซึ่งหมายความว่าวงจรอาจเกิดการออสซิลเลตได้ [17] วงจรรวมของวงจรถยายสัญญาณรบกวนต่ำ ค่านอยส์ฟลิคเกอร์ของวงจรถยายสัญญาณจะขึ้นกับวงจรถยายภาคแรกมาก ดังนั้นจึงต้องเลือกแมตซ์อิมพีแดนซ์ให้ได้ค่า นอยส์ฟลิคเกอร์ที่ต่ำที่สุดร่วมกับการใช้เทคนิคการป้อนกลับแบบที่ใช้ตัวเหนี่ยวนำอนุกรม ซึ่งจะทำได้ค่า นอยส์ฟลิคเกอร์ที่ต่ำโดยมีค่าการสูญเสียย้อนกลับทางอินพุตที่ต่ำ วงจรรวมประกอบด้วยวงจรถยายทั้งหมด 2 ภาค ดังรูปที่ 3.1 เพื่อเพิ่มค่าอัตราขยายให้สูงขึ้น

### 3.4 การออกแบบวงจร

การออกแบบวงจรถยายสัญญาณรบกวนต่ำต้องพิจารณาถึงคุณสมบัติต่างๆของวงจรดังนี้

- อัตราขยายและเสถียรภาพ
- นอยส์ฟลิคเกอร์
- ความเป็นเชิงเส้น

การออกแบบวงจรใช้ค่า S พารามิเตอร์ในการคำนวณ ในการออกแบบวงจรต้องการทำให้วงจรมีเสถียรภาพแบบไม่มีเงื่อนไข (unconditional stable) ซึ่งหมายความว่าเมื่อมีโหลดค่าใดๆต่ออยู่ที่ด้านอินพุตหรือเอาต์พุตของวงจร วงจรยังคงความมีเสถียรภาพเอาไว้ได้ ซึ่งสามารถคำนวณได้จากการวิเคราะห์เชิงตัวเลขที่เรียกว่า Rollett stability factor (K) และค่าเดลตา ( $\Delta$ )

$$K = \frac{1 + |\Delta|^2 - |S_{11}|^2 - |S_{22}|^2}{2 \times |S_{21}| \times |S_{12}|} \quad (3.2)$$

$$\Delta = (S_{11}S_{22}) - (S_{21}S_{12}) \quad (3.3)$$

จากสมการที่ 3.2 เมื่อ K มากกว่า 1 วงจรจะเสถียรภาพแบบไม่มีเงื่อนไข และเมื่อ K น้อยกว่า 1 วงจรมีโอกาที่จะไม่มีเสถียรภาพ (potentially unstable) ซึ่งหมายความว่าวงจรอาจเกิดการออสซิลเลตได้ การเกิดการออสซิลเลตสำหรับโครงข่าย 2 พอร์ต สามารถเกิดขึ้นได้เมื่อพอร์ตอินพุตหรือพอร์ต

เอาต์พุตเกิดความต้านทานเป็นลบขึ้น (negative resistance) หรือเกิดขึ้นเมื่อสัมประสิทธิ์การสะท้อนกลับทางอินพุตและเอาต์พุตมากกว่า 1 ( $S_{11} > 1, S_{22} > 1$ )

### 3.4.1 วงกลมเสถียรภาพ (Stability Circles)

ค่าอัตราขยายกำลังสูงสุด (Maximum Power Gain :  $G_{max}$ ) ของวงจรขยายไมโครเวฟที่ไม่มีการป้อนกลับจากภายนอก นิยามเป็นค่าอัตราขยายกำลังงานไปข้างหน้า (Forward Power Gain) ซึ่งเกิดขึ้นเมื่ออินพุตและเอาต์พุตพอร์ทเกิดการแมตช์อิมพีแดนซ์แบบสังยุค (Conjugate Matching) ขึ้นพร้อมกันคือ

$$\Gamma_S = \Gamma_{IN}^* \text{ และ } \Gamma_L = \Gamma_{out}^*$$

สามารถหาค่า  $G_{max}$  ได้จากสมการ

$$G_{max} = \frac{|S_{21}|}{|S_{12}|} (K - \sqrt{K^2 - 1}) \quad (3.4)$$

ค่าสัมประสิทธิ์การสะท้อนกลับที่อินพุตและเอาต์พุตสามารถหาได้จากสมการ

$$\Gamma_{in} = S_{11} + \frac{S_{12}S_{21}\Gamma_L}{1 - S_{22}\Gamma_L} = \frac{S_{11} - \Delta\Gamma_L}{1 + S_{22}\Gamma_L} \quad (3.5)$$

$$\Gamma_{out} = S_{22} + \frac{S_{12}S_{21}\Gamma_S}{1 - S_{11}\Gamma_S} = \frac{S_{22} - \Delta\Gamma_S}{1 + S_{11}\Gamma_S} \quad (3.6)$$

ขอบเขตเงื่อนไขเสถียรภาพสามารถหาได้จาก

$$|\Gamma_{in}| = 1 = \left| S_{11} + \frac{S_{12}S_{21}\Gamma_L}{1 - S_{22}\Gamma_L} \right| \quad (3.7)$$

$$|\Gamma_{out}| = 1 = \left| S_{22} + \frac{S_{12}S_{21}\Gamma_S}{1 - S_{11}\Gamma_S} \right| \quad (3.8)$$

เอกสารนี้เป็นเอกสารที่สงวนไว้สำหรับกรใช้งานเพื่อการศึกษาเท่านั้น ไม่อนุญาตให้นำไปใช้ประโยชน์ด้านการค้า โดยการใช้การแทนค่าส่วนจริงและส่วนจินตภาพของ S พารามิเตอร์ลงในสมการข้างบนจะได้

$$r_s (\text{รัศมีของวงกลม } \Gamma_s) = \frac{|S_{12}S_{21}|}{\left| |S_{11}|^2 - |\Delta|^2 \right|} \quad (3.9)$$

$$c_s (\text{จุดศูนย์กลางของวงกลม } \Gamma_s) = \frac{C_s^*}{\left| |S_{11}|^2 - |\Delta|^2 \right|} \quad (3.10)$$

$$r_L (\text{รัศมีของวงกลม } \Gamma_L) = \frac{|S_{12}S_{21}|}{\left| |S_{22}|^2 - |\Delta|^2 \right|} \quad (3.11)$$

$$c_L (\text{จุดศูนย์กลางของวงกลม } \Gamma_L) = \frac{C_L^*}{\left| |S_{22}|^2 - |\Delta|^2 \right|} \quad (3.12)$$

เมื่อ  $\Delta = (S_{11}S_{22}) - (S_{21}S_{12})$ ,  $C_s = S_{11} - \Delta S_{22}^*$  และ  $C_L = S_{22} - \Delta S_{11}^*$

โดยค่า  $\Gamma_{Sm}$  ของแหล่งจ่ายที่ทำให้เกิดการแมตซ์อิมพีแดนซ์แบบสังยุคกับอินพุตของวงจรขยายเพื่อทำให้เกิดอัตราขยายกำลังสูงสุดมีค่าเท่ากับ

$$\Gamma_{Sm} = C_s^* \left[ \frac{B_s \pm \sqrt{(B_s)^2 - 4|C_s|^2}}{2|C_s|^2} \right] \quad (3.13)$$

เมื่อ  $B_s = 1 + |S_{11}|^2 - |S_{22}|^2 - |\Delta|^2$

และค่า  $\Gamma_L$  ของโหลดที่ทำให้เกิดการแมตซ์อิมพีแดนซ์แบบสังยุคกับเอาต์พุตของวงจรขยายเพื่อทำให้เกิดอัตราขยายกำลังสูงสุดมีค่าเท่ากับ

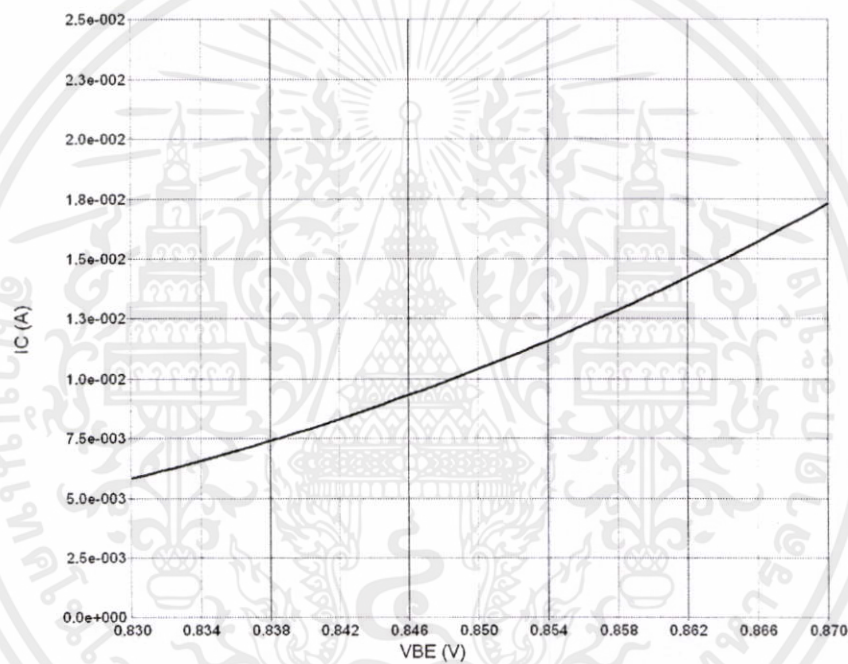
$$\Gamma_{Lm} = C_L^* \left[ \frac{B_L \pm \sqrt{(B_L)^2 - 4|C_L|^2}}{2|C_L|^2} \right] \quad (3.14)$$

เมื่อ  $B_L = 1 + |S_{22}|^2 - |S_{11}|^2 - |\Delta|^2$

เอกสารนี้เป็นเอกสารที่สงวนไว้สำหรับการใช้งานเพื่อการศึกษาเท่านั้น ไม่อนุญาตให้นำไปใช้ประโยชน์ด้านการค้า  
ไม่ว่ากรณีใดๆทั้งนี้ **ขั้นตอนการออกแบบวงจร** เนื้อหา และต้องอ้างอิงถึงเจ้าของเอกสารทุกครั้งที่มีการนำไปใช้

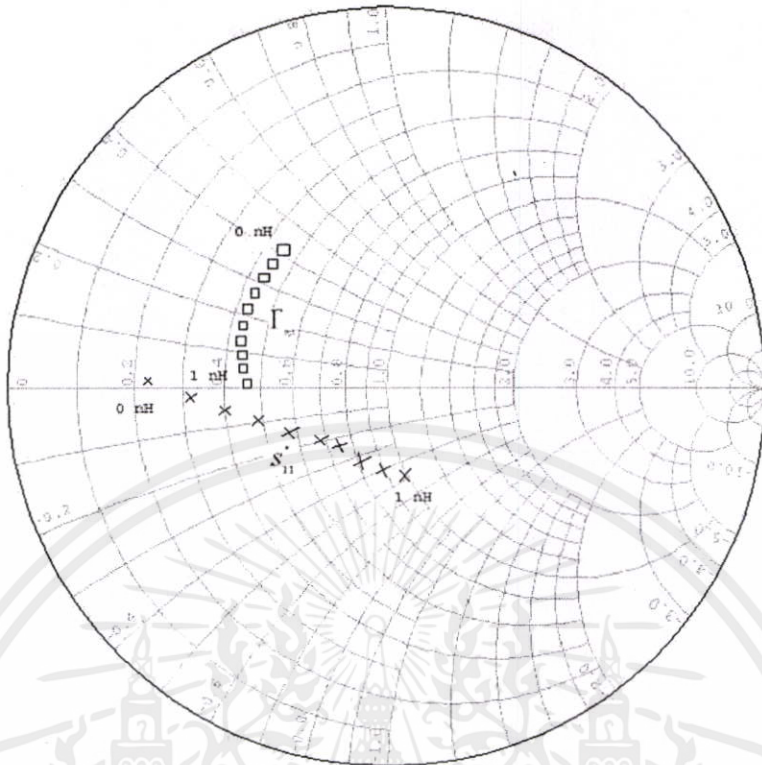
### 1. เลือกค่า S พารามิเตอร์จากคาตาชีท

2. คำนวณค่า  $K$  และ  $G_{\max}$  ในฟังก์ชันของความถี่
3. สำหรับ  $K > 1$  เลือกโครงสร้างการแมตซ์อิมพีแดนซ์ทางอินพุตและเอาต์พุตที่ความถี่สูงสุดที่ต้องการออกแบบ
4. สำหรับ  $K < 1$  วาดวงกลมเสถียรภาพทางอินพุตและเอาต์พุต  $\Gamma_S$  และ  $\Gamma_L$
5. เมื่อได้ค่าเริ่มต้นของโครงข่ายการแมตซ์ทางอินพุตและเอาต์พุตแล้ว วาด  $S$  พารามิเตอร์ของวงจรขยายในฟังก์ชันของความถี่ทำการปรับค่าจนได้อัตราขยาย ค่าการสูญเสียย้อนกลับทางอินพุตและเอาต์พุต ตามต้องการ
6. ออกแบบวงจรไบอัส

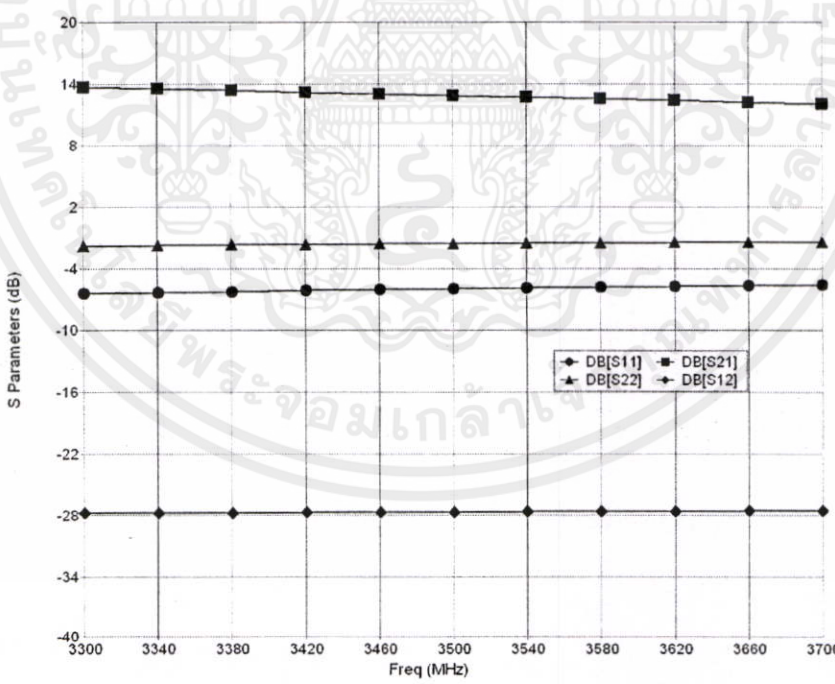


รูปที่ 3.2 ไบอัสทรานซิสเตอร์ระหว่าง  $I_C$  กับ  $V_{BE}$

เอกสารนี้เป็นเอกสารที่สงวนไว้สำหรับการใช้งานเพื่อการศึกษาเท่านั้น ไม่อนุญาตให้นำไปใช้ประโยชน์ด้านการค้า ไม่ว่าจะกรณีใดๆทั้งสิ้น อีกทั้งห้ามมิให้ดัดแปลงเนื้อหา และต้องอ้างอิงถึงเจ้าของเอกสารทุกครั้งที่มีการนำไปใช้



รูปที่ 3.3 ผลการป้อนกลับต่อ  $S_{11}^*$  และ  $\Gamma_{OPT}$



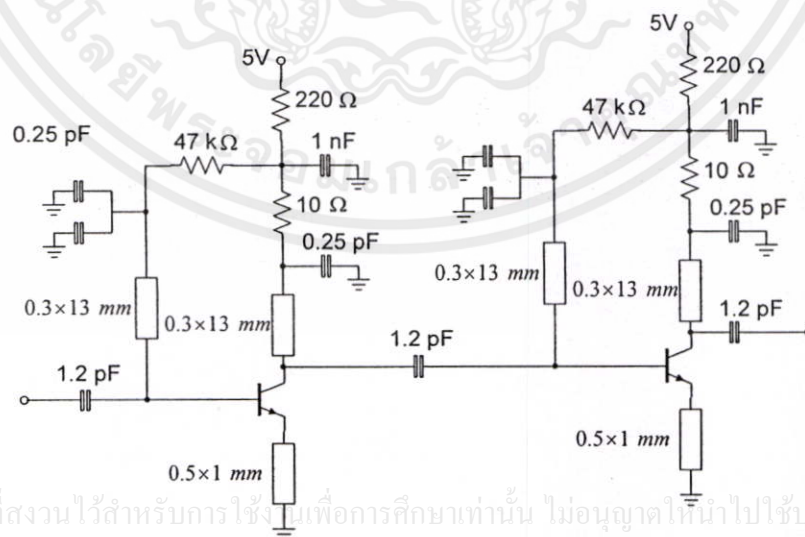
รูปที่ 3.4 ผลจำลองการทำงาน S-Parameters ของวงจรชุดเดียว

เอกสารนี้เป็นเอกสารที่สงวนไว้สำหรับการใช้งานเพื่อการศึกษาเท่านั้น ไม่อนุญาตให้นำไปใช้ประโยชน์ด้านการค้า  
 ไม่ว่ากรณีใดๆทั้งสิ้น อย่างไรก็ตามพบว่าเมื่อใช้ค่าความเหนี่ยวนำในการป้อนกลับมากขึ้นจะทำให้ค่าอัตราการใช้  
 ขยายมีค่าลดลงและทำให้วงจรขยายไม่มีเสถียรภาพที่ความถี่สูงจึงอาจทำให้เกิดการออสซิลเลตได้

ในการออกแบบนี้ได้เลือกใช้ตัวเหนี่ยวนำในการป้อนกลับ  $L_s$  มีค่าเท่ากับ 0.5 นาโนเฮนรี โดยใช้โครงสร้างเป็นแบบไมโครสตริป การจำลองแบบค่า S พารามิเตอร์ของวงจรขยายสัญญาณรบกวนต่ำ 2 ภาคที่ได้ออกแบบที่ความถี่ 3.4 ถึง 3.6 กิกะเฮิรตซ์ ดังแสดงในรูปที่ 3.5

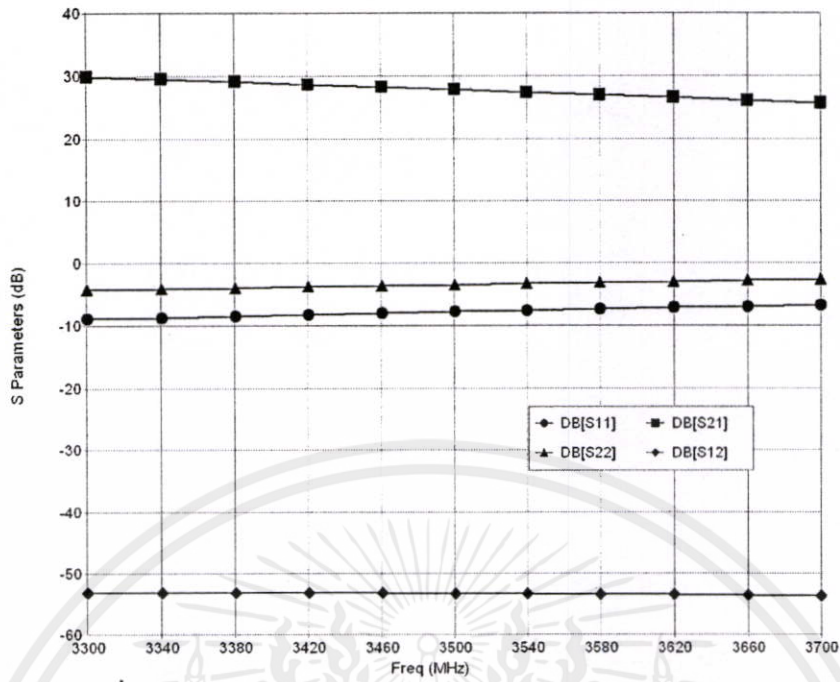
วงจรขยายสัญญาณรบกวนต่ำที่ดีจะต้องมีค่านอยส์ฟิกเกอร์น้อยที่สุดในขณะที่มีอัตราขยายที่มากที่สุดสำหรับวัตถุประสงค์เพื่อทำให้ค่านอยส์ฟิกเกอร์ของภาครับทั้งหมดมีค่าต่ำ ในงานวิจัยนี้เลือกใช้อุปกรณ์แอกทีฟเป็น BJT เบอร์ BFP-640f ของบริษัท Infineon ที่มีค่านอยส์ฟิกเกอร์ต่ำสุดเท่ากับ 0.65 dB ที่ความถี่ 1.8 กิกะเฮิรตซ์ ดังนั้นจะส่งผลซึ่งจะทำให้ได้ค่าไบแอสดังนี้  $I_{CE}$  เท่ากับ 10 มิลลิแอมป์,  $V_{CE}$  เท่ากับ 3 โวลต์ และค่า  $V_{BE}$  เท่ากับ 0.85 โวลต์ดังรูปที่ 3.2 จากค่า S พารามิเตอร์และนอยส์พารามิเตอร์ พบว่าที่ความถี่ 3.5 กิกะเฮิรตซ์ ค่า  $\Gamma_{OPT}$  มีค่าเท่ากับ  $0.66\angle 68^\circ$  โดยมีค่านอยส์ฟิกเกอร์น้อยที่สุด ( $F_{min}$ ) ที่ 0.65 dB และค่า  $S_{11}^*$  มีค่า  $0.74\angle 131^\circ$  ดังนั้นเพื่อที่จะทำให้ค่า  $S_{11}^*$  มีค่าเข้าใกล้  $\Gamma_{OPT}$  มากขึ้นจะใช้ความเหนี่ยวนำในการป้อนกลับแบบอนุกรม พบว่าค่า  $S_{11}^*$  เคลื่อนที่เข้าใกล้  $\Gamma_{OPT}$  มากขึ้นเมื่อเพิ่มค่าความเหนี่ยวนำที่มีการป้อนกลับที่ความถี่ 3.5 กิกะเฮิรตซ์

เมื่อใช้ค่าความเหนี่ยวนำในการป้อนกลับมากขึ้นจะทำให้ค่าอัตราขยายมีค่าลดลงและทำให้วงจรขยายไม่มีเสถียรภาพที่ความถี่สูงจึงอาจทำให้เกิดการออสซิลเลตได้ ในการออกแบบนี้ได้เลือกใช้ตัวเหนี่ยวนำในการป้อนกลับ  $L_b$  มีค่าเท่ากับ 0.5 นาโนเฮนรี โดยใช้โครงสร้างเป็นแบบไมโครสตริป สำหรับการคำนวณค่า S พารามิเตอร์ของทรานซิสเตอร์ที่มีการป้อนกลับแบบอนุกรมมีการวิเคราะห์ในบทความ [18,19] และสามารถคำนวณค่านอยส์ฟิกเกอร์ของทรานซิสเตอร์ที่มีการป้อนกลับได้ในบทความ [19] ผลจำลองการทำงานของวงจรขยายสัญญาณรบกวนต่ำชุดเดียว ดังรูปที่ 3.4 อัตราขยายมีค่าดีกว่า 13 dB การสูญเสียย้อนกลับทางอินพุตดีกว่า 6 dB การสูญเสียย้อนกลับทางเอาต์พุตดีกว่า 3 dB ค่าไอโซเลชันดีกว่า 28 dB

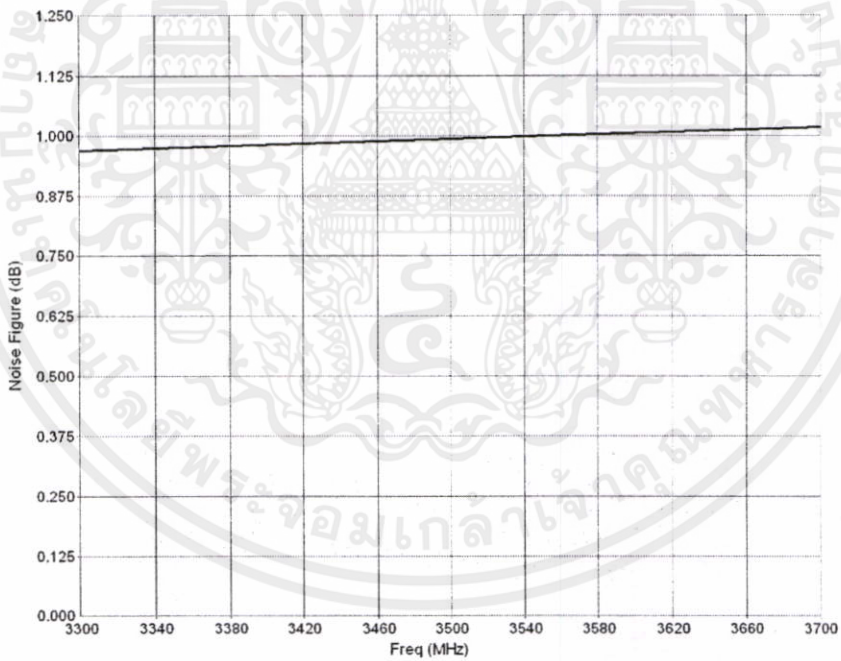


รูปที่ 3.5 วงจรขยายสัญญาณรบกวนต่ำ

เอกสารนี้เป็นเอกสารที่สงวนไว้สำหรับการใช้งานเพื่อการศึกษาเท่านั้น ไม่อนุญาตให้นำไปใช้ประโยชน์ด้านการค้า ไม่ว่าจะกรณีใดๆทั้งสิ้น อีกทั้งห้ามมิให้คัดลอกหรือเผยแพร่เอกสารทุกครั้งที่มีการนำไปใช้



รูปที่ 3.6 ผลจำลองการทำงาน S Parameters ของวงจรขยายสองชุด

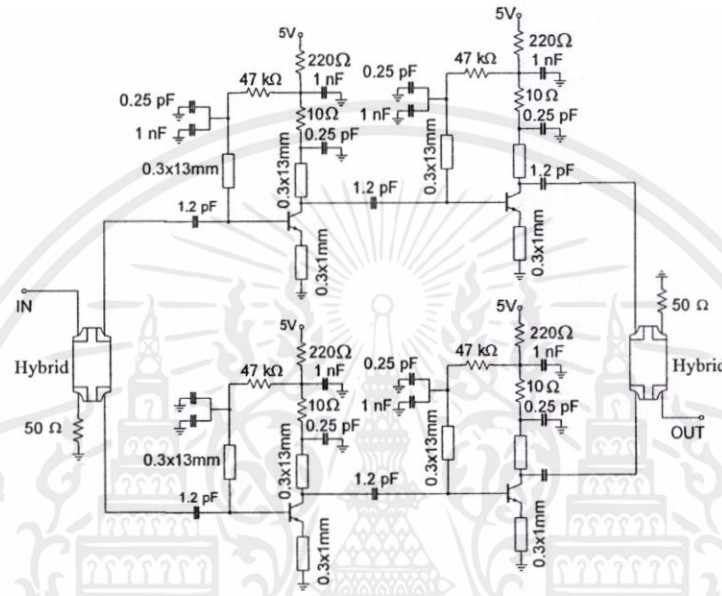


รูปที่ 3.7 ผลจำลองการทำงานนอยส์ฟีกเจอร์ของวงจรขยายสองชุด

การจำลองแบบค่า S พารามิเตอร์ของวงจรขยายสัญญาณรบกวนตามค่าดังรูปที่ 3.5 ที่ความถี่ 3.3 ถึง 3.7 กิกะเฮิรตซ์ โดยใช้โปรแกรม Genesys 2003 ในการจำลองแบบวงจรพบว่าวงจรจะมีค่าอัตราขยาย ( $S_{21}$ ) ประมาณ 25 dB, ค่าการสูญเสียย้อนกลับทางอินพุต ( $S_{11}$ ) ดีกว่า 8 dB และค่าการ

สูญเสียย้อนกลับทางเอาต์พุต ( $S_{22}$ ) ต่ำกว่า 10 dB ตลอดช่วงความถี่ และได้ค่านอยส์ฟลิกเกอร์ของ วงจรขยายสัญญาณรบกวนต่ำต่ำกว่า 1.1 dB ตลอดช่วงความถี่ ดังรูปที่ 3.6-3.7

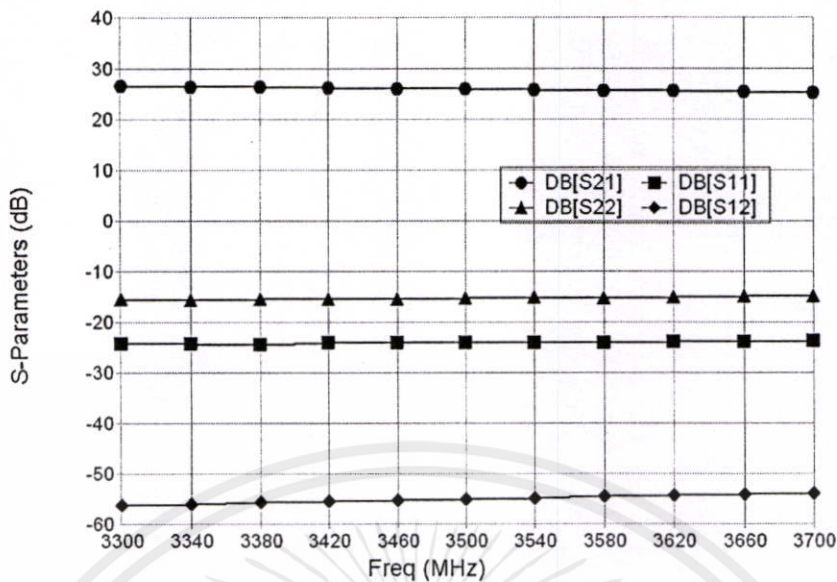
เนื่องจากวงจรขยายสัญญาณรบกวนต่ำจำเป็นต้องมีค่า  $S_{11}$  ที่ดีแต่เนื่องจากผลที่ได้จากการ จำลองการทำงานมีค่าไม่ดีพอ ดังนั้นจึงใช้วงจรไฮบริดคัปเปิลเลอร์ 3 dB แบบ 90 องศา ใน วิทยานิพนธ์นี้ได้ใช้วงจรคัปเปิลเลอร์ของบริษัท ANAREN Model 1X703 ความถี่ 3.3-3.7 กิกะเฮิรตซ์ มาใช้ในการออกแบบวงจรให้ดีขึ้นดังรูปที่ 3.8



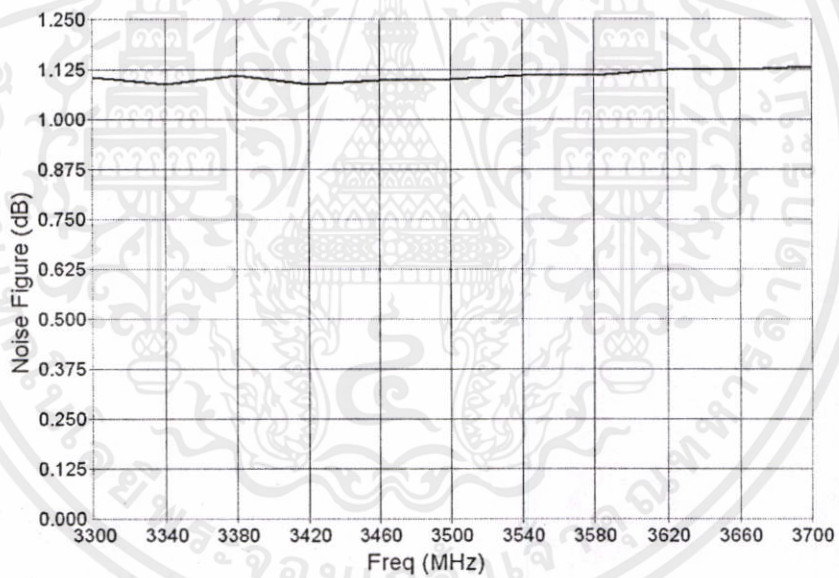
รูปที่ 3.8 วงจรขยายสัญญาณรบกวนต่ำแบบบาลานซ์

ผลจำลองการทำงานดังรูปที่ 3.9 และ 3.10 ได้ค่า อัตราขยายเท่ากับ 25 dB ค่าการสูญเสียย้อนกลับทางอินพุต ค่าการสูญเสียย้อนกลับทางเอาต์พุตมีค่าต่ำกว่า 25 dB และ 15 dB ตามลำดับ และค่าไอโซเลชันมีค่าต่ำกว่า -50 dB ส่วนค่านอยส์ฟลิกเกอร์ต่ำกว่า 1.125 dB ตลอดช่วงความถี่ ผลการวัดค่า S พารามิเตอร์ และเฟสของวงจรคัปเปิลเลอร์ แสดงดังรูปที่ 3.11-3.12 ผลการวัดค่า  $S_{41}$  และ  $S_{31}$  มีค่าประมาณ -3 dB และความต่างเฟสประมาณ 90 องศา

เอกสารนี้เป็นเอกสารที่สงวนไว้สำหรับการใช้งานเพื่อการศึกษาเท่านั้น ไม่อนุญาตให้นำไปใช้ประโยชน์ด้านการค้า ไม่ว่าจะกรณีใดๆทั้งสิ้น อีกทั้งห้ามมิให้ดัดแปลงเนื้อหา และต้องอ้างอิงถึงเจ้าของเอกสารทุกครั้งที่มีการนำไปใช้

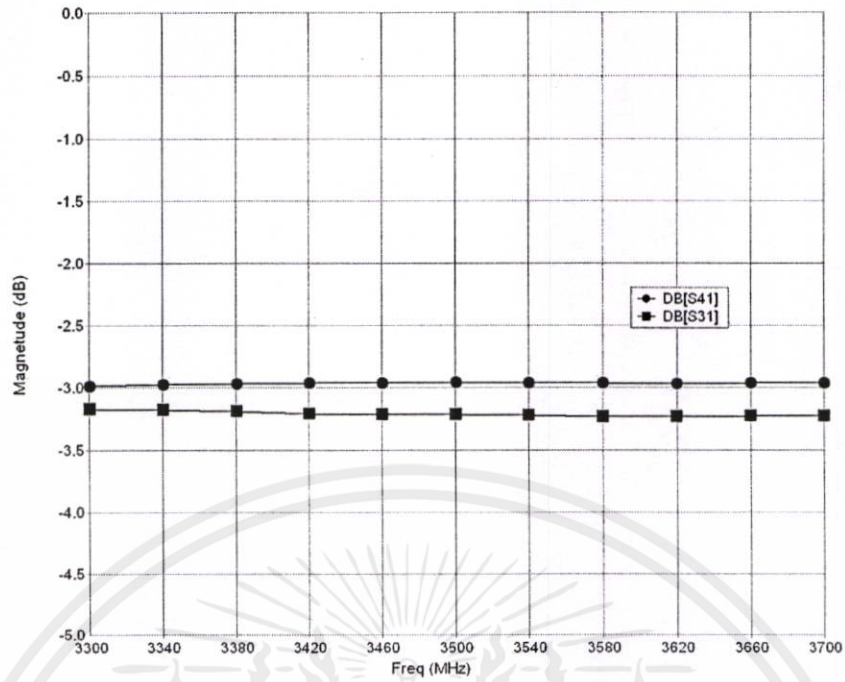


รูปที่ 3.9 ผลจำลองการทำงาน S Parameters ของวงจรขยายสัญญาณรบกวนต่ำแบบบาลานซ์

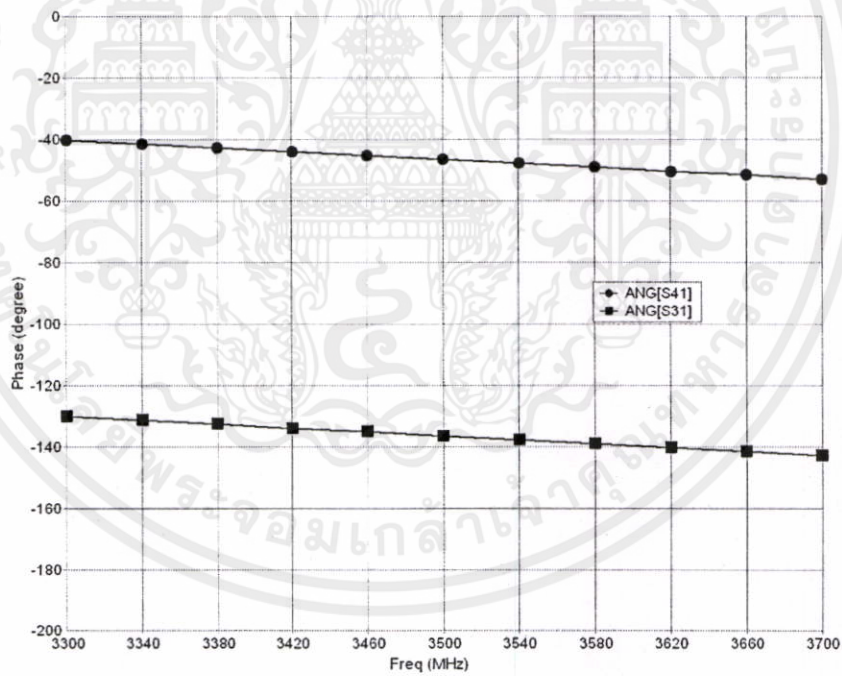


รูปที่ 3.10 ผลจำลองการทำงานนอยส์ฟลิกเกอร์ของวงจรขยายสัญญาณรบกวนต่ำแบบบาลานซ์

เอกสารนี้เป็นเอกสารที่สงวนไว้สำหรับการใช้งานเพื่อการศึกษาเท่านั้น ไม่อนุญาตให้นำไปใช้ประโยชน์ด้านการค้า ไม่ว่าจะกรณีใดๆทั้งสิ้น อีกทั้งห้ามมิให้คัดแปลงเนื้อหา และต้องอ้างอิงถึงเจ้าของเอกสารทุกครั้งที่มีการนำไปใช้

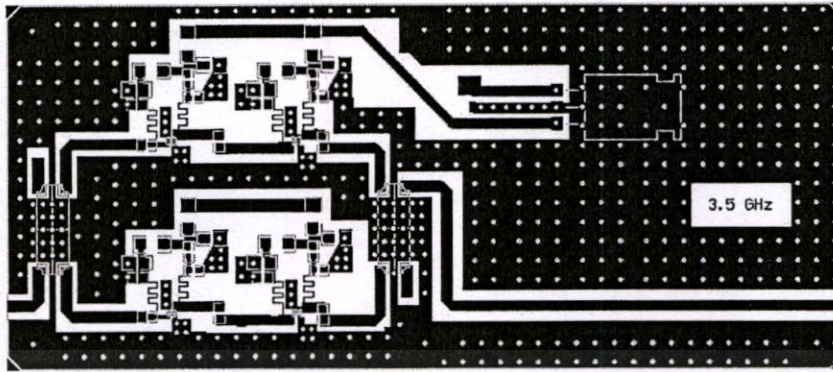


รูปที่ 3.11 ผลการวัดวงจรคัปเปิลอร์ทางขนาด



รูปที่ 3.12 ผลการวัดวงจรคัปเปิลอร์ทางเฟส

เอกสารนี้เป็นเอกสารที่สงวนไว้สำหรับการใช้งานเพื่อการศึกษาเท่านั้น ไม่อนุญาตให้นำไปใช้ประโยชน์ด้านการค้า ไม่ว่าจะกรณีใดๆทั้งสิ้น อีกทั้งห้ามมิให้ดัดแปลงเนื้อหา และต้องอ้างอิงถึงเจ้าของเอกสารทุกครั้งที่มีการนำไปใช้

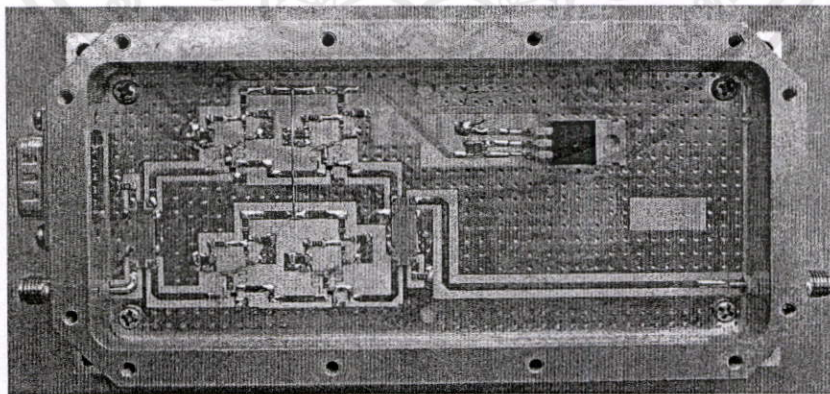


รูปที่ 3.13 ลายวงจรขยายสัญญาณรบกวนต่ำแบบบาลานซ์

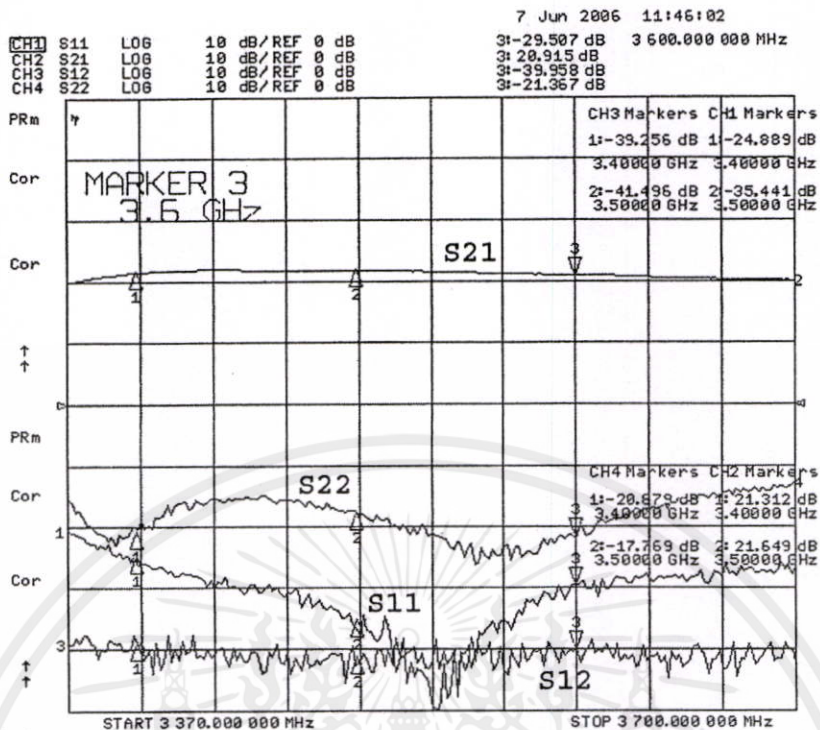
### 3.5 การทดลองและผลการทดลอง

ลายวงจรและรูปของวงจรขยายสัญญาณรบกวนต่ำแบบบาลานซ์ที่สร้างขึ้นดังแสดงในรูปที่ 3.13 และ รูปที่ 3.14 วงจรขยายสัญญาณรบกวนต่ำใช้วัสดุฐานรองเป็น Glass-epoxy-ceramic composite RO4350 ของบริษัท Roger แบบสองหน้ามีค่าคงที่ทางไดอิเล็กตริกเท่ากับ 3.48 มีความหนาเท่ากับ 0.762 มิลลิเมตร และมีความหนาทองแดงเท่ากับ 0.017 มิลลิเมตร มีขนาด 71 X 157 มิลลิเมตร

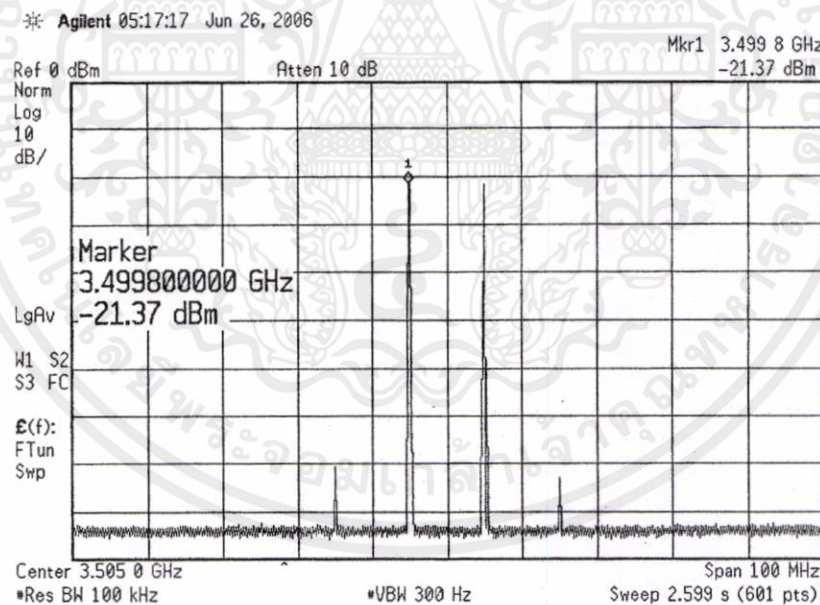
ผลการวัดค่า S พารามิเตอร์ของวงจรขยายสัญญาณรบกวนต่ำแบบบาลานซ์จากเนตเวิร์กอนาไลเซอร์ HP8753ES แสดงดังรูปที่ 3.15 ผลการวัดให้ค่าอัตราขยายประมาณ 21 dB, ค่าการสูญเสียย้อนกลับทางอินพุตดีกว่า 25 dB และค่าการสูญเสียย้อนกลับทางเอาต์พุตดีกว่า 15 dB ตลอดช่วงความถี่ ซึ่งมีค่าการสูญเสียย้อนกลับทางอินพุตและเอาต์พุตดีขึ้นเมื่อเทียบกับวงจรขยายสัญญาณรบกวนต่ำแต่ละชุด



เอกสารนี้เป็นเอกสารที่สงวนไว้สำหรับการใช้งานเพื่อการศึกษาเท่านั้น ไม่อนุญาตให้นำไปใช้ประโยชน์ด้านการค้า  
รูปที่ 3.14 วงจรขยายสัญญาณรบกวนต่ำแบบบาลานซ์  
ไม่ว่ากรณีใดๆทั้งสิ้น อีกทั้งห้ามมิให้ดัดแปลงเนื้อหา และต้องอ้างอิงถึงเจ้าของเอกสารทุกครั้งที่มีการนำไปใช้

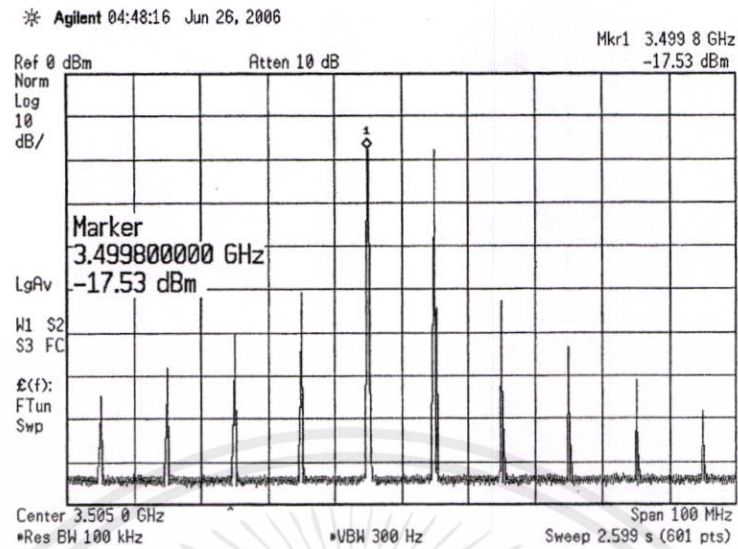


รูปที่ 3.15 ผลการวัด S Parameters ของวงจรขยายสัญญาณรบกวนต่ำแบบบาลานซ์



รูปที่ 3.16 ผลการวัด two-tone IMD ที่กำลังเอาต์พุตเป็น 0 dB<sub>m</sub>

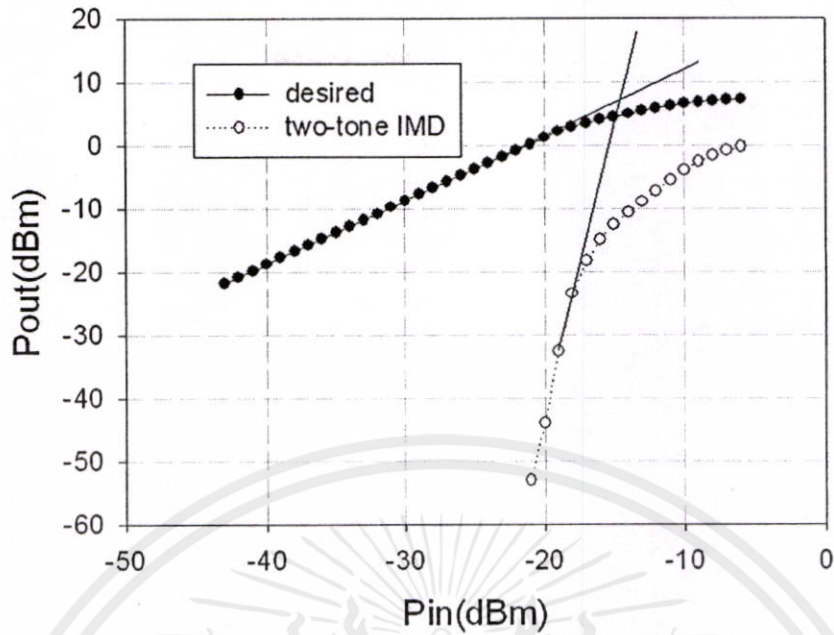
เอกสารนี้เป็นเอกสารที่สงวนไว้สำหรับการใช้งานเพื่อการศึกษาเท่านั้น ไม่อนุญาตให้นำไปใช้ประโยชน์ด้านการค้า  
ไม่ว่ากรณีใดๆทั้งสิ้น อีกทั้งห้ามมิให้ดัดแปลงเนื้อหา และต้องอ้างอิงถึงเจ้าของเอกสารทุกครั้งที่มีการนำไปใช้



รูปที่ 3.17 ผลการวัด two-tone IMD ที่กำลังเอาต์พุตเป็น +3 dB<sub>m</sub>

การวัดค่า two-tone IP3 (third order intercept point) ใช้เครื่องกำเนิดสัญญาณ HP8753ES กับ HPE4438C, ตัวรวมกำลังงาน (power combiner) และสเปกตรัมโมเนอไรเซอร์ HPE4440A แสดงผลการวัดในรูปที่ 3.18 ซึ่งเป็นกราฟระหว่างกำลังงานของสัญญาณที่ต้องการและผลความเพี้ยนจากการมอดูเลตระหว่างกัน (intermodulation distortion) ลำดับที่ 3 ที่เอาต์พุตของวงจรถ่าย โดยใช้สัญญาณอินพุตที่ความถี่ 3.5 กิกะเฮิรตซ์ และ 3.51 กิกะเฮิรตซ์ ที่มีระดับกำลังงานเท่ากัน ผลการวัดวงจรถ่ายสัญญาณรบกวนต่ำแบบบาลานซ์ซึ่งจะได้ค่า  $p_{1dB}$  (output power at 1 dB gain compression) มีค่าประมาณ 3 dBm (2 มิลลิวัตต์), อินพุต IP3 มีค่า -15 dBm และค่าเอาต์พุต IP3 มีค่า 8 dBm (6.3 มิลลิวัตต์) ส่วนในรูปที่ 3.16-3.17 ค่าที่ได้นำไปบวกอีก 20 dB เนื่องจากที่เครื่องสเปกตรัมมีตัวลดทอนกำลังงานอยู่ 20 dB, นอยส์ฟลิกเกอร์ต่ำกว่า 1.5 dB (จำลองการทำงาน) เนื่องจากในประเทศไทยไม่มีเครื่องมือวัดนอยส์ฟลิกเกอร์ที่ความถี่สูงถึง 3.5 กิกะเฮิรตซ์

เอกสารนี้เป็นเอกสารที่สงวนไว้สำหรับการใช้งานเพื่อการศึกษาเท่านั้น ไม่อนุญาตให้นำไปใช้ประโยชน์ด้านการค้า  
ไม่ว่ากรณีใดๆทั้งสิ้น อีกทั้งห้ามมิให้คัดแปลงเนื้อหา และต้องอ้างอิงถึงเจ้าของเอกสารทุกครั้งที่มีการนำไปใช้



รูปที่ 3.18 ผลการวัด two-tone IMD ของวงจรขยายสัญญาณรบกวนต่ำแบบบาลานซ์

### 3.6 สรุป

บทความนี้เสนอวงจรขยายสัญญาณรบกวนต่ำแบบบาลานซ์ ในระบบสื่อสารไร้สายแบบ WiMAX ซึ่งวงจรที่ได้มีอัตราขยายเท่ากับ  $21 \pm 1$  dB และมีค่าการสูญเสียย้อนกลับทางอินพุตและเอาต์พุตดีกว่า 25 dB, 15 dB ตามลำดับ สามารถนำไปประยุกต์ใช้กับเครื่องรับ WiMAX ได้

เอกสารนี้เป็นเอกสารที่สงวนไว้สำหรับการใช้งานเพื่อการศึกษาเท่านั้น ไม่อนุญาตให้นำไปใช้ประโยชน์ด้านการค้า ไม่ว่าจะกรณีใดๆทั้งสิ้น อีกทั้งห้ามมิให้คัดแปลงเนื้อหา และต้องอ้างอิงถึงเจ้าของเอกสารทุกครั้งที่มีการนำไปใช้

## บทที่ 4

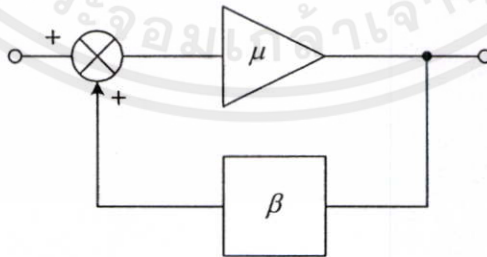
# วงจรสังเคราะห์ความถี่ย่าน 393.5 เมกกะเฮิรตซ์ และ 3.83 กิกะเฮิรตซ์

### 4.1 บทนำ

เนื้อหาในบทนี้จะอธิบายถึงการออกแบบวงจรออสซิลเลเตอร์โดยใช้หลักการความต้านทานลบ (Negative resistance) หัวข้อแรกเป็นการกล่าวถึงเงื่อนไขของการออสซิลเลตองค์ประกอบของวงจรออสซิลเลเตอร์ การออกแบบวงจรออสซิลเลเตอร์ด้วยการพิจารณาค่าความต้านทานลบจากโมเดลของทรานซิสเตอร์และการใช้ S พารามิเตอร์ในการออกแบบ ส่วนหัวข้อถัดไปอธิบายถึงเรโซเนเตอร์ชนิดต่าง ๆ ที่ใช้เป็นตัวกำหนดความถี่ของการออสซิลเลต โดยพิจารณาถึงพารามิเตอร์ที่สำคัญของเรโซเนเตอร์ คือ วาแรกเตอร์ไคโอด และเรโซเนเตอร์ ซึ่งเป็นเรโซเนเตอร์ที่ใช้ในการออกแบบวงจรออสซิลเลเตอร์ในวิทยานิพนธ์ฉบับนี้ นอกจากนี้แล้วยังได้กล่าวถึงสัญญาณรบกวนทางเฟส (Phase noise) ของวงจรออสซิลเลเตอร์ ซึ่งเป็นพารามิเตอร์ที่สำคัญเนื่องจากเป็นตัวกำหนดความสามารถของระบบการสื่อสารในการแยกช่องสัญญาณประชิดออกจากกันและเป็นตัวกำหนดเสถียรภาพของระบบ และจะกล่าวถึงการใช้เทคนิคการป้อนกลับสัญญาณรบกวน เพื่อปรับปรุงสัญญาณรบกวนทางเฟสของวงจรออสซิลเลเตอร์ให้มีค่าที่ดีขึ้น

### 4.2 เงื่อนไขของการออสซิลเลต

วงจรออสซิลเลเตอร์คือวงจรขยายที่มีการป้อนกลับทางบวกดังรูปที่ 4.1 เมื่อ  $\mu$  คืออัตราขยายของวงจรขยายและ  $\beta$  คือทรานส์เฟอร์ฟังก์ชันของตัวป้อนกลับ โดยมีอัตราขยายวงปิด (closed-loop gain) เท่ากับ



รูปที่ 4.1 โครงสร้างพื้นฐานของวงจรออสซิลเลเตอร์

เอกสารนี้เป็นเอกสารที่สงวนไว้สำหรับการใช้งานเพื่อการศึกษาเท่านั้น ไม่อนุญาตให้นำไปใช้ประโยชน์ด้านการค้า ไม่ว่าจะกรณีใดๆทั้งสิ้น อีกทั้งห้ามมิให้ตัดแปลงเนื้อหา และต้องอ้างอิงถึงเจ้าของเอกสารทุกครั้งที่มีการนำไปใช้

$$A = \frac{\mu}{1 - \mu\beta} \quad (4.1)$$

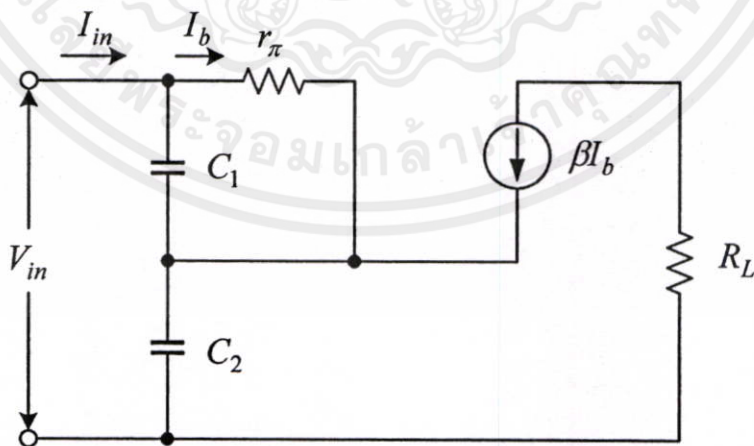
และจะมีค่าเป็นอนันต์เมื่ออัตราขยายวงรอบเปิด (open loop gain)  $\mu\beta$  มีค่าเป็น 1 และมีการเลื่อนเฟสเท่ากับ  $360^\circ$  เมื่อเกิดเงื่อนไขนี้วงจรขยายที่มีการป้อนกลับจะกลายเป็นวงจรออสซิลเลเตอร์

ความถี่ของวงจรออสซิลเลเตอร์ถูกกำหนดด้วยวงจรป้อนกลับซึ่งปกติแล้วจะใช้วงจรเรโซเนเตอร์ในส่วนของวงจรป้อนกลับ โดยที่อาจจะเป็นโมเดลวงจรเทงก์ LCR หรือโมเดลอื่น ๆ ในกรณีนี้ถ้าค่า  $L$  หรือ  $C$  ในวงจรเรโซเนเตอร์มีการเปลี่ยนแปลงจะทำให้ความถี่เรโซแนนซ์ของวงจรเรโซเนเตอร์เปลี่ยนไป ส่งผลให้ความถี่ของวงจรออสซิลเลเตอร์มีการเปลี่ยนแปลงและเป็นหลักการพื้นฐานของวงจรออสซิลเลเตอร์ปรับค่าความถี่ได้

ในการออกแบบวงจรออสซิลเลเตอร์สามารถใช้หลักการของการออกแบบวงจรขยายได้ เช่นเดียวกัน วิธีในการออกแบบสามารถทำได้หลายวิธี เช่น พิจารณาความต้านทานลบบจากโมเดลของทรานซิสเตอร์ ออกแบบโดยใช้ S พารามิเตอร์ เรโซแนนซ์อนุกรมหรือขนาน หรือการวิเคราะห์แบบไม่เชิงเส้น เป็นต้น ในวิทยานิพนธ์ฉบับนี้เลือกใช้วิธีการออกแบบ 2 วิธีคือ พิจารณาความต้านทานลบและการใช้ S พารามิเตอร์

#### 4.2.1 ความต้านทานลบบจากทรานซิสเตอร์

จากเงื่อนไขของการออสซิลเลชันข้างต้น การป้อนกลับจากเอาต์พุตไปยังอินพุตทำให้เกิดความต้านทานลบระหว่างขั้วและถ้ามีเรโซเนเตอร์ต่อเข้าไป วงจรขยายจะกลายเป็นวงจรออสซิลเลเตอร์ วงจรที่ง่ายต่อการเกิดออสซิลเลตที่ความถี่สูงคือวงจรอิมิตเตอร์ตาม (Emitter follower) [20-21] ดังรูปที่ 4.2 ทรานซิสเตอร์และตัวเก็บประจุป้อนกลับทั้งสองตัวจะทำให้เกิดความต้านทานลบที่หักล้างกับเรโซเนเตอร์และกำลังสูญเสียขณะมีโหลด ทำให้เกิดการออสซิลเลต อินพุตอิมพีแดนซ์ของวงจรหาได้จาก



รูปที่ 4.2 อินพุตอิมพีแดนซ์ลบบจากตัวเก็บประจุป้อนกลับ

เอกสารนี้เป็นเอกสารที่สงวนลิขสิทธิ์หรือการสงวนสิทธิ์ในเนื้อหาเพื่อใช้ในการศึกษาวิจัยเท่านั้น ไม่ควรนำไปใช้ประโยชน์ด้านการค้า  
ไม่ว่ากรณีใดๆทั้งสิ้น อีกทั้งห้ามมิให้คัดแปลงเนื้อหา และต้องอ้างอิงถึงเจ้าของเอกสารทุกครั้งที่มีการนำไปใช้

$$V_m = I_m(X_{C1} + X_{C2}) - I_b(X_{C1} - \beta X_{C2}) \quad (4.2)$$

$$0 = -I_{in}(X_{C1}) + I_b(X_{C1} + r_\pi) \quad (4.3)$$

แทนสมการที่ 4.3 ในสมการที่ 4.2 จะได้

$$Z_{in} = \frac{V_{in}}{I_{in}} = \frac{(1 + \beta)X_{C1}X_{C2} + r_\pi(X_{C1} + X_{C2})}{X_{C1} + r_\pi} \quad (4.4)$$

ถ้า  $X_{C1} \ll r_\pi$  ค่าอินพุตอิมพีแดนซ์จะเท่ากับ

$$Z_{in} \approx -\frac{g_m}{\omega^2 C_1 C_2} + \frac{1}{j\omega[C_1 C_2 / (C_1 + C_2)]} \quad (4.5)$$

นั่นคืออินพุตอิมพีแดนซ์ของวงจรในรูปที่ 4.2 มีความต้านทานลบเท่ากับ

$$R = -\frac{g_m}{\omega^2 C_1 C_2} \quad (4.6)$$

ต่ออนุกรมเข้ากับตัวเก็บประจุที่มีค่า

$$C_{in} = \frac{C_1 C_2}{(C_1 + C_2)} \quad (4.7)$$

ซึ่งเกิดจากตัวเก็บประจุทั้งสองต่ออนุกรมกัน ถ้ามีตัวเหนี่ยวนำ  $L$  ที่มีความต้านทานภายใน  $R_s$  ต่ออนุกรมอยู่ ต่อเข้ากับอินพุตที่ขาเบส เส้นใยที่จะทำให้เกิดการออสซิลเลตคือ

$$R_s = \frac{g_m}{\omega^2 C_1 C_2} \quad (4.8)$$

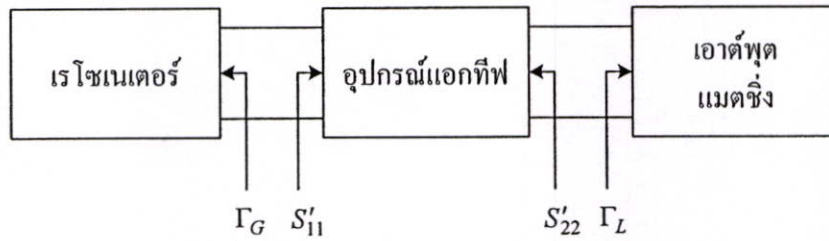
และความถี่ของการออสซิลเลตจะเท่ากับ

$$f_0 = \frac{1}{2\pi \sqrt{L(C_1 C_2 / (C_1 + C_2))}} \quad (4.9)$$

เอกสารนี้เป็นเอกสารที่สงวนไว้สำหรับการใช้งานเพื่อการศึกษาเท่านั้น กรุณาอย่าให้นำไปใช้ประโยชน์ด้านการค้า  
ไม่ว่ากรณีใดๆทั้งสิ้น อีกทั้งห้ามมิให้ดัดแปลงเนื้อหา และต้องอ้างอิงถึงเจ้าของเอกสารทุกครั้งที่มีการนำไปใช้

#### 4.2.2 ออกแบบโดยใช้ S พารามิเตอร์

เราสามารถพิจารณาวงจรออสซิลเลเตอร์ในรูปแบบของวงจร 2 พอร์ตได้ดังรูปที่ 4.3



รูปที่ 4.3 วงจรออสซิลเลเตอร์แบบ 2 พอร์ต

จากวงจรออสซิลเลเตอร์ดังรูปที่ 4.3 วงจรประกอบด้วยอุปกรณ์แอกทีฟที่ทำให้เกิดความต้านทานลบ เรโซเนเตอร์และโหลด ซึ่งเงื่อนไขสำคัญของการออสซิลเลตคือ [20-21]

$$k < 1 \quad (4.10)$$

$$\Gamma_G S'_{11} = 1 \quad (4.11)$$

$$\Gamma_L S'_{22} = 1 \quad (4.12)$$

เมื่อ  $k$  คือตัวประกอบเสถียรภาพ (Stability factor)  $\Gamma_G$  คือสัมประสิทธิ์การสะท้อนของแหล่งจ่าย  $\Gamma_L$  คือสัมประสิทธิ์การสะท้อนของโหลด และ  $S'_{11}, S'_{22}$  คือค่า S พารามิเตอร์เมื่อมีโหลด  $\Gamma_L$  และ  $\Gamma_G$  ต่อเข้ากับทรานซิสเตอร์ นั่นคือเมื่อต้องการให้เกิดการออสซิลเลตตัวประกอบเสถียรภาพจะต้องมีค่าน้อยกว่า 1 ถ้าอุปกรณ์แอกทีฟที่เลือกใช้มีค่าตัวประกอบเสถียรภาพมากกว่า 1 ในช่วงความถี่ที่ต้องการให้เกิดการออสซิลเลต สามารถทำให้สมการที่ 4.10 เป็นจริงได้โดยการเปลี่ยนขาคอมมอนของอุปกรณ์แอกทีฟ (เช่น เปลี่ยนจากคอมมอนอิมิตเตอร์เป็นคอมมอนเบสหรือคอมมอนคอลเลกเตอร์) หรือเพิ่มการป้อนกลับทางบวกเข้าไปในวงจร โดยที่อินพุตและเอาต์พุตของอุปกรณ์แอกทีฟจะต่อเข้ากับอุปกรณ์พาสซีฟ  $\Gamma_G$  และ  $\Gamma_L$  เพื่อกำหนดความถี่ของการออสซิลเลต โดยที่ถ้าสมการที่ 4.11 เป็นจริงเงื่อนไขในสมการที่ 4.12 จะเป็นจริงด้วย นั่นหมายความว่าเกิดการออสซิลเลตทั้งสองพอร์ตพร้อมกัน การอธิบายการออสซิลเลตทั้งสองพอร์ตอธิบายได้ด้วย [20-21] ดังนั้นเมื่อเกิดการออสซิลเลตขึ้นที่พอร์ตใดพอร์ตหนึ่งอีกพอร์ตจะเกิดการออสซิลเลตด้วย เนื่องจากว่า  $|\Gamma_G|$  และ  $|\Gamma_L|$  มีค่าน้อยกว่า 1 จากสมการที่ 4.11 และ 4.12 จะได้ว่า  $|S'_{11}| > 1$  และ  $|S'_{22}| > 1$

ขั้นตอนในการออกแบบวงจรออสซิลเลเตอร์โดยใช้ S พารามิเตอร์สามารถสรุปได้คือ

1. เลือกทรานซิสเตอร์ที่สามารถใช้งานได้ในช่วงความถี่ที่ต้องการ

2. ใช้โครงสร้างที่ทำให้ได้ค่า  $k$  น้อยกว่า 1 ตลอดช่วงความถี่ที่ใช้งาน และเพิ่มการป้อนกลับเข้าไปในกรณีที่  $k$  มีค่าไม่น้อยกว่า 1
3. เลือกวงจรแมตซิงโหลดด้านเอาต์พุตที่ทำให้  $|S'_{11}|$  มีค่ามากกว่า 1 ตลอดช่วงความถี่
4. ต่อยังวงจรเรโซแนนซ์ที่พอร์ตอินพุต โดย  $\Gamma_G S'_{11} = 1$

สำหรับวงจรออสซิลเลเตอร์ที่ใช้อุปกรณ์แอกทีฟเป็นซิลิกอนไบโพลาร์ทรานซิสเตอร์ (Si BJT) โครงสร้างที่นิยมใช้ในการออกแบบคือโครงสร้างแบบคอมมอนเบส [22-23] ดังแสดงในรูปที่ 4.4(ก) ซึ่งเป็นโครงสร้างที่ง่ายต่อการจูน โดยที่ตัวเหนี่ยวนำเป็นตัวป้อนกลับเพื่อเพิ่มค่าของ  $|S'_{11}|$  และ  $|S'_{22}|$  ทำให้เกิดความต้านทานลบที่พอร์ตของทรานซิสเตอร์ ส่วนอุปกรณ์แอกทีฟชนิดแกเลียมอาร์เซไนด์เมสเฟต (GaAs MESFET) มักนิยมใช้ตัวเก็บประจุเป็นตัวป้อนกลับดังรูปที่ 4.4(ข) และใช้โครงสร้างชนิดคอมมอนซอร์ส วิธีการที่ใช้ในการเลือกค่าตัวเหนี่ยวนำและตัวเก็บประจุของตัวป้อนกลับ คือการใช้โปรแกรมคอมพิวเตอร์ทำการหาค่าที่เหมาะสมที่สุด เช่น โปรแกรมไมโครเวฟออฟฟิศ (Microwave Office) หรือ ทัชสโตน (Touchstone) นอกจากนั้นการเพิ่มค่าความต้านทานลบและแบนด์วิดท์ของวงจรสามารถทำได้โดยเพิ่มวงจรแมตซิงระหว่างเอาต์พุตของทรานซิสเตอร์และโหลด



รูปที่ 4.4 วงจรออสซิลเลเตอร์ (ก) วงจรคอมมอนเบส (ข) วงจรคอมมอนซอร์ส

### 4.3 วงจรเรโซเนเตอร์

ชื่อของวงจรออสซิลเลเตอร์ถูกเรียกตามชนิดของเรโซเนเตอร์ที่ต่อเข้ากับวงจร เรโซเนเตอร์ที่นิยมใช้ในวงจรออสซิลเลเตอร์มีหลายชนิด เช่น องค์ประกอบแบบก้อน (Lumped element) สายส่งแบบกระจาย (Distributed transmission line) โพรง (Cavity) ไดอิเล็กทริกเรโซเนเตอร์ (Dielectric) วาเรกเตอร์ไดโอด (Varactor diode) และ YIG (Yttrium Iron Garnet)

เรโซเนเตอร์องค์ประกอบแบบก้อนคือตัวเก็บประจุและ ตัวเหนี่ยวนำที่มีตัวประกอบคุณภาพมีค่าสูงโดยสามารถต่อแบบอนุกรมหรือขนาน ส่วนเรโซเนเตอร์สายส่งแบบกระจายซึ่งไม่เป็นโคโรสตริป มีโครงสร้างเป็นแบบสายส่งปลายเปิดหรือสายปิดมีความยาวที่เหมาะสมเพื่อให้ได้ค่าสัมประสิทธิ์การสะท้อนที่ต้องการ เรโซเนเตอร์ชนิดนี้สามารถสร้างให้มีค่าตัวประกอบคุณภาพสูงได้โดยใช้วัสดุฐานรองไดอิเล็กทริกที่มีการสูญเสียต่ำ

เรโซเนเตอร์แบบโพรงสร้างได้จากสายส่งโคแอกเซียลการสูญเสียต่ำหรือท่อนำคลื่น โครงสร้างที่ง่ายที่สุดของโพรงโคแอกเซียลคือท่อนสายสั้นปิดวงจรความยาว  $\lambda/4$  (Short stub) ส่วนไดอิเล็กตริกเรโซเนเตอร์สร้างมาจากวัสดุที่เป็นเซรามิกมีการสูญเสียต่ำ มีเสถียรภาพทาง อุณหภูมิและตัวประกอบคุณภาพมีค่าสูง โดยมีลักษณะเป็นรูปทรงเรขาคณิต เช่น ทรงกระบอก ความถี่ในการเรโซแนนซ์กำหนดโดยขนาดของเรโซเนเตอร์และเงื่อนไขในการชิลด์ มีขนาดเล็กกว่าเรโซเนเตอร์แบบโพรงเมื่อใช้งานที่ความถี่เรโซแนนซ์เดียวกัน

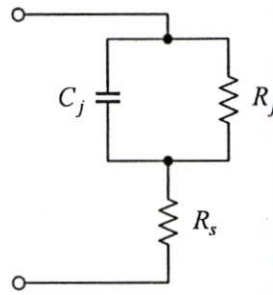
#### 4.4 วาแรกเตอร์ไดโอด

วาแรกเตอร์ไดโอดเป็นอุปกรณ์ที่ใช้กันอย่างแพร่หลายในงานย่านความถี่สูง เช่น วงจร ออสซิลเลเตอร์ปรับค่าความถี่ได้ วงจรขยายพาราเมตริกและตัวคูณความถี่ ค่าความจุของ วาแรกเตอร์ไดโอดสามารถเปลี่ยนแปลงได้โดยมีค่าเป็นสัดส่วนกับแรงดันไบแอสแบบกลับ ที่ตกคร่อมรอยต่อพีเอ็น (PN junction) แบ่งออกได้เป็น 2 ชนิดคือ วาแรกเตอร์ไดโอดแบบแอบรัพต์ (Abrupt) และไฮเปอร์แอบรัพต์ (Hyperabrupt) ซึ่งวาแรกเตอร์ไดโอดแบบแอบรัพต์ถูกสร้างขึ้นด้วยการ โดปรอยต่อพีเอ็นแบบเชิงเส้น มีค่าอัตราการเปลี่ยนแปลงความจุต่อแรงดันป้อนกลับโดยเฉลี่ย ประมาณ 4:1 ส่วนวาแรกเตอร์ไดโอดแบบไฮเปอร์แอบรัพต์ถูกโดปรอยต่อพีเอ็นแบบไม่เป็นเชิงเส้น ทำให้เพิ่มอัตราการเปลี่ยนแปลงความจุต่อแรงดันป้อนกลับสูงขึ้นและอาจสูงได้ถึง 10:1 แต่มีข้อเสีย คือมีค่าความต้านทานอนุกรมสูงทำให้มีค่าตัวประกอบคุณภาพต่ำ

การสร้างวาแรกเตอร์ไดโอดสามารถสร้างได้จากซิลิกอนหรือแกลเลียมอาร์เซनाйд ซึ่ง วาแรกเตอร์ชนิดแกลเลียมอาร์เซनाйдจะมีค่าตัวประกอบคุณภาพที่สูงกว่าอุปกรณ์ชนิดซิลิกอน มัก นิยมใช้งานในย่านความถี่สูง แต่ไม่เหมาะกับการใช้งานที่ต้องการให้มีสัญญาณรบกวนทางเฟสต่ำ เนื่องจากมีค่าสัญญาณรบกวน  $1/f$  สูง ซึ่งเป็นคุณลักษณะเฉพาะของอุปกรณ์ แต่อุปกรณ์ชนิด ซิลิกอนจะมีค่าสัญญาณรบกวน  $1/f$  ที่ต่ำกว่า ดังนั้นจึงนิยมใช้วาแรกเตอร์ไดโอดชนิดซิลิกอนใน วงจรที่ต้องการให้มีสัญญาณรบกวนทางเฟสต่ำ โดยเฉพาะวงจรออสซิลเลเตอร์ และนอกจากนั้นยังสามารถปรับความถี่ได้เร็ว เป็นอุปกรณ์ที่มีราคาถูกและมีขนาดเล็ก [24]

วงจรสมมูลของวาแรกเตอร์ไดโอดแสดงดังรูปที่ 4.5 เนื่องจากว่าวาแรกเตอร์ไดโอด ต้องการไบแอสแบบกลับ วงจรสมมูลจึงประกอบด้วยค่าความจุของบริเวณปลอดพาหะ ( $C_j$ ) ต่อขนานกับความต้านทานรอยต่อ ( $R_j$ ) แต่โดยปกติแล้วความต้านทานรอยต่อมีค่าสูงมากจึง สามารถตัดทิ้งไปได้ ซึ่งค่าความจุของรอยต่อและค่าความต้านทานอนุกรม ( $R_s$ ) จะเป็นฟังก์ชันของ การไบแอส ค่าความจุของรอยต่อสามารถคำนวณได้จากสมการที่ 4.13

เอกสารนี้เป็นเอกสารที่สงวนไว้สำหรับการใช้งานเพื่อการศึกษาเท่านั้น ไม่อนุญาตให้นำไปใช้ประโยชน์ด้านการค้า ไม่ว่ากรณีใดๆทั้งสิ้น อีกทั้งห้ามมิให้ตัดแปลงเนื้อหา และต้องอ้างอิงถึงเจ้าของเอกสารทุกครั้งที่มีการนำไปใช้



รูปที่ 4.5 วงจรสมมูลของวาแรกเตอร์ไดโอด

$$C_j = \frac{C_{j0}}{\left(1 + \frac{V_R}{\phi_0}\right)^M} \quad (4.13)$$

เมื่อ  $C_{j0}$  คือความจุรอยต่อเมื่อไบแอสเป็นศูนย์  $V_R$  คือแรงดันไบแอสแบบกลับ  $\phi_0$  คือศักย์ภายในของรอยต่อ (มีค่าประมาณ 0.7 V สำหรับวาแรกเตอร์ไดโอดชนิดซิลิกอน) และ  $M$  คือสัมประสิทธิ์แกรดดิ้ง (grading coefficient) เท่ากับ 0.5 สำหรับวาแรกเตอร์แบบแอมป์ท์ และมีค่าระหว่าง 0.5 – 2 สำหรับวาแรกเตอร์แบบไฮเปอร์แอมป์ท์ สำหรับตัวประกอบคุณภาพของวาแรกเตอร์ไดโอดจะเท่ากับ

$$Q = \frac{1}{2\pi f R_s C_j} \quad (4.14)$$

ความถี่ทอพอ  $f_c$  เมื่อตัวประกอบคุณภาพมีค่าเท่ากับ 1 หาได้จากสมการ

$$f_c = \frac{1}{2\pi R_s C_j} \quad (4.15)$$

โดยปกติแล้วบริษัทผู้ผลิตมักจะให้ค่าตัวประกอบคุณภาพของวาแรกเตอร์ไดโอดที่ความถี่ 1 MHz เมื่อใช้งานที่ย่านความถี่ไมโครเวฟซึ่งสูงกว่า 1 MHz สามารถหาค่าตัวประกอบคุณภาพได้โดยอาศัยความสัมพันธ์

$$Q(f_1) = Q(f_2) \frac{f_2}{f_1} \quad (4.16)$$

เอกสารนี้ 4.4 สัญญาณรบกวนทางเฟส ใช้งานเพื่อการศึกษาเท่านั้น ไม่นิยามให้นำไปใช้ประโยชน์ด้านการค้า ไม่ว่าจะกรณีใดๆ ทั้งสิ้น อุปกรณ์ชนิดต่างๆ เช่น ตัวต้านทาน ตัวเก็บประจุ ไดโอด และทรานซิสเตอร์ สามารถทำให้เกิดสัญญาณรบกวนขึ้นได้ สัญญาณรบกวนที่เกิดขึ้นในวงจรออสซิลเลเตอร์เป็นผลมาจาก

สัญญาณรบกวนแบบช็อต (Shot noise) สัญญาณรบกวนเชิงความร้อน (Thermal noise) และสัญญาณรบกวน  $1/f$  หรือสัญญาณรบกวนที่ความถี่ต่ำ

สัญญาณรบกวนแบบช็อตเกิดจากการไหลของกระแสผ่านกำแพงศักย์ (potential barrier) เนื่องจากการเปลี่ยนแปลงของกระแสรอบ ๆ ค่ากระแสเฉลี่ย ซึ่งเป็นผลมาจากการปล่อยอิเล็กตรอน หรือโฮลแบบสุ่ม ผลของสัญญาณรบกวนแบบช็อตถูกวิเคราะห์โดย Schottky ในปี ค.ศ. 1918 แสดงด้วยสมการ

$$i_{n,rms}^2 = 2qI\Delta B \quad (4.17)$$

เมื่อ  $q$  คือประจุอิเล็กตรอน (เท่ากับ  $1.6 \times 10^{-19}$  คูโลมบ์)  $I$  คือกระแสไฟฟ้าที่ไหลผ่านสารกึ่งตัวนำ (A) และ  $\Delta B$  คือแบนด์วิดท์ (Hz)

สัญญาณรบกวนเชิงความร้อนเป็นสัญญาณรบกวนที่เกิดจากผลของอุณหภูมิทำให้การเคลื่อนที่ของอิเล็กตรอนเกิดการเปลี่ยนแปลง ซึ่งจะเกิดขึ้นในตัวนำและมีขนาดที่มีความสัมพันธ์กับอุณหภูมิ Johnson และ Nyquist ได้แสดงให้เห็นค่าของสัญญาณรบกวนเชิงความร้อนอันเนื่องมาจากความต้านทานคือ

$$e_{n,rms}^2 = 4kTR\Delta B \quad (4.18)$$

เมื่อ  $k$  คือค่าคงที่ของ Boltzmann (เท่ากับ  $1.3805 \times 10^{-23}$  J/K)  $T$  คืออุณหภูมิ (°K)  $R$  คือค่าความต้านทานของตัวนำ ( $\Omega$ ) และ  $\Delta B$  คือแบนด์วิดท์ (Hz) สัญญาณรบกวนเชิงความร้อนอาจจะเรียกว่า สัญญาณรบกวนจอห์นสัน (Johnson noise) หรือสัญญาณรบกวนที่เกิดจากความต้านทาน (Resistance noise)

สัญญาณรบกวน  $1/f$  หรือสัญญาณรบกวนที่ความถี่ต่ำหรือบางครั้งเรียกว่าสัญญาณรบกวนคอนแทค (Contact noise) ฟลิคเกอร์นอยส์ (Flicker noise) หรือเอ็กเซสสโนยส์ (Excess noise) เป็นสัญญาณรบกวนที่เกิดขึ้นที่หน้าสัมผัส เกิดจากการเปลี่ยนแปลงค่าความนำอันเนื่องมาจากความไม่สมบูรณ์ของหน้าสัมผัสระหว่างวัสดุ 2 ชนิด เกิดขึ้นทุกที่ที่มีตัวนำมาต่อกัน เช่น หน้าสัมผัสของสวิทช์และรีเลย์ และยังสามารถเกิดขึ้นในทรานซิสเตอร์หรือไดโอดอีกด้วย สัญญาณรบกวนชนิดนี้ค้นพบครั้งแรกโดย Schottky ซึ่งพบในหลอดสูญญากาศ สัญญาณรบกวนชนิดนี้ยังเกิดขึ้นในตัวต้านทานและตัวเก็บประจุ การลดผลของสัญญาณรบกวนชนิดนี้ขึ้นอยู่กับขั้นตอนของการผลิตสารกึ่งตัวนำ

สัญญาณรบกวนทางเฟสของวงจรรอสซิลเลเตอร์เป็นผลที่เกิดขึ้นเนื่องจากสัญญาณรบกวนทั้ง 3 ชนิดที่กล่าวมาข้างต้น สัญญาณรบกวนทางเฟสเป็นสิ่งที่ใช้อธิบายถึงการเปลี่ยนแปลงความถี่แบบสุ่มระยะสั้นของสัญญาณหรือเสถียรภาพระยะสั้นของสัญญาณ เสถียรภาพทางความถี่คือประสิทธิภาพของวงจรรอสซิลเลเตอร์ที่สามารถผลิตสัญญาณที่มีความถี่คงที่ตลอดช่วงเวลาที่

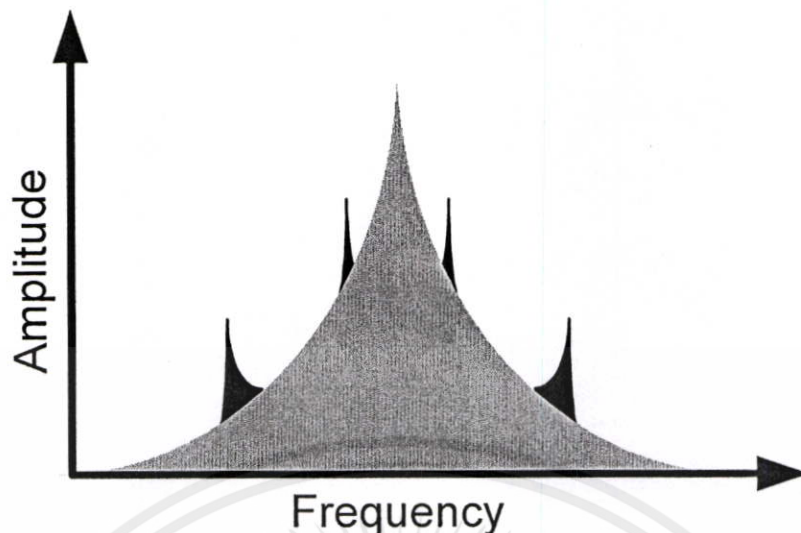
ต้องการ การอธิบายถึงเสถียรภาพทางความถี่สามารถพิจารณาได้จากสัญญาณเอาต์พุตของ ออสซิลเลเตอร์ ( $S(t)$ ) ซึ่งแสดงด้วยสมการ

$$S(t) = A(t) \cos[\omega_0 t + \theta(t)] \quad (4.19)$$

เมื่อ  $A(t)$  และ  $\theta(t)$  แสดงถึงการเปลี่ยนแปลงของแอมพลิจูดและเฟสของสัญญาณตามลำดับ พจน์ของเฟสจะมีลักษณะการเปลี่ยนแปลงแบบสุ่มหรือแบบไม่ต่อเนื่องซึ่งสามารถดูการเปลี่ยนแปลงทางเฟสได้โดยใช้สเปกตรัมอนาไลเซอร์ รูปที่ 2.9 แสดงถึงผลที่เกิดจากการเปลี่ยนแปลงทางเฟสของสัญญาณเอาต์พุตทั้งการเปลี่ยนแปลงแบบสุ่มและแบบไม่ต่อเนื่อง การเปลี่ยนแปลงทางเฟสแบบไม่ต่อเนื่องทำให้เกิดสัญญาณไม่ต่อเนื่องที่เรียกว่าสัญญาณปลอมเทียม (Spurious signal) ซึ่งเห็นได้ชัดเจนในสเปกตรัมความถี่ของสัญญาณ และการเปลี่ยนแปลงทางเฟสอีกลักษณะหนึ่งคือการเปลี่ยนแปลงทางเฟสแบบสุ่มส่งผลให้เกิดการกระเพื่อมของเฟสแบบสุ่มหรือที่เรียกว่าสัญญาณรบกวนทางเฟสนั่นเอง

สาเหตุที่ทำให้เกิดการเปลี่ยนแปลงทางเฟสแบบสุ่มหรือสัญญาณรบกวนทางเฟสเนื่องมาจากสัญญาณรบกวนเชิงความร้อน, สัญญาณรบกวนแบบช็อคและสัญญาณรบกวน  $1/f$  [25-26] โดยที่สัญญาณรบกวนเชิงความร้อนเป็นฟังก์ชันของอุณหภูมิ แบนด์วิดท์และความต้านทาน ส่วนสัญญาณรบกวนแบบช็อคเป็นฟังก์ชันของกระแสไบแอส และสัญญาณรบกวน  $1/f$  เป็นฟังก์ชันของคุณสมบัติของอุปกรณ์แอกทีฟ การเปลี่ยนแปลงทางแอมพลิจูดของสัญญาณหรือ  $A(t)$  ในสมการที่ 4.6 ทำให้เกิดสัญญาณรบกวนเอเอ็ม (AM noise) ซึ่งจะมีค่าต่ำกว่าสัญญาณรบกวนทางเฟสที่เป็นผลมาจากการเปลี่ยนแปลงทางเฟสหรือ  $\theta(t)$  มาก  $A(t)$  จึงสามารถพิจารณาให้เป็นค่าคงที่ได้ ดังนั้นสัญญาณรบกวนที่เกิดขึ้นในวงจรออสซิลเลเตอร์จึงเป็นผลมาจากสัญญาณรบกวนทางเฟสเป็นหลัก

เอกสารนี้เป็นเอกสารที่สงวนไว้สำหรับการใช้งานเพื่อการศึกษาเท่านั้น ไม่อนุญาตให้นำไปใช้ประโยชน์ด้านการค้า ไม่ว่าจะกรณีใดๆทั้งสิ้น อีกทั้งห้ามมิให้ดัดแปลงเนื้อหา และต้องอ้างอิงถึงเจ้าของเอกสารทุกครั้งที่มีการนำไปใช้



รูปที่ 4.6 ผลของสัญญาณรบกวนทางเฟสแสดงได้ด้วยสเปกตรัมอนาไลเซอร์

สัญญาณรบกวนทางเฟสเป็นคุณสมบัติพื้นฐานที่มีความสำคัญต่อระบบการสื่อสารเป็นอย่างมาก เนื่องจากสัญญาณรบกวนทางเฟสจะส่งผลกระทบต่ออัตราส่วนสัญญาณต่อสัญญาณรบกวน (signal-to-noise ratio) อัตราความผิดพลาดบิต (BER) และการรบกวนกันของช่องสัญญาณประชิดในระบบการสื่อสารไร้สาย [27-29] สัญญาณรบกวนทางเฟสจะเกิดขึ้นในอุปกรณ์ต่าง ๆ ของระบบ เช่น ตัวคูณความถี่และวงจรสังเคราะห์ความถี่ ซึ่งสัญญาณรบกวนทางเฟสจะเป็นตัวกำหนดสมรรถนะของระบบ ในระบบการสื่อสารดาวเทียมสัญญาณรบกวนทางเฟสจะส่งผลกระทบต่อสมรรถนะของระบบในอุปกรณ์ปลายทางดาวเทียมขนาดเล็ก เช่น วีแซต (VSAT) หรือสถานีภาคพื้นดินขนาดเล็ก [30] ในกรณีของระบบการสื่อสารที่ใช้การมอดูเลตความถี่ (FM) หรือเฟส (PM) อัตราส่วนสัญญาณต่อสัญญาณรบกวนจะถูกจำกัดโดยสัญญาณรบกวนทางเฟสของออสซิลเลเตอร์ หรือในกรณีที่เครื่องรับใช้เทคนิคการมอดูเลตเชิงเลขทางความถี่ (FSK) หรือพีเอสเค (PSK) ซึ่งเป็นที่ทราบดีว่าพีเอสเคเป็นเทคนิคการมอดูเลตที่ใช้กันอย่างกว้างขวางในระบบการสื่อสารแบบดิจิทัล สัญญาณรบกวนทางเฟสของออสซิลเลเตอร์ประจำเครื่องจะทำให้เกิดการรบกวนในการตีเทกต์สัญญาณเป็นผลให้อัตราความผิดพลาดบิตสูงขึ้น เห็นได้ว่าผลกระทบทั้งหลายที่เกิดขึ้นในระบบล้วนแต่มีสาเหตุมาจากสัญญาณรบกวนทางเฟสของออสซิลเลเตอร์ประจำเครื่อง และมีเพียงวิธีเดียวที่จะแก้ไขได้ก็คือการทำให้สัญญาณรบกวนทางเฟสมีค่าลดลง ดังนั้นเครื่องรับหรือเครื่องส่งในระบบการสื่อสารจึงต้องการวงจรออสซิลเลเตอร์ที่มีสัญญาณรบกวนทางเฟสที่ต่ำเพื่อให้ระบบการสื่อสารมีประสิทธิภาพที่ดี

เอกสารนี้เป็นเอกสารที่จัดทำขึ้นเพื่อใช้ในการศึกษาวิจัยเท่านั้น ไม่สามารถนำไปใช้เพื่อการค้า  
 สัญญาณรบกวนทางเฟสอธิบายได้ด้วยอัตราส่วนของความหนาแน่นกำลังเชิงสเปกตรัม (power spectral density) ของการเปลี่ยนแปลงเฟสใน 1 ไซค์แบนด์ต่อหน่วยแบนด์วิดท์ ที่เรียกว่าสัญญาณรบกวนทางเฟสแถบข้างเดียว (Single Sideband Phase noise) มีหน่วยเป็น dBc/Hz

ณ ที่ความถี่ออฟเซตจากความถี่กลาง แสดงได้ด้วยสัญลักษณ์  $L(f)$  (เรียกว่า สคริปต์  $L$ ) ซึ่งเป็นการวัดในโดเมนความถี่

โมเดลที่ใช้อธิบายสัญญาณรบกวนทางเฟสของออสซิลเลเตอร์ถูกเสนอขึ้นครั้งแรกโดย Leeson [31] ซึ่งโมเดลที่ได้มีค่าใกล้เคียงกับผลจากการทดลอง จึงถูกนำไปใช้ในการอธิบายถึงสัญญาณรบกวนทางเฟสอย่างแพร่หลาย และต่อมาได้มีการพัฒนาและวิจัยอย่างต่อเนื่อง โดยที่สัญญาณรบกวนทางเฟสแสดงได้ด้วยสมการ (4.20)

$$L(f) = 10 \log \left\{ \frac{1}{2} \left[ 1 + \frac{1}{f_m^2} \left( \frac{f_0}{2Q_L} \right)^2 \right] \frac{FkT}{P_{avs}} \left( 1 + \frac{f_c}{f_m} \right) \right\} \quad (4.20)$$

- เมื่อ  $f_m$  คือ ความถี่ออฟเซตจากความถี่กลาง  
 $f_0$  คือ ความถี่กลาง  
 $f_c$  คือ ความถี่หักมุม (corner frequency) ของสัญญาณรบกวน  $1/f$  ของอุปกรณ์แอกทีฟ  
 $Q_L$  คือ ตัวประกอบคุณภาพขณะมีโหลดของเรโซเนเตอร์  
 $F$  คือ ตัวเลขสัญญาณรบกวน (noise figure) ของอุปกรณ์แอกทีฟ  
 $k$  คือ ค่าคงที่ของ Boltzmann  
 $T$  คือ อุณหภูมิ (°K)  
 $P_{avs}$  คือ กำลังเอาต์พุตของสัญญาณ

จากสมการสัญญาณรบกวนทางเฟสข้างต้นจะเห็นว่าพารามิเตอร์สำคัญที่เป็นตัวกำหนดสัญญาณรบกวนทางเฟสของวงจรคือ

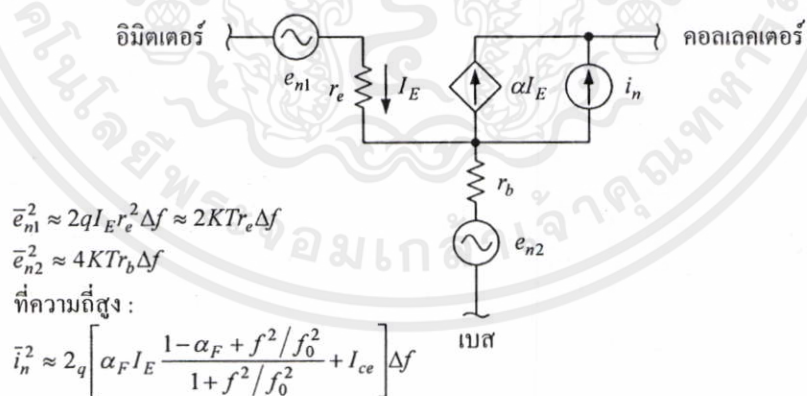
1. ค่าตัวประกอบคุณภาพขณะมีโหลดของเรโซเนเตอร์ เป็นพารามิเตอร์ที่สำคัญและส่งผลกระทบต่อสัญญาณรบกวนทางเฟส ในการออกแบบที่ต้องการให้สัญญาณรบกวนทางเฟสมีค่าต่ำต้องเลือกใช้เรโซเนเตอร์ที่มีค่าตัวประกอบคุณภาพสูง ๆ
2. ความถี่หักมุมของสัญญาณรบกวน  $1/f$  ซึ่งมีค่าขึ้นอยู่กับอุปกรณ์แอกทีฟแต่ละชนิด โดยปกติแล้วการออกแบบวงจรออสซิลเลเตอร์สัญญาณรบกวนต่ำจะเลือกใช้ซิลิกอนไบโพลาร์ทรานซิสเตอร์ (Si BJT) มากกว่าแกลเลียมอาร์เซไนด์เมสเฟต (GaAs MESFET) เนื่องจากอุปกรณ์ที่สร้างจากแกลเลียมอาร์เซไนด์มีความถี่หักมุมสูงกว่าซิลิกอนไบโพลาร์ทรานซิสเตอร์ 2 – 3 เท่า [32]

เอกสารนี้เป็นเอกสารที่สงวนไว้สำหรับการใช้งานเพื่อการศึกษาเท่านั้น ไม่นอนุญาติให้นำไปใช้ประโยชน์ด้านการค้า  
 3. กำลังงานเอาต์พุตของวงจร  
 ไม่ว่าจะกรณีใดๆทั้งสิ้น อีกทั้งห้ามมิให้ดัดแปลงเนื้อหา และต้องอ้างอิงถึงเจ้าของเอกสารทุกครั้งที่มีการนำไปใช้

#### 4.5 เทคนิคการป้อนกลับสัญญาณรบกวน

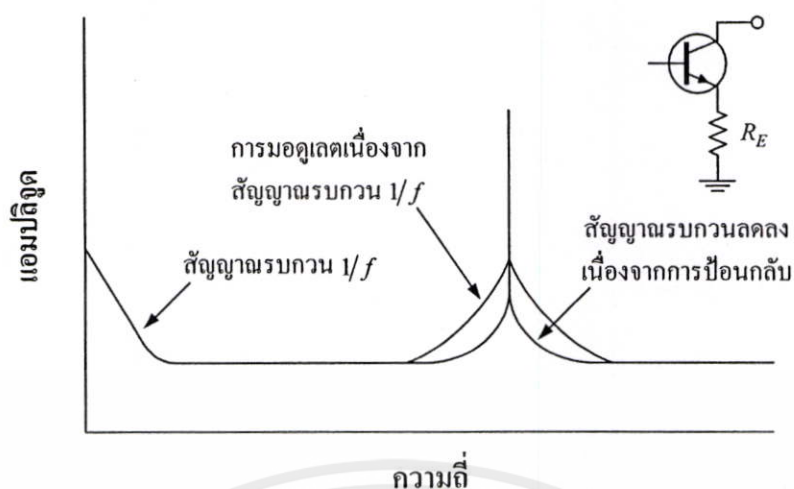
การออกแบบวงจรออสซิลเลเตอร์ให้มีสัญญาณรบกวนทางเฟสต่ำต้องคำนึงถึงพารามิเตอร์ 3 ตัว ได้แก่ ค่าตัวประกอบคุณภาพขณะมีโหลดของเรโซเนเตอร์ ความถี่หักมุมของสัญญาณรบกวน  $1/f$  ในทรานซิสเตอร์หรืออุปกรณ์แอกทีฟที่ใช้ และกำลังเอาต์พุตของสัญญาณ เป็นที่ทราบดีว่าการใช้เรโซเนเตอร์ชนิด YIG ในวงจรออสซิลเลเตอร์จะให้ผลของสัญญาณรบกวนทางเฟสที่ดีมาก แต่วงจร YIG ออสซิลเลเตอร์ไม่ค่อยเหมาะสมกับการนำไปประยุกต์ใช้งานในด้านต่าง ๆ เนื่องจากวงจรมีขนาดใหญ่และมีราคาแพงเมื่อเทียบกับเรโซเนเตอร์ชนิดอื่น ๆ จึงมีการศึกษาและวิจัยเพื่อหาวิธีการที่เหมาะสมในการออกแบบวงจรเพื่อลดค่าสัญญาณรบกวนทางเฟสอย่างต่อเนื่อง [32-40] ต่อมา Ulrich L. Rohde [41-42,43-45] ได้นำเสนอวิธีการลดสัญญาณรบกวนทางเฟสในวงจรออสซิลเลเตอร์โดยใช้วงจรป้อนกลับแบบใหม่ที่น่าสัญญาณรบกวนภายในไปหักล้างกับสัญญาณรบกวนของวงจรออสซิลเลเตอร์ วงจรนี้สามารถทำให้สัญญาณรบกวนทางเฟสของวงจรออสซิลเลเตอร์ลดลงมากกว่า 15 dB เมื่อเปรียบเทียบกับวงจรที่ใช้โครงสร้างเดียวกัน เทคนิคนี้สามารถใช้ได้ตลอดช่วงความถี่ช่วงกว้าง ๆ และทำงานได้ดีตั้งแต่ช่วงความถี่ VHF/UHF ไปจนถึงช่วงคลื่นมิลลิเมตร

เทคนิคการป้อนกลับสัญญาณรบกวนมีคุณสมบัติในการลดผลของสัญญาณรบกวน  $1/f$  ในวงจรออสซิลเลเตอร์ซึ่งเป็นพารามิเตอร์ที่สำคัญในการกำหนดคุณลักษณะของสัญญาณรบกวนทางเฟส วงจรป้อนกลับสัญญาณรบกวนเป็นวงจรป้อนกลับแบบลบและมีโมเดลของสัญญาณรบกวนดังรูปที่ 4.7



รูปที่ 4.7 โมเดลสัญญาณรบกวนของไบโพลาร์ทรานซิสเตอร์

เอกสารนี้เป็นเอกสารที่สงวนไว้สำหรับการใช้งานเพื่อการศึกษาเท่านั้น ไม่อนุญาตให้นำไปใช้ประโยชน์ด้านการค้า ไม่ว่าจะกรณีใดๆทั้งสิ้น อีกทั้งห้ามมิให้ดัดแปลงเนื้อหา และต้องอ้างอิงถึงเจ้าของเอกสารทุกครั้งที่มีการนำไปใช้



รูปที่ 4.8 วงจรป้อนกลับแบบลบลดผลของสัญญาณรบกวนทางเฟสที่เกิดจากสัญญาณรบกวน  $1/f$

การสังเคราะห์ความถี่คือการสร้างสัญญาณความถี่ขึ้น โดยอาศัยสัญญาณจากแหล่งกำเนิดความถี่ค่าอื่นที่มีเสถียรภาพสูงเป็นสัญญาณอ้างอิง การสังเคราะห์ความถี่โดยทั่วไปแบ่งวิธีการสังเคราะห์ออกได้ 2 แบบ คือ

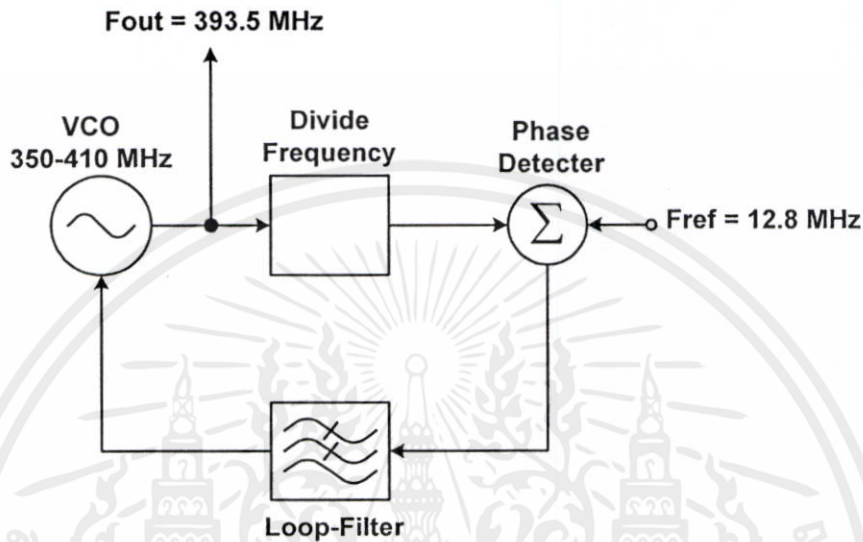
การสังเคราะห์แบบไม่ร่วมนัย (Incoherent Synthesis) การสังเคราะห์ความถี่แบบนี้อาศัยพื้นฐานด้านการผสมความถี่เป็นหลัก อุปกรณ์ในวงจรสังเคราะห์ความถี่แบบไม่ร่วมนัยประกอบด้วยวงจรหลักคือ วงจรกำเนิดความถี่อ้างอิงที่มีเสถียรภาพสูง วงจรผสมความถี่ วงจรหารความถี่ และวงจรรองความถี่ การสังเคราะห์ความถี่แบบไม่ร่วมนัยอาศัยวงจรกำเนิดความถี่ที่มีเสถียรภาพสูงเช่น คริสตัล จำนวนหลายวงจร ซึ่งแต่ละตัวทำหน้าที่กำเนิดสัญญาณความถี่โดยเอาต์พุตที่ได้จากวงจรกำเนิดความถี่ด้วยคริสตัลแต่ละตัวจะถูกนำมาผสมความถี่ด้วยวงจรผสมความถี่ เอาต์พุตที่ได้จากวงจรผสมความถี่ประกอบด้วยผลบวกและผลต่างของความถี่อินพุต ซึ่งจะถูกละเลือกโดยวงจร กรองแบบแถบผ่านที่เอาต์พุตของวงจรผสมความถี่เพื่อเลือกเฉพาะช่วงความถี่ที่ต้องการ ส่วนของความละเอียดในการปรับความถี่ของวิธีการสังเคราะห์ความถี่แบบไม่ร่วมนัยนี้ขึ้นอยู่กับ การเลือกความถี่และจำนวนวงจรกำเนิดความถี่ด้วยคริสตัล [46]

การสังเคราะห์แบบร่วมนัย (Coherent Synthesis) การสังเคราะห์ความถี่ในรูปแบบนี้อาศัยวงจรกำเนิดความถี่อ้างอิงที่มีเสถียรภาพสูงเพียงวงจรเดียว การสังเคราะห์ความถี่แบบร่วมนัยนี้ยังแบ่งออกได้เป็น 2 ประเภท คือ ก) การสังเคราะห์ตรงแบบร่วมนัย (Coherent Direct Synthesis) การสังเคราะห์ความถี่แบบนี้ อาศัยการคูณและหารความถี่ของสัญญาณอ้างอิงเพื่อให้ได้สัญญาณความถี่หลายค่า โดยความถี่ที่ได้จากการคูณและหารความถี่นี้จะถูกนำไปผสมความถี่ด้วยวงจรผสมความถี่

อีกทีหนึ่ง ความถี่ของสัญญาณเอาต์พุตที่ได้จากวงจรผสมความถี่คือผลบวกและผลต่างของความถี่ของสัญญาณอินพุต ความถี่ของเอาต์พุตจากวงจรผสมความถี่จะถูกละเลือกโดยวงจรกรองความถี่ และ

ข) การสังเคราะห์อ้อมแบบร่วมนัย (Coherent Indirect Synthesis) การสังเคราะห์ความถี่รูปแบบนี้

อาศัยคุณสมบัติของสัญญาณจากวงจรกำเนิดสัญญาณอ้างอิงที่มีเสถียรภาพสูงเป็นตัวอ้างอิงให้กับสัญญาณที่กำเนิดได้จากวงจรออสซิลเลเตอร์ วงจรที่อาศัยหลักการสังเคราะห์เช่น วงจรสังเคราะห์ความถี่ระบบเฟสล็อกกลุ๊ป เป็นต้น หากเปรียบเทียบกับวิธีการสังเคราะห์แบบไม่รวมนัยแล้วข้อดีของการสังเคราะห์แบบรวมนัยคือเฟสของสัญญาณเอาต์พุตจะตรงกับเฟสของสัญญาณอ้างอิงเสมอ [43]



รูปที่ 4.9 บล็อกไดอะแกรมของวงจรสังเคราะห์ความถี่ระบบเฟสล็อกกลุ๊ป

ตัวอย่างของวงจรสังเคราะห์ความถี่ระบบเฟสล็อกกลุ๊ปแบบลูปเดี่ยวแสดงดังรูปที่ 4.9 ระบบสังเคราะห์ความถี่แบบเฟสล็อกกลุ๊ปในรูปที่ 4.9 อาศัยหลักการทำงานพื้นฐานของการหารแบบเศษส่วน N (Fractional-N-Division) ซึ่งขนาดการเปลี่ยนความถี่หรือช่วงห่างระหว่างช่องสัญญาณมีค่าเท่ากับความถี่ของสัญญาณอ้างอิง

หลักการทำงานของระบบดังกล่าวอธิบายได้โดย หากกำหนดให้สัญญาณเอาต์พุตจากวงจรออสซิลเลเตอร์ปรับความถี่ได้ด้วยแรงดันไฟฟ้า (Voltage Controlled Oscillator: VCO) กำเนิดสัญญาณเอาต์พุตที่มีความถี่ในช่วง 350 ถึง 410 MHz สัญญาณเอาต์พุตของวงจรออสซิลเลเตอร์ปรับความถี่ได้ด้วยแรงดันไฟฟ้างี้จะถูกรักษาความถี่ลง ด้วยวงจรหารความถี่ที่สามารถตั้งค่าการหารได้ จากนั้นเอาต์พุตจากวงจรหารความถี่จะถูกป้อนเข้าที่อินพุตด้านหนึ่งของวงจรเปรียบเทียบเฟสและความถี่ เพื่อเปรียบเทียบกับอินพุตอีกด้านหนึ่งของวงจรเปรียบเทียบเฟสและความถี่ อินพุตอีกด้านหนึ่งของวงจรเปรียบเทียบเฟสและความถี่จะถูกป้อนด้วยสัญญาณอ้างอิงที่มีเสถียรภาพสูง เช่น วงจรกำเนิดความถี่ด้วยคริสตัล เป็นต้น วงจรกรองลู๊ปที่เอาต์พุตของวงจรเปรียบเทียบเฟสและความถี่ทำหน้าที่ที่คองค์ประกอบของความถี่ที่ใช้เปรียบเทียบลง โดยสร้างขึ้นจากวงจรอินทิเกรต การดำเนินการนี้ไม่ทำกรณเป็นต้น แรงดันไฟฟ้าตรงที่ได้จากเอาต์พุตของวงจรกรองลู๊ปทำหน้าที่ในการปรับแต่งความถี่ของสัญญาณเอาต์พุตจากวงจรออสซิลเลเตอร์ปรับความถี่ได้ด้วยแรงดันไฟฟ้า จนกระทั่งความถี่ที่หาร

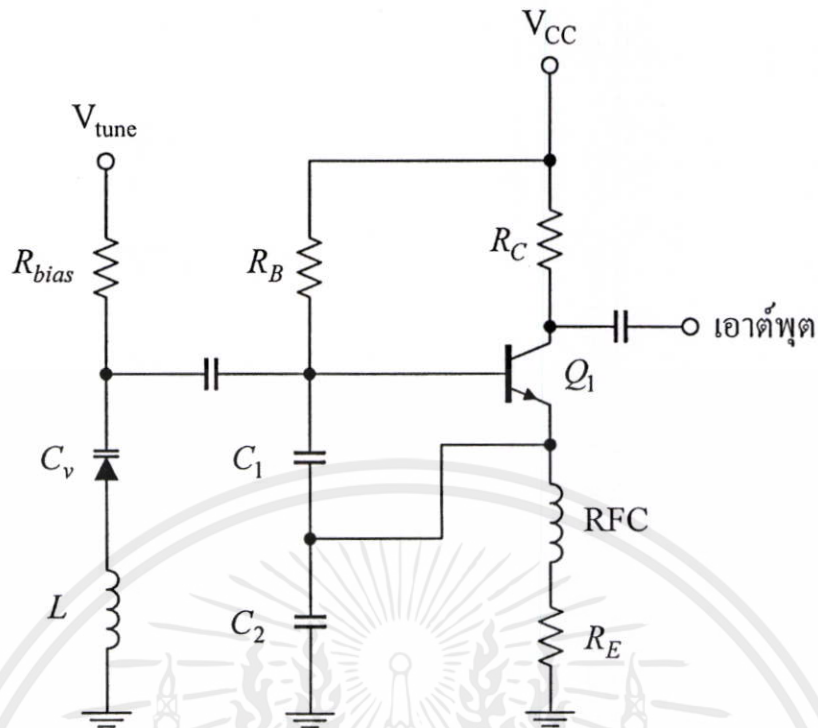
ได้จากวงจรหารความถี่ที่มีค่าเท่ากับความถี่ของสัญญาณอ้างอิง ตัวอย่างเช่นจากรูปที่ 4.9 หากค่าการหารของวงจรหารความถี่ และความถี่ของสัญญาณอ้างอิงมีค่าเท่ากับ 12.8 MHz แล้วความถี่ที่ได้จากการสังเคราะห์ความถี่จะมีค่าเท่ากับ 393.5 MHz โดยสามารถปรับค่าความถี่ที่เอาต์พุตของวงจรวงจรรอสซิลเลเตอร์ปรับความถี่ได้ด้วยแรงดันไฟฟ้าได้จากการเปลี่ยนค่าการหารของวงจรหารความถี่ ซึ่งขนาดการเปลี่ยนความถี่ที่มีค่าเท่ากับความถี่ของสัญญาณอ้างอิงคือ 12.8 MHz นั้นเอง ปัจจุบันการสังเคราะห์ความถี่อาศัยหลักการของระบบเฟสล็อกกลูบ โดยส่วนใหญ่สร้างขึ้นในรูปแบบของวงจรรวมที่มีขนาดเล็กและมีราคาถูก ในบทที่ 4 ของวิทยานิพนธ์ฉบับนี้เป็นการออกแบบวงจรสังเคราะห์ 2 ความถี่คือ 393.5 เมกกะเฮิร์ตซ์ และ 3.83 กิกะเฮิร์ตซ์ เพื่อใช้เป็นวงจรถ่ายทอดความถี่

#### 4.6 การออกแบบวงจรรอสซิลเลเตอร์

##### 4.6.1 วงจรรอสซิลเลเตอร์ปรับค่าความถี่ได้

การออกแบบวงจรรอสซิลเลเตอร์สามารถทำได้โดยการพิจารณาค่าความต้านทานลบที่พอร์ตของอุปกรณ์แอกทีฟ เช่น ทรานซิสเตอร์ โดยใช้วงจรสมมูลของทรานซิสเตอร์ในการสร้างความต้านทานลบ ซึ่งวงจรรอสซิลเลเตอร์สามารถพิจารณาเป็นวงจรขยายที่มีการป้อนกลับทางบวกจากเอาต์พุตไปยังอินพุต โดยปกติแล้วโครงสร้างที่ใช้ในการออกแบบวงจรรอสซิลเลเตอร์ทำได้หลายรูปแบบ เช่น โคลพิตต์ (Colpitts), ฮาร์ตลีย์ (Hartley), อาร์มสตรอง (Armstrong) หรือ แคลปปี้ (Clapp) ออสซิลเลเตอร์ แต่โครงสร้างที่มักนิยมใช้สำหรับการออกแบบในช่วงความถี่สูงคือ โครงสร้างแบบแคลปปี้ [42-44] เป็นโครงสร้างที่เหมาะสมกับการนำไปใช้งานจริงและสามารถปรับจูนความถี่ได้กว้าง วงจรรอสซิลเลเตอร์ในวิทยานิพนธ์นี้เลือกโครงสร้างแบบแคลปปี้ เนื่องจากสามารถอธิบายในรูปของความต้านทานลบง่าย วงจรมีความซับซ้อนน้อย และใช้งานที่ความถี่สูงได้ดี เป็นต้น [47] ถ้าเลือกอุปกรณ์แอกทีฟเป็นไบโพลาร์ทรานซิสเตอร์ (BJT) สามารถทำการป้อนกลับจากขาคอลเลกเตอร์หรืออิมิตเตอร์ได้ แต่ในช่วงความถี่ที่สูงกว่า 10 GHz มักเลือกใช้อุปกรณ์แอกทีฟที่เป็นแกแลเลียมอาร์เซไนด์เมสเฟต หลักการทำงานพื้นฐานของวงจรรอสซิลเลเตอร์คือดูปการป้อนกลับจะทำให้เกิดความต้านทานลบเพื่อชดเชยการสูญเสียในวงจรและเมื่อต่อร่วมกับวงจรเรโซเนเตอร์แล้ว วงจรขยายจะกลายเป็นวงจรรอสซิลเลเตอร์ โดยผลรวมของความต้านทานทั้งหมดต้องมีค่าเป็นลบ แต่ถ้าผลรวมของค่าความต้านทานเป็นบวกจะไม่ทำให้เกิดการออสซิลเลต วงจรรอสซิลเลเตอร์ปรับค่าความถี่ได้แสดงในรูปที่ 4.10 โดยใช้ตัวเก็บประจุเป็นตัวป้อนกลับ

เอกสารนี้เป็นเอกสารที่สงวนไว้สำหรับการใช้งานเพื่อการศึกษาเท่านั้น ไม่อนุญาตให้นำไปใช้ประโยชน์ด้านการค้า ไม่ว่ากรณีใดๆทั้งสิ้น อีกทั้งห้ามมิให้ตัดแปลงเนื้อหา และต้องอ้างอิงถึงเจ้าของเอกสารทุกครั้งที่มีการนำไปใช้



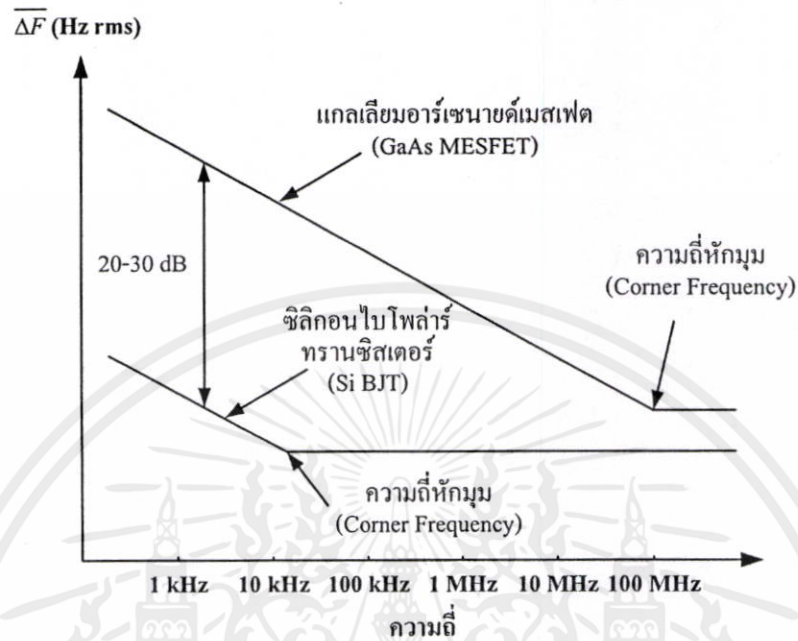
รูปที่ 4.10 วงจรออสซิลเลเตอร์ปรับค่าความถี่ได้

พิจารณาวงจรในรูปที่ 4.10 ซึ่งเป็นวงจรแคลมป์ออสซิลเลเตอร์โดยมีวงจรสมมูลเป็นไปตามรูปที่ 4.2 โดยที่ตัวเก็บประจุ  $C_1$  และ  $C_2$  เป็นตัวป้อนกลับเพื่อให้เกิดความต้านทานลบดังสมการที่ 4.5 และ  $C_v$  คือค่าความจุของวาร์แคเตอร์ไดโอดซึ่งสามารถปรับให้ได้ความถี่ที่ต้องการได้ ดังนั้นเงื่อนไขของการออสซิลเลเตอร์จะได้จาก

$$\omega_0 L - \frac{1}{\omega_0 C_v} - \frac{1}{\omega_0 C_1} - \frac{1}{\omega_0 C_2} = 0 \quad (4.21)$$

ในการออกแบบเลือกใช้อุปกรณ์แอกทีฟเป็นซิลิกอนไบโพลาร์ทรานซิสเตอร์ (Si BJT) เนื่องจากมีสัญญาณรบกวน  $1/f$  ที่น้อยกว่าอุปกรณ์แอกทีฟแบบแกลเลียยมอาร์เซนายด์เมสเฟต อุปกรณ์แอกทีฟที่มีสัญญาณรบกวน  $1/f$  ที่ต่ำจะส่งผลให้วงจรออสซิลเลเตอร์มีค่าสัญญาณรบกวนทางเฟสที่ต่ำเช่นกัน [25] โดยทั่วไปแล้วค่าความถี่หักมุมของสัญญาณรบกวน  $1/f$  จะขึ้นอยู่กับชนิดของอุปกรณ์แอกทีฟคือ ซิลิกอนเฟต (FET) มีค่าตั้งแต่ 50 – 100 Hz สำหรับซิลิกอนไบโพลาร์ทรานซิสเตอร์ความถี่ไมโครเวฟมีค่าอยู่ในช่วง 1 - 10 kHz ส่วนมอสเฟต (MOSFETs) จะเท่ากับ 10 – 100 kHz และแกลเลียยมอาร์เซนายด์เมสเฟตจะมีค่าสูงถึง 10 – 100 MHz นั่นคือในการใช้งานที่ความถี่สูงมากขึ้นจะต้องใช้อุปกรณ์แอกทีฟที่มีค่าความถี่ที่จุดเปลี่ยน (Transition frequency:  $f_T$ ) สูงพอที่จะสามารถใช้งานได้แต่จะส่งผลให้ความถี่  $1/f$  มีค่าสูงด้วย [48] การเปรียบเทียบสเปกตรัม

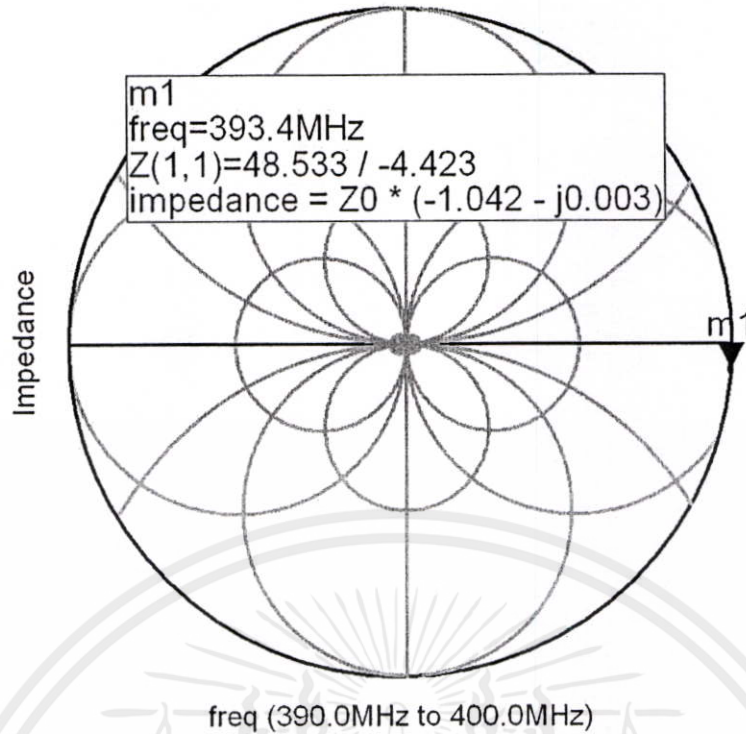
ของสัญญาณรบกวน  $1/f$  ในซิลิกอนไบโพลาร์ทรานซิสเตอร์และแกลเลียมอาร์เซไนด์เมสเฟต แสดงดังรูปที่ 4.11



รูปที่ 4.11 การเปรียบเทียบสเปกตรัมของสัญญาณรบกวน  $1/f$  ของซิลิกอนไบโพลาร์ทรานซิสเตอร์ และแกลเลียมอาร์เซไนด์เมสเฟต

จากเหตุผลที่กล่าวมาข้างต้น  $Q_1$  ซึ่งเป็นอุปกรณ์แอกทีฟของวงจรออสซิลเลเตอร์จึงเลือกใช้ซิลิกอนไบโพลาร์ทรานซิสเตอร์เบอร์ BFP 420 ของบริษัท Philips เพื่อให้วงจรมีสัญญาณรบกวนทางเฟสต่ำ ซึ่งมีความถี่ที่จุดเปลี่ยนเท่ากับ 9 GHz ความถี่หักมุมของสัญญาณรบกวน  $1/f$  เท่ากับ 8 kHz วงจรออสซิลเลเตอร์ที่ต้องการมีความถี่ในช่วง 393.5 MHz ทำการไบแอสทรานซิสเตอร์ด้วย  $R_B$ ,  $R_C$  และ  $R_E$  ที่มีค่าเท่ากับ 6.8 k $\Omega$ , 47  $\Omega$  และ 22  $\Omega$  ตามลำดับ ทำให้ทรานซิสเตอร์ทำงานโดยมีกระแส  $I_C$  เท่ากับ 10 มิลลิแอมป์  $V_{CE}$  เท่ากับ 3 โวลต์โดยที่  $g_m$  เท่ากับ 0.387 S ส่วนตัวเก็บประจุป้อนกลับ  $C_1$  และ  $C_2$  มีค่าเท่ากับ 10 pF จากสมการที่ 4.5 สามารถหาค่าอินพุตอิมพีแดนซ์เมื่อมีเงื่อนไขของการป้อนกลับ เมื่อทำการคำนวณค่าอินพุตอิมพีแดนซ์ของวงจรออสซิลเลเตอร์ตลอดช่วงความถี่ที่ต้องการจะมีค่าเท่ากับ  $-52.1 - j0.15 \Omega$  ที่ความถี่ 393.5 MHz ดังรูปที่ 4.12

เอกสารนี้เป็นเอกสารที่สงวนไว้สำหรับการใช้งานเพื่อการศึกษาเท่านั้น ไม่อนุญาตให้นำไปใช้ประโยชน์ด้านการค้า ไม่ว่าจะกรณีใดๆทั้งสิ้น อีกทั้งห้ามมิให้ตัดแปลงเนื้อหา และต้องอ้างอิงถึงเจ้าของเอกสารทุกครั้งที่มีการนำไปใช้



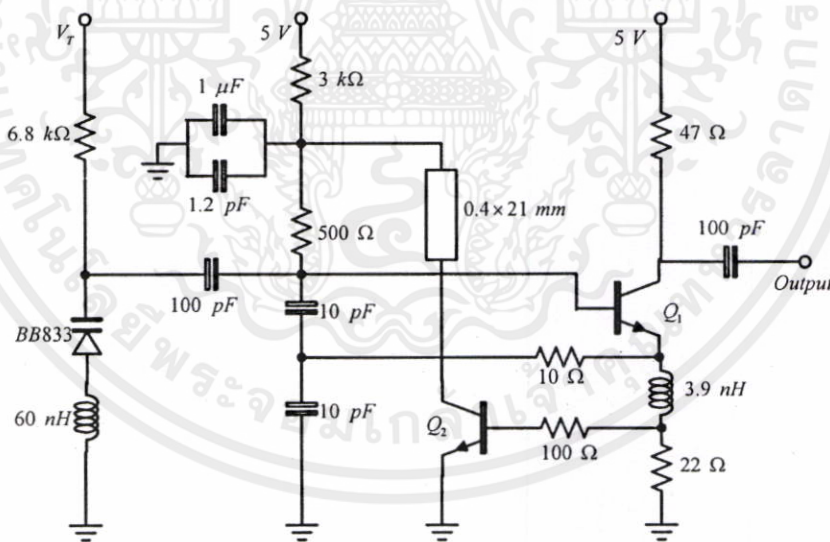
รูปที่ 4.12 ผลจำลองอินพุตอิมพีแดนซ์ของวงจรออสซิลเลเตอร์ที่ความถี่ 393.5 เมกกะเฮิรตซ์

#### 4.7 ผลจำลองการทำงาน

จากผลการจำลองแบบการทำงานด้วยโปรแกรม Advanced Design System ในรูปที่ 4.12 เพื่อคูล่าอินพุตอิมพีแดนซ์ของวงจรออสซิลเลเตอร์ที่ทำการป้อนกลับแบบบวกด้วยตัวเก็บประจุ 10 pF จำนวน 2 ตัว ซึ่งจากผลการจำลองแบบการทำงาน พบว่า ค่าอินพุตอิมพีแดนซ์ที่ขาเบสของวงจรมีค่า  $-52.1 - j0.15 \Omega$  ที่ความถี่ 393.5 MHz ซึ่งจะเห็นได้ว่าวงจรมีค่าอินพุตอิมพีแดนซ์เป็นลบตลอดช่วงความถี่ที่ใช้งานนอกจากนั้นยังครอบคลุมทั้งด้านความถี่สูงและทั้งด้านความถี่ด้านต่ำอีกด้วย ดังนั้นวงจรในรูปที่ 4.10 หากประกอบไปด้วยวาระกเตอร์ไดโอดและตัวเหนี่ยวนำจะสามารถใช้งานเป็นวงจรออสซิลเลเตอร์ปรับค่าความถี่ได้ด้วยแรงดันไฟฟ้าในช่วงความถี่ 393.5 MHz ของระบบส่งเคราะห์ความถี่ได้ การคำนวณหาค่าตัวเหนี่ยวนำที่ใช้เป็นวงจรเรโซเนเตอร์ พิจารณาได้จากค่าความจุไฟฟ้าของตัวเก็บประจุ 10 pF จำนวน 2 ตัวอนุกรมกันดังตามสมการที่ 4.7 วาระกเตอร์ไดโอดที่ใช้ในวิทยานิพนธ์นี้เลือกใช้วาระกเตอร์ไดโอดชนิดซิลิโคน เนื่องจากอุปกรณ์แอกทีฟหรืออุปกรณ์ดิสคริต เช่น ทรานซิสเตอร์หรือวาระกเตอร์ไดโอด ที่สร้างจากสารกึ่งตัวนำชนิดซิลิโคนจะให้ค่าสัญญาณรบกวน  $1/f$  ต่ำกว่าอุปกรณ์ชนิดอื่น [49] วาระกเตอร์ไดโอด BB833 ถูกนำมาใช้ในวงจรออสซิลเลเตอร์เพื่อปรับค่าความถี่ของวงจรเรโซเนเตอร์ ค่าความจุไฟฟ้าภายในของวาระกเตอร์ไดโอด BB833 มีค่าระหว่าง 0.75 ถึง 9.3 pF ซึ่งมีค่าแปรตามแรงดันปรับแต่งความถี่แบบย้อนกลับที่ไบแอสให้กับวาระกเตอร์ไดโอด ( $V_T$ ) หากเลือกใช้ค่าความจุไฟฟ้าของวาระกเตอร์ไดโอดในช่วงเริ่มต้นหรือที่ประมาณ 2 pF แล้วสามารถคำนวณหาค่าตัวเหนี่ยวนำที่ใช้ได้โดยเริ่มต้นจากการคำนวณหาค่าของตัวเก็บประจรรวม ( $C_T$ ) ซึ่งมีค่าเท่ากับตัวเก็บประจุ 10 pF ( $C_1$ ) อนุกรมกับ

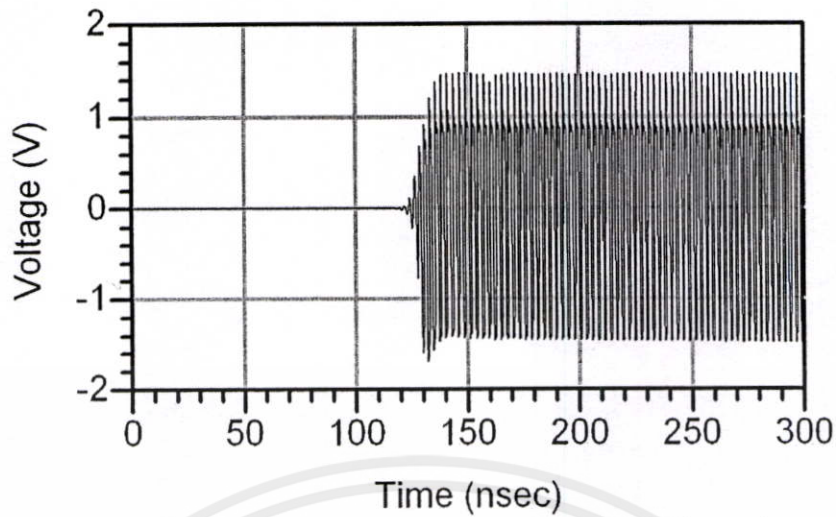
ตัวเก็บประจุ  $10 \text{ pF}$  ( $C_2$ ) และอนุกรมกับค่าตัวเก็บประจุภายในวาระเตอร์ไดโอด ( $C_V$ ) ที่  $2 \text{ pF}$  ดังนั้นผลรวมของค่าตัวเก็บประจุจึงมีค่าประมาณ  $1.1 \text{ pF}$  หากต้องการให้วงจรออสซิลเลเตอร์กำเนิดความถี่ที่  $393.5 \text{ MHz}$  ค่าตัวเหนี่ยวนำสามารถคำนวณหาได้จาก  $f = 1/2\pi\sqrt{LC_T}$  ซึ่งพบว่ามีความถี่เท่ากับ  $68 \text{ nH}$  รูปที่ 4.13 แสดงวงจรออสซิลเลเตอร์ปรับความถี่ได้ด้วยแรงดันไฟฟ้าที่สมบูรณ์

ในส่วนของวงจรป้อนกลับสัญญาณรบกวนที่เพิ่มให้กับวงจรออสซิลเลเตอร์จะถูกต่อรวมเข้ากับวงจรไบแอสของวงจรออสซิลเลเตอร์หลัก โดยใช้อุปกรณ์แอกทิฟ  $Q_2$  ในการสร้างวงจรป้อนกลับสัญญาณรบกวนซึ่งเป็นวงจรป้อนกลับแบบลบเลือกใช้ทรานซิสเตอร์ความถี่ต่ำเบอร์ BC847 ของบริษัท Philips มีความถี่จุดเปลี่ยนเท่ากับ  $100 \text{ MHz}$  ความถี่หักมุมของสัญญาณรบกวน  $1/f$  เท่ากับ  $5 \text{ kHz}$  ตัวต้านทาน  $100 \text{ }\Omega$  และตัวเก็บประจุ  $1.2 \text{ pF}$  จะทำหน้าที่เป็นวงจรกรองความถี่ต่ำซึ่งทำให้การป้อนกลับสัญญาณรบกวนไม่มีที่ความถี่สูง ๆ โดยที่สัญญาณรบกวนจากตัวต้านทาน  $22 \text{ }\Omega$  ที่ขาอิมิตเตอร์จะถูกป้อนกลับผ่านวงจรขยายสัญญาณที่มีเฟสชิฟเท่ากับ  $180$  องศา และถูกป้อนกลับเข้าไปยังวงจรออสซิลเลเตอร์หลักเข้าที่ขาเบสของ  $Q_1$  โดยผ่านตัวต้านทาน  $100 \text{ }\Omega$  เพื่อให้เกิดการหักล้างกันของสัญญาณรบกวนภายในวงจรออสซิลเลเตอร์และส่งผลให้สัญญาณรบกวนทางเฟสมีค่าลดลง นอกจากนี้ส่วนของวงจรป้อนกลับยังทำให้กระแสคอลเลคเตอร์และอิมิตเตอร์ของทรานซิสเตอร์หลักมีเสถียรภาพมากขึ้น [47]

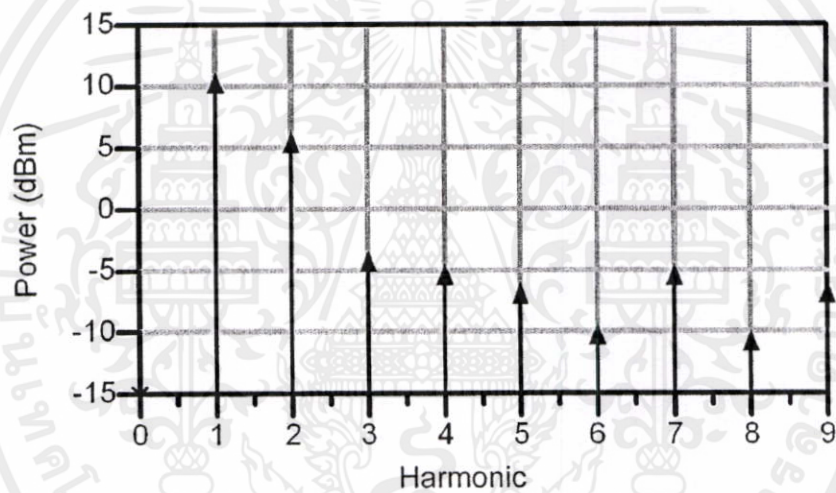


รูปที่ 4.13 วงจรออสซิลเลเตอร์ความถี่ 393.5 เมกะเฮิรตซ์

เอกสารนี้เป็นเอกสารที่สงวนไว้สำหรับการใช้งานเพื่อการศึกษาเท่านั้น ไม่อนุญาตให้นำไปใช้ประโยชน์ด้านการค้า ไม่ว่าจะกรณีใดๆทั้งสิ้น อีกทั้งห้ามมิให้ตัดแปลงเนื้อหา และต้องอ้างอิงถึงเจ้าของเอกสารทุกครั้งที่มีการนำไปใช้



รูปที่ 4.14 ผลจำลองการทำงานของวงจรรอสซิลเลเตอร์ในโดเมนเวลาที่ความถี่ 393.5 เมกกะเฮิร์ตซ์



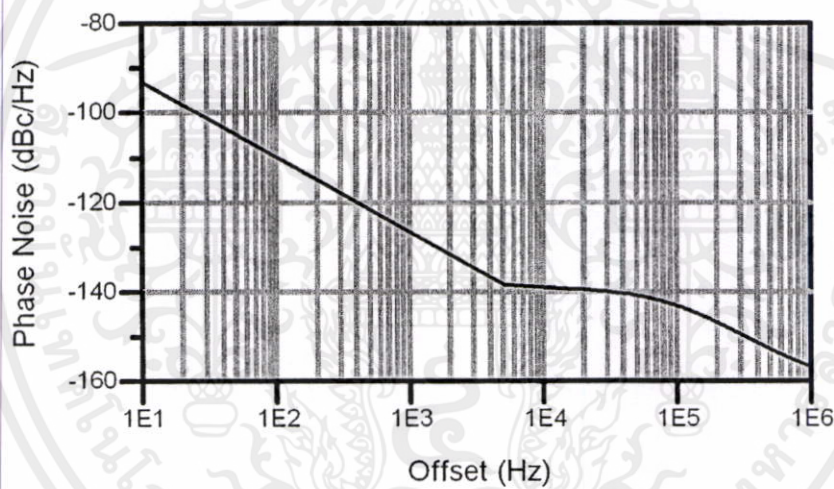
รูปที่ 4.15 จำลองการทำงานของวงจรรอสซิลเลเตอร์ในโดเมนความถี่ที่ความถี่ 393.5 เมกกะเฮิร์ตซ์

เมื่อทำการจำลองแบบการทำงานของวงจรรอสซิลเลเตอร์ปรับค่าความถี่ได้ในรูปที่ 4.13 โดยใช้โปรแกรม Advanced Design System ในการทดสอบพร้อมกับค่าพารามิเตอร์ของทรานซิสเตอร์เบอร์ BFP 420 ผลการจำลองแบบการทำงานแสดงได้ดังรูปที่ 4.14 โดยแสดงการเริ่มต้นของการอสซิลเลตของวงจร จากกราฟสามารถบอกได้ว่าวงจรสามารถเกิดการอสซิลเลตได้ จากรูปที่ 4.15 จำลองการทำงานในโดเมนความถี่ กำลังงานที่ได้จากการจำลองการทำงานในฮาร์โมนิกที่ 1 มีค่าเท่ากับ 10.87 dBm กำลังงานที่ฮาร์โมนิกที่ 2 มีค่าเท่ากับ 6.05 dBm ฮาร์โมนิกอื่นๆ ดูได้จากตารางที่ 4.1

เอกสารนี้เป็นเอกสารที่สงวนไว้สำหรับการใช้งานเพื่อการศึกษาเท่านั้น ไม่อนุญาตให้นำไปใช้ประโยชน์ด้านการค้า ไม่ว่าจะกรณีใดๆทั้งสิ้น อีกทั้งห้ามมิให้ตัดแปลงเนื้อหา และต้องอ้างอิงถึงเจ้าของเอกสารทุกครั้งที่มีการนำไปใช้

ตารางที่ 4.1 ผลจำลองการทำงานวงจรออสซิลเลเตอร์ที่ความถี่ 393.5 เมกกะเฮิร์ตซ์

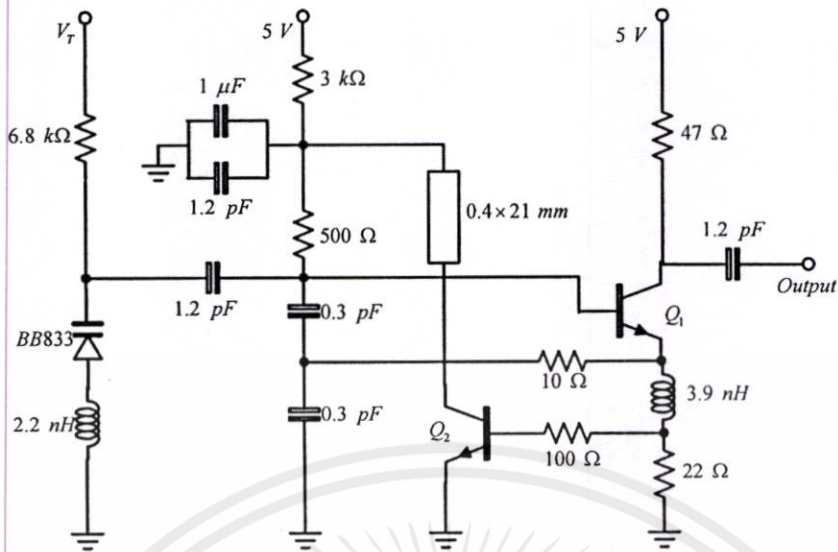
ฮาร์โมนิก	ความถี่ (เมกกะเฮิร์ตซ์)	กำลังงานเอาต์พุต (dBm)
1	393.2	10.87
2	786.4	6.05
3	1.18	-3.65
4	1.57	-4.72
5	1.96	-6.29
6	2.35	-9.64
7	2.75	-4.78
8	3.14	-10.16
9	3.53	-6.22



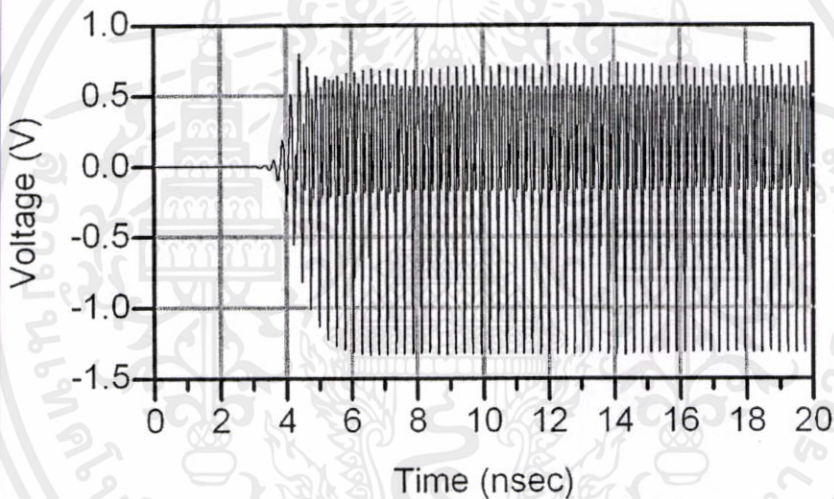
รูปที่ 4.16 ผลจำลองการทำงานเฟสnoiseของวงจรออสซิลเลเตอร์ที่ความถี่ 393.5 เมกกะเฮิร์ตซ์

ระดับสัญญาณรบกวนทางเฟสที่ความถี่ออฟเซตจากสัญญาณเอาต์พุต จากผลการทดลองพบว่า ผลจำลองการทำงานเฟสnoiseของวงจรออสซิลเลเตอร์ที่ความถี่ 393.5 เมกกะเฮิร์ตซ์ มีค่า -139 dBc/Hz, -143 dBc/Hz, -157 dBc/Hz ที่ความถี่ออฟเซต 10 kHz, 100 kHz, 1MHz ดังรูปที่ 4.16

เอกสารนี้เป็นเอกสารที่สงวนไว้สำหรับการใช้งานเพื่อการศึกษาเท่านั้น ไม่อนุญาตให้นำไปใช้ประโยชน์ด้านการค้า ไม่ว่าจะกรณีใดๆทั้งสิ้น อีกทั้งห้ามมิให้ดัดแปลงเนื้อหา และต้องอ้างอิงถึงเจ้าของเอกสารทุกครั้งที่มีการนำไปใช้



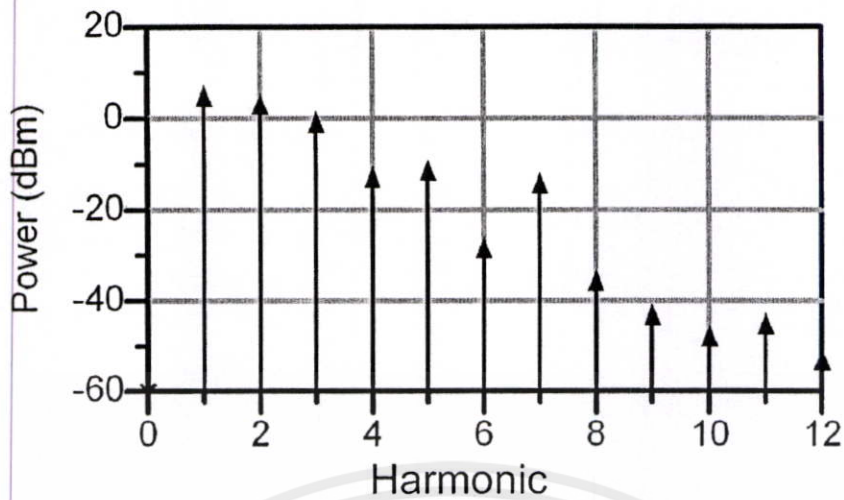
รูปที่ 4.17 วงจรออสซิลเลเตอร์ความถี่ 3.83 กิกะเฮิรตซ์



รูปที่ 4.18 ผลจำลองการทำงานของวงจรออสซิลเลเตอร์ใน โดเมนเวลาที่ความถี่ 3.83 กิกะเฮิรตซ์

วิธีการออกแบบวงจรออสซิลเลเตอร์ความถี่ 3.83 กิกะเฮิรตซ์ ดังรูปที่ 4.17 ได้กล่าวมาข้างต้นแล้ว ดังนั้น ผลการจำลองแบบการทำงานแสดงได้ดังรูปที่ 4.18 โดยแสดงการเริ่มต้นของการออสซิลเลตของวงจร จากกราฟสามารถบอกได้ว่าวงจรสามารถเกิดการออสซิลเลตได้ จากรูปที่ 4.19 จำลองการทำงานในโดเมนความถี่ กำลังงานที่ได้จากการจำลองการทำงานในฮาร์โมนิกที่ 1 มีค่าเท่ากับ 6.555 dBm กำลังงานที่ฮาร์โมนิกที่ 2 มีค่าเท่ากับ 4.75dBm ฮาร์โมนิกอื่นๆ ดูได้จากตารางที่ 4.2

เอกสารนี้เป็นเอกสารที่สงวนไว้สำหรับการใช้งานเพื่อการศึกษาเท่านั้น ไม่อนุญาตให้นำไปใช้ประโยชน์ด้านการค้า ไม่ว่าจะกรณีใดๆ ทั้งสิ้น อีกทั้งห้ามมิให้คัดแปลงเนื้อหา และต้องอ้างอิงถึงเจ้าของเอกสารทุกครั้งที่มีการนำไปใช้



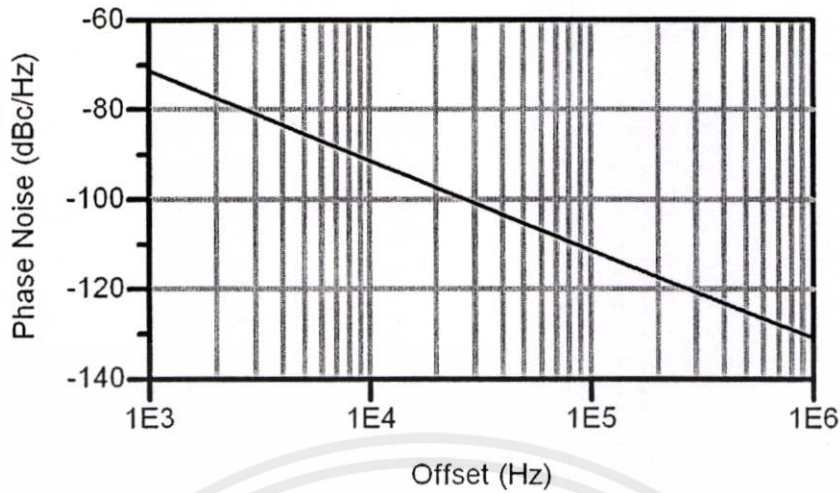
รูปที่ 4.19 ผลจำลองการทำงานของวงจรรอซซิลเลเตอร์ใน โดเมนความถี่ที่ความถี่ 3.83 กิกะเฮิร์ตซ์

ตารางที่ 4.2 ผลจำลองการทำงานของวงจรรอซซิลเลเตอร์ที่ความถี่ 3.83 กิกะเฮิร์ตซ์

ฮาร์โมนิก	ความถี่ (กิกะเฮิร์ตซ์)	กำลังงานเอาต์พุต (dBm)
1	3.86	6.55
2	7.73	4.75
3	11.61	0.75
4	15.48	-11.17
5	19.35	-9.75
6	23.22	-26.82
7	27.09	-12.61
8	30.96	-34.07
9	34.83	-41.55

ระดับสัญญาณรบกวนทางเฟสที่ความถี่ออฟเซตจากสัญญาณเอาต์พุต จากผลการทดลองพบว่า ผลจำลองการทำงานเฟสของวงจรรอซซิลเลเตอร์ที่ความถี่ 3.83 กิกะเฮิร์ตซ์ มีค่า -90 dBc/Hz, -111 dBc/Hz, -129 dBc/Hz ที่ความถี่ออฟเซต 10 kHz, 100 kHz, 1MHz ดังรูปที่ 4.20

เอกสารนี้เป็นเอกสารที่สงวนไว้สำหรับการใช้งานเพื่อการศึกษาเท่านั้น ไม่อนุญาตให้นำไปใช้ประโยชน์ด้านการค้า ไม่ว่าจะกรณีใดๆทั้งสิ้น อีกทั้งห้ามมิให้ดัดแปลงเนื้อหา และต้องอ้างอิงถึงเจ้าของเอกสารทุกครั้งที่มีการนำไปใช้

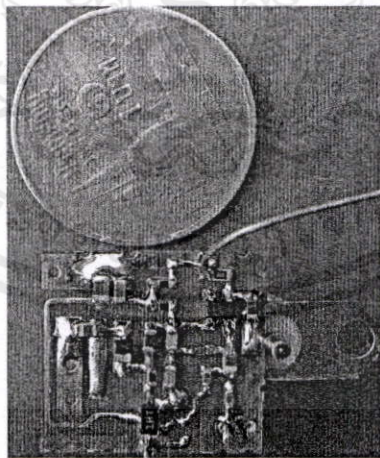


รูปที่ 4.20 ผลจำลองการทำงานเฟสnoiseของวงจรรอสซิลเลเตอร์ที่ความถี่ 3.83 กิกะเฮิรตซ์

#### 4.8 ผลการทดลอง

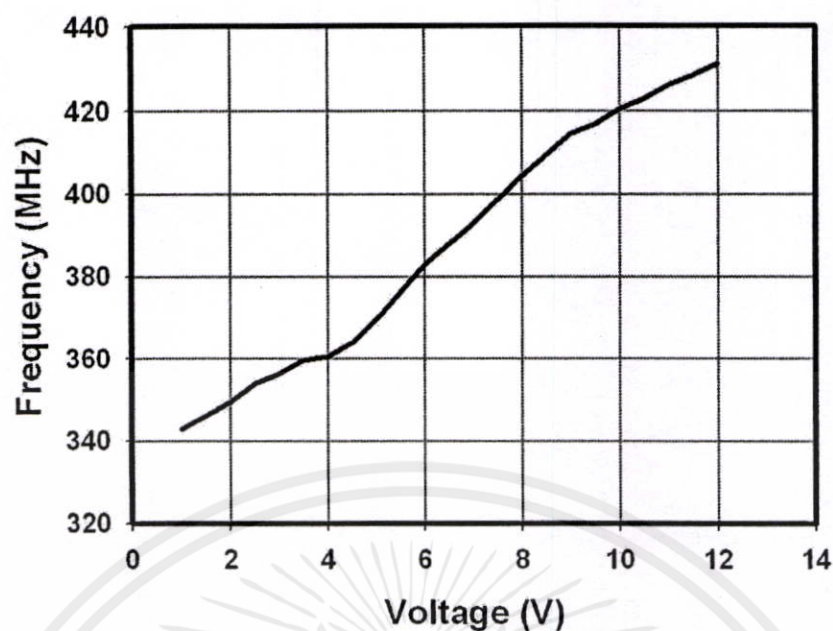
##### 4.8.1 วงจรรอสซิลเลเตอร์ย่านความถี่ 393.5 เมกกะเฮิรตซ์

ทำการทดลองวัดผลการตอบสนองของวงจรรอสซิลเลเตอร์ในรูปที่ 4.21 ด้วยสเปกตรัมอนาไลเซอร์ โดยความสัมพันธ์ระหว่างความถี่ของวงจรรอสซิลเลเตอร์เทียบกับแรงดันไฟฟ้าที่ให้วแรกเตอร์ไดโอดแสดงดังในรูปที่ 4.22 จะเห็นว่าเมื่อป้อนแรงดันไฟฟ้าวงจรรอสซิลเลเตอร์ในช่วง 0-12 V ให้กับวแรกเตอร์ไดโอดวงจรรอสซิลเลเตอร์ โดยกำเนิดสัญญาณที่ความถี่ตั้งแต่ 343 เมกกะเฮิรตซ์ จนถึง 432 เมกกะเฮิรตซ์ โดยมีค่า  $K_{VCO}$  เล็กน้อยเท่ากับ 8.18 MHz/V

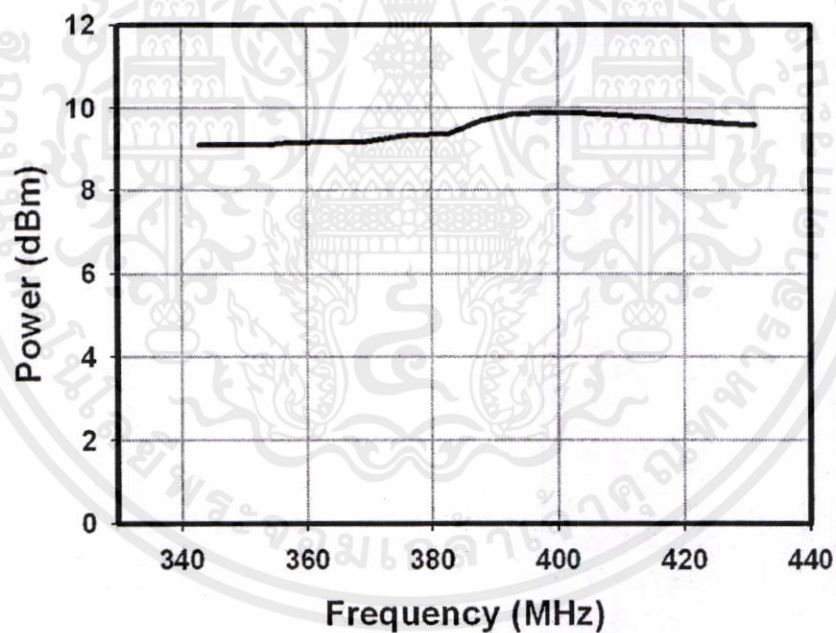


รูปที่ 4.21 วงจรรอสซิลเลเตอร์ย่านความถี่ 393.5 เมกกะเฮิรตซ์

เอกสารนี้เป็นเอกสารที่สงวนไว้สำหรับการใช้งานเพื่อการศึกษาเท่านั้น ไม่อนุญาตให้นำไปใช้ประโยชน์ด้านการค้า  
ไม่ว่ากรณีใดๆทั้งสิ้น อีกทั้งห้ามมิให้ดัดแปลงเนื้อหา และต้องอ้างอิงถึงเจ้าของเอกสารทุกครั้งที่มีการนำไปใช้



รูปที่ 4.22 ผลการวัดระหว่างแรงดันควบคุมกับความถี่ของวงจรรอสซิดเลเตอร์ย่านความถี่ 393.5 เมกกะเฮิรตซ์



รูปที่ 4.23 ผลการวัดระหว่างกำลังงานกับความถี่ของวงจรรอสซิดเลเตอร์ย่านความถี่ 393.5 เมกกะเฮิรตซ์

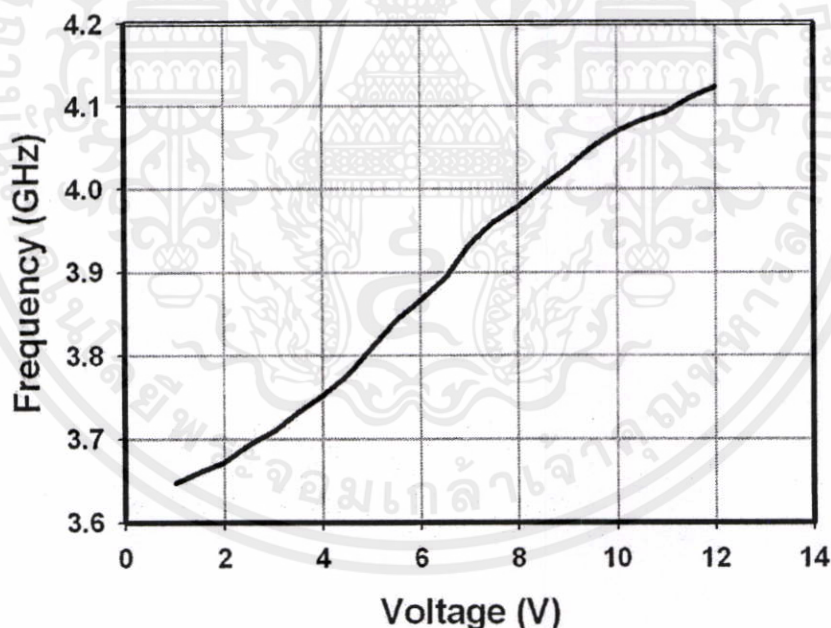
ผลการวัดระหว่างกำลังงานกับความถี่ของวงจรรอสซิดเลเตอร์ย่านความถี่ 393.5 เมกกะเฮิรตซ์ พบว่า กำลังงานเอาต์พุตมีค่า  $9 \pm 1$  dBm ความถี่มีการเปลี่ยนแปลงตั้งแต่ 343 เมกกะเฮิรตซ์ จนถึง 432 เมกกะเฮิรตซ์ ดังรูปที่ 4.23

#### 4.9.2 วงจรออสซิลเลเตอร์ย่านความถี่ 3.83 กิกะเฮิรตซ์

ทำการทดลองวัดผลการตอบสนองของวงจรออสซิลเลเตอร์ในรูปที่ 4.24 ด้วยสเปกตรัมอานาไลเซอร์ โดยความสัมพันธ์ระหว่างความถี่ของวงจรออสซิลเลเตอร์เทียบกับแรงดันไฟฟ้าที่ให้อาแรงเตอร์ไดโอดแสดงดังในรูปที่ 4.25 จะเห็นว่าเมื่อป้อนแรงดันไฟฟ้าวงจรรออสซิลเลเตอร์ในช่วง 0-12 V ให้กับวาแรงเตอร์ไดโอดวงจรออสซิลเลเตอร์ โดยกำเนิดสัญญาณที่มีความถี่ตั้งแต่ 3.65 กิกะเฮิรตซ์ จนถึง 4.12 กิกะเฮิรตซ์ โดยมีค่า  $K_{VCO}$  เฉลี่ยเท่ากับ 42.7 MHz/V

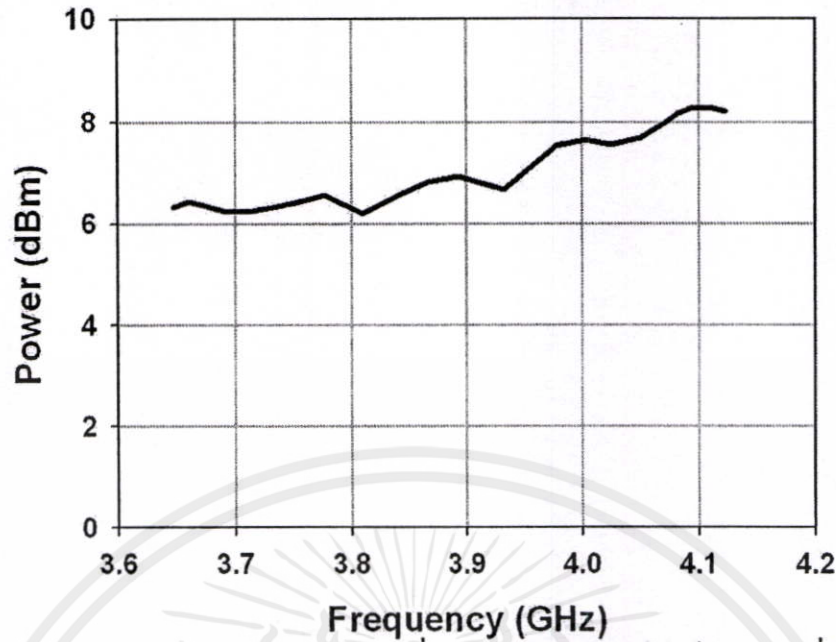


รูปที่ 4.24 วงจรออสซิลเลเตอร์ย่านความถี่ 3.83 กิกะเฮิรตซ์



รูปที่ 4.25 ผลการวัดระหว่างแรงดันควบคุมกับความถี่ของวงจรออสซิลเลเตอร์ย่านความถี่ 3.83 กิกะเฮิรตซ์

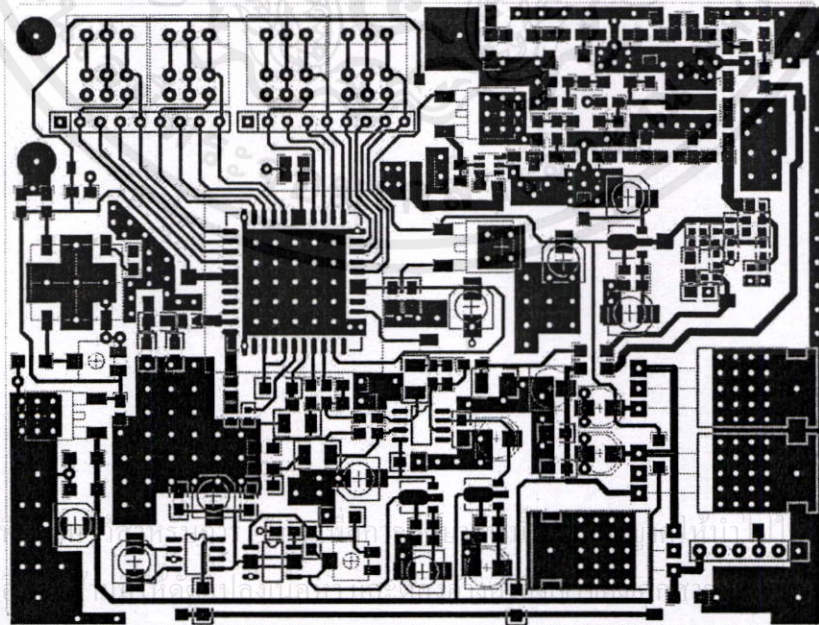
เอกสารนี้เป็นเอกสารที่สงวนไว้สำหรับการใช้งานเพื่อการศึกษาเท่านั้น ไม่อนุญาตให้นำไปใช้ประโยชน์ด้านการค้า  
 ผลการวัดระหว่างกำลังงานกับความถี่ของวงจรออสซิลเลเตอร์ย่านความถี่ 3.83 กิกะเฮิรตซ์  
 พบว่า กำลังงานเอาต์พุตมีค่า  $7 \pm 1.5$  dB<sub>m</sub> ความถี่มีการเปลี่ยนแปลงตั้งแต่ 3.65 กิกะเฮิรตซ์ จนถึง  
 4.12 กิกะเฮิรตซ์ ดังรูปที่ 4.26



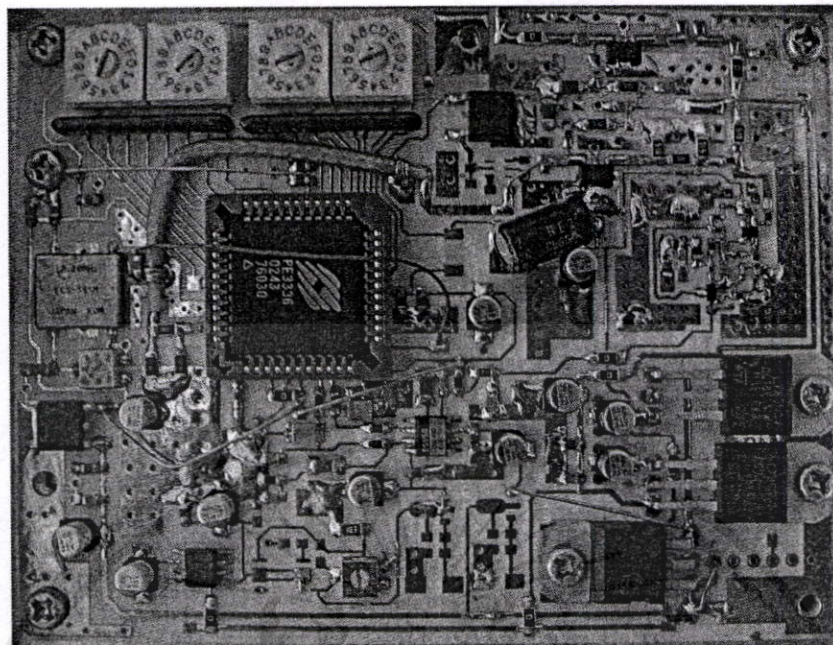
รูปที่ 4.26 ผลการวัดระหว่างกำลังงานกับความถี่ของวงจรรอสซิลเลเตอร์ย่านความถี่ 3.83 กิกะเฮิรตซ์

#### 4.9.3 วงจรสังเคราะห์ความถี่ย่าน 393.5 เมกกะเฮิรตซ์

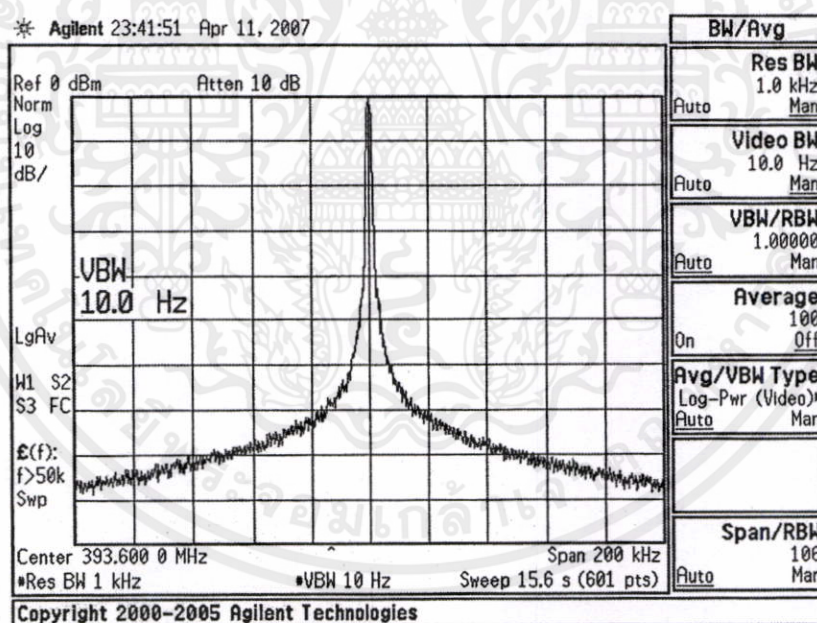
วงจรรสังเคราะห์ความถี่ระบบเฟสล็อกูปที่ออกแบบได้ถูกสร้างขึ้นบนวัสดุฐานรองชนิด Roger ซึ่งมีค่าคงตัวไดอิเล็กตริกสัมพัทธ์ ( $\epsilon_r$ ) เท่ากับ 3.48 ความหนาของแผ่นไดอิเล็กตริก ( $h$ ) เท่ากับ 0.762 mm และมีความหนาของแผ่นตัวนำเคลือบผิว ( $t$ ) ซึ่งทำจากทองแดงเท่ากับ  $35 \mu\text{m}$  วงจรรสังเคราะห์ความถี่ระบบเฟสล็อกูปที่ออกแบบและสร้างขึ้น แสดงไว้ในรูปที่ 4.27 กับ 4.28



รูปที่ 4.27 ลายวงจรรสังเคราะห์ความถี่ย่าน 393.5 เมกกะเฮิรตซ์



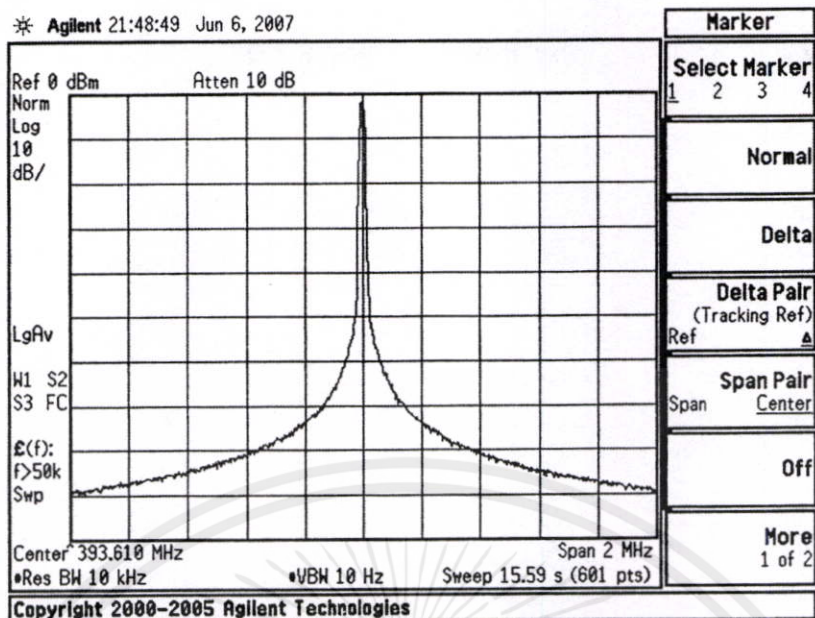
รูปที่ 4.28 วงจรสังเคราะห์ความถี่ย่าน 393.5 เมกะเฮิร์ตซ์



รูปที่ 4.29 ผลการวัดวงจรสังเคราะห์ความถี่ย่าน 393.5 เมกะเฮิร์ตซ์ มี Phase Noise = -116 dBc/Hz

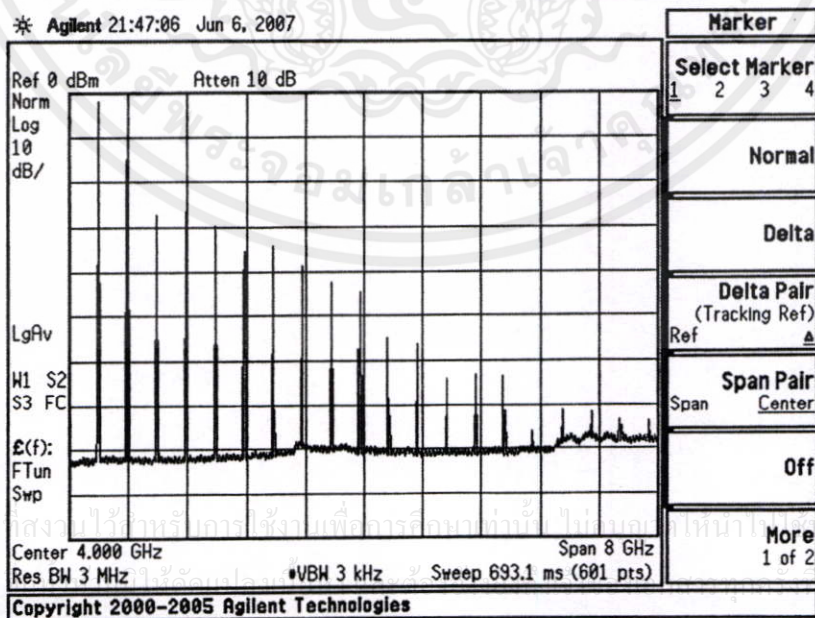
@ 100 kHz offset

เอกสารนี้เป็นเอกสารที่สงวนไว้สำหรับการใช้งานเพื่อการศึกษาเท่านั้น ไม่อนุญาตให้นำไปใช้ประโยชน์ด้านการค้า  
ไม่ว่ากรณีใดๆทั้งสิ้น อีกทั้งห้ามมิให้ดัดแปลงเนื้อหา และต้องอ้างอิงถึงเจ้าของเอกสารทุกครั้งที่มีการนำไปใช้



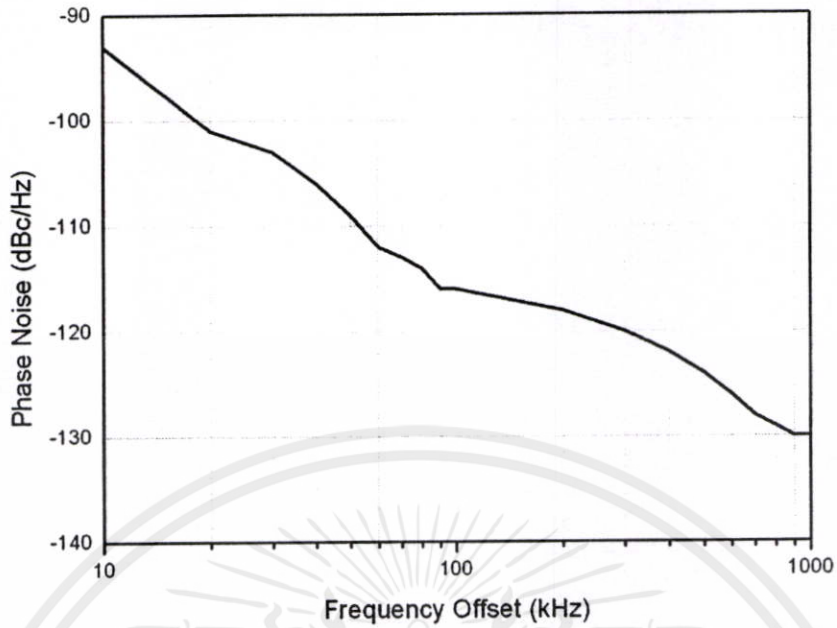
รูปที่ 4.30 ผลการวัดวงจรสังเคราะห์ความถี่ย่าน 393.5 เมกกะเฮิร์ตซ์ มี Phase Noise = -130 dBc/Hz @ 1 MHz offset

รูปที่ 4.29-4.30 และรูปที่ 4.32 แสดงระดับสัญญาณรบกวนทางเฟสที่ความถี่ออฟเซตจากสัญญาณเอาต์พุตค่าต่างๆของวงจรสังเคราะห์ความถี่ระบบเฟสล็อกกลูป จากผลการทดลองพบว่าที่ความถี่เอาต์พุต 393.6 เมกกะเฮิร์ตซ์ วงจรมีระดับสัญญาณรบกวนทางเฟสเท่ากับ -93 dBc/Hz -116 dBc/Hz และ -130dBc/Hz ที่ความถี่ออฟเซตจากสัญญาณเอาต์พุตเท่ากับ 10 kHz 100 kHz และ 1 MHz ตามลำดับ จากรูปที่ 4.31 จะเห็นได้ว่าความถี่หลักมูลเท่ากับ 393.6 เมกกะเฮิร์ตซ์ มีความถี่ฮาร์โมนิกลำดับที่ 2 ลำดับที่ 3 ไปเรื่อยๆ ซึ่งระดับกำลังงานมีค่าลดลงตามลำดับ



รูปที่ 4.31 ผลการวัดวงจรสังเคราะห์ความถี่ย่าน 393.5 เมกกะเฮิร์ตซ์

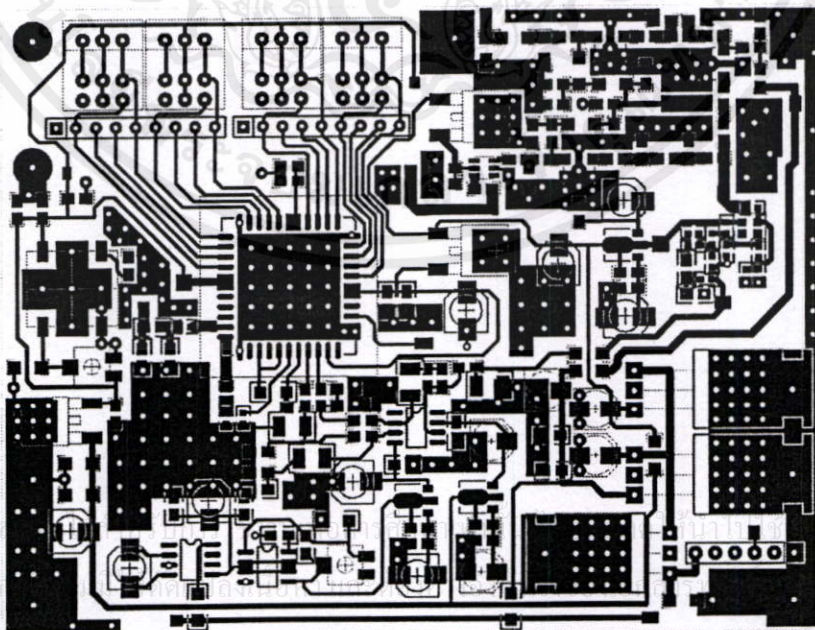
เอกสารนี้เป็นเอกสารสงวนไว้สำหรับการใช้งานเพื่อการศึกษาเท่านั้น ไม่สามารถนำออกจำหน่ายหรือใช้ประโยชน์ด้านการค้า การบริการ หรือการนำไปใช้



รูปที่ 4.32 ผลการวัดเฟสnoiseของวงจรสังเคราะห์ความถี่ย่าน 393.5 เมกะเฮิรตซ์

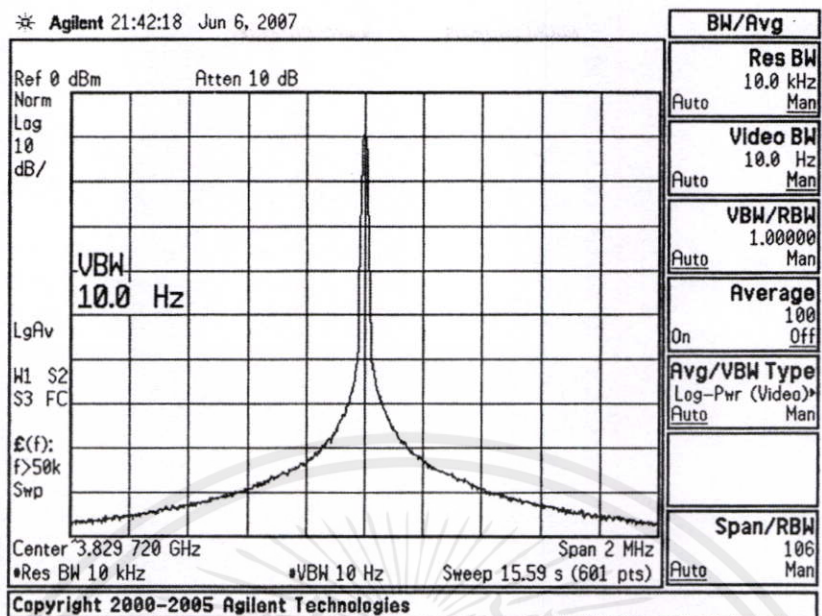
#### 4.9.4 วงจรสังเคราะห์ความถี่ย่าน 3.83 กิกะเฮิรตซ์

วงจรสังเคราะห์ความถี่ระบบเฟสล็อกที่ออกแบบได้ถูกสร้างขึ้นบนวัสดุฐานรองชนิด FR-4 ซึ่งมีค่าคงตัวไดอิเล็กตริกสัมพัทธ์ ( $\epsilon_r$ ) เท่ากับ 4.4 ความหนาของแผ่นไดอิเล็กตริก ( $h$ ) เท่ากับ 0.762 mm และมีความหนาของแผ่นตัวนำเคลือบผิว ( $t$ ) ซึ่งทำจากทองแดงเท่ากับ  $18 \mu\text{m}$  วงจรสังเคราะห์ความถี่ระบบเฟสล็อกที่ออกแบบและสร้างขึ้น แสดงไว้ในรูปที่ 4.33 กับ 4.34



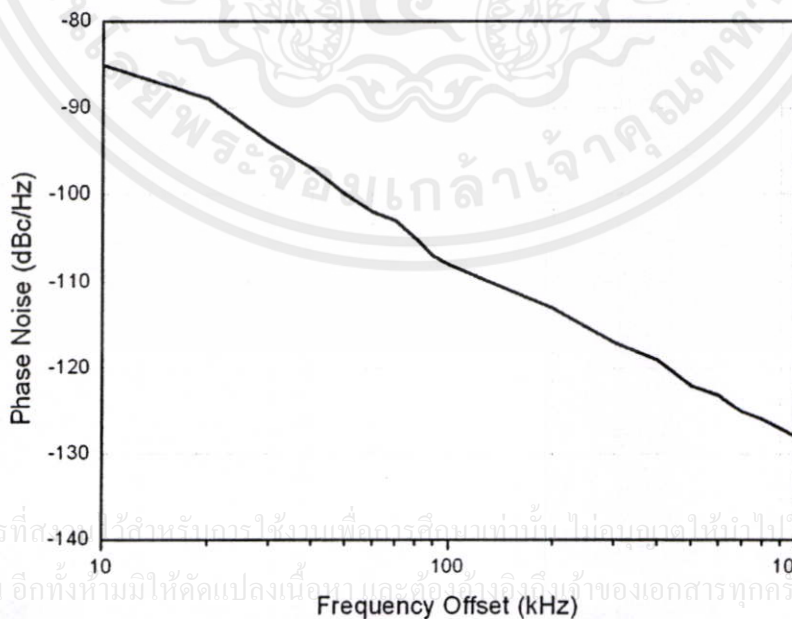
รูปที่ 4.33 ลายวงจรพิมพ์สังเคราะห์ความถี่ย่าน 3.83 กิกะเฮิรตซ์





รูปที่ 4.36 ผลการวัดวงจรสังเคราะห์ความถี่ย่าน 3.83 กิกะเฮิร์ตซ์ มี Phase Noise = -128 dBc/Hz @ 1 MHz offset

รูปที่ 4.35-4.37 แสดงระดับสัญญาณรบกวนทางเฟสที่ความถี่ออฟเซตจากสัญญาณเอาต์พุตค่าต่างๆของวงจรสังเคราะห์ความถี่ระบบเฟสล็อกดูป จากผลการทดลองพบว่าที่ความถี่เอาต์พุต 3.83 กิกะเฮิร์ตซ์ วงจรมีระดับสัญญาณรบกวนทางเฟสเท่ากับ -85 dBc/Hz -108 dBc/Hz และ -128 dBc/Hz ที่ความถี่ออฟเซตจากสัญญาณเอาต์พุตเท่ากับ 10 kHz 100 kHz และ 1 MHz ตามลำดับ



เอกสารนี้เป็นเอกสารที่สงวนลิขสิทธิ์ไว้สำหรับอาจารย์และบุคลากรที่สอนเท่านั้น ไม่อนุญาตให้นำไปใช้ประโยชน์ด้านการค้า ไม่ว่ากรณีใดๆทั้งสิ้น อีกทั้งห้ามมิให้ตัดแปลงเนื้อหา และต้องแจ้งถึงเจ้าของเอกสารทุกครั้งที่มีการนำไปใช้

รูปที่ 4.37 ผลการวัดเฟสของสัญญาณสังเคราะห์ความถี่ย่าน 3.83 กิกะเฮิร์ตซ์

## 4.9 สรุป

ในบทที่ 4 ของวิทยานิพนธ์นี้ได้ทำการออกแบบและสร้างวงจรสังเคราะห์ความถี่ระบบเฟสล็อกคูลูปขึ้น โดยประกอบด้วยวงจรหลักภายใน 2 ส่วน คือ วงจรออสซิลเลเตอร์ปรับความถี่ได้ด้วยแรงดันไฟฟ้า และวงจรเฟสล็อกคูลูป วงจรสังเคราะห์ความถี่ที่สร้างขึ้นสรุปคุณสมบัติได้ดังตารางที่ 4.3

ตารางที่ 4.3 ผลการวัดวงจรสังเคราะห์ความถี่ย่าน 393.5 เมกกะเฮิร์ตซ์ และ 3.83 กิกะเฮิร์ตซ์

	ความถี่ใช้งาน	
	393.5 MHz	3.83 GHz
กำลังงานเอาต์พุต (dBm)	19	10
เฟสจอยต์ @ 10 kHz	-93 dBc/Hz	-85 dBc/Hz
เฟสจอยต์ @ 100 kHz	-116 dBc/Hz	-108 dBc/Hz
เฟสจอยต์ @ 1 MHz	-130 dB/Hz	-128 dBc/Hz
ไฟเลี้ยง (V)	12	12
กระแส (mA)	350	350

เอกสารนี้เป็นเอกสารที่สงวนไว้สำหรับการใช้งานเพื่อการศึกษาเท่านั้น ไม่อนุญาตให้นำไปใช้ประโยชน์ด้านการค้า ไม่ว่าจะกรณีใดๆทั้งสิ้น อีกทั้งห้ามมิให้ดัดแปลงเนื้อหา และต้องอ้างอิงถึงเจ้าของเอกสารทุกครั้งที่มีการนำไปใช้

## บทที่ 5

### วงจรมิกเซอร์

#### 5.1 บทนำ

วงจรมิกเซอร์เป็นวงจรที่สำคัญวงจรหนึ่งในระบบสื่อสาร โดยทำการแปลงความถี่สัญญาณวิทยุลงมาที่สัญญาณความถี่กลางหรือที่สัญญาณเบสแบนด์ ในส่วนของภาครับโดยทั่วไปต้องการวงจรมิกเซอร์ ที่มีค่าการสูญเสียแปลงผัน (conversion loss) ต่ำ มีความเป็นเชิงเส้นสูงและต้องการค่าไอโซเลชันที่ดี ซึ่งโครงสร้างของมิกเซอร์แบบดับเบิลบาลานซ์ไดโอดมิกเซอร์มีค่าไอโซเลชันระหว่างพอร์ตและค่าความเป็นเชิงเส้นที่ดีเมื่อเทียบกับ โครงสร้างแบบซิงเกิลบาลานซ์ เนื่องจากโครงสร้างแบบบาลานซ์จะกำจัดฮาร์โมนิก ลำดับคู่ของทั้งสัญญาณความถี่วิทยุและสัญญาณโลกอล ทำให้วงจรมิกเซอร์ไม่ต้องใช้วงจรกรองความถี่ต่ำผ่านเพื่อแยกพอร์ตความถี่กลางออกจากสัญญาณความถี่วิทยุและสัญญาณโลกอล นอกจากนี้เมื่อเทียบกับวงจรมิกเซอร์แบบซิงเกิลบาลานซ์แล้ววงจรมิกเซอร์แบบดับเบิลบาลานซ์มีค่าแบนด์วิดท์ที่กว้างกว่ามาก การออกแบบวงจรมิกเซอร์สามารถใช้ได้ทั้งอุปกรณ์แอกทีฟและอุปกรณ์พาสซีฟ อุปกรณ์แอกทีฟเช่น ทรานซิสเตอร์หรือเฟต จะมีข้อดีที่สามารถขยายสัญญาณไปในตัวด้วยแต่วงจรมิกเซอร์แบบพาสซีฟที่ใช้ไดโอดสัญญาณเอาต์พุตจริงที่ได้จากวงจรมิกเซอร์จะเป็นความถี่แบบครอสโปรดัคต์ ซึ่งจะมีค่าความสูญเสียสุทธิต่อสัญญาณหรือที่เรียกว่าความสูญเสียแปลงผัน เกิดการเปลี่ยนแปลงความถี่และในขณะเดียวกันแอมพลิจูดของสัญญาณความถี่กลางก็จะต่ำกว่าสัญญาณความถี่วิทยุ

#### 5.2 ทฤษฎีไดโอดมิกเซอร์

การแปลงความถี่ของวงจรมิกเซอร์จะใช้อุปกรณ์ที่ไม่เป็นเชิงเส้นในวงจรที่เปลี่ยนแปลงตามเวลา ซึ่งกระบวนการวิเคราะห์ห้วงจรที่ไม่เป็นเชิงเส้นทำได้ยากมาก พิจารณาความนำที่เปลี่ยนแปลงตามเวลาเป็นสัญญาณ  $g(t)$

$$g(t) = G_0 + G_1 \cos(\omega_p t) \quad (5.1)$$

โดยที่ค่าองค์ประกอบของความนำ  $G_0$  จะต้องมีค่ามากกว่า  $G_1$  เมื่อใส่แรงดัน  $v_s(t)$  เข้าไป โดยที่

เอกสารนี้เป็นเอกสารที่สงวนไว้สำหรับการใช้งานเพื่อการศึกษานี้ ไม่อนุญาตให้นำไปใช้ประโยชน์อื่นใด  
ไม่ว่ากรณีใดๆทั้งสิ้น อีกทั้งห้ามมิให้ตัดแปลงเนื้อหา และต้องอ้างอิงถึงเจ้าของเอกสารทุกครั้งที่มีการนำไปใช้

$$v_s(t) = V_s \cos(\omega_s t) \quad (5.2)$$

สามารถหาค่ากระแสได้ดังสมการ

$$i(t) = g(t)v_s(t) \quad (5.3)$$

$$= G_0 V_s \cos(\omega_s t) + \frac{G_1 V_s}{2} [\cos((\omega_s - \omega_p)t) + \cos((\omega_s + \omega_p)t)]$$

ซึ่งจะได้เทอมของความถี่ผลต่าง  $\omega_s - \omega_p$  และเทอมความถี่ผลบวก  $\omega_s + \omega_p$  ซึ่งปกติแล้วมักจะใช้เทอมความถี่ผลต่างเป็นเอาต์พุตของวงจรมิกเซอร์ แต่ในทางปฏิบัติแล้ว รูปคลื่นสัญญาณของความนำ จะไม่ใช่สัญญาณรูปคลื่นไซน์เพียงอย่างเดียว ดังนั้นในวงจรมิกเซอร์จะประกอบด้วยฮาร์โมนิกจำนวนมาก ดังนั้นสมการที่ (5.3) จะเขียนใหม่ได้เป็น

$$g(t) = G_0 + G_1 \cos(\omega_p t) + G_2 \cos(2\omega_p t) + G_3 \cos(3\omega_p t) + \dots \quad (5.4)$$

ซึ่งจะได้ผลการคูณระหว่างสัญญาณความถี่วิทยุและฮาร์โมนิกทั้งหมดของ  $\omega_p$  ดังนั้นผลของการคูณจะเป็น

$$\omega_n = |\omega_0 + n\omega_p| \quad (5.5)$$

### 5.3 ค่าการสูญเสียแปลงผัน

โดยทั่วไปค่าการสูญเสียแปลงผันมักจะอ้างอิงถึงค่าการสูญเสียแปลงผันแถบข้างเดียว (Single Sideband: SSB) สมมุติให้ไม่มีการสูญเสียและไม่มีผลที่เกิดจากอินเตอร์มอดูเลชัน สามารถคำนวณค่าการสูญเสียแปลงผันต่ำที่สุดในทางทฤษฎีได้ดังนี้

$$L_c = \frac{\text{RF input power}}{\text{IF output power}} \quad (5.6)$$

สำหรับวงจรมิกเซอร์ในอุดมคติ กระจายอนุกรมฟูรีเยร์สำหรับ  $n=1$  (ไม่มีผลจากอินเตอร์มอดูเลชัน) ได้ดังนี้

$$V_{out} = V_{RF} \sin(\omega_{RF}t) \frac{4}{\pi} \sin(\omega_{LO}t) \quad (5.7)$$

$$V_{out} = V_{RF} \cdot \frac{1}{2} \cdot \frac{4}{\pi} [\cos((\omega_{LO} - \omega_{RF})t) - \cos((\omega_{LO} + \omega_{RF})t)] \quad (5.8)$$

เอกสารนี้เป็นเอกสารที่สงวนไว้สำหรับเอกสารที่เผยแพร่โดยไม่ได้รับอนุญาต โดยหากมีการค้าไม่ว่ากรณีใดก็ตาม IF (ขนาดของสัญญาณที่ความถี่ที่ต้องการ) จะเป็นถึงเจ้าของเอกสารทุกครั้งที่มีการนำไปใช้

$$V_{IF} = V_{RF} \cdot \frac{1}{2} \cdot \frac{4}{\pi} \quad (5.9)$$

และค่าการสูญเสียแปลงผันจาก RF ไป IF จะมีค่าเป็น

$$L_C = 20 \log \frac{V_{RF}}{V_{IF}} = 20 \log \frac{\pi}{2} = 3.92 \text{ dB} \quad (5.10)$$

ค่าการสูญเสียแปลงผันของวงจรจริงจะรวมผลของการสูญเสียเนื่องจากความต้านทานภายในตัวไดโอด การสูญเสียเนื่องจากผลของการอินเตอร์มอดูเลชัน และการสูญเสียเนื่องจากการไม่แมตช์ที่ RF และ IF วงจรมิกเซอร์ที่ดีจะมีค่าการสูญเสียแปลงผัน 5 ถึง 8 dB [50]

#### 5.4 นอยส์ฟีกเกอร์

วงจรมิกเซอร์แบบพาสซีฟจะมีค่าอัตราขยายในสมการนอยส์ฟีกเกอร์เท่ากับ 1 ซึ่งทำให้ค่านอยส์ฟีกเกอร์มีค่าเท่ากับค่าการสูญเสียแปลงผันของวงจรมิกเซอร์

#### 5.5 ค่าไอโซเลชันระหว่างพอร์ต

ค่าไอโซเลชันระหว่างพอร์ตเป็นการวัดการรั่วของสัญญาณจากพอร์ตหนึ่งไปสู่อีกพอร์ตหนึ่ง สัญญาณที่มีกำลังงานมากที่สุดที่ปรากฏอยู่ในสเปกตรัมเอาต์พุตของวงจรมิกเซอร์คือสัญญาณ LO เนื่องจากต้องใช้เป็นตัวขับไดโอดให้ทำงาน ซึ่งมักจะมีค่ามากกว่าสัญญาณ RF มาก ซึ่งถ้าวงจรมิกเซอร์มีค่าไอโซเลชันไม่ดีก็จะทำให้สัญญาณ LO รั่วออกทางสายอากาศได้

ตารางที่ 5.1 ผลการเปรียบเทียบคุณสมบัติของวงจรมิกเซอร์ประเภทต่างๆ [51]

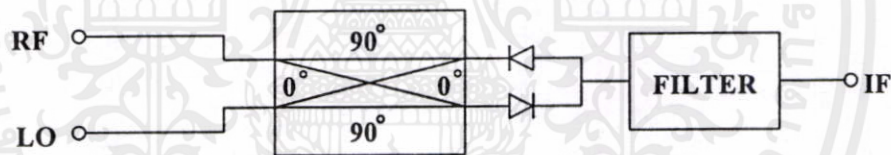
	ซิงเกิลไดโอด	ซิงเกิลบาลานซ์	ดับเบิลบาลานซ์
ความสูญเสียคอนเวอร์ชัน	ต่ำ	ปานกลาง	สูง
คุณสมบัติของสปีวเรส	ไม่มี	ปานกลาง	สูง
ไดนามิกเรนจ์	ต่ำ	ปานกลาง	สูง
ไอโซเลชัน	ไม่มี	ปานกลาง	สูง
กำลังงานที่รองรับได้	ต่ำ	ปานกลาง	สูง
ความซับซ้อน	ต่ำ	ปานกลาง	สูง
แบนด์วิดท์	แคบ	กว้าง	กว้าง

โดยทั่วไปวงจรมิกเซอร์จะแบ่งออกได้เป็น 2 ประเภทใหญ่ๆคือแบบซิงเกิลไดโอดมิกเซอร์ และอีกแบบหนึ่งที่นิยมใช้กันมากคือวงจรบาลานซ์มิกเซอร์ โดยวงจรบาลานซ์มิกเซอร์จะมีข้อ

ได้เปรียบกว่าคือมีค่าไอโซเลชันระหว่างพอร์ตและค่าความเป็นเชิงเส้นที่ดี สามารถลดทอนสัญญาณรบกวน และกำจัดคลื่นพาหะทิ้งไปได้ ทั้งยังสามารถรองรับกำลังงานที่สูงขึ้นได้ดีกว่า แต่ข้อจำกัดของวงจรแบบบาลานซ์มิกเซอร์คือมีความซับซ้อนมากกว่าและให้ค่าความสูญเสียแปลงผันที่ไม่ค่อยดีมากนัก ซึ่งในวงจรบาลานซ์มิกเซอร์ยังแบ่งประเภทย่อยๆ ได้อีก 2 ประเภทคือวงจรซิงเกิลบาลานซ์มิกเซอร์และวงจรดับเบิลบาลานซ์มิกเซอร์ ผลการเปรียบเทียบคุณสมบัติของวงจรมิกเซอร์ประเภทต่างๆ แสดงในตารางที่ 5.1 สำหรับวิทยานิพนธ์นี้นำเสนอการออกแบบวงจรซิงเกิลบาลานซ์มิกเซอร์โดยใช้ควอแดรเจอร์ไฮบริดคัปเปิลอร์แบบกรอบรานซ์ไลน์ (Branch Line Hybrid Coupler) ซึ่งโครงสร้างนี้สามารถจัดทำได้ง่าย และมีราคาถูก

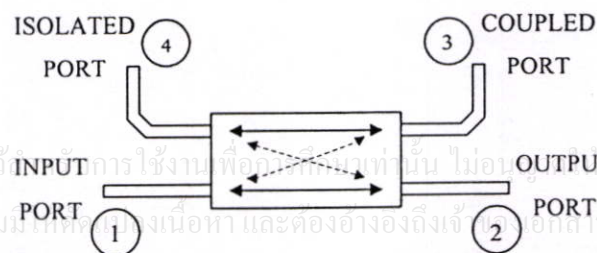
### 5.6 วงจรซิงเกิลบาลานซ์มิกเซอร์โดยใช้วงจรควอแดรเจอร์ไฮบริดคัปเปิลอร์

วงจรซิงเกิลบาลานซ์มิกเซอร์สามารถแบ่งออกได้อีก 2 รูปแบบตามชนิดของวงจรไฮบริด นั่นคือวงจรไฮบริด 180 องศาและวงจรไฮบริด 90 องศาหรือควอแดรเจอร์ไฮบริด ในวิทยานิพนธ์นี้นำเสนอการออกแบบวงจรมิกเซอร์โดยใช้ควอแดรเจอร์ไฮบริด โครงสร้างอย่างง่ายของวงจรมิกเซอร์แสดงในรูปที่ 5.1 ประกอบด้วยไดโอดมิกเซอร์ 2 ตัวเชื่อมต่อด้วยวงจรไฮบริด ดังแสดงในรูปที่ 5.1



รูปที่ 5.1 วงจรซิงเกิลบาลานซ์มิกเซอร์โดยใช้วงจรเชื่อมต่อไฮบริดชนิดควอแดรเจอร์

จากรูปที่ 5.1 จะเห็นได้ว่าไดโอดทั้ง 2 ตัวจะต่อเข้ากับพอร์ตแยก 2 พอร์ตส่วนสัญญาณความถี่วิทยุและสัญญาณโลกอลจะต่อเข้ากับพอร์ตที่เหลือ วงจรมิกเซอร์ดังกล่าวจะมีลักษณะที่สมดุลกัน ดังนั้นพอร์ตของสัญญาณความถี่วิทยุและสัญญาณโลกอลสามารถสลับกันได้โดยไม่มีผลต่อคุณสมบัติของวงจรมิกเซอร์



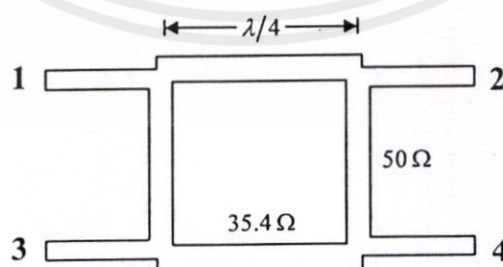
รูปที่ 5.2 วงจรคัปเปิลอร์แบบกรอบรานซ์ไลน์

เอกสารนี้เป็นเอกสารที่สงวนไว้สำหรับการใช้งานเพื่อการศึกษาเท่านั้น ไม่อนุญาตให้นำไปใช้ประโยชน์ด้านการค้า  
ไม่ว่ากรณีใดๆทั้งสิ้น อีกทั้งห้ามเผยแพร่เป็นงานเนื้อหาและต้องอ้างอิงถึงเจ้าออกสารทุกครั้งที่มีการนำไปใช้

ลักษณะการทำงานของวงจรไฮบริดเมื่อพิจารณาเฉพาะในส่วนของวงจรไฮบริดหากเราป้อนสัญญาณเข้าที่พอร์ตที่ 1 จะมีเพียงพอร์ตที่ 2 และ 3 เท่านั้นที่จะได้รับส่วนแบ่งของกำลังงานของสัญญาณที่ส่งออกมาจากพอร์ต 1 โดยจะได้รับกำลังงานพอร์ตละเท่าๆกัน ส่วนพอร์ตที่ 4 จะไม่ได้รับกำลังงานของสัญญาณเลย ในทางกลับกันหากเราป้อนสัญญาณเข้าที่พอร์ต 4 ก็จะมีเพียงแต่พอร์ต 2 และพอร์ต 3 เท่านั้นที่ได้รับกำลังงานเช่นเดิม และหากป้อนสัญญาณที่เท่ากันทุกประการก็จะทำให้ได้เอาต์พุตที่มีขนาดของสัญญาณเท่ากับขนาดของสัญญาณในกรณีแรก ยกเว้นเพียงแต่ว่าเฟสจะกลับกันเท่านั้น ส่วนพอร์ต 1 จะไม่ได้รับกำลังสัญญาณอะไรเลยเช่นเดียวกัน ในส่วนของวงจรมิกเซอร์ สัญญาณคลื่นความถี่วิทยุหรือสัญญาณอาร์เอฟจะเข้ามาที่พอร์ต 1 และสัญญาณโลคอลเข้ามาที่พอร์ต 4

### 5.7 การออกแบบและสร้างวงจรมิกเซอร์

โครงสร้างของวงจรเชิงเกิลบาลานซ์มิกเซอร์โดยใช้วงจรควอแดรเจอร์ไฮบริดคัปเปิลอร์แบบกรอบบรานซ์ไลน์ แสดงในรูปที่ 5.3 จะเห็นว่าโครงสร้างนี้มีขนาดของสตริปไม่เท่ากันซึ่งหมายถึงมีค่าแอดมิตแตนซ์ลักษณะไม่เท่ากันและมีความยาวเท่ากับ  $\lambda/4$  โครงสร้างในลักษณะนี้เป็นที่นิยมใช้มากกว่าวงจรไฮบริดชนิดคัปเปิลอร์ไลน์ เนื่องจากไม่จำเป็นต้องมีการเชื่อมต่อใดๆและไม่ต้องการความถูกต้องแม่นยำมากนัก และยังสามารถสร้างได้ง่ายและมีราคาถูก แต่ก็มีข้อจำกัดในการออกแบบบนไมโครสตริปที่ความถี่ต่ำ ในวงจรไฮบริดคัปเปิลอร์แบบบรานซ์ไลน์นี้การคัปปลิงเกิดขึ้นระหว่างสายส่ง 2 เส้นที่เชื่อมต่อเข้าด้วยกันเป็นช่วงๆ มีความยาวเท่ากับ  $\lambda/4$  และมีระยะห่างเท่ากับ  $\lambda/4$  สามารถเพิ่มแบนด์วิดท์ได้โดยใช้สายส่งหลายๆเส้นต่อกัน แต่ก็มีข้อจำกัดเนื่องจากอิมพีแดนซ์ของสายส่งไม่สามารถทำได้ในทางปฏิบัติ การออกแบบวงจรไฮบริดคัปเปิลอร์แบบกรอบบรานซ์ไลน์นี้สามารถทำได้หลายวิธี [52] การวิเคราะห์ของโหมคคูและโหมคคี่จะนำมาใช้ในการหาคุณลักษณะเบื้องต้นของวงจร [53] โดยค่าอิมพีแดนซ์ของวงจรคัปเปิลอร์แบบกรอบบรานซ์ไลน์สามารถสรุปได้ดังตารางที่ 5.2



รูปที่ 5.3 วงจรเชื่อมต่อไฮบริดโครงสร้างแบบกรอบบรานซ์ไลน์ที่มีการนำไปใช้

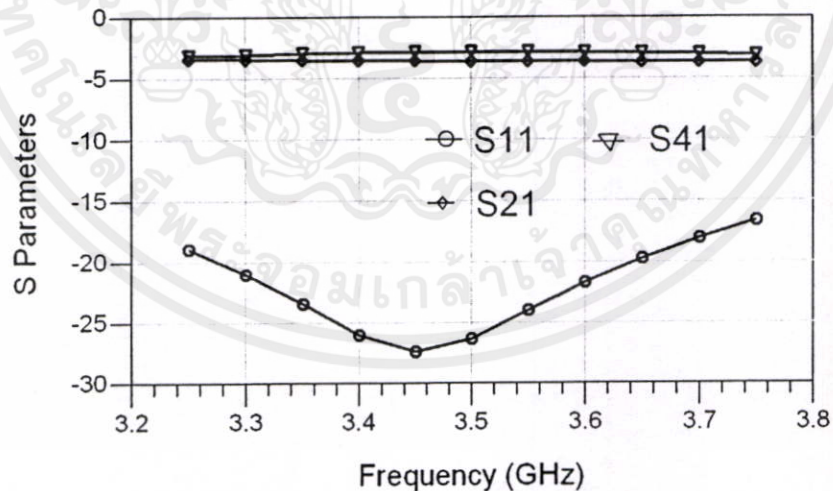
เอกสารนี้เป็นเอกสารที่สงวนไว้สำหรับการใช้งานเพื่อการศึกษาเท่านั้น ไม่อนุญาตให้นำไปใช้ประโยชน์ด้านการค้า

ไม่ว่ากรณีใดๆทั้งสิ้น อีกทั้งยังขอสงวนสิทธิ์ในสิ่งที่ปรากฏ

ตารางที่ 5.2 อิมพีแดนซ์ของสายส่งของวงจรไฮบริดคัปเปิลอร์แบบกรอบรานซ์ไลน์ 1 ชุด

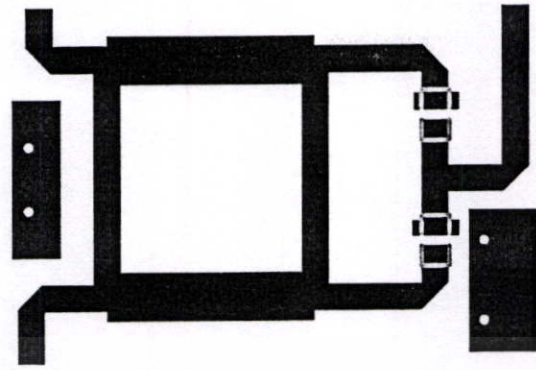
คัปปลิง (dB)	$Y_B$	$Y_A$	$Z_{Shunt} (\Omega)$	$Z_{Series} (\Omega)$
2	1.308	1.646	38.24	30.37
3	1.002	1.416	49.88	35.31
3.01	1.000	1.414	50	35.36
4	0.813	1.289	61.48	38.79
5	0.680	1.209	73.52	41.35
6	0.579	1.156	86.33	43.27
7	0.499	1.118	100.15	44.73
8	0.434	1.090	115.21	45.87
9	0.380	1.070	131.75	46.75
10	0.333	1.054	150.00	47.43

จากตารางที่ 5.2 เมื่อกำหนดค่าการคัปปลิงเท่ากับ 3.01 dB จะได้อิมพีแดนซ์ของสายที่ต่อแบบอนุกรมจะเท่ากับ  $35.4 \Omega$  และอิมพีแดนซ์ของสายที่ต่อแบบขนานเท่ากับ  $50 \Omega$  ผลตอบสนองทางแอมพลิจูด (amplitude response) จากการจำลองแบบการทำงานของวงจรคัปเปิลอร์แบบที่มีโครงสร้างแบบกรอบรานซ์ไลน์ที่ความถี่ 3.5 กิกะเฮิร์ตซ์ แสดงได้ดังรูปที่ 5.4



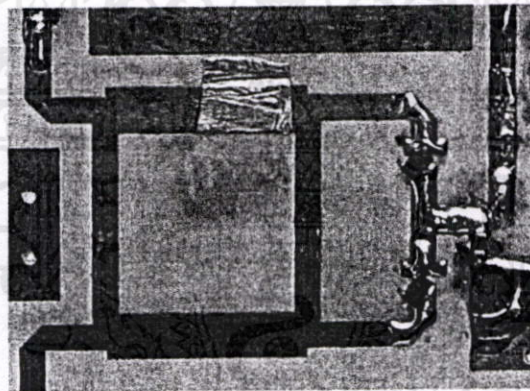
รูปที่ 5.4 ผลจำลองทางขนาด S-Parameters ของวงจรไฮบริดคัปเปิลอร์แบบ 90 องศา

เอกสารนี้เป็นเอกสารที่สงวนไว้สำหรับการใช้งานเพื่อการศึกษาเท่านั้น ไม่อนุญาตให้นำไปใช้ประโยชน์ด้านการค้า ไม่ว่าจะกรณีใดๆทั้งสิ้น อีกทั้งห้ามมิให้ตัดแปลงเนื้อหา และต้องอ้างอิงถึงเจ้าของเอกสารทุกครั้งที่มีการนำไปใช้



รูปที่ 5.5 ลายวงจรของวงจรมิกเซอร์

ลายวงจรและ รูปของมิกเซอร์ที่สร้างขึ้นดังแสดงในรูปที่ 5.5 และ รูปที่ 5.6 วงจรมิกเซอร์ใช้วัสดุฐานรองเป็น Glass-epoxy-ceramic composite RO4350 ของบริษัท Roger แบบสองหน้ามีค่าคงที่ทางไดอิเล็กตริกเท่ากับ 3.48 มีความหนาเท่ากับ 0.762 มิลลิเมตร และมีความหนาทองแดงเท่ากับ 0.017 มิลลิเมตร มีขนาด 30 X 35 มิลลิเมตร และ Schottky Diode เบอร์ HSMS 282C

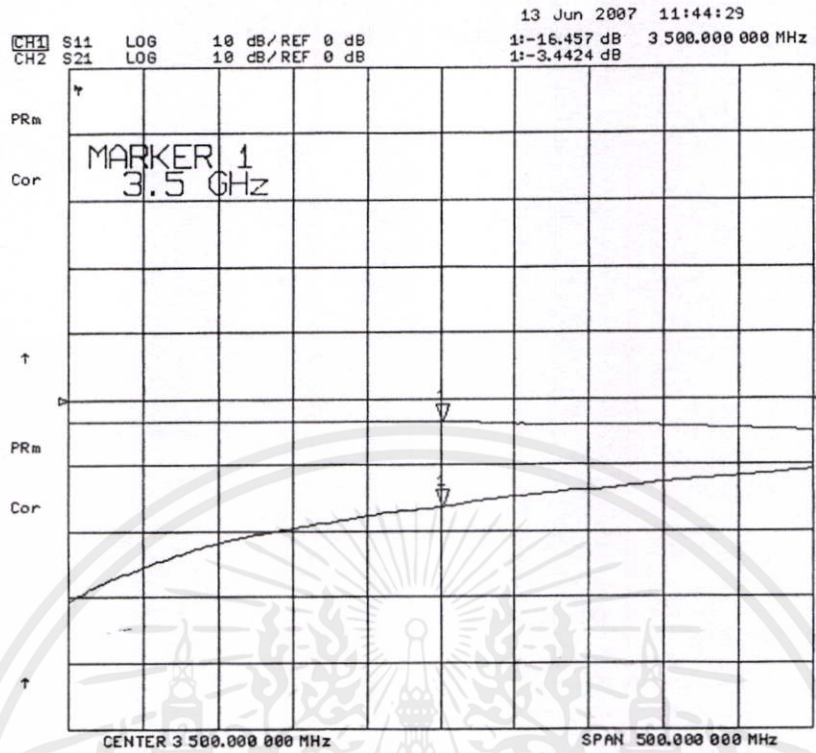


รูปที่ 5.6 วงจรมิกเซอร์ที่สร้างขึ้นจริง

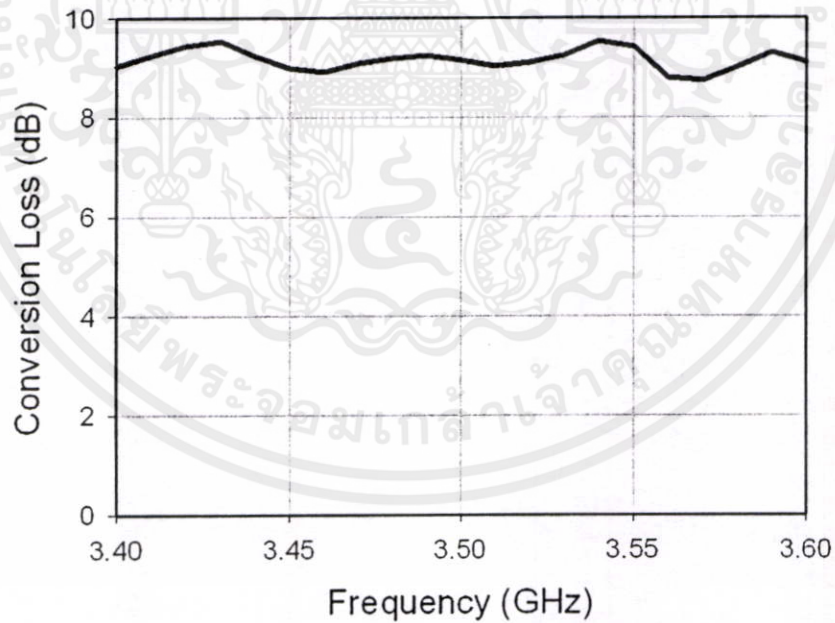
### 5.8 ผลการทดลองวงจรมิกเซอร์

เมื่อทำการวัดผลเฉพาะส่วนของวงจรไฮบริดคัปเปิลเลอร์แบบที่มีโครงสร้างแบบกรอบบรานซ์ไลน์จะได้ผลตอบสนองทางแอมพลิจูด แสดงดังรูปที่ 5.7 โดยมีค่า  $S_{21}$  เท่ากับ  $-3.4$  dB และค่า  $S_{11}$  เท่ากับ  $-16$  dB ที่ความถี่ 3.5 กิกะเฮิร์ตซ์

ผลการวัดค่าการสูญเสียแปลงผันของวงจรมิกเซอร์แสดงดังรูปที่ 5.8 โดยป้อนค่าความถี่ RF อินพุต ตั้งแต่ 3.4 ถึง 3.6 กิกะเฮิร์ตซ์ ด้วยขนาดสัญญาณ  $-10$  dBm และทำการปรับค่าความถี่โหลด ขนาดสัญญาณ  $+10$  dBm โดยความถี่โหลดเท่ากับ 3.83 กิกะเฮิร์ตซ์ เพื่อให้ได้ค่าความถี่ IF ที่ 380 เมกกะเฮิร์ตซ์ พบว่ามีค่าความสูญเสียแปลงผันประมาณ 9 dB ในย่านความถี่ที่ใช้งาน

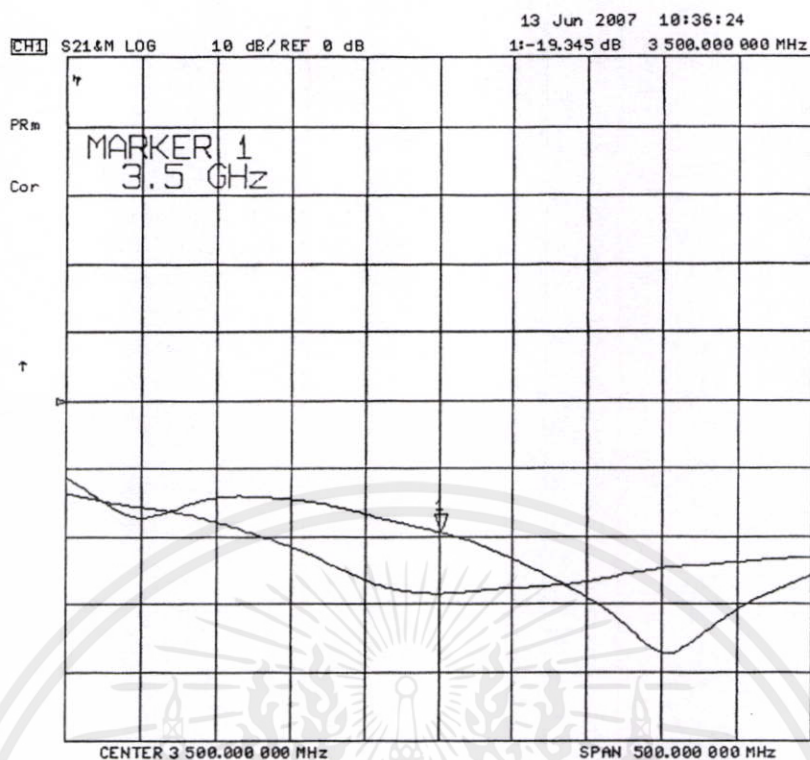


รูปที่ 5.7 ผลการวัด S-Parameters ของวงจรคัปเปอร์

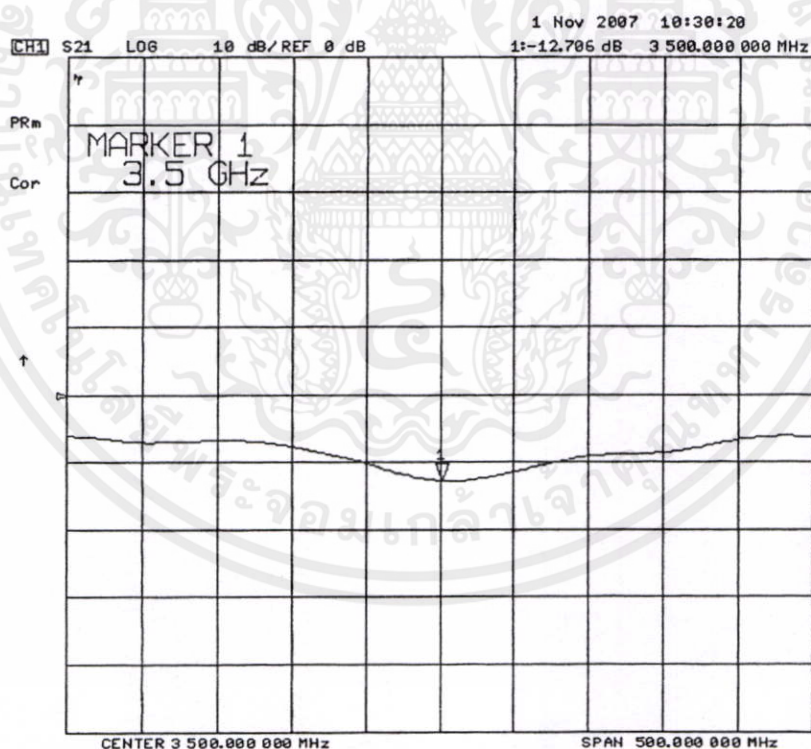


รูปที่ 5.8 ผลการวัดค่าความสูญเสียแปลงผันกับสัญญาณความถี่วิทยุที่ความถี่กลาง 380 เมกะเฮิร์ตซ์ ของวงจรมิกเซอร์

เอกสารนี้เป็นเอกสารที่สงวนไว้สำหรับการใช้งานเพื่อการศึกษาเท่านั้น ไม่อนุญาตให้นำไปใช้ประโยชน์ด้านการค้า ไม่ว่าจะกรณีใดๆทั้งสิ้น อีกทั้งห้ามมิให้ตัดแปลงเนื้อหา และต้องอ้างอิงถึงเจ้าของเอกสารทุกครั้งที่มีการนำไปใช้



รูปที่ 5.9 ผลการวัดไอโซเลชันระหว่างพอร์ต LO กับ IF และ RF กับ IF ความถี่ 3.5 กิกะเฮิร์ตซ์



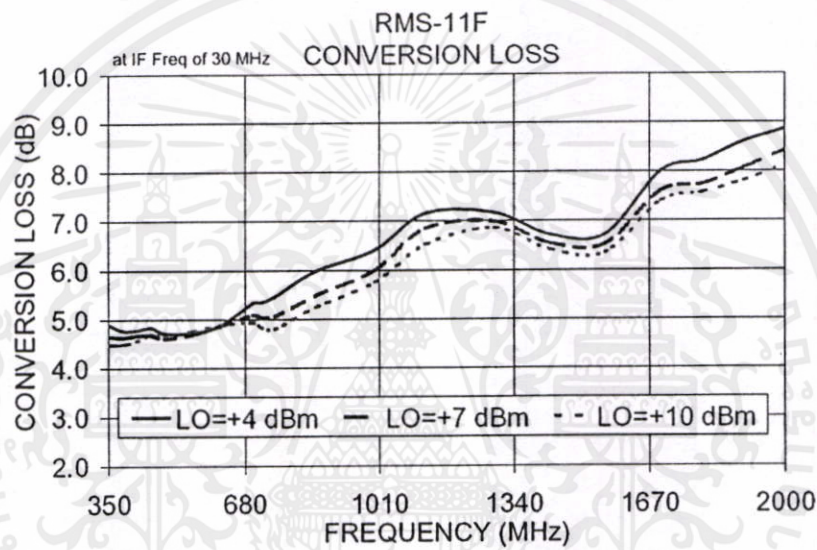
รูปที่ 5.10 ผลการวัดค่าไอโซเลชันระหว่างพอร์ต LO กับ RF ของวงจรมิกเซอร์ ความถี่ 3.5 กิกะ

เฮิร์ตซ์ เอกสารนี้ที่สงวนไว้สำหรับการใช้งานเพื่อการศึกษาเท่านั้น ไม่อนุญาตให้นำไปใช้ประโยชน์ด้านการค้า ไม่ว่าจะกรณีใดๆทั้งสิ้น อีกทั้งห้ามมิให้ตัดแปลงเนื้อหา และต้องอ้างอิงถึงเจ้าของเอกสารทุกครั้งที่มีการนำไปใช้

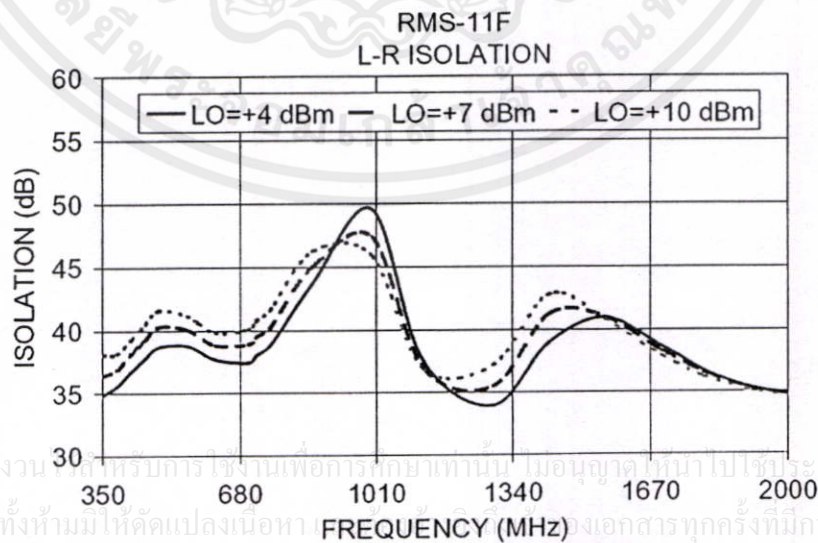
ผลการวัดค่าไอโซเลชันระหว่างพอร์ต LO กับ IF และ RF กับ IF ดังรูปที่ 5.9 พบว่าค่าไอโซเลชันของพอร์ต LO กับ IF -19 dB ที่ความถี่ 3.5 กิกะเฮิรตซ์ และ พอร์ต RF กับ IF -28 dB ที่ความถี่ 3.5 กิกะเฮิรตซ์

ผลการวัดค่าไอโซเลชันระหว่างพอร์ต LO กับ RF ของวงจรมิกเซอร์ ดังรูปที่ 5.10 มีค่า -12 dB ที่ความถี่ 3.5 กิกะเฮิรตซ์

ในส่วนของวงจรมิกเซอร์ความถี่ 380 เมกกะเฮิรตซ์ ได้ใช้วงจรมิกเซอร์สำเร็จรูปแบบ Double Balanced Diode Mixer ของบริษัท Mini - Circuits เบอร์ RMF - 11F แบบ Surface - Mount มีค่า Conversion Loss ประมาณ 5 dB<sub>m</sub> ค่าไอโซเลชันระหว่าง LO กับ RF มีค่าประมาณ -40 dB<sub>m</sub> ค่าไอโซเลชันระหว่าง LO กับ IF มีค่าประมาณ -20 dB<sub>m</sub> ดังรูปที่ 5.11-5.13 ตามลำดับ

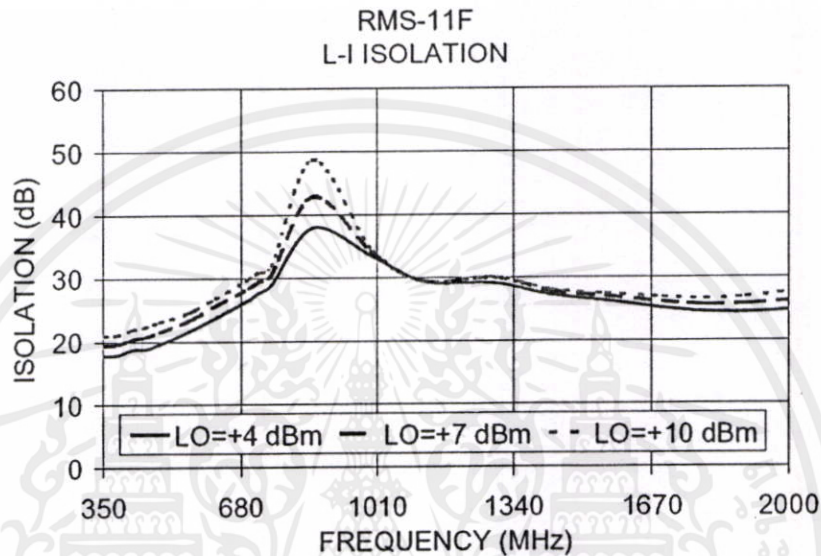


รูปที่ 5.11 ผลการวัดค่าความสูญเสียแปลงผันกับสัญญาณความถี่วิทยุที่ความถี่กลาง 13.5 เมกกะเฮิรตซ์ ของวงจรมิกเซอร์



รูปที่ 5.12 ผลการวัดไอโซเลชันระหว่างพอร์ต LO กับ RF ที่ความถี่ 13.5 เมกกะเฮิรตซ์

ในส่วนของวงจรมิกเซอร์ความถี่ 380 เมกะเฮิร์ตซ์ ได้ใช้วงจรมิกเซอร์สำเร็จรูปแบบ Double Balanced Diode Mixer ของบริษัท Mini - Circuits เบอร์ RMF - 11F แบบ Surface - Mount มีค่าความสูญเสียแปลงผันกับสัญญาณความถี่วิทยุที่ความถี่กลาง 13.5 เมกะเฮิร์ตซ์ ประมาณ 5 dB<sub>m</sub> ค่าไอโซเลชันระหว่าง LO กับ RF มีค่าประมาณ -40 dB<sub>m</sub> ค่าไอโซเลชันระหว่าง LO กับ IF มีค่าประมาณ -20 dB<sub>m</sub> ดังรูปที่ 5.11-5.13 ตามลำดับ



รูปที่ 5.13 ผลการวัดไอโซเลชันระหว่างพอร์ต LO กับ IF ที่ความถี่ 13.5 เมกะเฮิร์ตซ์

## 5.9 สรุป

ในบทนี้เสนอการออกแบบและการสร้างวงจรไดโอดมิกเซอร์ โดยใช้โครงสร้างมิกเซอร์แบบบรานซ์ไลน์ ซอต์ดีไดโอดเบอร์ HSMS-282C ผลการวัดค่าการสูญเสียแปลงผันของวงจรมิกเซอร์ โดยป้อนค่าความถี่ RF อินพุต ตั้งแต่ 3.4 ถึง 3.6 กิกะเฮิร์ตซ์ ด้วยขนาดสัญญาณ -10 dBm และทำการปรับค่าความถี่โลกอล ขนาดสัญญาณ +10 dBm โดยความถี่โลกอลเท่ากับ 3.83 กิกะเฮิร์ตซ์ เพื่อให้ได้ค่าความถี่ IF ที่ 380 เมกะเฮิร์ตซ์ พบว่ามีค่าความสูญเสียแปลงผันประมาณ 9 dB ในย่านความถี่ที่ใช้งาน ค่าไอโซเลชันระหว่างพอร์ต LO กับ IF และ RF กับ IF -19 dB และ พอร์ต RF กับ IF -28 dB และค่าไอโซเลชันระหว่างพอร์ต LO กับ RF เท่ากับ -12 dB ที่ความถี่ 3.5 กิกะเฮิร์ตซ์

เอกสารนี้เป็นเอกสารที่สงวนไว้สำหรับการใช้งานเพื่อการศึกษาเท่านั้น ไม่อนุญาตให้นำไปใช้ประโยชน์ด้านการค้า ไม่ว่าจะกรณีใดๆทั้งสิ้น อีกทั้งห้ามมิให้คัดแปลงเนื้อหา และต้องอ้างอิงถึงเจ้าของเอกสารทุกครั้งที่มีการนำไปใช้

## บทที่ 6

# วงจรรองความถี่

### 6.1 กล่าวนำ

เนื้อหาในบทนี้จะอธิบายถึงวงจรรองผ่านแถบความถี่ ซึ่งประกอบด้วย 2 ส่วนคือวงจรรองผ่านแถบความถี่แบบคอมบ์ไลน์ ใช้กรองความถี่สัญญาณวิทยุที่รับมาจากสายอากาศ เพื่อป้องกันสัญญาณรบกวนไม่ให้เข้ามาในระบบเครื่องรับ และวงจรรองความถี่ต่ำผ่าน โดยใช้ตัวเหนี่ยวนำและตัวเก็บประจุ

### 6.2 วงจรรองผ่านแถบความถี่แบบคอมบ์ไลน์

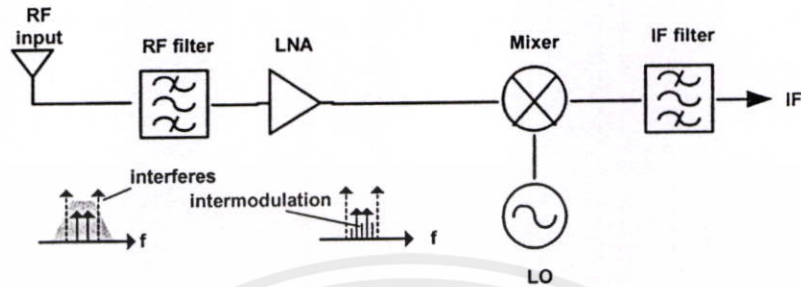
วงจรรองผ่านแถบความถี่ เป็นวงจรหนึ่งที่สำคัญในอุปกรณ์ไมโครเวฟที่ใช้ในระบบการสื่อสารไร้สาย เนื่องจากการเติบโตอย่างรวดเร็วของระบบการสื่อสารไร้สาย ทำให้ความต้องการใช้สเปกตรัมความถี่มีมากขึ้น จึงจำเป็นที่จะต้องใช้แถบความถี่ที่มีอยู่อย่างจำกัดให้มีประสิทธิภาพ ซึ่งเมื่อเพิ่มจำนวนผู้ใช้งานมากขึ้นก็จะเกิดการรบกวนกันของระบบต่างๆมากขึ้น ยกตัวอย่างเช่นในระบบ WCDMA แถบความถี่ของระบบแบบ TDD (time domain duplex) อยู่ติดกับแถบความถี่ของระบบแบบ FDD (frequency domain duplex) ซึ่งระบบ FDD ในส่วนของระบบเชื่อมโยงขาขึ้น (up link) จากโทรศัพท์เคลื่อนที่ไปยังสถานีฐานและระบบเชื่อมโยงขาลง (down link) จากสถานีฐานไปยังโทรศัพท์เคลื่อนที่ ทำงานอยู่ในแถบความถี่ที่แตกต่างกัน แต่ในระบบ TDD ในส่วนของระบบเชื่อมโยงขาขึ้นและระบบเชื่อมโยงขาลงมีแถบความถี่อยู่ในช่วงเดียวกัน ถ้าตำแหน่งของสถานีฐานของระบบ FDD อยู่ใกล้กับสถานีฐานของระบบ TDD สัญญาณของระบบเชื่อมโยงขาขึ้นที่มีกำลังอ่อนจากโทรศัพท์เคลื่อนที่ของระบบ FDD จะถูกรบกวนโดยสัญญาณของระบบเชื่อมโยงขาลงที่มีกำลังสูงจากสถานีฐานของระบบ TDD ดังนั้นเพื่อที่จะหลีกเลี่ยงการเกิดอินเตอร์มอดูเลชันในวงจรส่วนหน้าของสถานีฐาน วงจรรองผ่านแถบความถี่จึงต้องมีค่าความคม (selectivity) หรือมีค่าการตัดทิ้ง (rejection) ของสัญญาณนอกแถบสูงมาก เพื่อป้องกันการรบกวนจากสัญญาณรบกวนจากระบบอื่นๆ รวมทั้งการรบกวนจากช่องสัญญาณข้างเคียงจากภาคส่งในระบบ FDD

รูปที่ 6.1 และ 6.2 แสดงวงจรส่วนหน้าของเครื่องรับสำหรับสถานีฐานในกรณีที่เกิดการรบกวนของสัญญาณนอกแถบ โดยในรูปที่ 6.1 วงจรรองผ่านแถบความถี่ที่มีค่าความคมต่ำ ความแรงของสัญญาณรบกวนยังคงมีค่าสูงที่อินพุตของวงจรขยายสัญญาณรบกวนต่ำ เนื่องจากความไม่

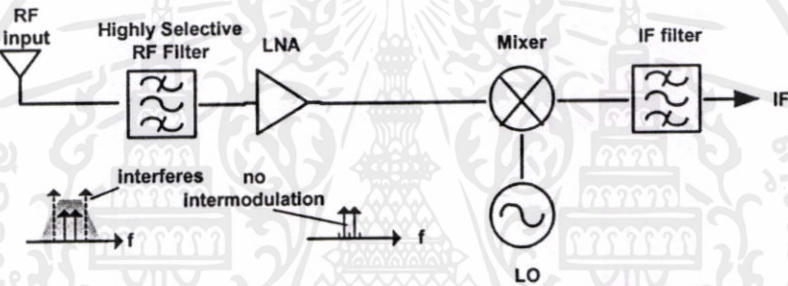
เอกสารนี้เป็นเอกสารที่สงวนไว้สำหรับการใช้งานเพื่อการศึกษานานับ ในอนาคตให้ไปใช้ประโยชน์ในการค้า  
ไม่ว่ากรณีใดๆก็ตาม อีกทั้งยังมีให้ฉบับแก้ไขเนื้อหา และต่ออ้างอิงถึงเจ้าของเอกสารทุกฉบับที่เข้ามาใช้

แบนด์วิดท์เดียวกันกับระบบ ซึ่งจะทำให้ค่าอัตราความผิดพลาดทางบิตของสัญญาณระบบเชื่อมโยง

ขาขึ้นมีค่าสูงขึ้น สามารถแก้ไขปัญหานี้ได้โดยใช้ วงจรกรองผ่านแถบความถี่ที่มีค่าความคมสูงมาก ดังแสดงในรูปที่ 6.2 วงจรกรองผ่านแถบความถี่จะลดระดับกำลังงานของสัญญาณรบกวนรอบข้าง ทำให้เกิดผลจากความไม่เป็นเชิงเส้นของวงจรขยายสัญญาณ รบกวนต่ำมีค่าลดลง



รูปที่ 6.1 วงจรส่วนหน้าของเครื่องรับสำหรับสถานีฐานกับวงจรกรองผ่านแถบความถี่ที่มีค่าความคมต่ำ



รูปที่ 6.2 วงจรส่วนหน้าของเครื่องรับสำหรับสถานีฐานกับวงจรกรองผ่านแถบความถี่ที่มีค่าความคมสูงมาก

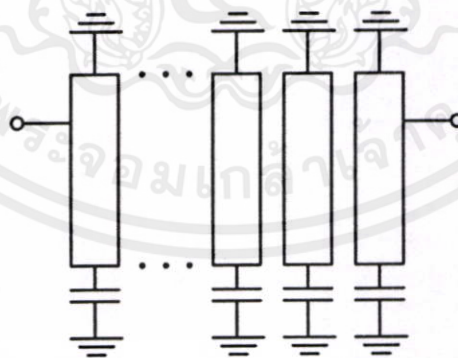
วงจรกรองผ่านแถบความถี่ที่นำไปใช้งานสำหรับสถานีฐานเพื่อใช้กรองความถี่สัญญาณวิทยุที่รับมาจากสายอากาศ ต้องการค่าความสูญเสียเนื่องจากการใส่แทรก (insertion loss) ต่ำ เนื่องจากการนำวงจรกรองผ่านแถบความถี่ใช้งานในส่วนของวงจรส่วนหน้าของระบบภาครับจะเป็นตัวลดทอนค่านออสซิลเลเตอร์ของระบบเครื่องรับให้แยกลง และในส่วนระบบภาคส่งก็ทำให้วงจรขยายกำลังสูญเสียกำลังขยาย ดังนั้นเป้าหมายของการออกแบบคือต้องการวงจรกรองผ่านแถบความถี่ที่มีค่าความสูญเสียเนื่องจากการใส่แทรกต่ำ มีขนาดเล็ก สามารถรองรับระดับกำลังงานได้สูง ผลิตได้ง่าย และ ราคาถูก จากที่กล่าวมาแล้ววงจรกรองผ่านแถบความถี่ต้องการค่าความคมสูงมาก สำหรับการนำไปใช้งานในวงจรส่วนหน้าของระบบเครื่องรับและเครื่องส่งในสถานีฐาน เนื่องจากแบนด์วิดท์ของภาครับและแบนด์วิดท์ของภาคส่งอยู่ใกล้กันมาก ซึ่งวงจรกรองแถบความถี่ผ่านแบบไมโครสตริปหรือแบบสตริปไลน์ไม่สามารถให้ค่าความคมที่สูงมากได้รวมทั้งไม่สามารถรองรับระดับกำลังงานที่มีค่าสูงมากได้ [54] ดังนั้นจึงเลือกใช้โครงสร้างของวงจรกรองผ่านแถบ

ความถี่เป็นแบบท่อนำคลื่น (waveguide band pass filter) เนื่องจากมีค่าการสูญเสียเนื่องจากการใส่แทรกต่ำและมีความสามารถในการรองรับระดับกำลังงานสูง

ในแบนด์ความถี่ย่านยูเอชเอฟ ที่ความถี่กึ่งกลาง 2 กิกะเฮิรตซ์ วงจรกรองผ่านแถบความถี่แบบท่อนำคลื่นแบบทั่วไป มีขนาดทางกายภาพใหญ่มาก ไม่เหมาะสมสำหรับการนำไปใช้งานที่ความถี่กึ่งกลางต่ำกว่า 2 กิกะเฮิรตซ์ ส่วนโครงสร้างแบบโคแอกเซียลคาวิตีเรโซเนเตอร์ (coaxial cavity resonator) ซึ่งมีขนาดทางกายภาพที่เหมาะสมสำหรับการนำไปใช้งานที่ความถี่กึ่งกลางต่ำกว่า 2 กิกะเฮิรตซ์ แต่สามารถสร้างขึ้นจริงได้ยาก ดังนั้นในการวิจัยนี้จึงเลือกโครงสร้างวงจรกรองความถี่แบบคอมป์ไลน์ ซึ่งเป็นวงจรกรองผ่านแถบความถี่ที่มีขนาดเล็ก (เมื่อเปรียบเทียบกับวงจรกรองผ่านแถบความถี่แบบท่อนำคลื่นแบบทั่วไป) มีความสามารถในการรองรับระดับกำลังงานสูงผลิตได้ง่าย ราคาถูก และมีคุณสมบัติที่ดี รวมทั้งมีค่าการสูญเสียเนื่องจากการใส่แทรกและความผิดเพี้ยนต่ำในขณะที่มีค่าการตัดทิ้งทางด้านแถบหยุดสูง

### 6.2.1 ทฤษฎีวงจรกรองผ่านแถบความถี่แบบคอมป์ไลน์

วงจรกรองผ่านแถบความถี่แบบคอมป์ไลน์ ใช้ท่อนำคลื่นที่ทำงานในโหมดเลือนหาย (evanescent mode) ซึ่งเป็นการใช้งานที่ความถี่ต่ำกว่าความถี่ตัดของท่อนำคลื่น ทำให้ขนาดของวงจรกรองความถี่มีขนาดเล็กลงเมื่อเทียบกับวงจรกรองความถี่แบบท่อนำคลื่นแบบทั่วไป โดยทั่วไปแล้ววงจรกรองผ่านแถบความถี่แบบคอมป์ไลน์ ประกอบด้วยชุดของแท่งโลหะเรียงต่อกัน โดยมีระยะห่างระหว่างแท่งโลหะที่เหมาะสม ปลายด้านหนึ่งของแท่งโลหะต่อกับกราวด์ ส่วนปลายอีกด้านหนึ่งต่อเข้ากับคาปาซิเตอร์ หรือทำการเปิดวงจร (open circuit) ดังที่แสดงในรูปที่ 6.3 ซึ่งขั้นตอนการออกแบบของวงจรกรองผ่านแถบความถี่ชนิดนี้อยู่ในบทความ [55]



รูปที่ 6.3 วงจรกรองผ่านแถบความถี่แบบคอมป์ไลน์

เอกสารนี้เป็นเอกสารเนื่องจากการวิจัยกรองผ่านแถบความถี่ที่ต้องการออกแบบเพื่อใช้งานสำหรับสถานีฐานการสื่อสารเคลื่อนที่ ดังนั้น เรโซเนเตอร์แต่ละชุดต้องการค่าการคัปปลิงระหว่างเรโซเนเตอร์ที่อยู่ติดกันน้อยจะทำให้ระยะห่างของเรโซเนเตอร์ที่อยู่ติดกันมีค่ามากขึ้น วงจรที่สร้างขึ้นจริงมีขนาดความยาวเพิ่มขึ้น

ดังนั้นแก้ปัญหาโดยใช้วิธีไอริสใส่อยู่ระหว่างเรโซเนเตอร์เพื่อเพิ่มค่าความคมของวงจรกรองผ่านแถบความถี่ให้ดีขึ้น และทำให้ขนาดของวงจรกรองผ่านแถบความถี่มีขนาดเล็กลง

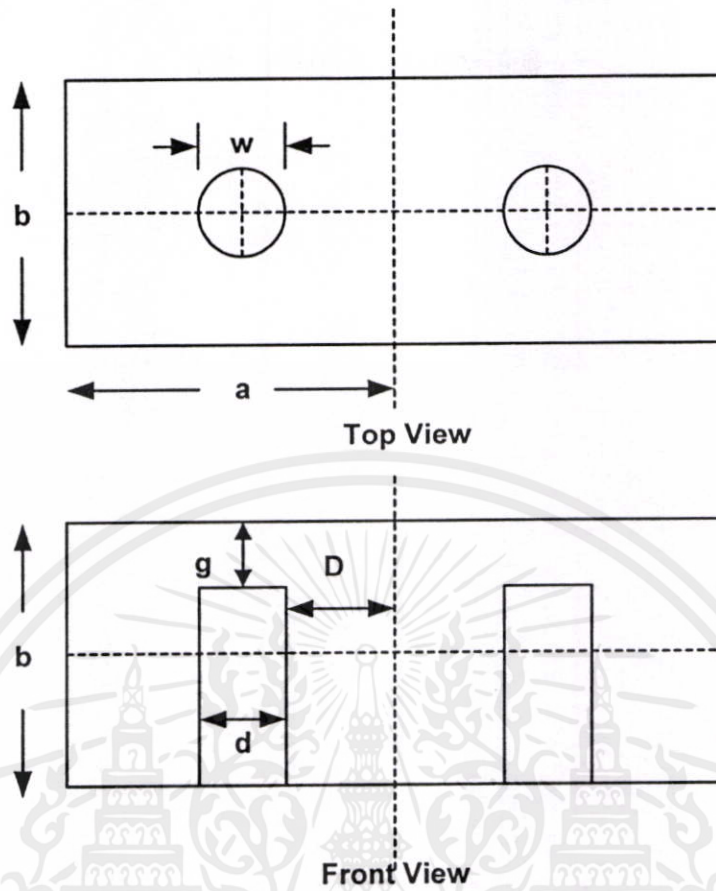
ในการวิเคราะห์ห้วงจรกรองแถบความถี่ผ่านแบบคอมป์ไลน์ ใช้การโมเดลแท่งโลหะและความไม่ต่อเนื่องของท่อนำคลื่นแบบไอริสแต่ละส่วนเป็น S เมตริกซ์ (scattering matrix) และนำ S เมตริกซ์มาคาดเคลื่อนกันโดยใช้หลักการของ GSM (generalized scattering matrix) [56] จากรูปที่ 6.4 คอมป์ไลน์เรโซเนเตอร์ที่มีช่องการคับปลิงระหว่างกันสามารถพิจารณาเป็นโครงสร้างแบบคาดเคลื่อนดังแสดงในรูปที่ 6.5 เมื่อ  $[S^{P1}]$  และ  $[S^{P2}]$  เป็น S เมตริกซ์ของเรโซเนเตอร์ตัวแรกและเรโซเนเตอร์ตัวที่สองตามลำดับซึ่งสามารถหาค่า S เมตริกซ์ของแท่งโลหะได้หลายวิธี ยกตัวอย่างเช่นวิธี MMT (mode matching technique) [57] วิธี FEM (finite element method) หรือวิธี ANN (artificial neural network) [58] ส่วน  $[S^D]$  แทน S เมตริกซ์ของไอริสซึ่งสามารถหาได้จากวิธี MMT ค่า S พารามิเตอร์ของช่องเปิดดังแสดงในรูปที่ 6.6 โดยที่  $a$  เป็นขนาดความกว้างของท่อนำคลื่น,  $b$  เป็นขนาดความสูงของท่อนำคลื่น และ  $l$  เป็นความยาวของช่องเปิด สามารถหาค่า S พารามิเตอร์ของช่องเปิดได้จาก

$$S_{11} = S_{22} = \frac{j \left( \frac{\beta}{\alpha} + \frac{\alpha}{\beta} \right) \sinh(\alpha l)}{\cosh(\alpha l) + j \left( \frac{\beta}{\alpha} - \frac{\alpha}{\beta} \right) \sinh(\alpha l)} \quad (6.1)$$

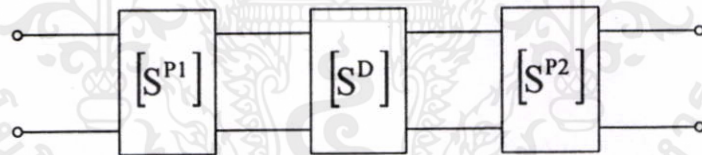
$$S_{12} = S_{21} = \frac{1}{\cosh(\alpha l) + j \left( \frac{\beta}{\alpha} - \frac{\alpha}{\beta} \right) \sinh(\alpha l)} \quad (6.2)$$

$$\text{โดยที่ } \alpha^2 = \left( \frac{\pi}{a} \right)^2 - \left( \frac{2\pi}{\lambda_0} \right)^2 \text{ และ } \beta^2 = \left( \frac{2\pi}{\lambda_0} \right)^2 - \left( \frac{\pi}{a} \right)^2$$

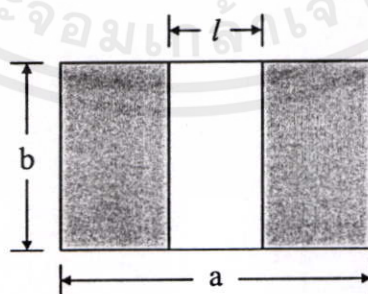
เอกสารนี้เป็นเอกสารที่สงวนไว้สำหรับการใช้งานเพื่อการศึกษาเท่านั้น ไม่อนุญาตให้นำไปใช้ประโยชน์ด้านการค้า ไม่ว่าจะกรณีใดๆทั้งสิ้น อีกทั้งห้ามมิให้ตัดแปลงเนื้อหา และต้องอ้างอิงถึงเจ้าของเอกสารทุกครั้งที่มีการนำไปใช้



รูปที่ 6.4 คอมบ์ไลน์เรโซเนเตอร์แบบช่องเปิด



รูปที่ 6.5 โครงข่าย S เมตริกซ์ของคอมบ์ไลน์เรโซเนเตอร์แบบช่องเปิด



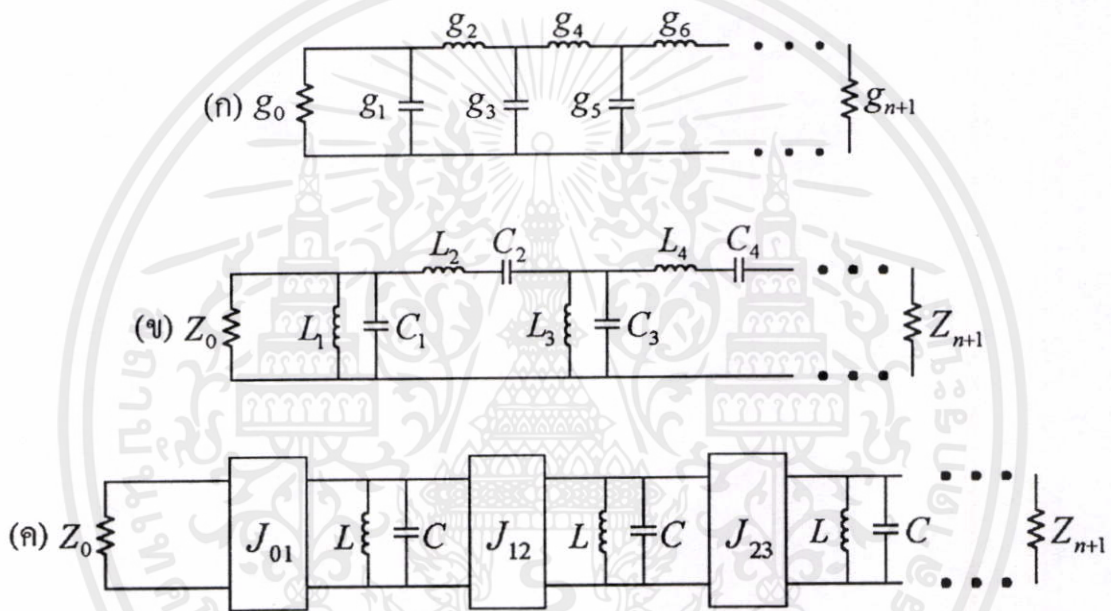
รูปที่ 6.6 ส่วนของช่องเปิดในท่อนำคลื่น

เอกสารนี้เป็นเอกสารที่สงวนไว้สำหรับการใช้งานเพื่อการศึกษาเท่านั้น ไม่อนุญาตให้นำไปใช้ประโยชน์ด้านการค้า  
ไม่ว่ากรณีใดๆทั้งสิ้น อีกทั้งห้ามมิให้ตัดแปลงเนื้อหา และต้องอ้างอิงถึงเจ้าของเอกสารทุกครั้งที่มีการนำไปใช้

วิธีการออกแบบวงจรกรองความถี่แบบแบนด์วิดท์แคบใช้วิธีคำนวณจากวงจรกรองความถี่ต่ำผ่านต้นแบบ (low pass prototype) → วงจรกรองผ่านแถบความถี่ → วงจรผกผันแอดมิตแตนซ์ (admittance inverter) ดังแสดงในรูปที่ 6.7

### 6.2.2 วงจรกรองความถี่ต่ำผ่านต้นแบบ

วงจรกรองความถี่ต่ำผ่านต้นแบบนี้มาจากวงจรกรองความถี่ต่ำผ่าน ซึ่งถูกนอร์มัลไลซ์เพื่อให้ค่าความต้านทานชอร์สมีค่าเท่ากับ 1 ที่ความถี่ตัดเท่ากับ 1 เรเดียน ซึ่งแทนด้วย  $g_0 = 1$  วงจรกรองความถี่ต่ำผ่านต้นแบบใช้ในการออกแบบวงจรกรองความถี่เพื่อให้ได้ฟังก์ชันการส่งผ่านที่ต้องการ



รูปที่ 6.7 (ก) วงจรกรองผ่านความถี่ต่ำ (ข) วงจรกรองผ่านแถบความถี่ (ค) วงจรผกผันแอดมิตแตนซ์

ในการออกแบบวงจรกรองผ่านแถบความถี่จะใช้ค่าพารามิเตอร์  $g_k$  ของวงจรกรองผ่านความถี่ต่ำ ซึ่งสำหรับวงจรกรองความถี่ที่มีผลตอบสนองแบบบัตเตอร์เวิร์ทสามารถหาได้จาก

$$g_0 = g_{k+1} = 1 \quad (6.3)$$

$$g_k = 2 \sin\left(\frac{2k-1}{2\pi}\right) \pi, \quad k = 1, 2, \dots, n \quad (6.4)$$

เอกสารนี้เป็นเอกสารที่สงวนไว้สำหรับการใช้งานเพื่อการศึกษาเท่านั้น ไม่อนุญาตให้นำไปใช้ประโยชน์ด้านการค้า

ไม่ว่ากรณีใดๆทั้งสิ้น อีกทั้งห้ามมิให้ดัดแปลงเนื้อหา และต้องอ้างอิงถึงเจ้าของเอกสารทุกครั้งที่มีการนำไปใช้

และสำหรับวงจรกรองความถี่ที่มีผลตอบสนองแบบเชบีเชฟหาได้จาก โดยที่  $A_c$  เป็นระดับการกระเพื่อมในแถบความถี่ผ่าน

$$g_0 = 1 \quad (6.5)$$

$$g_1 = \frac{2a_1}{\gamma} \quad (6.6)$$

$$g_k = \frac{4a_{k-1}a_k}{b_{k-1}g_{k-1}}, \quad k = 2, 3, \dots, n \quad (6.7)$$

$$g_{n+1} = 1 \quad \text{เมื่อ } n \text{ เป็นเลขคี่} \quad (6.8)$$

$$g_{n+1} = \coth^2(\beta/4) \quad \text{เมื่อ } n \text{ เป็นเลขคู่} \quad (6.9)$$

และ

$$a_k = \sin\left[\frac{(2k-1)\pi}{2n}\right], \quad k = 1, 2, \dots, n$$

$$b_k = \gamma^2 + \sin^2\left(\frac{k\pi}{n}\right), \quad k = 1, 2, \dots, n$$

$$\beta = \ln\left(\coth\frac{A_c}{17.37}\right)$$

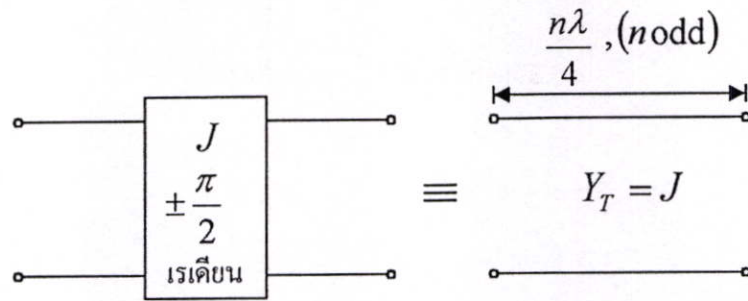
$$\gamma = \sinh\left(\frac{\beta}{2n}\right)$$

### 6.2.3 วงจรผกผันแอดมิตแตนซ์

วงจรผกผันแอดมิตแตนซ์เป็นการแปลงค่าอิมพีแดนซ์ในอุดมคติโดยวิธีการแปลงแบบหนึ่งในสี่ของความยาวคลื่น (quarter wave transform) ค่าอิมพีแดนซ์ของโหลดที่ต่อที่ปลายด้านใดด้านหนึ่งจะมองเป็นส่วนกลับของอิมพีแดนซ์เมื่อเทียบกับอิมพีแดนซ์คุณลักษณะยกกำลังสองที่อินพุต โดยการใช้วงจรผกผันแอดมิตแตนซ์นี้ วงจรกรองผ่านแถบความถี่ผ่านจะถูกแปลงเป็น โครงข่ายที่

ใช้วงจรเรโซแนนท์แบบขนาน ซึ่งวงจรเรโซแนนท์เหล่านี้ต่อเข้าด้วยกันโดยคุณสมบัติของวงจรผกผันแอดมิตแตนซ์ ซึ่งวงจรผกผันแอดมิตแตนซ์ในทางอุดมคติสามารถแสดงได้ดังรูปที่ 6.9

เอกสารนี้เป็นเอกสารที่สงวนลิขสิทธิ์สำหรับการใช้งานเพื่อการศึกษาเท่านั้น ไม่อนุญาตให้นำไปใช้ประโยชน์ด้านการค้า  
ไม่ว่ากรณีใดๆทั้งสิ้น อีกทั้งห้ามมิให้คัดแปลงเนื้อหา และต้องอ้างอิงถึงเจ้าของเอกสารทุกครั้งที่มีการนำไปใช้

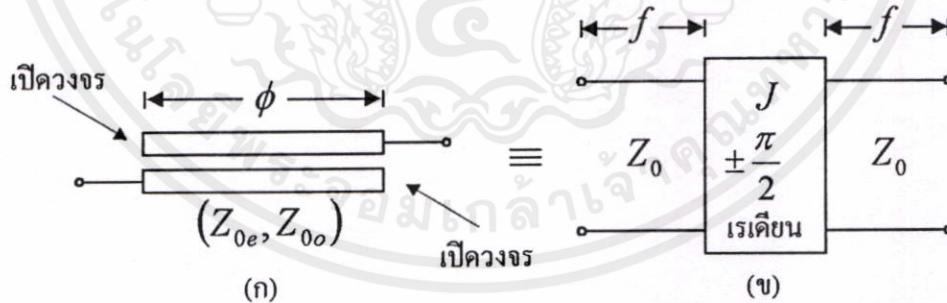


รูปที่ 6.9 วงจรสมมูลระหว่างวงจรผกผันแอดมิตแตนซ์และสายส่งซึ่งเป็นจำนวนคี่เท่าของหนึ่งในสี่ความยาวคลื่น

ค่าแอดมิตแตนซ์อินเวอร์เตอร์ในทางอุดมคติเขียนเป็น  $J$  ซึ่งจะเท่ากับค่าแอดมิตแตนซ์คุณลักษณะของสายส่ง และความยาวที่เป็นจำนวนคี่เท่าของความยาว  $\lambda/4$  ซึ่งเป็นการแปลงอิมพีแดนซ์แบบ  $\lambda/4$  ซึ่งเป็นการแปลงจากโวลตาจอินพุตดังสมการ (6.10) การเปลี่ยนเฟสของคลื่นตกกระทบเมื่อผ่านการแปลงจะเป็น  $\pi/2$  เรเดียน

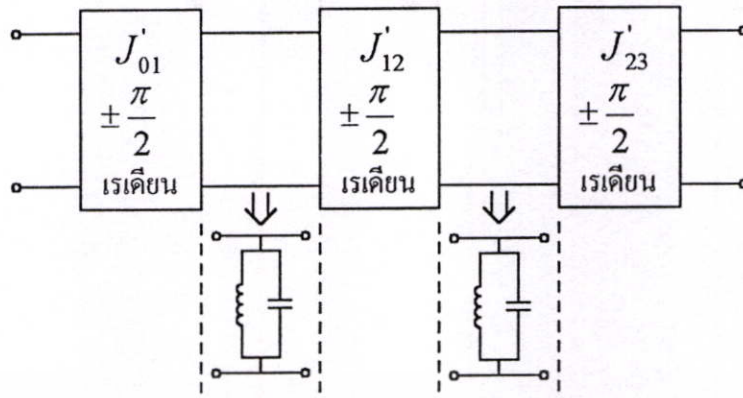
$$Z_m = \frac{1}{J^2} Y_L \quad \text{หรือ} \quad Y_m = J^2 Z_L \quad (6.10)$$

ในวงจรไมโครสตริปแบบที่มีการเชื่อมต่อโดยสายส่งขนานซึ่งเป็นวงจร 4 พอร์ต โดยมี 2 พอร์ตเปิดวงจรเอาไว้ดังรูปที่ 6.10 (ก) และวงจรสมมูลของอินเวอร์เตอร์ในทางอุดมคติและค่าความยาวสาย  $\phi$  แสดงในรูป 6.10 (ข)



รูปที่ 6.10 วงจรสมมูลระหว่าง (ก) สายส่งแบบขนาน (ข) วงจรผกผันแอดมิตแตนซ์

ซึ่งค่า  $J$  นี้จะนำไปใช้หาค่า  $Z_{0e}$  และ  $Z_{0o}$  ซึ่งจะประมาณค่า  $\phi \approx \pi/2$  และใช้สำหรับวงจรกรองความถี่แบนด์วิดธ์น้อยกว่า 15% ตัวอย่างของวงจรกรองผ่านแถบที่ออกแบบแสดงในรูปที่ 6.11 ซึ่งแทนการเชื่อมต่อของเรโซเนเตอร์ด้วยวงจรผกผันแอดมิตแตนซ์ซึ่งเปรียบเสมือนวงจรเรโซแนนซ์ขนาน



รูปที่ 6.11 วงจรกรองผ่านแถบความถี่แบบสองส่วนที่แสดงวงจรสมมูล

ซึ่งสามารถหาค่าวงจรหมักผั่นแอดมิตแตนซ์ในเทอมของวงจรกรองผ่านความถี่ต่ำได้ดังสมการ

$$J_{01} = \sqrt{\frac{Y_A b_1 \psi}{g_0 g_1}} \tag{6.11}$$

$$J_{n,n+1} = \sqrt{\frac{Y_B b_n \psi}{g_n g_{n+1}}} \tag{6.12}$$

$$J_{j,j+1} = \psi \sqrt{\frac{b_j b_{j+1}}{g_j g_{j+1}}} \tag{6.13}$$

เมื่อ  $\psi = \frac{\omega_2 - \omega_1}{\omega_0}$  และสามารถหาค่าสัมประสิทธิ์การเชื่อมต่อ ( $k$ : coupling coefficient)

ของวงจรหมักผั่นแอดมิตแตนซ์ได้จากสมการที่ (6.14) ซึ่งเป็นค่าสัมประสิทธิ์การเชื่อมต่อในเทอมของค่าพารามิเตอร์วงจรกรองผ่านความถี่ต่ำ  $g_k$  และค่าแบนด์วิดท์ ค่าสัมประสิทธิ์การเชื่อมต่อเป็นค่าที่ใช้ในการคำนวณการคัปปลิงระหว่างเรโซเนเตอร์แต่ละตัวเพื่อใช้ในการออกแบบวงจรกรองความถี่

$$k_{j,j+1} = \frac{J_{j,j+1}}{\sqrt{b_j b_{j+1}}} = \frac{\psi}{\sqrt{g_j g_{j+1}}} \tag{6.14}$$

เอกสารนี้เป็นเอกสารที่สงวนไว้สำหรับการใช้งานเพื่อการศึกษาเท่านั้น ไม่อนุญาตให้นำไปใช้ประโยชน์ด้านการค้า ไม่ว่าจะกรณีใดๆ ทั้งสิ้น ค่าสัมประสิทธิ์การเชื่อมต่อสามารถหาได้จากทั้งทางทฤษฎีและทางปฏิบัติ เช่นการประมาณค่าจากสมการโดยใช้วิธี GSM การใช้โปรแกรมจำลองแบบวงจร หรือจากการทดลองกับ

ชุดทดสอบ ซึ่งการทดลองกับชุดทดสอบเป็นวิธีที่นิยมใช้สำหรับการออกแบบวงจรกรองผ่านแถบความถี่ในทางปฏิบัติ เมื่อโครงสร้างของวงจรกรองผ่านแถบความถี่มีความซับซ้อนมาก หรือยังไม่มีโมเดลสมมูลของวงจรที่สมบูรณ์ ค่าสัมประสิทธิ์การเชื่อมต่อนิยามจากความถี่โหมดคู่ (even mode)  $\omega_e$  และความถี่โหมดคี่ (odd mode)  $\omega_o$  ของวงจรเรโซเนเตอร์ที่คัปปลิงกัน 2 วงจรดังสมการ 6.15

$$k = \frac{\omega_e - \omega_o}{\sqrt{\omega_e \omega_o}} \quad (6.15)$$

ในกรณี  $\omega_e > \omega_o$  ค่าสัมประสิทธิ์การเชื่อมต่อจะมีค่าเป็นบวก และในกรณี  $\omega_e < \omega_o$  ค่าสัมประสิทธิ์การเชื่อมต่อจะมีค่าเป็นลบ ซึ่งเครื่องหมายของสัมประสิทธิ์การเชื่อมต่อขึ้นอยู่กับลักษณะการคัปปลิง (สนามไฟฟ้า หรือ สนามแม่เหล็ก)

วงจรคอมบิไลน์เรโซเนเตอร์แบบช่องเปิดดังที่แสดงในรูปที่ 6.3 สามารถหาค่าสัมประสิทธิ์การเชื่อมต่อของ S เมตริกซ์ได้โดยการใช้เงื่อนไขของ PEC (perfect electric conductor) และ PMC (perfect magnetic conductor) ที่ระนาบสมมาตรของวงจรสามารถคำนวณค่าความถี่เรโซแนนท์จาก S เมตริกซ์ได้ค่า  $f_e$  และ  $f_m$  ตามลำดับ สามารถนำความถี่เรโซแนนท์ของเงื่อนไข PEC และ PMC ไปคำนวณค่าสัมประสิทธิ์การเชื่อมต่อได้ดังสมการ 6.16

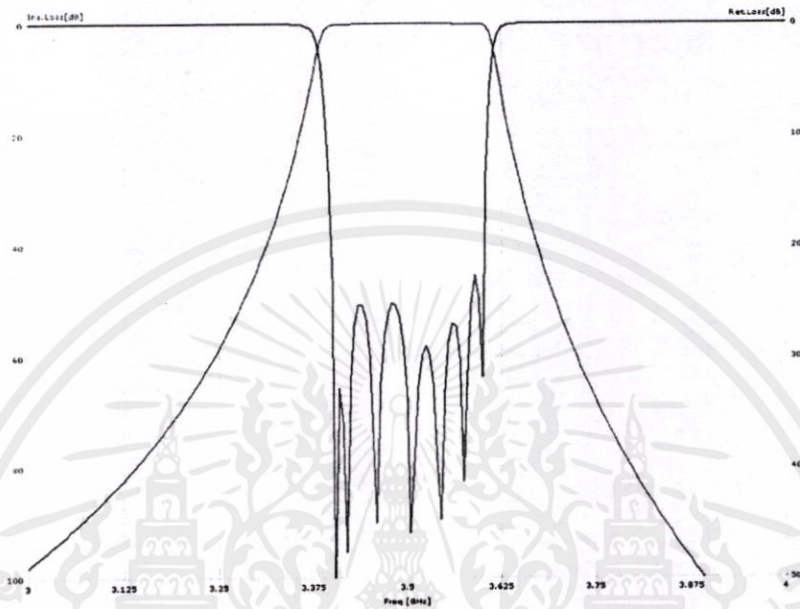
$$k = \frac{f_e^2 - f_m^2}{f_e^2 + f_m^2} \quad (6.16)$$

วงจรกรองผ่านแถบความถี่ที่ได้ออกแบบขึ้นโดยมีค่าความถี่กึ่งกลาง 3.5 กิกะเฮิรตซ์ และแบนด์วิดท์เท่ากับ 200 เมกกะเฮิรตซ์ คิดเป็น  $\psi = 1$  จำนวนเรโซเนเตอร์ที่ใช้มีทั้งหมด 7 วงจรเลือกใช้ผลตอบสนองแบบเชบีเชฟเนื่องจากเป็นผลตอบสนองที่นิยมใช้ในย่านความถี่ไมโครเวฟสำหรับวงจรกรองผ่านแถบความถี่ที่ใช้งานเป็นวงจรส่วนหน้าของสถานีฐานและวงจรมีการลดทอนที่ดี สามารถคำนวณค่าพารามิเตอร์  $g_k$  ของวงจรกรองความถี่ที่มีผลตอบสนองแบบเชบีเชฟลำดับที่ 7 โดยมีค่าการกระเพื่อมเท่ากับ 0.01 dB  $g_0 = g_8 = 1$ ,  $g_1 = g_7 = 0.8$ ,  $g_2 = g_6 = 1.39$ ,  $g_3 = g_5 = 1.75$ ,  $g_4 = 1.63$  สำหรับการคำนวณหาสัมประสิทธิ์การเชื่อมต่อ ดังนั้นจะได้  $k_{0 \rightarrow 1} = k_{7 \rightarrow 8} = -4.18$  dB,  $k_{1 \rightarrow 2} = k_{1 \rightarrow 7} = -12.79$  dB,  $k_{2 \rightarrow 3} = k_{5 \rightarrow 6} = -14.38$  dB,  $k_{3 \rightarrow 4} = k_{4 \rightarrow 5} = -14.72$  dB และค่าตัวเก็บประจุที่วงจรเรโซเนเตอร์มีค่า  $C_1 = C_7 = 0.84$  pF,  $C_2 = C_6 = 0.74$  pF,  $C_3 = C_5 = 0.72$  pF,  $C_4 = 0.713$  pF

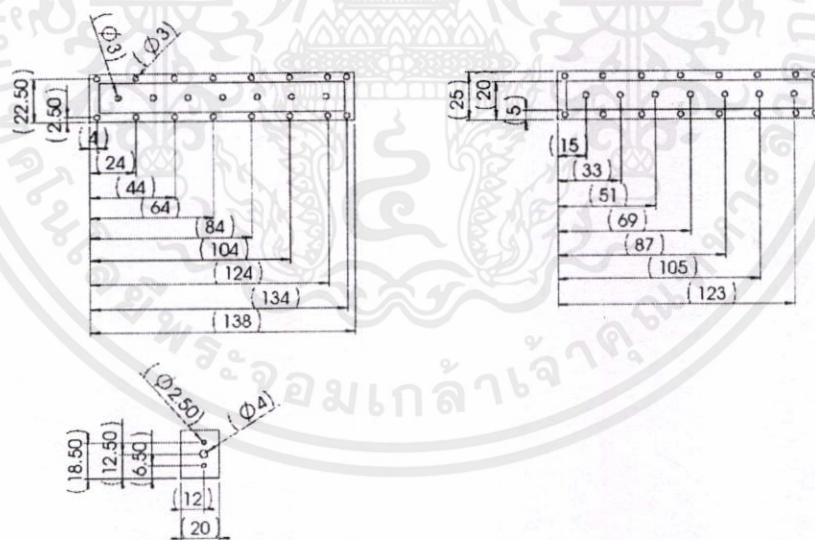
เอกสารนี้เป็นเอกสารที่สงวนไว้สำหรับการใช้งานเพื่อการศึกษาเท่านั้น ไม่อนุญาตให้นำไปใช้ประโยชน์ด้านการค้า ไม่ว่าจะกรณีใดๆทั้งสิ้น อีกทั้งห้ามมิให้ตัดแปลงเนื้อหา และต้องอ้างอิงถึงเจ้าของเอกสารทุกครั้งที่มีการนำไปใช้

### 6.2.4 การจำลองการทำงานและผลการทดลอง

ผลจำลองการทำงาน โดยใช้โปรแกรม Ansoft Designer มาช่วยออกแบบ ความถี่กลางเท่ากับ 3.5 กิโลเฮิร์ตซ์ เบนด์วิธเท่ากับ 200 เมกะเฮิร์ตซ์ ประกอบด้วย 7 เรโซเนเตอร์ ดังรูปที่ 6.12

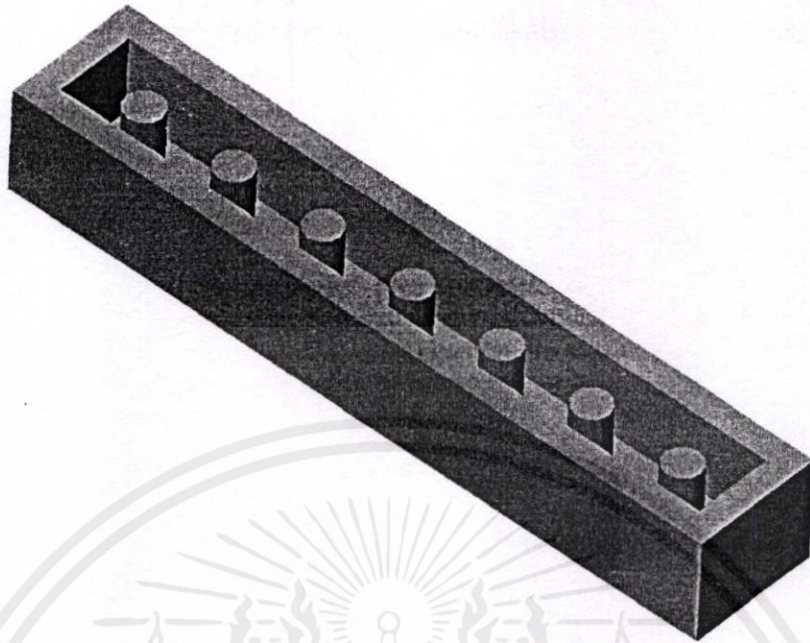


รูปที่ 6.12 ผลจำลองการทำงานวงจรกรองผ่านแถบความถี่แบบคอมไลน์

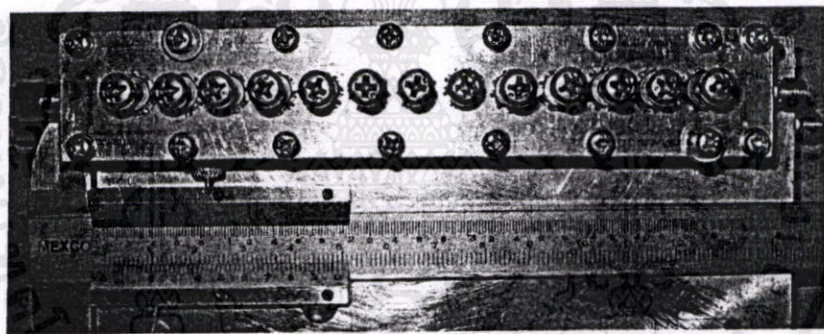


รูปที่ 6.13 ขนาดของวงจรกรองผ่านแถบความถี่แบบคอมไลน์

เอกสารนี้เป็นเอกสารที่สงวนไว้สำหรับการใช้งานเพื่อการศึกษาเท่านั้น ไม่อนุญาตให้นำไปใช้ประโยชน์ด้านการค้า ไม่ว่าจะกรณีใดๆทั้งสิ้น อีกทั้งห้ามมิให้ดัดแปลงเนื้อหา และต้องอ้างอิงถึงเจ้าของเอกสารทุกครั้งที่มีการนำไปใช้



รูปที่ 6.14 วงจรกรองผ่านแถบความถี่แบบคอมไลน์



รูปที่ 6.15 วงจรกรองผ่านแถบความถี่แบบคอมไลน์ที่สร้างขึ้นจริง

วงจรกรองผ่านแถบความถี่ดังแสดงในรูปที่ 6.15 ผลการทดลองพบว่า การสูญเสียเนื่องจากการใส่แทรก (Insertion Loss) ต่ำกว่า 0.7 dB ตลอดช่วงความถี่ และค่าการสูญเสียย้อนกลับทางอินพุต (Input Return Loss) มีค่าต่ำกว่า 24 dB ตลอดช่วงความถี่ ดังแสดงในรูปที่ 6.16

เอกสารนี้เป็นเอกสารที่สงวนไว้สำหรับการใช้งานเพื่อการศึกษาเท่านั้น ไม่อนุญาตให้นำไปใช้ประโยชน์ด้านการค้า ไม่ว่าจะกรณีใดๆทั้งสิ้น อีกทั้งห้ามมิให้ดัดแปลงเนื้อหา และต้องอ้างอิงถึงเจ้าของเอกสารทุกครั้งที่มีการนำไปใช้



ตารางที่ 6.1 ค่าวงจรกรองความถี่ต่ำผ่านต้นแบบ แบบเชฟบีเชฟ สำหรับคลื่นกระเพื่อม 0.01 dB

$n$	$\frac{R_s}{R_L}$	$C_1$	$L_2$	$C_3$	$L_4$	$C_5$	$L_6$	$C_7$
7	1.000	0.913	1.595	2.002	1.870	2.002	1.595	0.913
	0.900	0.816	1.362	2.089	1.722	2.202	1.581	1.206
	0.800	0.811	1.150	2.262	1.525	2.465	1.464	1.538
	0.700	0.857	0.967	2.516	1.323	2.802	1.307	1.910
	0.600	0.943	0.803	2.872	1.124	3.250	1.131	2.359
	0.500	1.080	0.650	3.382	0.928	3.875	0.947	2.948
	0.400	1.297	0.507	4.156	0.735	4.812	0.758	3.790
	0.300	1.669	0.372	5.454	0.546	6.370	0.568	5.148
	0.200	2.242	0.242	8.057	0.360	9.484	0.378	7.802
	0.100	4.701	0.119	15.872	0.178	18.818	0.188	15.652
	$\infty$	1.559	1.867	1.866	1.765	1.563	1.161	0.456
$n$	$\frac{R_s}{R_L}$	$L_1$	$C_2$	$L_3$	$C_4$	$L_5$	$C_6$	$L_7$

การเปลี่ยนแปลงค่าเป็นไปตามสมการที่ 6.17-6.18

$$C = \frac{C_n}{2\pi f_c R} \tag{6.17}$$

$$L = \frac{RL_n}{2\pi f_c} \tag{6.18}$$

เอกสารนี้เป็นเอกสารที่สงวนไว้สำหรับการใช้งานเพื่อการศึกษานั้น ไม่นอนุญาตให้นำไปใช้ประโยชน์ด้านการค้า  
ไม่ว่ากรณีใดๆทั้งสิ้น อีกทั้งห้ามมิให้คัดแปลงเนื้อหา และต้องอ้างอิงถึงเจ้าของเอกสารทุกครั้งที่มีการนำไปใช้

$C$  = ค่าตัวเก็บประจุที่ความถี่ใช้งาน ( $F$ )

$L$  = ค่าตัวเหนี่ยวนำที่ความถี่ใช้งาน ( $H$ )

$C_n$  = ค่าตัวเก็บประจุของวงจรรองความถี่ต่ำผ่านต้นแบบ ( $F$ )

$L_n$  = ค่าตัวเหนี่ยวนำของวงจรรองความถี่ต่ำผ่านต้นแบบ ( $H$ )

$R$  = ค่าอิมพีแดนซ์ของโหลดที่ใช้งาน ( $50 \Omega$ )

$f_c$  = ความถี่คัตออฟ (Hz)

ต้องการวงจรรองความถี่ต่ำผ่านที่ความถี่คัตออฟ 14 เมกกะเฮิร์ตซ์ จำนวน 7 ออเดอร์ โดยอาศัยตารางที่ 6.1 และสมการที่ 6.1-6.2 เราจะได้ค่าวงจรรองความถี่ต่ำผ่านที่ต้องการ

$$C_1 = \frac{0.913}{2\pi \times 14 \times 10^6 \times 50} = 207.58 \text{ pF}$$

$$L_2 = \frac{50 \times 1.595}{2 \times \pi \times 14 \times 10^6} = 906.61 \text{ nH}$$

$$C_3 = \frac{2.002}{2\pi \times 14 \times 10^6 \times 50} = 455.18 \text{ pF}$$

$$L_4 = \frac{50 \times 1.870}{2 \times \pi \times 14 \times 10^6} = 1062.93 \text{ nH}$$

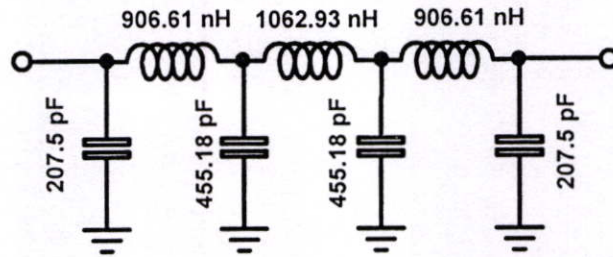
$$C_5 = \frac{2.002}{2\pi \times 14 \times 10^6 \times 50} = 455.18 \text{ pF}$$

$$L_6 = \frac{50 \times 1.595}{2 \times \pi \times 14 \times 10^6} = 906.61 \text{ nH}$$

$$C_7 = \frac{0.913}{2\pi \times 14 \times 10^6 \times 50} = 207.58 \text{ pF}$$

ดังนั้นเราจะได้วงจรรองความถี่ต่ำผ่านที่ความถี่ 14 เมกกะเฮิร์ตซ์ โดย  $C_1=C_7= 207.58 \text{ pF}$  ,  $L_2=L_6= 906.61 \text{ nH}$  ,  $C_3=C_5= 455.18 \text{ pF}$  ,  $L_4= 1062.93 \text{ nH}$  ดังรูปที่ 6.17

เอกสารนี้เป็นเอกสารที่สงวนไว้สำหรับการใช้งานเพื่อการศึกษาเท่านั้น ไม่อนุญาตให้นำไปใช้ประโยชน์ด้านการค้า ไม่ว่าจะกรณีใดๆทั้งสิ้น อีกทั้งห้ามมิให้ดัดแปลงเนื้อหา และต้องอ้างอิงถึงเจ้าของเอกสารทุกครั้งที่มีการนำไปใช้



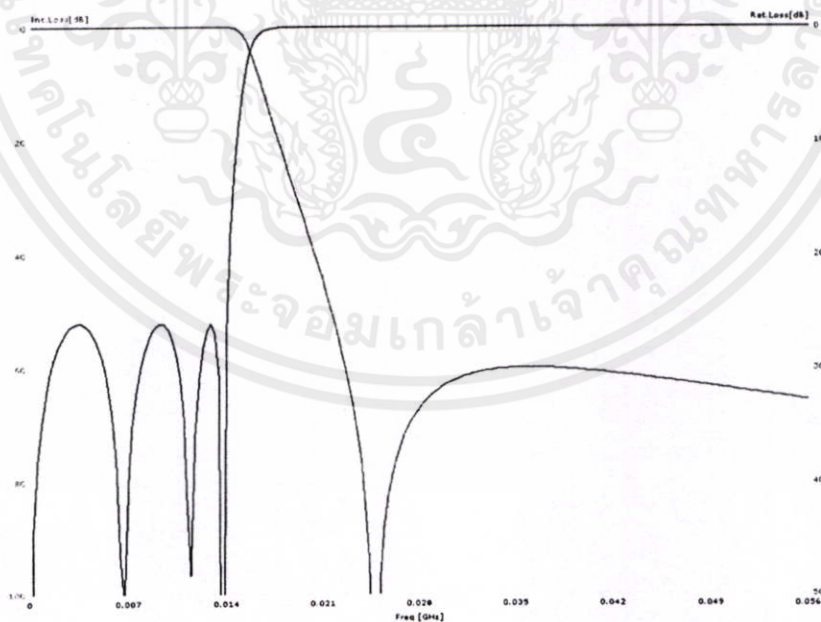
รูปที่ 6.17 วงจรกรองความถี่ต่ำผ่านที่ความถี่ 14 เมกกะเฮิร์ตซ์

6.3.2 การจำลองการทำงานและผลการทดลอง

ผลการจำลองการทำงานโดยใช้โปรแกรม Ansoft Designer เราจะได้ค่าการสูญเสียเนื่องจากการใส่แทรกคือ 0.1 dB และค่าการสูญเสียย้อนกลับทางอินพุตคือ 25 dB ตลอดช่วงความถี่ ดังรูปที่ 6.18

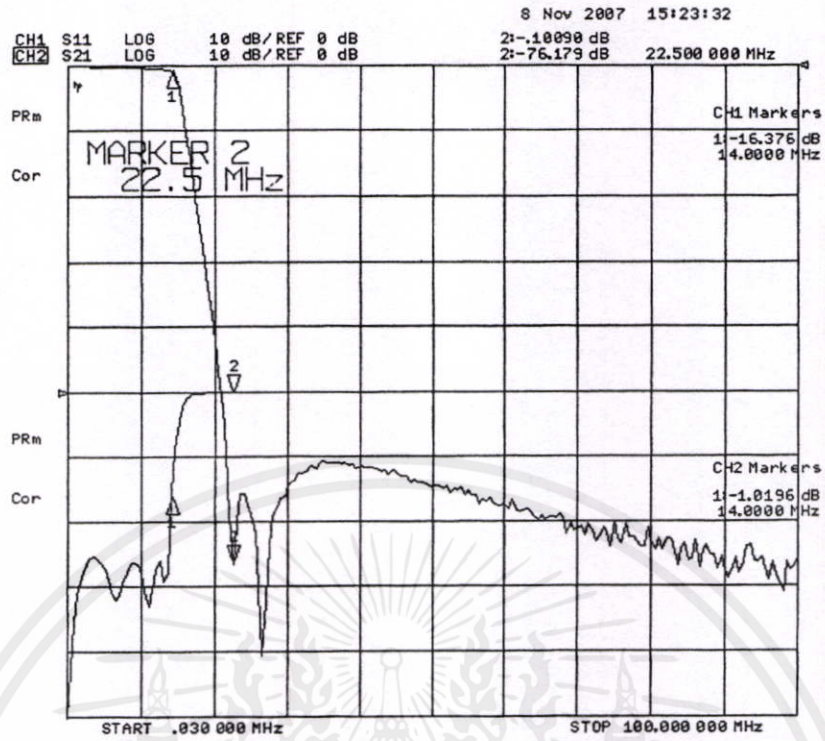
จากรูปที่ 6.19 ผลการวัดวงจรกรองความถี่ต่ำผ่านพบว่า การสูญเสียเนื่องจากการใส่แทรกคือ 1.1 dB ตลอดช่วงความถี่ และค่าการสูญเสียย้อนกลับทางอินพุต (Input Return Loss) มีค่าคือ 15 dB ตลอดช่วงความถี่

วงจร SAW Filter เป็นของบริษัท RF Monolithics เบอร์ 512816 ดังรูปที่ 6.20 ความถี่ 380 เมกกะเฮิร์ตซ์ แบนด์วิธ 5 เมกกะเฮิร์ตซ์ มีค่าการสูญเสียเนื่องจากการใส่แทรก 15 dB ดังรูปที่ 6.21



รูปที่ 6.18 ผลการจำลองการทำงาน S-Parameters วงจรกรองความถี่ต่ำผ่านที่ความถี่ 14 เมกกะเฮิร์ตซ์

เอกสารนี้เป็นเอกสารที่สงวนไว้สำหรับการใช้งานเพื่อการศึกษาเท่านั้น ไม่สามารถนำไปใช้ประโยชน์ด้านการค้า ไม่ว่าจะตีพิมพ์ในสื่อออนไลน์ อื่นทั้งห้ามมิให้ดัดแปลงเนื้อหา และต้องอ้างอิงถึงเจ้าของเอกสารทุกครั้งที่มีการนำไปใช้

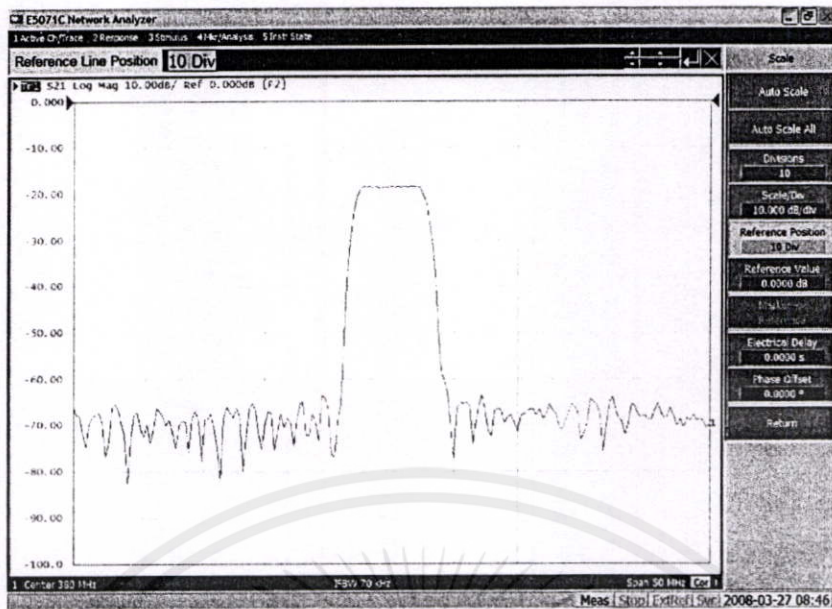


รูปที่ 6.19 ผลการวัด S-Parameters วงจรกรองความถี่ต่ำผ่านที่ความถี่ 14 เมกกะเฮิร์ตซ์ มีค่า Insertion Loss < 1.1 dB ค่า Return Loss > 15 dB



รูปที่ 6.20 วงจร SAW Filter ความถี่ 380 เมกกะเฮิร์ตซ์

เอกสารนี้เป็นเอกสารที่สงวนไว้สำหรับการใช้งานเพื่อการศึกษาเท่านั้น ไม่อนุญาตให้นำไปใช้ประโยชน์ด้านการค้า ไม่ว่าจะกรณีใดๆทั้งสิ้น อีกทั้งห้ามมิให้ตัดแปลงเนื้อหา และต้องอ้างอิงถึงเจ้าของเอกสารทุกครั้งที่มีการนำไปใช้



รูปที่ 6.21 ผลการวัดวงจร SAW Filter ความถี่ 380 เมกกะเฮิรตซ์

#### 6.4 สรุป

วงจรกรองผ่านแถบความถี่แบบคอมไลน์จากผลการทดลองพบว่า การสูญเสียเนื่องจากการใส่แทรก (Insertion Loss) ต่ำกว่า 0.7 dB ตลอดช่วงความถี่ และค่าการสูญเสียย้อนกลับทางอินพุต (Input Return Loss) มีค่าต่ำกว่า 24 dB ตลอดช่วงความถี่ และผลการวัดวงจรกรองความถี่ต่ำผ่าน การสูญเสียเนื่องจากการใส่แทรกต่ำกว่า 1.1 dB ตลอดช่วงความถี่ และค่าการสูญเสียย้อนกลับทางอินพุต (Input Return Loss) มีค่าต่ำกว่า 15 dB ตลอดช่วงความถี่

ตารางที่ 6.2 ผลการวัดวงจรกรองผ่านแถบความถี่แบบคอมไลน์และวงจรกรองความถี่ต่ำผ่าน

	วงจรกรองผ่านแถบความถี่แบบคอมไลน์	วงจรกรองความถี่ต่ำผ่าน
แบนด์วิธ	200 เมกกะเฮิรตซ์	14 เมกกะเฮิรตซ์
Insertion loss	< 0.7 dB	< 1.1 dB
Return loss	> 24 dB	> 15 dB

เอกสารนี้เป็นเอกสารที่สงวนไว้สำหรับการใช้งานเพื่อการศึกษาเท่านั้น ไม่อนุญาตให้นำไปใช้ประโยชน์ด้านการค้า ไม่ว่าจะกรณีใดๆทั้งสิ้น อีกทั้งห้ามมิให้ดัดแปลงเนื้อหา และต้องอ้างอิงถึงเจ้าของเอกสารทุกครั้งที่มีการนำไปใช้

## บทที่ 7

# คุณสมบัติของวงจรส่วนหน้าและสรุปผลการทดลอง

### 7.1 กล่าวนำ

วิทยานิพนธ์ฉบับนี้เสนอการออกแบบและการสร้างวงจรส่วนหน้าสำหรับเครื่องรับระบบ WiMAX สำหรับสถานีฐาน โดยทำการออกแบบและสร้างวงจรเฉพาะในส่วนของภาคความถี่วิทยุเท่านั้น เลือกใช้ระบบเครื่องรับแบบซูเปอร์เฮเทอโรไดน์ เนื้อหาในบทนี้จะกล่าวถึงคุณสมบัติของเครื่องรับโดยรวมทั้งหมด โดยนำส่วนของวงจรต่างๆในบทที่ผ่านมาประกอบรวมกัน ซึ่งประกอบด้วย วงจรกรองผ่านแถบความถี่แบบคอมไลน์ วงจรขยายสัญญาณรบกวนต่ำแบบบาลานซ์ วงจรไดโอดมิกเซอร์ วงจรสังเคราะห์ความถี่ วงจรกรองความถี่ต่ำผ่าน โดยสัญญาณเข้ามาที่ความถี่ 3.4-3.6 กิกะเฮิรตซ์ วงจรมีความถี่เบสแบนด์ 13.5 เมกกะเฮิรตซ์

จากการทดลองและผลการทดลองในบทที่ 3 วงจรขยายสัญญาณรบกวนต่ำแบบบาลานซ์ที่สร้างขึ้นมีค่าคุณสมบัติต่างๆตามที่ต้องการ คือมีค่าอัตราขยายและค่านอยส์ฟิกเกอร์ที่ดีเพียงพอนำไปประยุกต์ใช้งานสำหรับเครื่องรับสถานีฐานระบบ WiMAX ได้

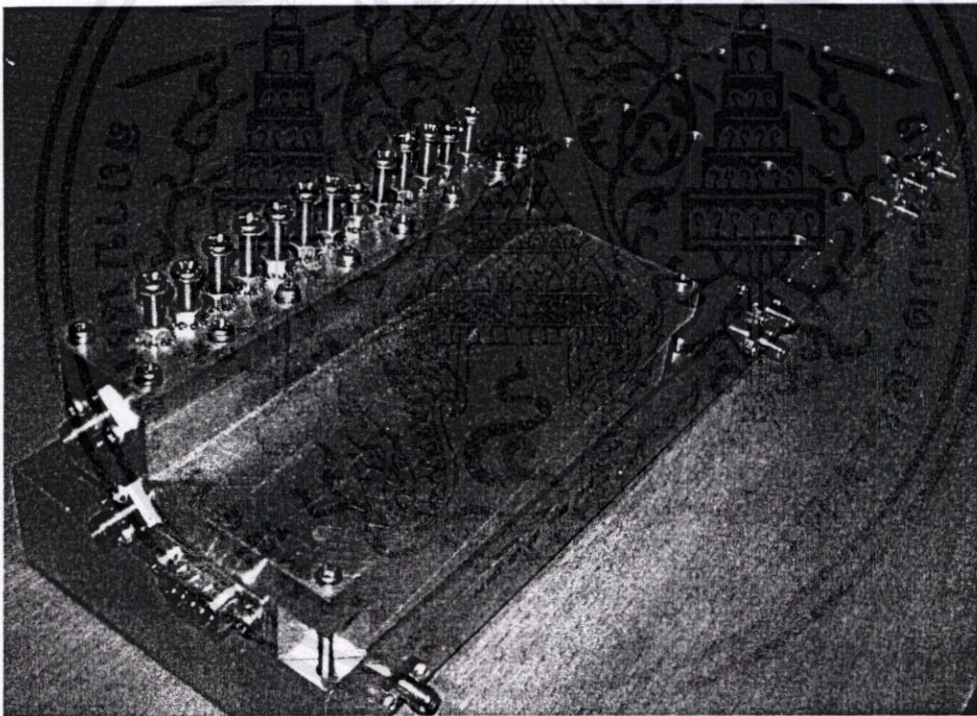
จากการทดลองและผลการทดลองในบทที่ 4 วงจรสังเคราะห์ความถี่ย่าน 393.5 เมกกะเฮิรตซ์ ที่สร้างขึ้นมีค่าคุณสมบัติต่างๆตามที่ต้องการ โดยสามารถกำเนิดสัญญาณในช่วงความถี่ใช้งานได้ดี และมีสัญญาณรบกวนทางเฟสต่ำเพียงพอต่อการนำไปประยุกต์ใช้งานเครื่องรับระบบ WiMAX สำหรับสถานีฐานได้ ส่วนวงจรสังเคราะห์ความถี่ย่าน 3.83 กิกะเฮิรตซ์ มีค่าคุณสมบัติต่างๆตามที่ต้องการโดยวงจรสามารถกำเนิดสัญญาณในช่วงความถี่ใช้งานได้ดี แต่วงจรที่สร้างขึ้นยังมีค่าสัญญาณรบกวนทางเฟสไม่เพียงพอสำหรับการนำไปประยุกต์ใช้งานสำหรับสถานีฐาน ซึ่งที่ต้องการโลคอลออสซิลเลเตอร์ที่มีค่าสัญญาณรบกวนทางเฟสต่ำกว่านี้ แนวทางแก้ไขหาเปลี่ยนทรานซิสเตอร์ที่มีค่าความถี่ที่อัตราขยายเท่ากับ 1 สูงกว่านี้ หรือใช้เรโซเนเตอร์แบบ YIG

จากการทดลองและผลการทดลองในบทที่ 5 วงจรไดโอดมิกเซอร์ที่สร้างขึ้นมีข้อดีคือ วงจรมีขนาดเล็ก และ ออกแบบง่าย ข้อเสียคือ มีค่าไม่เสถียรที่ควร คือ ค่าการสูญเสียแปรผันสูง และ ค่าไอโซเลชันต่ำ แนวทางการแก้ไขใช้โครงสร้างวงจรไดโอดมิกเซอร์ชนิดอื่น เช่น วงจรดับเบิลบาลานซ์ไดโอดมิกเซอร์

จากการทดลองและผลการทดลองในบทที่ 6 วงจรกรองผ่านแถบความถี่แบบคอมไลน์ที่สร้างขึ้นมีคุณสมบัติต่างๆตามที่ต้องการ คือ มีค่าการสูญเสียเนื่องจากการใส่แทรกต่ำ และมีค่าการสูญเสียย้อนกลับที่ดีในช่วงความถี่ใช้งาน รวมถึงมีค่าการตัดทิ้งของความถี่ที่ไม่ใช้งานสูง เหมาะสมสำหรับการนำวงจรไปประยุกต์ใช้งานสำหรับเครื่องรับ WiMAX สำหรับสถานีฐานได้ แต่วงจรยังมีข้อบกพร่องอยู่คือแบนด์วิดท์ของวงจรที่วัดได้จริงมีค่ามากกว่าค่าที่ได้จากการคำนวณ เนื่องจากเกิด

การคับปลิงกันระหว่างเรโซเนเตอร์ตัวที่ไม่ได้อยู่ติดกันเพิ่มเข้ามาซึ่งไม่ได้รวมอยู่ในการคำนวณ ทำให้ค่าการตัดทิ้งของความถี่ไม่ใช้งานมีค่าน้อยกว่าที่ควรจะเป็น แนวทางการพัฒนาในอนาคตเพื่อปรับปรุงวงจรให้ดีขึ้นสามารถทำได้โดยการออกแบบเพื่อให้ค่าแบนด์วิดท์ของวงจรกรองผ่านแถบความถี่มีค่าน้อยลงกว่าที่ต้องการ เพื่อลดค่าแบนด์วิดท์ของวงจรที่วัดได้จริง

จากตารางที่ 7.1 แสดงค่าพารามิเตอร์ของส่วนต่างๆ ของวงจรเครื่องรับโดยเปรียบเทียบระหว่างค่าที่ใช้ในการออกแบบและผลที่ได้จากการวัดจริง จากผลการทดลองค่าที่วัดได้มีความสอดคล้องกับค่าที่ต้องการออกแบบ ยกเว้นวงจรไดโอดมิกเซอร์ซึ่งมีค่าการสูญเสียสูง และส่วนของวงจรสังเคราะห์ความถี่ย่าน 3.83 กิกะเฮิร์ตซ์ ยังมีสัญญาณรบกวนทางเฟสไม่ดีพอดังที่กล่าวมาแล้วข้างต้น ดังนั้นสามารถสรุปได้ว่า วงจรต่างๆ ในวงจรส่วนหน้าของระบบเครื่องรับส่วนใหญ่ที่สร้างขึ้น มีคุณสมบัติเพียงพอสำหรับการนำไปประยุกต์ใช้งาน และตารางที่ 7.2 แสดงคุณสมบัติรวมของเครื่องรับ



รูปที่ 7.1 วงจรเครื่องรับทั้งหมดที่ประกอบเข้าด้วยกัน

## 7.2 นอยส์แฟกเตอร์ (Noise Factor)

ค่านอยส์แฟกเตอร์ของเครื่องรับสามารถหาได้จากการนำค่านอยส์แฟกเตอร์ของแต่ละภาคมาคูณกันดังสมการที่ 7.1 โดย  $F_{\text{cascade}}$  เป็นค่านอยส์แฟกเตอร์ของวงจรทั้งหมด รูปที่ 7.3 แสดงไม่ว่ากรณีใดๆ ทั้งสิ้น อีกทั้งห้ามให้ต้องปลิงเข้าหา และต้องอ้างอิงถึงเจ้าชายออกสนทุกครั้งที่มีการนำไปใช้ การคำนวณนอยส์แฟกเตอร์ของเครื่องรับทั้งหมด โดยคำนวณค่านอยส์ฟลักเจอร์ได้ 3.71 dB

$$F_{\text{cascade}} = F_1 + \frac{F_2 - 1}{G_1} + \frac{F_3 - 1}{G_1 G_2} + \dots + \frac{F_i - 1}{G_1 G_2 \dots G_{i-1}} + \dots \quad (7.1)$$

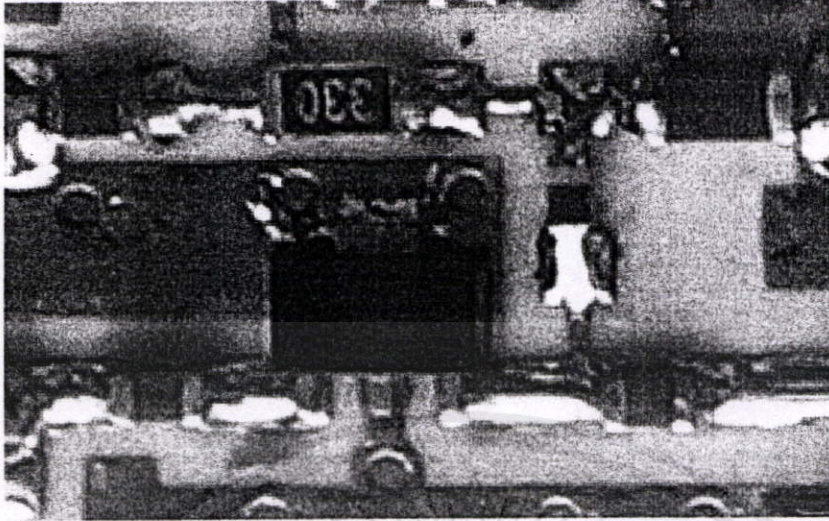
ตารางที่ 7.1 คุณสมบัติของวงจรทั้งหมดที่สร้างขึ้นจริงในวิทยานิพนธ์นี้

วงจร	คุณสมบัติ	ค่าที่วัดได้
วงจรขยายสัญญาณรบกวนต่ำ แบบบาลานซ์	ความถี่	3.4-3.6 กิกะเฮิร์ตซ์
	$S_{21}$	$21 \pm 1$ dB
	$S_{11}$	< -25 dB
	$S_{22}$	< -15 dB
	$S_{12}$	< -38 dB
วงจรสังเคราะห์ความถี่ย่าน 3.83 กิกะเฮิร์ตซ์	Power Output	> 10 dB <sub>m</sub>
	Phase Noise offset @ 100 kHz	< -108 dBc/Hz
วงจรสังเคราะห์ความถี่ย่าน 393.5 เมกกะเฮิร์ตซ์	Power Output	> 19 dB <sub>m</sub>
	Phase Noise offset @ 100 kHz	< -116 dBc/Hz
วงจรมิกเซอร์	Conversion loss	< 9 dB
	Isolation LO-RF	< -12 dB
วงจรกรองผ่านแถบความถี่ แบบคอมไลน์	ความถี่	3.4-3.6 กิกะเฮิร์ตซ์
	Bandwidth	200 เมกกะเฮิร์ตซ์
	Insertion loss	< 0.7 dB
	Return loss	> 24 dB
วงจรกรองความถี่ต่ำผ่าน	ความถี่	14 เมกกะเฮิร์ตซ์
	Insertion loss	< 1.1 dB
	Return loss	> 15 dB

### 7.3 วงจร IF Amplifier

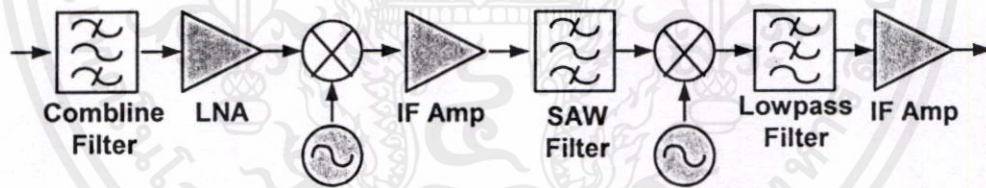
ในวงจร IF Amplifier เป็นของบริษัท Celeritek แบบ Gain Block Amplifier เบอร์ CGB-7012 Package SOT-89 ดังรูปที่ 7.2 พบว่าที่ความถี่ 380 เมกกะเฮิร์ตซ์ มีอัตราขยายประมาณ 20 dB และที่ความถี่ 13.5 เมกกะเฮิร์ตซ์ พบว่ามีอัตราขยายประมาณ 28 dB

เอกสารนี้เป็นเอกสารที่สงวนไว้สำหรับการใช้งานเพื่อการศึกษาเท่านั้น ไม่อนุญาตให้นำไปใช้ประโยชน์ด้านการค้า  
ไม่ว่ากรณีใดๆทั้งสิ้น อีกทั้งห้ามมิให้ดัดแปลงเนื้อหา และต้องอ้างอิงถึงเจ้าของเอกสารทุกครั้งที่มีการนำไปใช้



รูปที่ 7.2 วงจร IF Amplifier

NF(dB)	0.7	1.3	9	4.3	15	5	1.1	3
F	1.17	1.34	7.94	2.7	31.6	3.16	1.29	2
Gain (dB)	-0.7	21	-9	15	-15	-5	-1.1	53
Gain	0.85	125.89	0.13	31.6	0.03	0.32	0.78	199526
$F_{\text{cascade}}$	1.17	1.57	1.63	1.75	1.82	1.98	2.05	2.35



รูปที่ 7.3 การคำนวณนอยส์ฟลักเจอร์ของเครื่องรับ

### 7.3 สรุปผลการทดลอง

จากผลการทดลองทั้งหมดที่ผ่านมาจะเห็นได้ว่าปัญหาต่างๆที่เกิดขึ้นมีแนวโน้มว่าสามารถปรับปรุงแก้ไขให้ดีขึ้นได้ โดยจำเป็นต้องใช้เวลาและเงินทุนในการวิจัยพัฒนาให้ดีขึ้นอีกต่อไป ดังนั้นผู้วิจัยจึงหวังเป็นอย่างยิ่งว่าวงจรต้นแบบของวงจรส่วนหน้าสำหรับเครื่องรับสถานีฐานระบบ

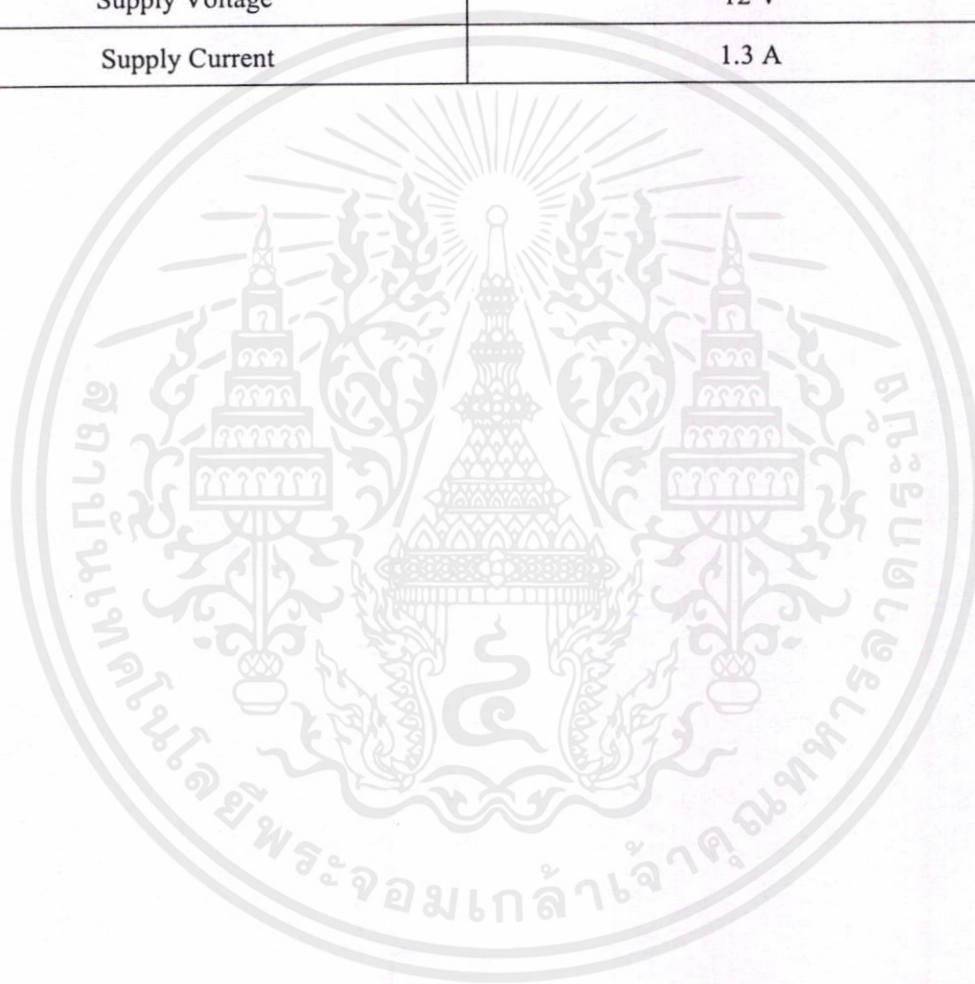
WiMAX นี้จะเป็นจุดเริ่มต้นในการพัฒนาเทคโนโลยีขึ้นมาใช้เองภายในประเทศในอนาคต

เอกสารนี้เป็นเอกสารที่สงวนไว้สำหรับการใช้งานเพื่อการศึกษาเท่านั้น ไม่นอนุญาตให้นำไปใช้ประโยชน์ด้านการค้า

ไม่ว่ากรณีใดๆทั้งสิ้น อีกทั้งห้ามมิให้คัดแปลงเนื้อหา และต้องอ้างอิงถึงเจ้าของเอกสารทุกครั้งที่มีการนำไปใช้

ตารางที่ 7.2 คุณสมบัติของวงจรรวม

ความถี่	3.4-3.6 กิกะเฮิรตซ์
อัตราขยาย	58 dB
NF	3.71 dB
Temperature Stability	45 C°
Dynamic Range	46 dB
Sensitivity	-118 dB
Supply Voltage	12 V
Supply Current	1.3 A



เอกสารนี้เป็นเอกสารที่สงวนไว้สำหรับการใช้งานเพื่อการศึกษาเท่านั้น ไม่อนุญาตให้นำไปใช้ประโยชน์ด้านการค้า  
ไม่ว่ากรณีใดๆทั้งสิ้น อีกทั้งห้ามมิให้ดัดแปลงเนื้อหา และต้องอ้างอิงถึงเจ้าของเอกสารทุกครั้งที่มีการนำไปใช้

## เอกสารอ้างอิง

- [1] Jeffrey G. Andrews, Ph.D., Arunabha Ghosh, Ph.D., Rias Muhamed, "Fundamentals of WiMAX Understanding Broadband Wireless Networking", PRENTICE HALL 2007.
- [2] Nicolas Fourty, Thierry Val, Philippe Fraise, Jean-Jacques Mercier, "Comparative analysis of new high data rate wireless communication technologies From Wi-Fi to WiMAX", ICAS/ICNS IEEE May 2005.
- [3] Bahar Jalali Farahani, Mohammed Ismail, "WiMAX/WLAN Radio Receiver Architecture for Convergence in WMANS", IEEE Journal July 2005., pp. 1621-1624.
- [4] P. Cortese, S. David, T. Le Toux, J. Mayock, I. Pilcher, J. Sanham, "Ultra Linear 3.5GHz RF Front-End for OFDM System", IEEE Journal July 2006., pp. 161-164.
- [5] Jianyi Zhou, Jianhong Chen, Jianing Zhao, Jianjun Wang, and Wei Kang, "Design of a High Performance RF Transceiver for WiMax Basestation", IEEE June 2005.
- [6] H. Sato, et al. "A 1.9 GHz Single-Chip IF Transceiver for Digital Cordless Phones", Int. Solid-state Circuits Conference, pp. 342-343, Feb. 1997.
- [7] A. Bidi, "Direct-conversion Radio Transceiver for Digital Communication", IEEE Journal of Solid-State Circuits, vol. 30, pp. 1399-1410, Dec. 1995.
- [8] C. Hull, J. Tham, and R. Chu, "A Direct-Conversion Receiver for 900 MHz (ISM band) Spread-Spectrum Digital Cordless Telephone", IEEE journal of Solid-State Circuits, vol.31, pp. 1955-1963, Dec. 1996.
- [9] P.R. Gray and R.G. Meyer, *Analysis and Design of analog Integrated Circuits*, John Wiley, New York, 1993.
- [10] T. H. Lee, *The Design of CMOS Radio-Frequency Integrated Circuits*, Cambridge University Press, 1998.
- [11] S. A. Mass, *Nonlinear Microwave Circuits*, Artech House, Inc., 1988.
- [12] D. M. Pozar, *Microwave Engineering*, John Wiley & Sons, Second Edition, 1998.
- [13] A. Rofogaran et al., "A Single-Chip 90 MHz Spread-Spectrum Wireless Transceiver in 1-um CMOS – Part II : Receiver Design", IEEE journal of Solid-State Circuits, vol. 33, pp.

เอกสารนี้เป็นทรัพย์สินของมหาวิทยาลัยเทคโนโลยีพระจอมเกล้าธนบุรี อนุญาตให้นำไปใช้ประโยชน์ด้านการค้า  
535-547, Apr. 1998. ได้รับความเห็นชอบให้คัดลอกเพื่อการศึกษาเท่านั้น ไม่อนุญาตให้นำไปใช้ประโยชน์ด้านการค้า  
ไม่ว่ากรณีใดๆทั้งสิ้น อีกทั้งห้ามมิให้ดัดแปลงเนื้อหา และต้องอ้างอิงถึงเจ้าของเอกสารทุกครั้งที่มีการนำไปใช้

- [14] V. M. T. Lam, C. R. Poole and P. C. L. Yip, "Exact Noise Figure of a Noisy Two-port with Feedback", **IEEE Proceedings Circuits Devices and Systems**, vol. 139, Aug. 1992, pp. 473-476.
- [15] D. D. Henkes, **LNA Design uses Series-feedback to Achieve Simultaneous Low Input VSWR and Low Noise**, *Applied Microwave & Wireless*, Oct. 1998, pp. 79-81.
- [16] G. D. Vendelin, A. M. Pavio and U. L. Rohde, **Microwave Circuit Design Using Linear and Nonlinear Techniques**, A Wiley Interscience Publication, 1990.
- [17] Chris Bowick, **Rf Circuit Design**, Howard W.Sams&Company, pp. 67-149.
- [18] G. Gonzalez and O. J. Sosa, "On The Design of Series-feedback Network in a Transistor Negative-resistance Oscillator", **IEEE Trans. Microwave Theory Tech.**, vol. 47, Jan. 1999, pp. 42-47.
- [19] Xiao Lu, "Building a 3.3 to 3.8 GHz 802.16a WiMAX LNA on FR-4 board material", **Microwave Journal**, Vol 49 No 2 February 2006, pp.84.
- [20] G. D. Vendelin, A. M. Pavio, and U. L. Rohde. **Microwave Circuit Design Using Linear and Nonlinear Technique**. New York : John Wiley. 1990.
- [21] G. D. Vendelin, **Design of amplifier and oscillators by the S-parameter method**. New York : John Wiley. 1982.
- [22] G. Gonzalez. **Microwave transistor amplifiers : analysis and design**. Prentice-Hall. 1997.
- [23] G. R. Basawapatna and R. B. Stancliff "A Unified Approach to the Design of Wide-Band Microwave Solid-State Oscillators." **IEEE Trans. on Microwave Theory and Technique**, vol. 27, no.5, May. 1979, pp. 379-385.
- [24] J. Breitbarth, "Octave Tuning, High Frequency Varactor Oscillator Design," Master Thesis of University of Colorado. 2001.
- [25]  $1/f$  Noise Characteristics Influencing Phase Noise." Application Note AN1026, **California Eastern Laboratories**, <http://www.cel.com>
- [26] "VCO Phase Noise." Application Note, **Minicircuits**, <http://www.minicircuits.com>
- [27] B. G. Goldberg "Phase Noise Theory and Measurements: A Short Review." **Microwave Journal**, Jan. 2000, pp. 112-122.
- [28] C. J. Grebenkemper "Local Oscillator Phase Noise and its Effect on Receiver Performance." **WJ Communication, Inc.**, <http://www.wj.com>
- [29] "Synthesizers and Phase Noise." <http://www.radio-electronics.com>

- [30] J. Y. Kim "Performance of a CDMA-based Satellite Communication System with Phase Noise." **IEEE Military Communications Conference Proceedings**, vol. 1, 1999, pp. 616-620.
- [31] D. B. Leeson "A Simple Model of Feedback Oscillator Noise Spectrum." **Proceedings Letters**, Feb. 1966, pp. 329-330.
- [32] V. M. T. Lam and P. C. L. Yip "Microwave Oscillator Phase Noise Reduction Using Negative Resistance Compensation." **Electronics Letters**, vol. 29, no. 4, Feb. 1993, pp. 379-381.
- [33] J. K. A. Everard and J. Bitterling "Low Phase Noise Highly Power Efficient Oscillators." **IEEE International Frequency Control Symposium**, 1997, pp. 919-924.
- [34] J. Lee, Y. T. Lee and S. Nam "A Phase Noise Reduction Technique in Microwave Oscillator Using High-Q Active Filter." **IEEE Microwave and Wireless Components Letters**, vol. 12, no. 11, Nov. 2002, pp. 426-428.
- [35] M. Prigent, M. Camiade, J. C. Nallatamby, J. Guittard and J. Obregon "An Efficient Design Method of Microwave Oscillator Circuits for Minimum Phase Noise." **IEEE Tran. on Microwave Theory and Techniques**, vol. 47, no. 7, Jul. 1999, pp. 1122-1128.
- [36] R. Jones and V. Estrick "Low Phase Noise Dielectric Resonator Oscillator." **IEEE Symposium on Frequency Control**, 1990, pp. 549-554.
- [37] A. P. S. Khanna and John Hauptman "18-40 GHz 13 dBm Low Noise GaAs FET YIG Tuned Oscillator." **IEEE MTT-S Digest**, 1991, pp. 209-212.
- [38] A. P. S. Khanna and J. Buenrostro "2-22 GHz Phase Noise Silicon Bipolar YIG Tuned Oscillator Using Composite Feedback." **IEEE MTT-S Digest**, 1992, pp. 1297-1299.
- [39] T. Musch "A Low Noise and Low Cost YIG-Oscillator in the Frequency Range from 2.2 GHz to 6.4 GHz for Use in A High End Microwave Synthesizer." **Precision Electromagnetic Measurement Digest**, 1996, pp. 297-298.
- [40] E. Fenton and A. Goddard "Design A Low-Noise Synthesizer Using YRO Technology." **Microwave&RF**, Aug. 2001, pp. 133-145.
- [41] U. L. Rohde "Feedback Technique Improves Oscillator Phase Noise." **Microwave&RF**, Nov. 1998, pp. 60-70.

เอกสารนี้เป็นเอกสารที่สงวนไว้สำหรับการใช้งานเพื่อการศึกษาเท่านั้น ไม่อนุญาตให้นำไปใช้ประโยชน์ด้านการค้า  
ไม่ว่ากรณีใดๆทั้งสิ้น อีกทั้งห้ามมิให้ดัดแปลงเนื้อหา และต้องอ้างอิงถึงเจ้าของเอกสารทุกครั้งที่มีการนำไปใช้

- [42] U. L. Rohde "Oscillator Basics and Low-Noise Techniques for Microwave Oscillators and VCOs", **The European Gallium Arsenide and Related III-V Compounds Application Symposium GAAS99**, Oct. 1999.
- [43] U. L. Rohde "Designing Low-Phase-Noise Oscillators." QEX, Oct. 1994, pp. 3-12.
- [44] U. L. Rohde "Nonlinear Effects In Oscillators and Synthesizers." **IEEE MTT-S**, May 2001.
- [45] U. L. Rohde and D. P. Newkirk. RF/Microwave Circuit Design for Wireless Applications. **John Wiley&Sons, Inc.** 2000.
- [46] V. Manassewitsch., **Frequency Synthesizers: Theory and Design.** 3<sup>rd</sup> edition. New York: John Wiley & Sons, Inc. 1987.
- [47] U.L. Rohde "Oscillator Basics and Low-Noise Techniques for Microwave Oscillators and VCOs." **The European Gallium Arsenide and Related III-V Compounds Application Symposium GAAS99**, Oct. 1999.
- [48] F. Baberg "Low-Noise VCOs: Key Components for Base Stations." **Microwave&RF**, Jun. 2000, pp. 100-108.
- [49] B.G. Goldberg "Phase Noise Theory and Measurement: A Short Review." **Microwave Journal.** Jan. 2000. pp. 112-222.
- [50] S.A. Mass and K.W. Chang, "A Broadband Planar, Doubly Balanced Monolithic Ka-Band Diode Mixer", **IEEE Trans Microwave Theory Tech.**, vol 41, Dec 1993, pp 2330-2335.
- [51] Stephen A. Maas, "Microwave Mixer" , **Artech House**, 1992.
- [52] E.H.Frooks and R.A. Zakarevicius, "Microwave Engineering Using Microstrip Circuits", **Prentice Hall**, Australia, 1990.
- [53] R. Collin, **Foundation for Microwave Engineering**, McGraw-Hill, New York, 1996.
- [54] Rong and K.A. Zaki, "Full-wave Analysis of Couplings Between Cylindrical Comline Resonators", **IEEE Trans. Microwave Theory Tech.**, vol. 47, pp. 1721-1729, Sep. 1999.
- [55] G. L. Matthaei, L. Young and E.M.T. Jones, "Microwave Filters Impedance-Matching Networks and Coupling Structures." Artech House, Norwood, MA,1980.
- [56] R. Levy, "Determination of Simple Equivalent Circuits of Interacting Discontinuities in Waveguides or Transmission Lines," **IEEE Trans. Microwave Theory Tech.**, vol. 48, pp. 1712-1716. Oct. 2000.

[57] J. Rubio, A. Garia and J. Zapata, "A 3-D FEM Based Segmentation Method for the Full-Wave Analysis of Passive Microwave Circuits," *Antennas and Propagation Society Int. Symp.*, vol. 1, pp.480-482, 1999.

[58] G. Fedi, S. Manetti, G. Pelosi and S. Selleri, "Design of Cylindrical Posts in Rectangular Waveguide by Neural Network Approach," *Antennas and Propagation Society Int.*, vol 3, pp. 1054-1057, 2000.

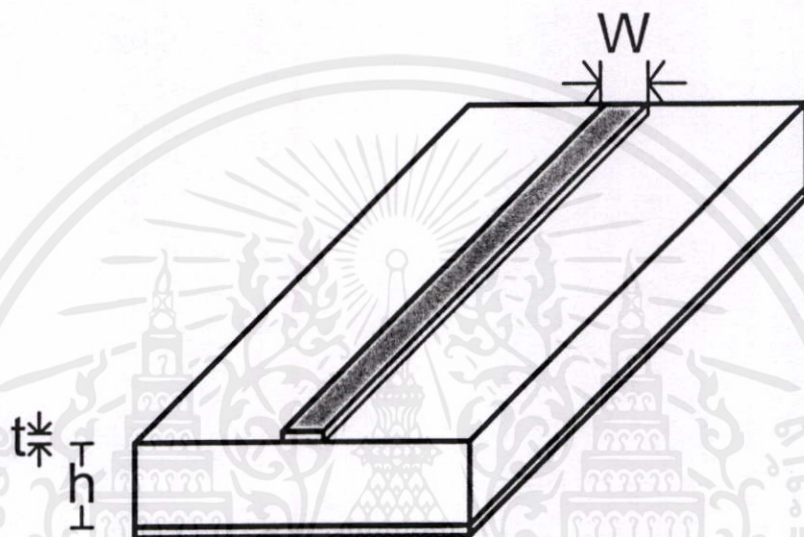


เอกสารนี้เป็นเอกสารที่สงวนไว้สำหรับการใช้งานเพื่อการศึกษาเท่านั้น ไม่อนุญาตให้นำไปใช้ประโยชน์ด้านการค้า  
ไม่ว่ากรณีใดๆทั้งสิ้น อีกทั้งห้ามมิให้ดัดแปลงเนื้อหา และต้องอ้างอิงถึงเจ้าของเอกสารทุกครั้งที่มีการนำไปใช้

## ภาคผนวก ก.

### สายส่งไมโครสตริป

โครงสร้างแบบทั่วไปของไมโครสตริปแสดงดังรูปที่ ก.1 ขนาดของตัวนำมีความกว้าง  $W$  และมีความหนา  $t$  อยู่ด้านบนของวัสดุฐานรองที่มีค่าไดอิเล็กตริก  $\epsilon_r$  และความหนา  $h$  ส่วนด้านล่างของวัสดุฐานรองเป็นระนาบกราวด์



รูปที่ ก.1 โครงสร้างแบบทั่วไปของไมโครสตริป

#### ก.1 อิมพีแดนซ์คุณลักษณะของไมโครสตริป

คุณลักษณะของสายส่งไมโครสตริป สามารถอธิบายได้โดยพารามิเตอร์ 2 ตัว คือ ค่าคงที่ทางไดอิเล็กตริก และค่าอิมพีแดนซ์คุณลักษณะ  $Z_0$  โดยกำหนดให้โหมดการแพร่กระจายคลื่นในไมโครสตริปเป็นแบบ TEM สามารถประมาณค่าอัตราส่วน  $\frac{W}{h}$  (ไม่รวมผลของความหนาของไมโครสตริป) ในเทอมของ  $Z_0$  และ  $\epsilon_r$  ได้จากวิธีของ Wheeler และ Hammerstad ได้ดังสมการสำหรับ  $\frac{W}{h} \leq 1$

$$Z_0 = \frac{60}{\sqrt{\epsilon_r}} \ln \left( \frac{8h}{W} + \frac{W}{4h} \right) \quad (\text{ก.1})$$

เอกสารนี้เป็นเอกสารที่สงวนไว้สำหรับการใช้งานเพื่อการศึกษาเท่านั้น ไม่อนุญาตให้นำไปใช้ประโยชน์ด้านการค้า  
สำหรับ  $\frac{W}{h} \geq 1$   
ไม่ว่ากรณีใดๆ ทั้งสิ้น อีกทั้งห้ามมิให้ตัดแปลงเนื้อหา และต้องอ้างอิงถึงเจ้าของเอกสารทุกครั้งที่มีการนำไปใช้

$$Z_0 = \frac{120\pi}{\sqrt{\epsilon_r} \left[ \frac{W}{h} + 1.393 + 0.667 \ln \left( \frac{W}{h} + 1.444 \right) \right]} \quad (\text{ก.2})$$

สำหรับ  $\frac{W}{h} \leq 2$

$$\frac{W}{h} = \frac{8e^A}{e^{2A} - 2} \quad (\text{ก.3})$$

สำหรับ  $\frac{W}{h} \geq 2$

$$\frac{W}{h} = \frac{2}{\pi} \left[ B - 1 - \ln(2B - 1) + \frac{\epsilon_r - 1}{2\epsilon_r} \left\{ \ln(B - 1) + 0.39 - \frac{0.61}{\epsilon_r} \right\} \right] \quad (\text{ก.4})$$

โดยที่

$$A = \frac{Z_0}{60} \sqrt{\frac{\epsilon_r + 1}{2}} + \frac{\epsilon_r - 1}{\epsilon_r + 1} \left( 0.23 + \frac{0.11}{\epsilon_r} \right) \quad (\text{ก.5})$$

$$B = \frac{377\pi}{2Z_0\sqrt{\epsilon_r}} \quad (\text{ก.6})$$

เอกสารนี้เป็นเอกสารที่สงวนไว้สำหรับการใช้งานเพื่อการศึกษาเท่านั้น ไม่อนุญาตให้นำไปใช้ประโยชน์ด้านการค้า  
ไม่ว่ากรณีใดๆทั้งสิ้น อีกทั้งห้ามมิให้ดัดแปลงเนื้อหา และต้องอ้างอิงถึงเจ้าของเอกสารทุกครั้งที่มีการนำไปใช้

## ภาคผนวก ข.

### วงจรรขยายสัญญาณแบบบาลานซ์

รูปที่ ข.1 แสดงวงจรรขยายสัญญาณแบบบาลานซ์ ในการทำงานกำลังงานทางอินพุตถูกแบ่งออกโดยคัปเปอร์ทงอินพุตแล้วเข้าสู่วงจรรขยายสัญญาณรบกวนต่ำที่เหมือนกัน 2 วงจร ส่วนกำลังงานทางเอาต์พุตของวงจรรขยายสัญญาณรบกวนต่ำ 2 วงจรจะถูกรวมเข้าด้วยกันโดยคัปเปอร์ทงเอาต์พุต ในการวิเคราะห์นี้กำหนดให้วงจรคัปเปอร์ทงอินพุตและเอาต์พุตเหมือนกันทุกประการ โดยให้วงจรคัปเปอร์ทงแมชซ์ และมีการแบ่งกำลังงานที่เอาต์พุตพอร์ตเท่ากันพอดี และมีความต่างเฟสระหว่างพอร์ตเอาต์พุตเท่ากับ 90 องศา การแบ่งกำลังงานอินพุตแทนด้วย S เมตริกซ์

### รูปที่ ก.1 วงจรรขยายสัญญาณรบกวนต่ำแบบบาลานซ์

$$[S] = \begin{bmatrix} 0 & \frac{\sqrt{2}}{2} & -j\frac{\sqrt{2}}{2} \\ \frac{\sqrt{2}}{2} & 0 & 0 \\ -j\frac{\sqrt{2}}{2} & 0 & 0 \end{bmatrix} \quad (\text{ข.1})$$

พอร์ต 2 และ 3 ต่อกับอินพุตอิมพีแดนซ์ของวงจรรขยาย  $A_1$  และ  $A_2$  ค่า S เมตริกซ์ของวงจรรขยายตัวบนและตัวล่างคือ

$$[S_a] = \begin{bmatrix} S_{11a} & S_{12a} \\ S_{21a} & S_{22a} \end{bmatrix} \quad [S_b] = \begin{bmatrix} S_{11b} & S_{12b} \\ S_{21b} & S_{22b} \end{bmatrix} \quad (\text{ข.2})$$

สำหรับวงจรรขยายบนตัว  $A_1$

$$a_2 = S_{11a} \frac{\sqrt{2}}{2} a_1 + S_{12a} b_4 \quad (\text{ข.3})$$

เอกสารนี้เป็นเอกสารที่สงวนไว้สำหรับการใช้งานเพื่อการศึกษานั้น ไม่อนุญาตให้นำไปใช้ประโยชน์ด้านการค้า ไม่ว่ากรณีใดๆทั้งสิ้น อีกทั้งห้ามมิให้คัดแปลงเนื้อ  $a_4 = S_{21a} \frac{\sqrt{2}}{2} a_1 + S_{22a} b_4$  ถ้าของเอกสารทุกครั้งที่มีการนำ (ข.4)

สำหรับวงจรขยายตัวล่าง  $A_2$

$$a_3 = -jS_{11b} \frac{\sqrt{2}}{2} a_1 + S_{12b} b_5 \quad (\text{ข.5})$$

$$a_5 = -jS_{21b} \frac{\sqrt{2}}{2} a_1 + S_{22b} b_5 \quad (\text{ข.6})$$

เอาต์พุตของวงจรขยายแบบบาลานซ์คือ

$$b_6 = -j \frac{\sqrt{2}}{2} a_4 + \frac{\sqrt{2}}{2} a_5 \quad (\text{ข.7})$$

$$a_6 = \Gamma_L b_6 \quad (\text{ข.8})$$

และ

$$b_4 = -j \frac{\sqrt{2}}{2} \Gamma_L b_6 \quad (\text{ข.9})$$

$$b_5 = \frac{\sqrt{2}}{2} \Gamma_L b_6 = j b_4 \quad (\text{ข.10})$$

แทนค่าสมการที่ 7-8 ลงใน 9-10 จะได้

$$b_4 = -j \frac{\sqrt{2}}{2} \Gamma_L b_6 = -j \frac{\sqrt{2}}{2} \Gamma_L \left( -j \frac{\sqrt{2}}{2} a_4 + \frac{\sqrt{2}}{2} a_5 \right) \quad (\text{ข.11})$$

$$= -j \frac{\sqrt{2}}{2} \Gamma_L \left[ -j \frac{\sqrt{2}}{2} \left( S_{21b} \frac{\sqrt{2}}{2} a_1 + S_{22b} b_4 \right) + \frac{\sqrt{2}}{2} \left( -j S_{21b} \frac{\sqrt{2}}{2} a_1 + S_{22b} b_5 \right) \right]$$

$$b_5 = \frac{\sqrt{2}}{2} \Gamma_L b_6 = \frac{\sqrt{2}}{2} \Gamma_L \left( -j \frac{\sqrt{2}}{2} a_4 + \frac{\sqrt{2}}{2} a_5 \right) \quad (\text{ข.12})$$

เอกสารนี้เป็นเอกสารที่สงวนไว้สำหรับการใช้งานเพื่อการศึกษาเท่านั้น ไม่อนุญาตให้นำไปใช้ประโยชน์ด้านการค้า  
ไม่ว่ากรณีใดๆทั้งสิ้น อีกทั้งห้ามมิให้ดัดแปลงเนื้อหา และต้องอ้างอิงถึงเจ้าของเอกสารทุกครั้งที่มีการนำไปใช้

$$= \frac{\sqrt{2}}{2} \Gamma_L \left[ -j \frac{\sqrt{2}}{2} \left( S_{21r} \frac{\sqrt{2}}{2} a_1 + S_{22r} b_4 \right) + \frac{\sqrt{2}}{2} \left( -j S_{21b} \frac{\sqrt{2}}{2} a_1 + S_{22b} b_5 \right) \right] \quad (\text{ข.13})$$

$$b_4 = \frac{-\frac{\sqrt{2}}{2} \Gamma_L (S_{21r} + S_{21b})}{2 + S_{22r} - S_{22b}} \quad (\text{ข.14})$$

$$b_5 = \frac{-j \frac{\sqrt{2}}{2} \Gamma_L (S_{21r} + S_{21b})}{2 + S_{22r} - S_{22b}} \quad (\text{ข.15})$$

ซึ่งสามารถแทนค่ากลับลงในสมการ  $a_4$  และ  $a_5$  เมื่อกำหนดให้วงจรขยายทั้ง 2 วงจรเหมือนกันทุกประการจะได้

$$b_4 = -\frac{\sqrt{2}}{2} \Gamma_L S_{21} a_1 \quad (\text{ข.16})$$

$$b_5 = -j \frac{\sqrt{2}}{2} \Gamma_L S_{21} a_1 \quad (\text{ข.17})$$

$$a_4 = \frac{\sqrt{2}}{2} S_{21} a_1 - S_{22} \frac{\sqrt{2}}{2} S_{21} a_1 = \frac{\sqrt{2}}{2} S_{21} a_1 (1 - \Gamma_L S_{22}) \quad (\text{ข.18})$$

$$a_5 = -j \frac{\sqrt{2}}{2} S_{21} a_1 - j S_{22} \frac{\sqrt{2}}{2} \Gamma_L S_{21} a_1 = -j \frac{\sqrt{2}}{2} S_{21} a_1 (1 - \Gamma_L S_{22}) \quad (\text{ข.19})$$

ซึ่งสามารถคำนวณค่าสัมประสิทธิ์การสะท้อนด้านเอาต์พุตของวงจรขยายได้

$$\Gamma_4 = \frac{b_4}{a_4} = \frac{-\Gamma_L}{(1 - S_{22} \Gamma_L)} \quad (\text{ข.20})$$

$$\Gamma_5 = \frac{b_5}{a_5} = \frac{\Gamma_L}{(1 + S_{22} \Gamma_L)} \quad (\text{ข.21})$$

เอกสารนี้เป็นเอกสารที่สงวนไว้สำหรับงานวิจัยเท่านั้น ไม่อนุญาตให้นำไปใช้ประโยชน์ด้านการค้า  
ไม่ว่ากรณีใดๆทั้งสิ้น อีกทั้งห้ามมิให้คัดแปลงเนื้อหา และต้องอ้างอิงถึงเจ้าของเอกสารทุกครั้งที่มีการนำไปใช้

$$\Gamma_{in} = \frac{b_1}{a_1} = \frac{\sqrt{2}}{2} \left( \frac{a_2 - ja_3}{a_1} \right) \quad (\text{ข.22})$$

$$= \frac{\sqrt{2}}{2} \left( \frac{S_{11r} \frac{\sqrt{2}}{2} a_1 + S_{12r} \frac{-\sqrt{2}}{2} \Gamma_L (S_{21r} + S_{21b})}{2 + S_{22r} - S_{22b}} a_1 \right) - j \frac{\sqrt{2}}{2} \left( \frac{-j S_{11b} \frac{\sqrt{2}}{2} a_1 + S_{12b} \frac{-j \sqrt{2}}{2} \Gamma_L (S_{21r} + S_{21b})}{2 + S_{22r} - S_{22b}} a_1 \right) \quad (\text{ข.23})$$

$$= \frac{1}{2} \left[ S_{11r} + S_{12r} \frac{-\Gamma_L (S_{21r} + S_{21b})}{2 + S_{22r} - S_{22b}} \right] + \frac{1}{2} \left[ S_{11b} + S_{12b} \frac{-\Gamma_L (S_{21r} + S_{21b})}{2 + S_{22r} - S_{22b}} \right] \quad (\text{ข.24})$$

เมื่อวงจรขยายทั้ง 2 วงจรเหมือนกันทุกประการจะได้

$$\Gamma_{in} = -S_{12} S_{21} \Gamma_L \quad (\text{ข.25})$$

โดยวิธีการเดียวกันสามารถหาค่าสัมประสิทธิ์การสะท้อนทางเอาต์พุตของวงจรขยายได้

$$\Gamma_{out} = -S_{12} S_{21} \Gamma_s \quad (\text{ข.26})$$

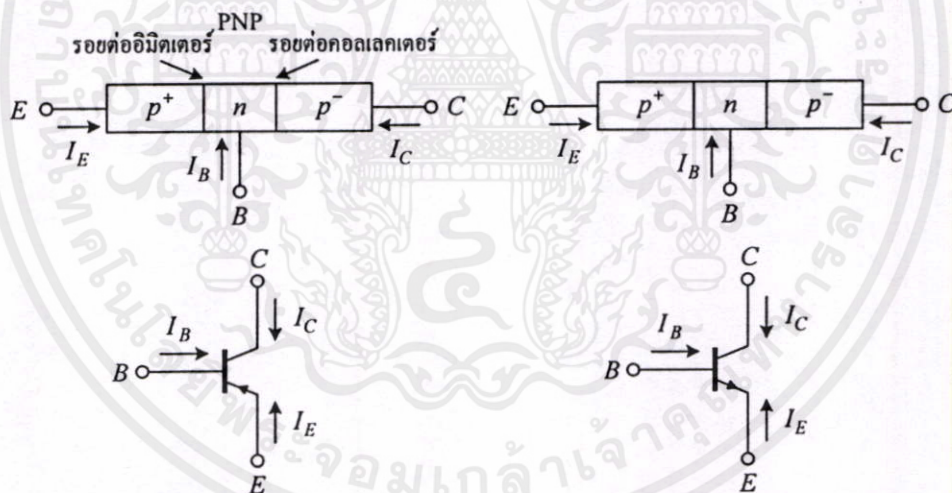
เอกสารนี้เป็นเอกสารที่สงวนไว้สำหรับการใช้งานเพื่อการศึกษาเท่านั้น ไม่อนุญาตให้นำไปใช้ประโยชน์ด้านการค้า ไม่ว่าจะกรณีใดๆทั้งสิ้น อีกทั้งห้ามมิให้ดัดแปลงเนื้อหา และต้องอ้างอิงถึงเจ้าของเอกสารทุกครั้งที่มีการนำไปใช้

## ภาคผนวก ค.

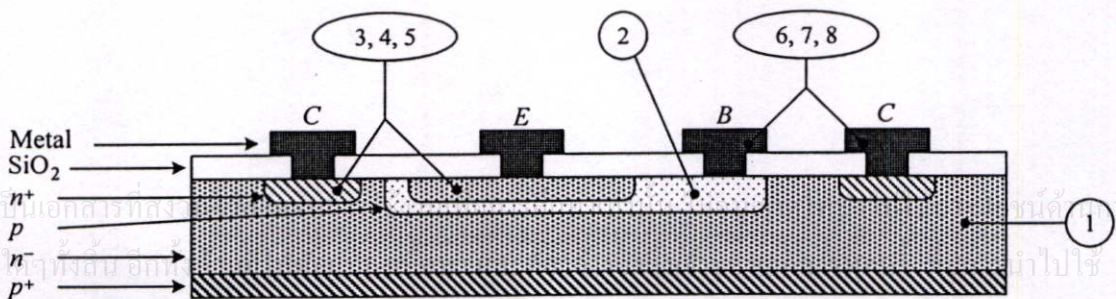
### เทคโนโลยีของซิลิกอนไบโพลาร์ทรานซิสเตอร์ (Si BJT) และซิลิกอนเจอร์มาเนียมทรานซิสเตอร์ (SiGe Transistor)

#### ค.1 เทคโนโลยีของซิลิกอนไบโพลาร์ทรานซิสเตอร์

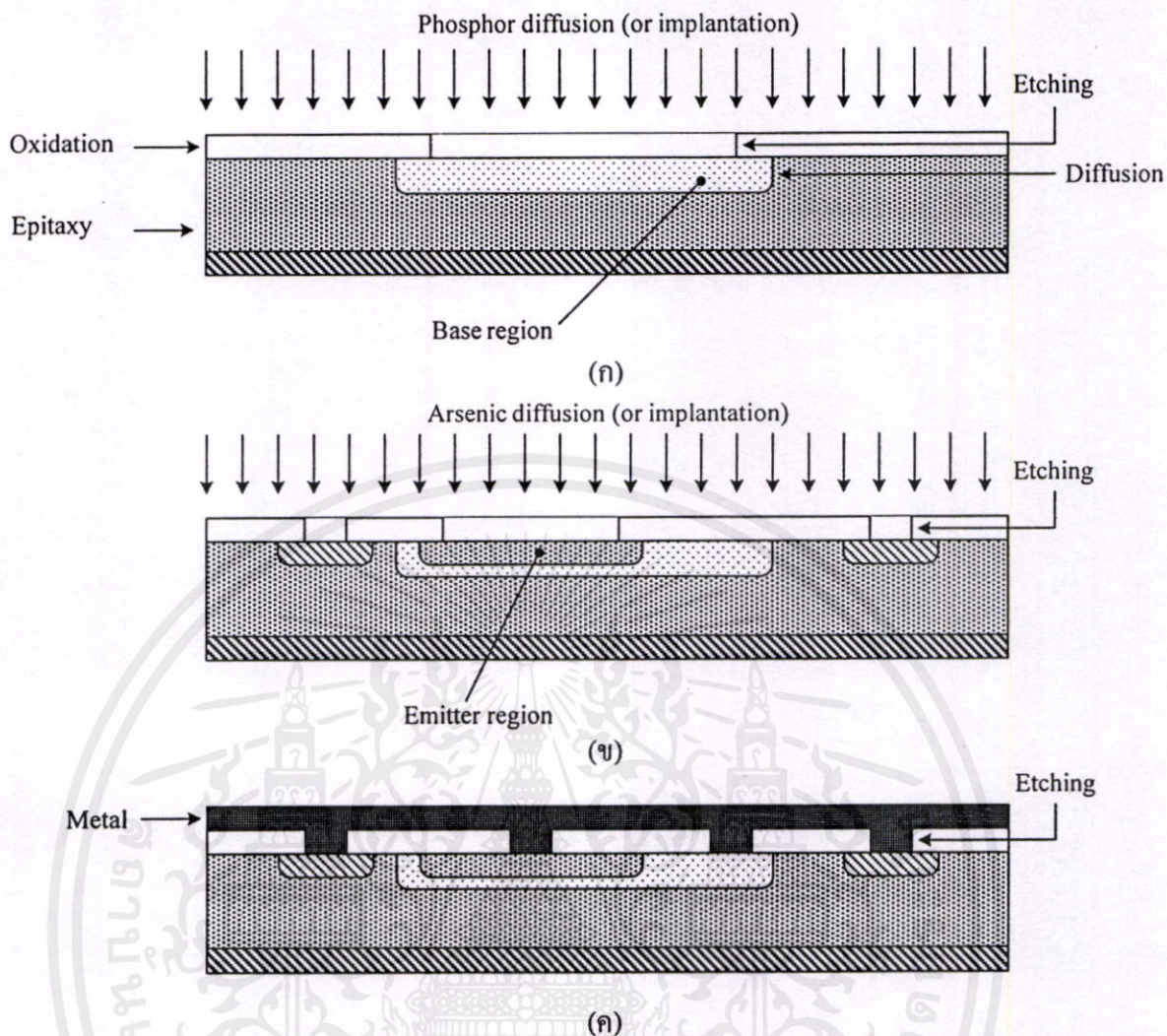
โครงสร้างของทรานซิสเตอร์รอยต่อไบโพลาร์ (Bipolar Junction Transistor: BJT) ประกอบด้วยรอยต่อ PN สองตัวต่อหลังชนกัน มีโครงสร้างได้ 2 แบบคือ แบบ PNP ซึ่งสารกึ่งตัวนำชนิด N ถูกประกบด้วยสารกึ่งตัวนำชนิด P และแบบ NPN โดยสารกึ่งตัวนำชนิด P อยู่ระหว่างสารกึ่งตัวนำชนิด N ดังรูปที่ ค.1 ในทางปฏิบัติการสร้างทรานซิสเตอร์สามารถทำได้หลายวิธีเพื่อปรับปรุงคุณลักษณะและเงื่อนไขการสร้างที่ดีที่สุด วิธีการสร้างทรานซิสเตอร์วิธีหนึ่งที่นิยมใช้คือใช้พลาสมาเทคโนโลยี รูปที่ ค.2 แสดงถึงภาพตัดขวางของทรานซิสเตอร์ โดยหมายเลขต่าง ๆ ในวงกลมจะหมายถึงลำดับของขั้นตอนในการสร้างทรานซิสเตอร์ และรูปที่ ค.3 แสดงภาพตัดขวางของอุปกรณ์ที่ได้จากขั้นตอนต่าง ๆ



รูปที่ ค.1 โครงสร้างและสัญลักษณ์ของทรานซิสเตอร์ชนิด PNP และ NPN



รูปที่ ค.2 ภาพตัดขวางของโครงสร้างของทรานซิสเตอร์ชนิด NPN



รูปที่ ๓.3 ภาพตัดขวางของทรานซิสเตอร์ในแต่ละขั้นตอนของการสร้าง

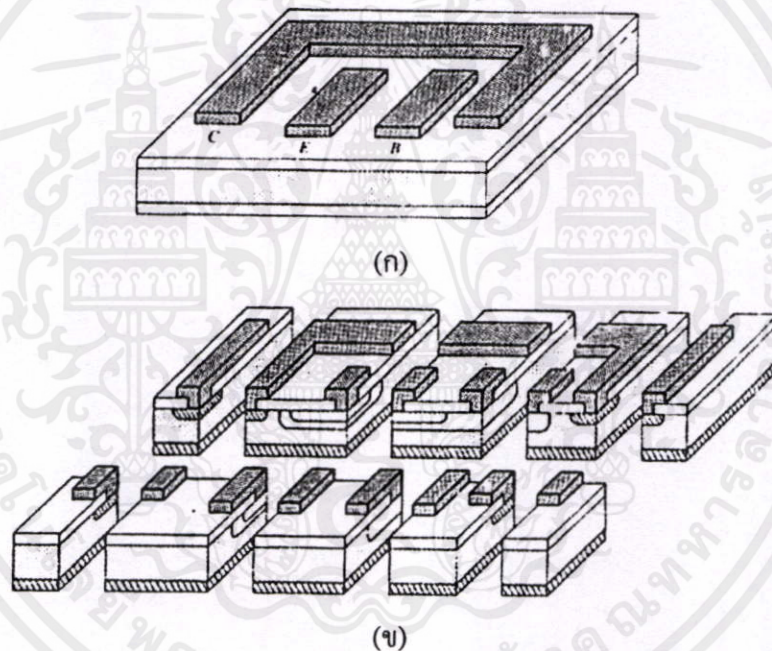
- (ก) หลังจากแพร่ชั้นเบส
- (ข) หลังจากแพร่ชั้นอิมิตเตอร์
- (ค) ผ่านกระบวนการเมทัลไลเซชัน

การสร้างซิลิกอนไบโพลาร์ทรานซิสเตอร์ชนิด NPN ซึ่งเป็นชนิดที่นิยมใช้กันมากเนื่องจากมีสมรรถนะที่ดีกว่าชนิด PNP โดยมีขั้นตอนการสร้างเรียงลำดับดังหมายเลขในรูปที่ ๓.2 คือ

1. ชั้นอิพิแทกเซียลของวัสดุชนิด N (โดยปกติจะมีความหนาประมาณ  $10 \mu m$ ) จะถูกสร้างขึ้นบนเวเฟอร์  $p^+$  โดยที่ชั้นของสารกึ่งตัวนำชนิด  $n^-$  จะใช้เป็นบริเวณคอลเลกเตอร์ของทรานซิสเตอร์

2. ชั้นของฉนวนที่ทำจากสาร  $SiO_2$  จะถูกสร้างขึ้นบนแผ่นเวเฟอร์ ทำการเปิดช่องที่ชั้นของ  $SiO_2$  เพื่อให้สารกึ่งตัวนำชนิด p แพร่เข้าไปยังชั้น  $n^-$  ซึ่งชั้นของสารกึ่งตัวนำชนิด p นี้คือบริเวณเบสของทรานซิสเตอร์ดังแสดงในรูปที่ ๓.3 (ก)

3. ชั้นของ  $\text{SiO}_2$  จะถูกสร้างขึ้นใหม่อีกครั้ง
4. กำจัดชั้นของ  $\text{SiO}_2$  เพื่อให้เกิดช่องที่จะแพร่สารเจือ ทำให้เกิดชั้นของอิมิตเตอร์และคอลเลกเตอร์
5. ชั้นของ n และ n+ จะถูกสร้างขึ้นโดยการแพร่สาร ซึ่งจะกลายเป็นส่วนของอิมิตเตอร์และพื้นที่สัมผัสของคอลเลกเตอร์ ดังในรูปที่ ค.3 (ข)
6. ฉาบด้วยชั้นของ  $\text{SiO}_2$  ใหม่อีกครั้ง
7. ชั้นของ  $\text{SiO}_2$  ถูกเปิดออกเพื่อเป็นจุดเชื่อมต่อพื้นที่ต่าง ๆ ของโครงสร้าง
8. พื้นที่ผิวทั้งหมดของเวเฟอร์จะผ่านขบวนการเมทัลไลเซชัน (metallization) ดังในรูปที่ ค.3 (ค) และเปิดช่องเพื่อให้ได้โครงสร้างของอิล็กโทรดดังในรูปที่ ค.2 โดยที่โครงสร้าง 3 มิติของทรานซิสเตอร์ที่ได้ แสดงดังรูปที่ ค.4

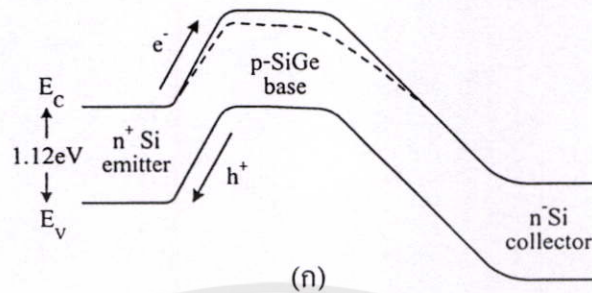


รูปที่ ค.4 โครงสร้างของทรานซิสเตอร์แบบ 3 มิติ (ก) โครงสร้างภายนอก (ข) โครงสร้างภายใน

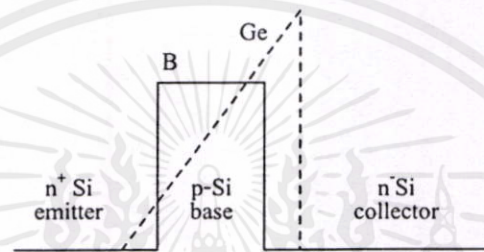
### ค.2 เทคโนโลยีของซิลิกอนเจอร์มาเนียมทรานซิสเตอร์

ข้อแตกต่างของทรานซิสเตอร์ชนิดซิลิกอนเจอร์มาเนียมทรานซิสเตอร์ คือ มีการเปลี่ยนแปลงช่องว่างแถบพลังงาน (band gap) ของสารกึ่งตัวนำซิลิกอนเพื่อปรับปรุงสมรรถนะของอุปกรณ์ให้ดีขึ้น ซึ่งโดยปกติแล้วอุปกรณ์ซิลิกอนจะมีช่องว่างแถบพลังงานที่คงที่เท่ากับ 1.12 eV ซึ่งเอกสารนี้ทำให้จำกัดความเร็วของอุปกรณ์เมื่อเปรียบเทียบกับสารกึ่งตัวนำ III-V เช่น แกลเลียมอาร์เซไนด์ (GaAs) ดังนั้น โดยการเพิ่มเจอร์มาเนียมเข้าไปในชั้นเบสของไบโพลาร์ทรานซิสเตอร์สามารถทำให้เกิดการเปลี่ยนแปลงช่องว่างแถบพลังงานเพื่อเพิ่มสมรรถนะของซิลิกอนทรานซิสเตอร์ให้สูงขึ้นได้

ช่องว่างแถบพลังงานที่ถูกแก้ไขแสดงในแผนภาพพลังงานดังรูปที่ ค.5(ก) และรูปที่ ค.5(ข) แสดง การโคปสารเจอร์มาเนียม



(ก)



(ข)

### รูปที่ ค.5 ซิลิกอนเจอร์มาเนียมทรานซิสเตอร์

(ก) แผนภาพแถบพลังงานของซิลิกอนไบโพลาร์ทรานซิสเตอร์ (เส้นทึบ) และซิลิกอนเจอร์มาเนียมทรานซิสเตอร์ (เส้นประ) ที่ทำการแก้ไขช่องว่างแถบพลังงานให้แคบลง  
(ข) การโคปสารเจอร์มาเนียม แสดงโดยเส้นประ

การแก้ไขช่องว่างแถบพลังงานทำให้ได้ซูปเปอร์จังก์ชันทรานซิสเตอร์ที่สามารถทำงานได้ถึงช่วงความถี่ 100 GHz ซึ่งโดยปกติแล้วซิลิกอนทรานซิสเตอร์ทั่วไปจะทำงานได้แค่ 15-25 GHz นอกจากนี้แล้วซิลิกอนเจอร์มาเนียมทรานซิสเตอร์ยังมีอัตราขยายกระแสที่สูง และมีค่าความนำเอาต์พุตที่คี่ขึ้นเพื่อใช้งานในด้านอนาล็อก อุปกรณ์ชนิดนี้จึงเหมาะกับการนำไปประยุกต์ใช้งานในวงจรรอนาล็อกความเร็วสูงสำหรับช่วงความถี่วิทยุและไมโครเวฟ และยังสามารถทำงานได้ดีในขณะที่ใช้กำลังงานต่ำ ซึ่งเป็นข้อดีที่เหมาะสมอย่างมากในงานโทรศัพท์เคลื่อนที่เนื่องจากสามารถใช้แบตเตอรี่ได้ยาวนานขึ้น อีกทั้งมีคุณลักษณะของสัญญาณรบกวน  $1/f$  ที่ต่ำ และยังมีเสถียรภาพต่อการเปลี่ยนแปลงของอุณหภูมิที่ดีกว่าเมื่อเปรียบเทียบกับอุปกรณ์ชนิดเกลเลียมอาร์เซไนด์หรือซิลิกอนทรานซิสเตอร์ทั่วไป

การใช้งานของซิลิกอนเจอร์มาเนียมทรานซิสเตอร์จะเหมือนกับซิลิกอนไบโพลาร์ทรานซิสเตอร์นั่นคือ ในการออกแบบวงจรต่าง ๆ สามารถใช้วิธีการออกแบบเดียวกันได้ แต่ข้อดีของเทคโนโลยีซิลิกอนเจอร์มาเนียมที่เหนือกว่าซิลิกอนไบโพลาร์ทรานซิสเตอร์คือ

- ซิลิกอนเจอร์มาเนียมทรานซิสเตอร์ต้องการแรงดันอินพุต  $V_{BE}$  ที่น้อยกว่า ในขณะที่ให้ความหนาแน่นกระแสคอลเล็กเตอร์เท่ากัน เนื่องจากความหนาแน่นกระแสคอลเล็กเตอร์จะเพิ่มขึ้นตามระยะห่างของช่องว่างแถบพลังงานระหว่างอิมิตเตอร์และเบส ซึ่งจะเป็นสัดส่วนตามปริมาณของเจอร์มาเนียมในชั้นเบส เมื่อเปรียบเทียบกับซิลิกอนไบโพลาร์ทรานซิสเตอร์แล้วซิลิกอนเจอร์มาเนียมทรานซิสเตอร์จะใช้แรงดันอินพุต  $V_{BE}$  ต่ำกว่าประมาณ 80 mV ซึ่งจะเหมาะสมกับการใช้งานในระบบการสื่อสารโทรศัพท์เคลื่อนที่

- ค่าความจุเบส-อิมิตเตอร์  $C_{JE}$  มีค่าลดลง ดังนั้นแม้ในสภาวะที่ความหนาแน่นกระแสต่ำ ๆ ก็ยังสามารถใช้งานที่ความเร็วสูงและให้อัตราการขยายที่สูงได้ จึงเหมาะกับการออกแบบที่ต้องการกำลังต่ำ

- สามารถสร้างให้ความถี่ทอพอมีค่าสูงกว่า 100 GHz ได้
- ทรานส์คอนดักแตนซ์และความต้านทานเอาต์พุตมีค่าสูง ทำให้ได้อัตราขยายแรงดันที่สูง
- ข้อเสียที่สำคัญของซิลิกอนไบโพลาร์ทรานซิสเตอร์คือมีแรงดันเบรกดาวน์ต่ำ ในขณะที่ซิลิกอนเจอร์มาเนียมทรานซิสเตอร์มีค่าแรงดันเบรกดาวน์สูง
- เนื่องจากมีค่าความถี่หักมุม (Corner frequency) ของสัญญาณรบกวน  $1/f$  ที่ต่ำ จึงเหมาะกับการนำไปสร้างวงจรรอสซิลเลเตอร์สัญญาณรบกวนต่ำ ซึ่งจะเห็นว่าความถี่หักมุมของซิลิกอนเจอร์มาเนียมทรานซิสเตอร์มีความถี่หักมุมต่ำกว่าทรานซิสเตอร์แบบอื่น ๆ ถึงแม้จะมีค่าความถี่จุดเปลี่ยน ( $f_T$ ) สูงก็ตาม

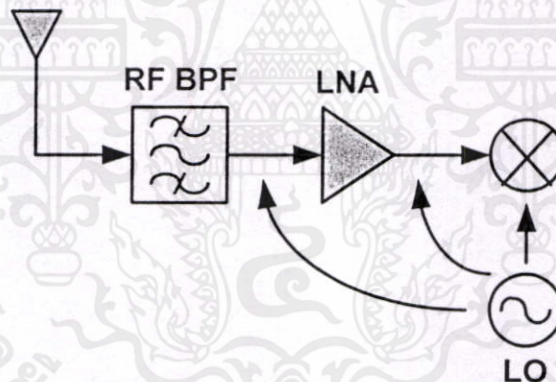
เอกสารนี้เป็นเอกสารที่สงวนไว้สำหรับการใช้งานเพื่อการศึกษาเท่านั้น ไม่อนุญาตให้นำไปใช้ประโยชน์ด้านการค้า ไม่ว่าจะกรณีใดๆทั้งสิ้น อีกทั้งห้ามมิให้คัดแปลงเนื้อหา และต้องอ้างอิงถึงเจ้าของเอกสารทุกครั้งที่มีการนำไปใช้

## ภาคผนวก ง.

### ดีซีออฟเซต

การสร้างวงจรโดยใช้โครงสร้างระบบแบบไดเร็กคอนเวอร์ชันจะเกิดผลกระทบจากดีซีออฟเซตเนื่องจากสัญญาณวิทยุที่รับเข้ามาจะถูกแปลงไปที่สัญญาณเบสแบนด์โดยตรง ดีซีออฟเซตทำให้เกิดปัญหาขึ้น 2 อย่าง อย่างแรกดีซีออฟเซตจะทำให้วงจรเบสแบนด์เช่นวงจรขยายและวงจรกรองความถี่เกิดการอิ่มตัว และอย่างที่สองถึงแม้ว่าวงจรเบสแบนด์จะไม่อิ่มตัวแต่ดีซีออฟเซตก็จะทำให้ข้อมูลเกิดความผิดพลาดมากขึ้นซึ่งจะทำให้ค่าอัตราความผิดพลาดทางบิตของระบบแย่ลง

ดีซีออฟเซตเกิดขึ้นมาจาก สัญญาณ โลคอลเกิดการคูณกับตัวเอง ผลของความเพี้ยนลำดับที่สอง และความไม่เข้ากันของวงจรเบสแบนด์ รูปที่ ง.1 แสดงสัญญาณโลคอลเกิดการคูณกับตัวเอง ซึ่งสัญญาณโลคอลสามารถผ่านไปที่สัญญาณความถี่วิทยุได้โดยการเชื่อมต่อไปที่อินพุตของวงจรขยายสัญญาณรบกวนต่ำหรือผ่านพอร์ตความถี่วิทยุของวงจรมิกเซอร์ ดังนั้นสัญญาณ โลคอลก็จะเกิดการคูณกับตัวมันเองซึ่งจะทำให้เกิดดีซีออฟเซตขึ้น สัญญาณ โลคอลเกิดการคูณกับตัวเองนั้นสามารถแทนด้วยผลคูณของสัญญาณคลื่นไซน์ที่ความถี่เดียวกัน  $f_c$  ดังสมการที่ (ง.1)



รูปที่ ง.1 สัญญาณ โลคอลเกิดการคูณกับตัวเอง

$$S_1 \cos(2\pi f_c t) \times S_2 \cos(2\pi f_c t) = \frac{S_1 S_2}{2} \{1 + \cos[2\pi(2f_c)t]\} \quad (\text{ง.1})$$

จะได้ผลองค์ประกอบทางดีซีและองค์ประกอบของสัญญาณคลื่นไซน์ที่ความถี่  $2f_c$  ส่วนแหล่งกำเนิดของดีซีออฟเซตอันที่สองคือความเพี้ยนทางฮาร์มอนิกลำดับที่สอง ฟังก์ชันการส่งผ่านของวงจรส่วนหน้าสามารถแทนได้โดยสมการ

เอกสารนี้เป็นเอกสารที่สงวนไว้สำหรับการใช้งานเพื่อการศึกษาเท่านั้น ไม่อนุญาตให้นำไปใช้ประโยชน์ด้านการค้า  

$$s_o = a_1 s_i + a_2 s_i^2 + a_3 s_i^3 + \dots \quad (2.2)$$
 ไม่ว่าจะผิดใจทั้งสิ้น อีกทั้งห้ามมิให้คัดแปลงเนื้อหา และต้องอ้างอิงถึงเจ้าของเอกสารทุกครั้งที่มีการนำไปใช้

โดยเทอมแรกแทนค่าอัตราขยายส่วนเทอมหลังที่เหลือแทนความไม่เป็นเชิงเส้นของวงจร ในกรณีของความเพี้ยนทางฮาร์มอนิกลำดับที่สองสำหรับอินพุตคลื่นไซน์  $s_i = S_1 \cos(2\pi f_1 t)$  จะได้สัญญาณเอาต์พุตเป็น

$$s_o = \frac{a_2 S_1^2}{2} \{1 + \cos[2\pi(2f_1)t]\} \quad (2.3)$$

ซึ่งสัญญาณที่ได้ก็ประกอบด้วยองค์ประกอบทางคี่และองค์ประกอบของสัญญาณคลื่นไซน์ที่มีความถี่  $2f_1$  และยังประกอบด้วยเทอมของความเพี้ยนทางฮาร์มอนิกลำดับคู่ทั้งหมด นอกจากนี้จำนวนของดีซีออฟเซตจากสมการที่ (2.3) ที่เกิดจากความเพี้ยนทางฮาร์มอนิกลำดับคู่ขึ้นอยู่กับขนาดของสัญญาณอินพุต  $S_1$  ซึ่งมีค่าเปลี่ยนแปลงตามเวลาซึ่งทำให้การกำจัดค่าดีซีออฟเซตมีความยุ่งยากมากขึ้น เนื่องจากค่าดีซีออฟเซตจะมีค่าไม่คงที่

นอกจากดีซีออฟเซตแล้วความเพี้ยนทางฮาร์มอนิกลำดับคู่ก็จะทำให้เกิดองค์ประกอบทางความถี่ต่ำอื่นๆ ซึ่งจะทำให้คุณสมบัติของเครื่องรับระบบโคเร็กคอนเวอร์ชันมีคุณสมบัติแย่ง เช่น ในกรณีของความเพี้ยนอินเตอร์มอดูเลชันลำดับที่สอง สำหรับสัญญาณอินพุต  $s_i = S_1 \cos(2\pi f_1 t) + S_2 \cos(2\pi f_2 t)$  จะได้สัญญาณเอาต์พุตเป็น

$$s_o = a_2 S_1 S_2 \{ \cos[2\pi(f_1 - f_2)t] + \cos[2\pi(f_1 + f_2)t] \} \quad (2.4)$$

ซึ่งประกอบด้วยองค์ประกอบของสัญญาณคลื่นไซน์ที่มีความถี่  $f_1 - f_2$  และ  $f_1 + f_2$  ถ้าระยะห่างระหว่างความถี่อินพุตสัญญาณคลื่นไซน์ 2 อันมีค่าน้อย ความเพี้ยนอินเตอร์มอดูเลชันลำดับที่สองก็จะเกิดเป็นองค์ประกอบทางความถี่ต่ำ  $f_1 - f_2$  ซึ่งมีโอกาสทำให้สัญญาณเบสแบนด์ที่ต้องการแย่ง เนื่องจากความเพี้ยนอินเตอร์มอดูเลชันลำดับที่สองขึ้นอยู่กับขนาดของสัญญาณอินพุต  $S_1$  และ  $S_2$  ซึ่งจะทำให้องค์ประกอบทางความถี่ต่ำเปลี่ยนแปลงตามเวลาเช่นเดียวกัน

เอกสารนี้เป็นเอกสารที่สงวนไว้สำหรับการใช้งานเพื่อการศึกษาเท่านั้น ไม่อนุญาตให้นำไปใช้ประโยชน์ด้านการค้า ไม่ว่ากรณีใดๆทั้งสิ้น อีกทั้งห้ามมิให้ดัดแปลงเนื้อหา และต้องอ้างอิงถึงเจ้าของเอกสารทุกครั้งที่มีการนำไปใช้

## ประวัติผู้เขียน

นาย ดนัยภพย์ พูลทรัพย์ เกิดเมื่อวันที่ 3 พฤศจิกายน พุทธศักราช 2524 ที่จังหวัด กรุงเทพมหานคร จบการศึกษาระดับปริญญาตรีคณะวิศวกรรมศาสตร์ สาขา วิศวกรรมไฟฟ้า โทรคนาคม จากมหาวิทยาลัยเทคโนโลยีมหานคร ปัจจุบันกำลังศึกษาอยู่ในระดับปริญญาโท คณะ วิศวกรรมศาสตรมหาบัณฑิต สาขาวิศวกรรมไฟฟ้า โทรคนาคม



เอกสารนี้เป็นเอกสารที่สงวนไว้สำหรับการใช้งานเพื่อการศึกษาเท่านั้น ไม่อนุญาตให้นำไปใช้ประโยชน์ด้านการค้า  
ไม่ว่ากรณีใดๆทั้งสิ้น อีกทั้งห้ามมิให้คัดแปลงเนื้อหา และต้องอ้างอิงถึงเจ้าของเอกสารทุกครั้งที่มีการนำไปใช้